



Вестник

Уральского
государственного
университета
путей сообщения

Научный журнал

Herald
of the Ural State University
of Railway Transport

Scientific journal



Дорогие читатели, уважаемые авторы!
Перед вами юбилейный выпуск «Вестника
УрГУПС». Примечательно, что у нас два юбилея:
в этом году исполнилось 75 лет основателю
и главному редактору журнала Василию
Михайловичу Саю и 15 лет нашему журналу.



ВАСИЛИЙ МИХАЙЛОВИЧ САЙ –
выпускник Уральского
электромеханического института
инженеров транспорта (ныне – Уральский
государственный университет путей
сообщения, УрГУПС), инженер-строитель,
аспирант, доцент, начальник научно-
исследовательского сектора, профессор,
доктор технических наук, проректор
УрГУПС по научной работе с 1993 по
2008 гг., председатель диссертационного
совета – достойный путь настоящего
ученого и пример следующим
поколениям. Мы от души поздравляем
нашего друга и наставника Василия
Михайловича и желаем ему крепкого
здоровья и дальнейших успехов в науке
и преподавательской деятельности.

Журнал «Вестник УрГУПС» выходит
15-й год подряд и этот выпуск – уже
60-й. Редакция вместе с авторами
старается поддерживать высокий
научный и технический уровень
публикаций, актуальность исследуемых
в статьях проблем, современные
подходы к их решению.
В этом юбилейном выпуске хочется
выразить благодарность всем авторам
и рецензентам, нашему большому
дружному коллективу редакторов,
сотрудникам издательства,
учредителю и издателю – Уральскому
государственному университету
путей сообщения.
Надеемся, что совместные усилия
и энтузиазм редакционного
коллектива и авторов будут
способствовать притоку интересных
статей и ознаменуются
дальнейшим повышением
авторитета журнала
в освещении проблем
железнодорожного
транспорта.

*Д. С. Завалишин,
В. Ф. Лапшин,
Л. С. Барышникова*

Научный журнал
Вестник Уральского государственного
университета путей сообщения
(Вестник УрГУПС)
№ 4 (60), 2023 год

Главный редактор
Дмитрий Станиславович Завалишчин
Зам. главного редактора
Василий Федорович Лапшин
Научный редактор
Василий Михайлович Сай

Литературный и выпускающий редактор
Людмила Станиславовна Барышник

Техническое редактирование и верстка
Светлана Николаевна Наймушина

Учредитель и издатель:
Федеральное государственное
бюджетное образовательное учрежде-
ние высшего образования «Уральский
государственный университет путей
сообщения» (ФГБОУ ВО УрГУПС)

Адрес учредителя, издателя и редакции:
620034, Екатеринбург,
ул. Колмогорова, 66

Телефон редакции: (343) 221-25-60.
Веб-сайт: www.usurt.ru/vestnik;
e-mail: vestnik@usurt.ru.

Вестник УрГУПС включен ВАКом
в перечень периодических, научных
и научно-технических изданий,
выпускаемых в Российской Федерации,
в которых рекомендуется публикация
основных результатов диссертаций.

DOI:10.20291/2079-0392

Свидетельство о регистрации
средства массовой информации
Роскомнадзора ПИ № ФС77–38188
от 30 ноября 2009 г.

Подписной индекс журнала
в общероссийском каталоге
«Пресса России» – 70070

Изготовлено в ИБК УрГУПС
620034, Екатеринбург,
ул. Колмогорова, 66.

Подписано в печать 07.12.2023
Дата выхода в свет 12.12.2023.
Цена 501,99 руб.

Тираж 300 экз. 1-й з-д: 1–40.
Формат 70×100/16. Заказ 36

Уральский государственный
университет путей сообщения
(ФГБОУ ВО УрГУПС), 2023 ©

Scientific journal «Herald of the
Ural State University
of Railway Transport»
(Herald of the USURT)
№ 4 (60), 2023

Editor-in-chief
Dmitry S. Zavalishchin
Deputy Editor-in-Chief
Vasily F. Lapshin
Science editor
Vasily M. Say

Script and copy editor
Lyudmila S. Baryshnikova

Technical editing and make-up
Svetlana N. Naimushina

Founder and publisher:
Federal state-funded educational
institution of the higher education
«Ural State University of Railway Transport»
(FGBOU VO URGUPS)

Address of the founder, publisher and edition:
66 Kolmogorov Street,
620034, Ekaterinburg

Telephone: +7 (343) 221-25-60.
Web-site: www.usurt.ru/vestnik;
e-mail: vestnik@usurt.ru.

DOI:10.20291/2079-0392

The Mass Media Registration Certificate
by the Federal Service for Supervision
of Communications, Information Technology,
and Mass Media (Roskomnadzor)
PI No. FS77-38188
of November 30, 2009

Subscription reference number
of the issue in the All Russia Catalogue
«Pressa Rossii» – 70070

Manufactured in the publishing
and library complex USURT
66 Kolmogorov Street,
620034, Ekaterinburg.

Passed for printing 07.12.2023
Data of issue 12.12.2023.
The price 501,99 rub.

Circulation 300. The 1st pr.: 1–40.
Format 70×100/16. Order 36

The Ural State University
of Railway Transport
(FGBOU VO USURT), 2023 ©

МЕЖДУНАРОДНЫЙ РЕДАКЦИОННЫЙ СОВЕТ

Владимир Викторович Цыганов, д-р техн. наук, профессор, Институт проблем управления Российской академии наук, Москва, Россия

Сергей Герман-Галкин, д-р техн. наук, профессор, Морская академия, Институт судовой автоматики и электротехники, г. Щецин, Польша

Дорел Гузун, д-р техн. наук, профессор, Институт нанотехнологий и инженерии, Университет Арканзаса, США

Александр Леонидович Казаков, д-р физ.-мат. наук, профессор, Институт динамики систем и теории управления имени В. М. Матросова Сибирского отделения Российской академии наук, г. Иркутск, Россия

Вячеслав Семенович Шварцфельд, д-р техн. наук, профессор, Петербургский государственный университет путей сообщения, Санкт-Петербург, Россия

Михаил Ростиславович Якимов, д-р техн. наук, директор Института транспортного планирования Российской академии транспорта, Москва, Россия

Василий Михайлович Сай, д-р техн. наук, профессор, Уральский государственный университет путей сообщения, Екатеринбург, Россия

РЕДКОЛЛЕГИЯ

Евгений Самуилович Ашпиз, д-р техн. наук, профессор, РУТ, Москва

Владимир Григорьевич Булаев, д-р техн. наук, профессор, УрГУПС, Екатеринбург

Александр Петрович Буйносов, д-р техн. наук, профессор, УрГУПС, Екатеринбург

Игорь Игоревич Гаврилин, канд. биол. наук, доцент, УрГУПС, Екатеринбург

Дмитрий Станиславович Завалишин, канд. физ.-мат. наук, доцент, УрГУПС, Екатеринбург

Сергей Николаевич Корнилов, д-р техн. наук, профессор, МГТУ, г. Магнитогорск

Валерий Максимович Курганов, д-р техн. наук, профессор, ТвГУ, Тверь

Василий Федорович Лапшин, д-р техн. наук, профессор, УрГУПС, Екатеринбург

Валерий Владимирович Сапожников, д-р техн. наук, профессор, ПГУПС, Санкт-Петербург

Галина Адольфовна Тимофеева, д-р физ.-мат. наук, профессор, УрГУПС, Екатеринбург

Константин Владимирович Щурин, д-р техн. наук, профессор Московского государственного областного технологического университета, г. Королёв

INTERNATIONAL EDITORIAL BOARD

Vladimir Viktorovich Tsyganov, Doctor of Technical Sciences, Professor, Institute of Control Sciences of Russian Academy of Sciences, Moscow, Russia

Sergey German-Galkin, Doctor of Technical Sciences, Professor, Maritime University, Institute of Marine Electrical Engineering and Vessel Automation, Szczecin, Poland

Dorel Guzun, Doctor of Technical Sciences, Professor, Institute for Nanoscience and Engineering, University of Arkansas, USA

Alexander Leonidovich Kazakov, Doctor of Physical and Mathematical Sciences, Professor, Matrosov Institute of System Dynamics and Control Theory of Siberian Branch of Russian Academy of Sciences, Irkutsk, Russia

Vyacheslav Semyonovich Schwarzfeld, Doctor of Technical Sciences, Professor, Emperor Alexander I St. Petersburg State Transport University, St. Petersburg, Russia

Mikhail Rostislavovich Yakimov, Doctor of Technical Sciences, Director of Institute of Transport Planning of Russian Transport Academy, Moscow, Russia

Vasiliy Mikhailovich Say, Doctor of Technical Sciences, Professor, Ural State University of Railway Transport, Yekaterinburg, Russia

EDITORIAL BOARD

Evgeniy Samuilovich Ashpiz, Doctor of Technical Sciences, Professor, RUT (MIIT), Moscow

Vladimir Grigoryevich Bulaev, Doctor of Technical Sciences, Professor, USURT, Yekaterinburg
Alexander Petrovich Buynosov, Doctor of Technical Sciences, Professor, USURT, Yekaterinburg

Igor Igorevich Gavrilin, Candidate of Biological Sciences, Associate Professor, USURT, Yekaterinburg

Dmitry Stanislavovich Zavalishchin, PhD, associate professor, The Ural State University of Railway Transport, Yekaterinburg

Sergey Nikolaevich Kornilov, Doctor of Technical Sciences, Magnitogorsk State Technical University, Professor, Magnitogorsk

Valeriy Maksimovich Kurganov, Doctor of Technical Sciences, Professor, TSU, Tver

Vasiliy Fedorovich Lapshin, Doctor of Technical Sciences, Professor, USURT, Yekaterinburg

Valeriy Vladimirovich Sapozhnikov, Doctor of Technical Sciences, Professor, PSTU, St. Petersburg

Galina Adolfofna Timofeeva, Doctor of Physical and Mathematical Sciences, Professor, USURT, Yekaterinburg

Konstantin Vladimirovich Shchurin, Doctor of Technical Sciences, Professor, Moscow Region University of Technology, Korolev city

Содержание

Математические модели технологических процессов

- 4 Е. А. Чеботарева, В. А. Богачев. Исследование организационно-технологической устойчивости системы управления вагонопотоками в адрес припортовых станций с использованием теории дифференциальных уравнений
- 13 С. В. Кротов, Д. П. Кононов, А. П. Буйносов. Исследование кривых износа профилей железнодорожного колеса и рельса при изменении радиусов кривизны
- 21 К. В. Ковалева, В. Ф. Лапшин, А. С. Митраков. Моделирование напряженного состояния конструкции кузова двухэтажного вагона из алюминиевых профилей

Организация производства

- 31 Н. Ф. Сирина, Д. Л. Русин. Совершенствование системы планирования и распределения локомотивных бригад в полигонных технологиях ОАО «РЖД»
- 43 Н. С. Захаров, Е. С. Козин. Контроль выполнения технологического процесса обслуживания и ремонта автомобилей с использованием нейронных сетей

Управление в технических системах

- 52 Е. С. Максимова, Р. А. Ефимов, Н. А. Панюкова. Организация движения снегоуборочной техники на проектируемой железнодорожной линии «Северный широтный ход»
- 62 А. Д. Абрамов, В. И. Кочергин, М. А. Семенов. Повышение эффективности эксплуатации снегоуборочных машин после дооснащения средствами автоматизированного мониторинга
- 71 Е. Д. Псеровская, О. Б. Шерстобитова, Д. А. Басманов. Исследование возможностей использования инструмента имитационного моделирования AnyLogic в организации работы контрейлерного терминала
- 84 И. С. Овечкин, Е. Ю. Пузина. Снижение несимметрии напряжения воздушных линий, питающих устройства автоблокировки

Организация и логистика

- 96 Н. В. Курганова, А. А. Сазонов. Управление складской логистикой с организацией частичного fulfillment в системе смешанных перевозок
- 103 Е. С. Богданова, Л. А. Черепанова. Совершенствование показателей транспортного потока в структуре интегрированной логистической системы
- 112 С. В. Кругликов, М. В. Ивашкин. Разработка концептуальной модели цифрового двойника для цепочки региональных транспортно-логистических центров

Аспирантская тетрадь

- 122 Ю. С. Меркурьев. Моделирование сейсмического воздействия на земляное полотно с демпфирующим слоем. Сравнение аналитического и конечно-элементного методов

Contents

Mathematic models of technological processes

- 4 E. A. Chebotareva, V. A. Bogachev. Research of organizational and technological stability for the car flow control system using the theory of differential equations
- 13 S. V. Krotov, D. P. Kononov, A. P. Bujnosov. Investigation of the wear curves of the railway wheel and rail profiles when changing the radii of curvature
- 21 K. V. Kovaleva, V. F. Lapshin, A. S. Mitrakov. Simulation of the stress state of the body structure of a double-deck wagon made of aluminum profiles

Production organization

- 31 N. F. Sirina, D. L. Rusin. Improvement for the system of planning and distribution of locomotive crews in the ground technologies of JSC RZD
- 43 N. S. Zaharov, E. S. Kozin. Control of the technological process of car maintenance and repair using neural networks

Control in engineering systems

- 52 E. S. Maksimova, R. A. Efimov, N. A. Panyukova. Organization of movement for snow removal equipment on the projected railway line «Northern latitudinal railway»
- 62 A. D. Abramov, V. I. Kochergin, M. A. Semenov. Increasing operational efficiency of snow remover after retrofitting with automated monitoring means
- 71 E. D. Pserovskaya, O. B. Sherstobitova, D. A. Basmanov. Studying the possibilities of using a simulation tool Any Logic in organizing the operation of a pickup terminal
- 84 I. S. Ovechkin, E. YU. Puzina. Reducing the voltage unsymmetry of overhead lines supplying autoblocking devices

Organization and logistics

- 96 N. V. Kurganova, A. A. Sazonov. Warehouse logistics management with the organization of partial fulfillment in the multimodal transport system
- 103 E. S. Bogdanova, L. A. Cherepanova. Improvement of transport flow indicators in the structure of the integrated logistics system
- 112 S. V. Kruglikov, M. V. Ivashkin. Development of a conceptual model of a digital twin for a chain of regional transport and logistics centers

Research of young scientists

- 122 Yu. S. Merkuriev. Modeling seismic impact on substrate with a damping layer. Comparison of analytical and finite element methods

Математические модели технологических процессов

УДК 625.1 + 06

Е. А. Чеботарева, В. А. Богачев

Исследование организационно-технологической устойчивости системы управления вагонопотоками с использованием теории дифференциальных уравнений

UDC625.1 + 06

Е. А. Chebotareva, V. A. Bogachev

Research of organizational and technological stability for the car flow control system using the theory of differential equations

Аннотация

Исследуются вопросы повышения организационно-технологической устойчивости работы припортовых транспортно-технологических систем в задачах управления вагонопотоками. При этом особый интерес для исследования представляет вопрос делегирования части функций планирования и управления от диспетчерского аппарата в функционал новых информационных инструментов и систем. В исследовании актуализируется задача повышения

устойчивости работы припортовой транспортной системы при интеллектуализации процессов управления перевозками. Рассматриваются различные структуры трех- и двухуровневой систем управления по отношению к различным режимам функционирования этих систем. Разработан подход, основанный на построении соответствующих «жестких» и «мягких» математических моделей процесса управления, позволяющий находить возможности для недопущения перехода систем в тяжелый

эксплуатационный режим. Дано сравнение характеристик многоступенчатых систем управления вагонопотоками, найденных «жестким» и «мягким» моделированием. Полученные вследствие «смягчения» рассматриваемых математических моделей результаты позволяют оценивать устойчивость функционирования транспортно-технологических систем в условиях интеллектуализации процессов управления перевозками и возникающие с течением времени возможные риски. Системы

Статья рекомендована к публикации Г. А. Тимофеевой, д-ром физ.-мат. наук, профессором; Уральский государственный университет путей сообщения. E-mail: GTimofeeva@usurt.ru.

Евгения Андреевна Чеботарева, канд. техн. наук, доцент; кафедра «Управление эксплуатационной работой» Ростовского государственного университета путей сообщения; Ростов-на-Дону, Россия. E-mail: abrosimova@yandex.ru. ORCID0000-0001-7662-0837

Виктор Алексеевич Богачев, канд. физ.-мат. наук, доцент; кафедра «Высшая математика» Ростовского государственного университета путей сообщения; Ростов-на-Дону, Россия. E-mail: bogachev-va@yandex.ru. ORCID0000-0003-1202-7318

© Е. А. Чеботарева, В. А. Богачев, 2023

The article is recommended for publication by G. A. Timofeeva, Doctor of Physics and Mathematics. sciences, professor; Ural State University of Railways. E-mail: GTimofeeva@usurt.ru.

Evgenia Andreevna Chebotareva, Ph.D. in Technical Sciences, Associate Professor; Department «Operational Work Management», Rostov State Transport University; Rostov-on-Don, Russia. E-mail: abrosimova@yandex.ru. ORCID0000-0001-7662-0837

Viktor Alekseevich Bogachev, Ph.D in Physics and Mathematics Sciences, Associate Professor; Department «Higher Mathematics», Rostov State Transport University; Rostov-on-Don, Russia. E-mail: bogachev-va@yandex.ru. ORCID0000-0003-1202-7318

© E. A. Chebotareva, V. A. Bogachev, 2023

компьютерной математики дают возможность реализовывать эвристическую составляющую исследований и получать теоретически обоснованные и наглядные решения задач оптимизации режимов управления грузами и вагонопотоками.

Ключевые слова: железнодорожный транспорт, организация транспортного производства, устойчивость систем управления, информационные системы, стационарное состояние системы, «жесткие» и «мягкие» математические модели, технологические процессы, дифференциальные уравнения, системы компьютерной математики.

DOI: 10.20291/2079-0392-2023-4-4-12

Abstract

The issues of increasing the organizational and technological sustainability for the operation of port transport and technological systems in the problems in car flow mana-

gement have been investigated. At the same time, the issue of delegating part of the planning and management functions from the dispatch apparatus to the functionality of new information tools and systems is a particular interest for the study. The study updates the task of increasing the sustainability of the port transport system while intellectualizing transportation management processes. Various structures of three- and two-level control systems are considered in relation to operation in various modes. The developed approach is based on the construction of appropriate «hard» and «soft» mathematical models of the control process, which makes it possible to find opportunities to prevent the transition of systems to severe operating conditions. The authors have given a comparison of the characteristics of multi-stage car flow control systems found by «hard» and «soft»

modeling is given. The results obtained after «softening» the considered mathematical models make it possible to assess the stability in the functioning of transport and technological systems in the conditions of intellectualization of transportation management processes and possible risks arising over time. Computer mathematics systems make it possible to implement the heuristic component of research and obtain theoretically based and visual solutions to problems of optimizing control modes for freight and railcar flows.

Key words: railway transport, organization of transport production, stability of control systems, information systems, stationary state of the system, «hard» and «soft» mathematical models, technological processes, differential equations, computer mathematics systems.

DOI: 10.20291/2079-0392-2023-4-4-12

Система управления транспортной отраслью решает сложнейшую задачу координации многочисленных участников процесса перевозок с образующими безостановочно функционирующий конвейер структурными транспортными подразделениями. Особенно сложные и экономически значимые задачи (составление корректных совместных планов транспортной работы, графиков движения и планов подвода поездов и судов, координация работы различных видов транспорта и организация транспортного производства) возникают в процессе функционирования припортовых железных дорог. Поэтому одна из ключевых задач в вопросах управления припортовыми транспортно-технологическими системами (ПТТС) – интеллектуализация процессов управления

поездо- и вагонопотоками. Здесь особый интерес для исследования представляет вопрос делегирования части функций планирования и управления от диспетчерского аппарата в функционал новых информационных инструментов и систем.

За последнее десятилетие произошли кардинальные изменения в структуре и технологии управления поездо- и вагонопотоками в части структуры и принципов управления перевозками в адрес портов, развития логистических центров припортовых железных дорог и полигонных технологий перевозочного процесса [1, 2], направлений и дальности перевозок грузов в железнодорожном сообщении, формировании крупных выгрузочных районов (особенно в районах морских портов), что привело к концентрации грузопотоков и образованию

высокозагруженных направлений [3–5]. Появился новый информационный инструментарий, например, динамическая модель загрузки инфраструктуры и модуль автоматизированной системы управления местной работой дорожной информационно-логистической [6–8]. В информационное пространство вовлекается все больше участников перевозочного процесса [9, 10].

Из этого видно, что исследования вопросов управления припортовыми транспортно-технологическими системами (ПТТС) остаются актуальными. Результаты выполненного авторами обзора подтверждают востребованность разнообразных математических методов в решении задач, возникающих в области управления [11–13]. В настоящей работе разрабатывается подход к исследованию вопросов управления ПТТС, методологическую основу которого составляют концепции «жесткой» и «мягкой» математических моделей в общей теории управления [14].

В ОАО «РЖД» действует многоуровневая система управления поездом и вагонопотоками в адрес припортовых станций. На третьем (нижнем) уровне эта система представлена диспетчерским аппаратом припортовых станций. На втором (среднем) – логистическими центрами, на первом (высшем) – Центральной дирекцией (ЦД) и Центром фирменного транспортного обслуживания как основными участниками планирования объемов перевозок грузов в смешанном сообщении в адрес припортовых станций. На первом уровне управления формулируются директивы, по большей части относящиеся к увеличению количества вагонов, направляемых на станции выгрузки. Функционирование второго уровня управления (подчиняющегося ЦД) наряду с основной задачей, увеличением количества направляемых на станции вагонов, проявляется и в частичной корректировке этого количества. Диспетчерский аппарат станции выгрузки, выполняющий функции третьего уровня управления, отслеживает текущую обстановку и, пользуясь

возможностями транспортно-технологической системы, разруливает на месте ситуации, возникающие с прибывающими вагонами. Руководство станции выгрузки имеет достаточно четкое представление об оптимальном количестве U вагонов, которое следует направлять в сутки в адрес станции.

Сделаем теперь принципиальное с теоретической точки зрения замечание. «Жесткие» системы с тремя и более уровнями управления являются неустойчивыми [14]. Чтобы построить устойчивую модель системы управления, рассмотрим двухуровневую конструкцию. Реализацию этой конструкции выполним путем виртуального агрегирования, а именно, объединим в трехуровневой системе управления второй и третий уровни в один. То есть в качестве субъекта B (обратная связь в управлении) будем рассматривать виртуальное объединение диспетчерского центра управления станции и логистического центра.

Общая схема возможных режимов работы эксплуатационной работы припортовой транспортно-технологической системы и ее структурных элементов представлена на рис. 1. Для характеристики режимов работы станций и поездной работы применительно к более крупным объектам (припортовой дороге и полигону) используем [15].

Далее в качестве примера и объекта приложения двухуровневой модели будем рассматривать систему управления вагонопотоками, направляемыми в адрес припортовой станции Новороссийск Северо-Кавказской железной дороги. При исследовании системы на устойчивость в качестве оптимального возьмем значение объема выгрузки $U = 1200$ (ваг.).

Предполагается, что в адрес станции/набора станций выгрузки направляются некоторые грузы, количество u которых изменяется со временем t (сут) и исчисляется в вагонах. Будем рассматривать двухуровневую систему управления переменной величиной $u = u(t)$. Функции первого (верхнего) уровня

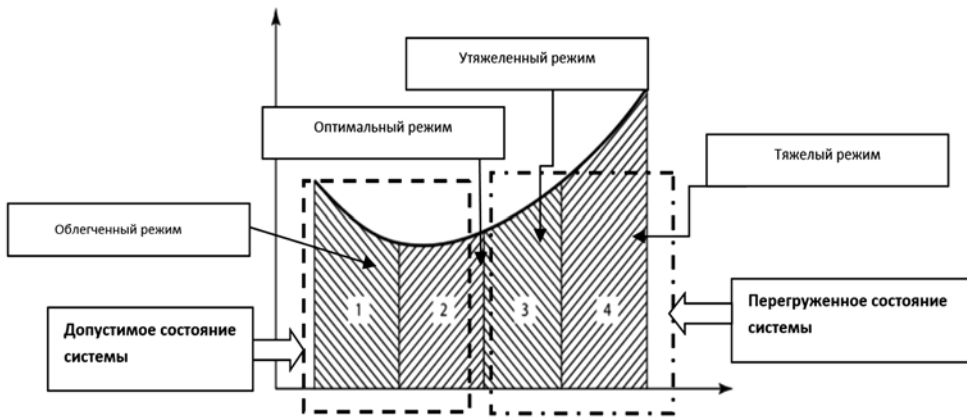


Рис. 1. Режимы работы элементов ПТТС

реализуются субъектом управления A , который, пользуясь административным ресурсом, стремится увеличивать количества u вагонов, отправляемых на станции. Деятельность субъекта A будем выражать переменной $v = v(t)$, которую зададим равенством

$$v = \dot{u}. \quad (1)$$

Здесь $\dot{u}(t)$ — производная по времени t функции $u = u(t)$, рассматриваемой как неизвестная.

Функции второго (нижнего) уровня в системе реализуются субъектом управления B . Деятельность субъекта B будем выражать переменной \dot{v} , которая задается равенством

$$\dot{v} = -K(u - U). \quad (2)$$

Здесь K — некоторое положительное число; U — оптимальное количество вагонов, которое следует отправлять адрес станции/набора станций и которое предполагается известным субъекту B . В общем случае коэффициент K отражает возможности субъекта B в регулировании величины \dot{v} ускорения изменения количества u вагонов, направляемых в адрес станции/набора станций.

Отметим, что в отличие от схемы, изложенной в [14], в настоящей модели обратная связь между субъектами управления реализуется на нижнем

уровне управления. Чтобы пояснить структуру правой части равенства (2), которая выступает как аналитический механизм реализации обратной связи между субъектами управления B и A , обратимся к дифференциальному исчислению. Если кратко, то в случаях, когда значения u отличаются от оптимального значения U , правая часть равенства (2) задает знак скорости \dot{v} изменения переменной v (которая, в свою очередь, является скоростью изменения количества u вагонов). Более подробно: если $u < U$, то из равенства (2) получаем, что $\dot{v} > 0$ (напомним, что $K > 0$). Следовательно, возрастает функция $v(t)$. Отсюда в силу равенства (1) следует, что возрастает скорость $\dot{u}(t)$ изменения функции $u(t)$. Таким образом, в случае, когда $u < U$, получается, что субъект B активизирует деятельность субъекта A . Если же оказывается, что $u > U$, то аналогичным образом получаем, что $\dot{v} < 0$. Таким образом, функция $\dot{u}(t) = v(t)$ убывает. То есть убывает скорость возрастания функции $u(t)$. Таким образом, если $u > U$, то субъект B сдерживает чрезмерную активность субъекта A .

Подведем итог выполненным аналитическим построениям и запишем построенную модель системы управления вагонопотоками в форме автономной системы обыкновенных дифференциальных уравнений:

$$\begin{cases} \dot{u} = v, \\ \dot{v} = -K(u - U) \end{cases} \quad (3)$$

с двумя неизвестными функциями $u = u(t)$ и $v = v(t)$.

Для изучения системы (3) можно использовать различные подходы и методы, разработанные в теории дифференциальных уравнений (см., например, [14, 16]). Мы воспользуемся тем, что эта система сводится к линейному неоднородному обыкновенному дифференциальному уравнению 2-го порядка с постоянными коэффициентами

$$\ddot{u} + Ku = KU \quad (4)$$

с одной неизвестной функцией $u = u(t)$. Отметим, что далее в соответствии с постановкой прикладной задачи для функций $u(t)$ и $v(t) = \dot{u}(t)$ будут введены начальные условия.

С математической точки зрения, в настоящей работе исследуется на устойчивость при $t \rightarrow +\infty$ решение $u(t) \equiv U$ уравнения (4). Этому решению соответствует стационарное состояние рассматриваемой системы управления [14]. Общее решение уравнения (4) запишем в виде:

$$u(t) = C \sin(\sqrt{K}t + \beta) + U, \quad (5)$$

где числа C и β находятся из равенств:

$$C = \sqrt{C_1^2 + C_2^2}, \quad \cos \beta = \frac{C_1}{C}, \quad \sin \beta = \frac{C_2}{C}, \quad (6)$$

а C_1 и C_2 – произвольные вещественные постоянные.

Отметим, что система (3) относится к «жестким» математическим моделям [14].

В двухуровневой системе управления устойчивость стационарного состояния, определяемого решением $u(t) \equiv U$ дифференциального уравнения (4), зависит от знака вещественных частей корней λ (вообще говоря, комплексных) характеристического уравнения [14, 16]:

$$\lambda^2 + K = 0. \quad (7)$$

В силу положительности константы K уравнение (7) имеет два чисто мнимых (комплексно-сопряженных) корня $\lambda_{1,2} = \pm i\sqrt{K}$, которые лежат на границе устойчивости указанного решения [14, 16].

Изложим полученные в рамках «жесткой» модели результаты исследования устойчивости системы управления вагонопотоками, направляемыми в адрес припортовой станции выгрузки Новороссийск. В настоящей работе исследования проводились в среде системы компьютерной математики Maxima (Free Ware).

График функции $u(t)$, являющейся решением уравнения (4), удовлетворяющим начальным условиям: $u(0) = 1300$ (ваг.) и $\dot{u}(0) = 100$ (ваг./сут), в случае, когда $K = 1$, представлен на рис. 2. Здесь проиллюстрировано общее положение, согласно которому двухуровневое управление может приводить к периодическим колебаниям, но при этом не вызывать их катастрофического нарастания [14]. (Такое нарастание происходит в случае «жесткого» моделирования систем управления с тремя и более уровнями управления.)

Заметим теперь, что двухуровневое управление может оказаться неустойчивым (как в данном случае) или устойчивым (при наличии дополнительных

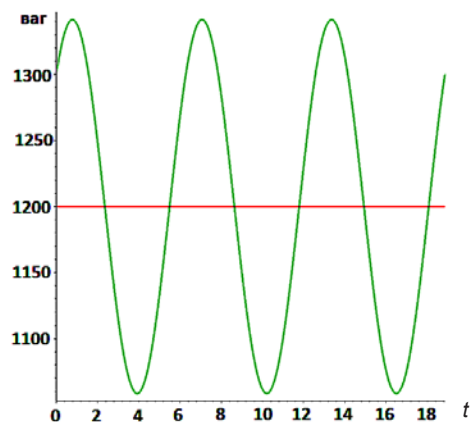


Рис. 2. График зависимости количества u вагонов от времени в случае «жесткой» модели

связей между субъектами управления B и A). К исследованию этих вопросов мы и переходим.

Начнем с цитаты: «Вывод: жесткую модель всегда надлежит исследовать на структурную устойчивость полученных при ее изучении результатов по отношению к малым изменениям модели (делающим ее мягкой)» [14].

Итак, займемся «смягчением» построенной «жесткой» модели системы управления вагонопотоками, задаваемой системой дифференциальных уравнений (3). Будем рассматривать «мягкую» модель, которую запишем в виде следующей автономной системы обыкновенных дифференциальных уравнений:

$$\begin{cases} \dot{u} = v, \\ \dot{v} = -K(u - U) - \varepsilon v. \end{cases} \quad (8)$$

Отметим, что с присутствием слагаемого с коэффициентом $\varepsilon > 0$ в правой части второго уравнения системы (8) реакция субъекта управления B на изменения поведения вагонопотоков становится более детализированной. Именно величина \dot{v} ускорения изменения количества вагонов, направляемых в адрес станции/набора станций, зависит не только от количества u этих вагонов, но также от скорости \dot{u} изменения этого количества. Более подробно. Если $\dot{u} > 0$ (то есть вагонопоток в адрес данной станции увеличивается), то произведение εv положительно и тем самым величина \dot{v} ускорения изменения количества вагонов становится меньше, чем в случае, когда используется «жесткая» модель. Если же $\dot{u} < 0$ (то есть вагонопоток в адрес станции уменьшается), то произведение εv отрицательно и величина \dot{v} становится больше, чем при использовании «жесткой» модели.

Перейдем к результатам, полученным для рассматриваемого проекта в рамках «мягкой» модели. На рис. 3 представлен график функции

$$u(t) = 4e^{-\frac{t}{4}} \cos \frac{\sqrt{15}t}{4} + 1200, \quad (9)$$

которая является первой компонентой частного решения системы (8), удовлетворяющего начальным условиям: $u(0) = 1300$ (ваг.) и $v(0) = -25$ (ваг./сут) в предположении, что $K = 1$ и $\varepsilon = 0,5$.

Обратим внимание на то, что представленный на рис. 3 график функции $u = u(t)$, которой описывается изменение со временем t (сут) количества вагонов u , направляемых в адрес данной станции/набора станций выгрузки, имеет отчетливо выраженную горизонтальную асимптоту $u = 1200$. Приведем ещё один график, подтверждающий устойчивость стационарного состояния $u(t) \equiv 1200$ (ваг.) рассматриваемой системы управления вагонопотоками. На рис. 4 представлен график функции

$$u(t) = 1200 - 200e^{-\frac{t}{4}} \cos \frac{\sqrt{15}t}{4}, \quad (10)$$

которая является первой компонентой другого частного решения системы (8). При этом начальные значения существенно отличаются от предыдущих, а именно, $u(0) = 1000$ (ваг.) и $v(0) = 50$ (ваг./сут).

Итак, устойчивость указанного стационарного состояния подтверждается тем, что независимо от выбираемых

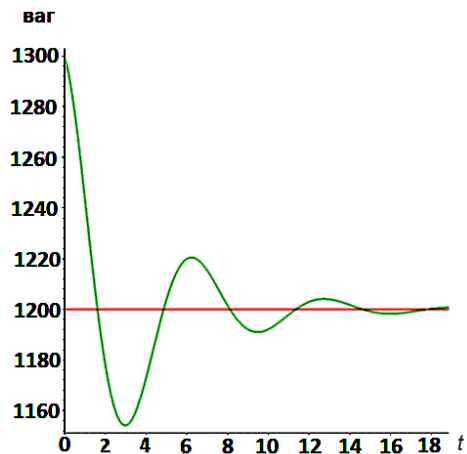


Рис. 3. График зависимости количества u вагонов от времени в случае «мягкой» модели

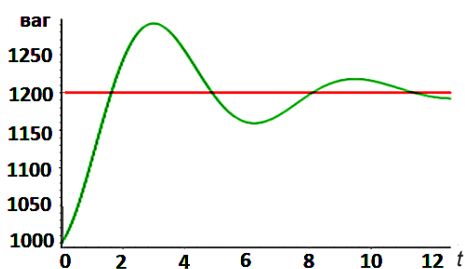


Рис. 4. График зависимости количества u вагонов для «мягкой» модели при других начальных условиях

начальных значений количество вагонов $u = u(t)$, направляемых в адрес данной станции/набора станций выгрузки, при $t \rightarrow +\infty$ удовлетворяет условию $u(t) \rightarrow 1200$ (ваг.).

Выводы

Разработан подход в исследовании организационно-технологической устойчивости систем управления грузопотоками на железнодорожном транспорте. Методологическую основу исследований составляют концепции «жесткого» и «мягкого» математического моделирования в теории управления. Разработка моделей функционирования рассматриваемых систем управления

вагонопотоками выполнена на основе классических методов теории обыкновенных дифференциальных уравнений.

Показано, что в результате введения дополнительных связей между субъектами двухуровневого управления от неустойчивой «жесткой» модели можно перейти к «мягкой» модели системы управления вагонопотоками, которая оказывается устойчивой, что представляет интерес, в том числе с точки зрения развития интеллектуализированных систем управления поезд- и вагонопотоками. Ввиду неустойчивости функционирования «жестких» систем с тремя и более уровнями управления разработана методика адаптации «мягкой» двухуровневой модели к трехуровневой системе управления вагонопотоками.

Предложенный подход имеет общий характер и применим при изучении вопросов управления перевозками грузов, осуществляемыми другими наземными видами транспорта. Будучи универсальным программным инструментом, системы аналитических вычислений наряду с выполнением эвристической функции позволяют получать математически обоснованные и наглядные решения задач оптимизации режимов управления грузопотоками. ■

Литература

1. Перспективные технологии на железнодорожном транспорте / В. Н. Зубков [и др.]. – Ростов-на-Дону, 2019. 145 с. ISBN 978-5-88814-978-2.
2. Резер С. М. Логистические центры как организационная основа новых форм взаимодействия // Железнодорожный транспорт. 2007. № 6. С. 44–47. ISSN 0044-4448.
3. Чеботарева Е. А., Верескун В. Д., Долгий И. Д. Логистика организации пассажирского и грузового движения на направлениях Северо-Кавказской железной дороги // Вестник Ростовского государственного университета путей сообщения. 2022. № 1 (85). С. 108–116. ISSN 0201-727X.
4. Musienko N. N., Ryazanova E. V., Anoshkin K. V. Drivers and barriers to the development of freight transportation at the South-West polygon of OAO «Russian railways» // AIP Conference Proceedings: 5th International Scientific Conference on Intelligent Information Technologies for Industry, ITI 2021 Sochi, 30 September-04 October 2021. 2022. Т. 2389.
5. Цифровая трансформация управления перевозочным процессом / И. Н. Розенберг [и др.]. Автоматика, связь, информатика. 2019. № 7. С. 2–6. ISSN 0005-2329.
6. Шапкин И. Н., Осьминин А. Т. Цифровые технологии приходят на смену прежней идеологии управления перевозками // Инновационные технологии на железнодорожном транспорте : Сб. трудов научн.-практ. конф. (с международным участием). М., 2022. С. 413–431.
7. Кабанов А. Б., Осьминин А. Т. Научный подход к планированию железнодорожных грузовых перевозок // Железнодорожный транспорт. 2022. № 8. С. 12–16. ISSN 0044-4448.

8. Zubkov V. N., Ryazanova E. V., Anoshkin K. V. Proposals for the Development of the Road Information Logistics System (RILS) // *Proceedings-2022 : International Russian Automation Conference, RusAutoCon 2022*, 2022. P. 527–536.
9. Камышова Ю. И., Рязанова Е. В. Оценка информационного обеспечения в организации экспортных перевозок на уровне дорожного логистического центра // *Современное развитие науки и техники : Сб. трудов Всерос. нац. науч.-практ. конф. «Наука-2017»*. – Ростов-на-Дону, 2017. Т. 2: Технические, экономические, гуманитарные и юридические науки. С. 134–138.
10. Числов О. Н., Кравец А. С., Рустамов А. Ф. Особенности организации мультиагентных транспортно-логистических систем // *Транспорт и логистика: тренды и барьеры развития в условиях пространственно-технологических ограничений и неопределенности : сб. науч. тр. V Междунар. науч.-практ. конф.* – Ростов-на-Дону, 2021. С. 197–201.
11. Сай В. М., Горелова Д. Ю. Моделирование системы обнаружения аномалий в сетевых организационных структурах // *Вестник УрГУПС*. 2023. № 1 (57). С. 4–13. ISSN 2079-0392.
12. Экономико-географическая модель управления контейнерными перевозками в железнодорожной припортовой транспортно-технологической системе / О. Н. Числов [и др.] // *Вестник УрГУПС*. 2017. № 4 (36). С. 12–21. ISSN 2079-0392.
13. Боднар И. Н. Оптимальное регулирование порожних вагонопотоков в условиях множества собственников железнодорожного подвижного состава // *Вестник УрГУПС*. 2017. № 4 (36). с. 22–32. ISSN 2079-0392.
14. Арнольд В. И. «Жесткие» и «мягкие» математические модели. – 2-е изд. М. : МЦНМО, 2008. 32 с. ISBN 978-5-94057-427-9.
15. Левин Д. Ю. Теория оперативного управления перевозочным процессом : монография. М. : ГОУ «Учебно-методический центр по образованию на железнодорожном транспорте», 2008. 625 с. ISBN 978-5-89035-547-8.
16. Петровский И. Г. Лекции по теории обыкновенных дифференциальных уравнений. – М. : МГУ. – 1984. 296 с. ISBN 978-5-9221-1144-7.

References

1. Advanced technologies in railway transport / V. N. Zubkov [and others]. – Rostov-on-Don [Perspektivnye tekhnologii na zheleznodorozhnom transporte.] 2019. P. 145. ISBN 978-5-88814-978-2.
2. Rezer S. M. Logistics centers as an organizational basis for new forms of interaction // *Railway transport. [Logisticheskie centry kak organizacionnaya osnova novyh form vzaimodejstviya // Zheleznodorozhnyj transport.]* 2007. № 6. Pp. 44–47. ISSN 0044-4448.
3. Chebotareva E. A., Vereskun V. D., Dolgiy I. D. Logistics of organizing passenger and freight traffic on the routes of the North Caucasus Railway // *Bulletin of the Rostov State University of Railway Transport [Logistika organizacii passazhirskogo i gruzovogo dvizheniya na napravleniyah Severo-Kavkazskoj zheleznoj dorogi.]* 2022. № 1 (85). Pp. 108–116. ISSN 0201-727X.
4. Musienko N. N., Ryazanova E. V., Anoshkin K. V. Drivers and barriers to the development of freight transportation at the South-West polygon of OAO «Russian railways» // *AIP Conference Proceedings: 5th International Scientific Conference on Intelligent Information Technologies for Industry, IITI 2021 Sochi, 30 September-04 October 2021*. 2022. Т. 2389.
5. Digital transformation of transportation process management / I. N. Rosenberg [et al.]. Automation, communications, informatics [Cifrovaya transformaciya upravleniya perevozochnym processom / Avtomatika, svyaz', informatika]. 2019. № 7. Pp. 2–6. ISSN 0005-2329.
6. Shapkin I. N., Osminin A. T. Digital technologies are replacing the previous ideology of transportation management // *Innovative technologies in railway transport: Sat. scientific and practical works conf. (with international participation) [Cifrovye tekhnologii prihodyat na smenu prezhnej ideologii upravleniya перевозками // Innovacionnye tekhnologii na zheleznodorozhnom transporte : Sb. trudov nauchn.-prakt. konf. (s mezhdunarodnym uchastiem).]* М., 2022. Pp. 413–431.
7. Kabanov A. B., Osminin A. T. Scientific approach to planning railway freight transportation // *Railway transport. [Nauchnyj podhod k planirovaniyu zheleznodorozhnyh gruzovyh perevozok // Zheleznodorozhnyj transport.]* 2022. № 8. Pp. 12–16. ISSN 0044-4448.

8. Zubkov V. N., Ryazanova E. V., Anoshkin K. V. Proposals for the Development of the Road Information Logistics System (RILS) // Proceedings-2022 : International Russian Automation Conference, RusAutoCon 2022, 2022. P. 527–536.
9. Kamyshova Yu. I., Ryazanova E. V. Assessment of information support in the organization of export transportation at the level of a road logistics center // Modern development of science and technology: Coll. works of Rus. national scientific and practical conf. «Science 2017». – Rostov-on-Don [Ocena informacionnogo obespecheniya v organizacii eksportnyh perevozok na urovne dorozhnogo logisticheskogo centra // Sovremennoe razvitie nauki i tekhniki : Sb. trudov Vseros. nac. nauch.-prakt. konf. «Nauka-2017»], 2017. Vol. 2: Technical, economic, humanitarian and legal sciences. C. 134–138.
10. Chislov O. N., Kravets A. S., Rustamov A. F. Features of the organization for multi-agent transport and logistics systems // Transport and logistics: trends and barriers to development in conditions of spatial-technological restrictions and uncertainty: collection. scientific articles. V International scientific and practical conf. – Rostov-on-Don [Osobennosti organizacii mul'tiagentnyh transportno-logisticheskikh sistem // Transport i logistika: trendy i bar'ery razvitiya v usloviyah prostranstvenno-tekhnologicheskikh ogranichenij i neopredelennosti : sb. nauch. tr. V Mezhdunar. nauch.-prakt. konf.], 2021. Pp. 197–201.
11. Sai V. M., Gorelova D. Yu. Modeling an anomaly detection system in network organizational structures // Herald of the Ural State University of Railway Transport [Modelirovanie sistemy obnaruzheniya anomalij v setevyh organizacionnyh strukturah // Vestnik UrGUPS.] 2023. № 1 (57). Pp. 4–13. ISSN 2079-0392.
12. Economic-geographical model of container transportation management in the railway port transport and technological system / O. N. Chislov [et al.] // Herald of the Ural State University of Railway Transport [Ekonomiko-geograficheskaya model' upravleniya kontejnernymi perevozkami v zheleznodorozhnoj priportovoj transportno-tekhnologicheskoy sisteme / O. N. Chislov [i dr.] // Vestnik UrGUPS.] 2017. № 4 (36). Pp. 12–21. ISSN 2079-0392.
13. Bodnar I. N. Optimal regulation of empty car flows in conditions of multiple owners of railway rolling stock // Herald of the Ural State University of Railway Transport [Optimal'noe regulirovanie porozhnyh vagonopotovkov v usloviyah mnozhestva sobstvennikov zheleznodorozhnogo podvizhnogo sostava // Vestnik UrGUPS.] 2017. № 4 (36). Pp. 22–32. ISSN 2079-0392.
14. Arnold V. I. «Hard» and «soft» mathematical models. – 2nd ed [«Zhestkie» i «myagkie» matematicheskie modeli. – 2-e izd]. M., 2008. P. 32 ISBN 978-5-94057-427-9.
15. Levin D. Yu. Theory of operational management in the transportation process: monograph. M.: State Educational Institution «Training and Methodological Center for Education in Railway Transport» [Teoriya operativnogo upravleniya perevozochnym processom : monografiya. M. : GOU «Uchebno-metodicheskij centr po obrazovaniyu na zheleznodorozhnom transporte»], 2008. 625 p. ISBN 978-5-89035-547-8.
16. Petrovsky I. G. Lectures on the theory of ordinary differential equations [Lekcii po teorii obyknovennyh differencial'nyh uravnenij]. – M. : MSU. 1984. 296 p. ISBN 978-5-9221-1144-7.

Статья сдана в редакцию 14 сентября 2023 года

УДК 629.4.015:625.1.03

С. В. Кротов, Д. П. Кононов, А. П. Буйносов

Исследование кривых износа профилей железнодорожного колеса и рельса при изменении радиусов кривизны

UDC 629.4.015:625.1.03

S. V. Krotov, D. P. Kononov, A. P. Bujnosov

Investigation of the wear curves of the railway wheel and rail profiles when changing the radii of curvature

Аннотация

Выполнены уточнения модели износа отдельных участков профиля поверхности катания колеса на основе данных, получаемых при вычислении кривизны и радиуса изношенного профиля, а также углов наклона касательной к нему при разных величинах проката. С этой целью используются математические зависимости метода конечных разностей, аналитические выражения, уравнения регрессии для описания износа поверхности колеса при различном расположении точек отсчета. Для снижения погрешности расчетов учтена начальная

кривизна в отдельных точках. Для дальнейших исследований построена кривая износа с постоянно меняющимся радиусом кривизны. Определяются координаты пятен контакта в некоторых точках. Используется табличный метод представления значительного количества данных. Рассчитываются координаты центров пятен контакта и радиусы кривизны профилей колеса и рельса в различных точках. Представленные данные полезны для дальнейшего изучения сложности контакта колеса и рельса и количественной оценки процесса износа как колеса, так и рельса в контакте.

Ключевые слова: износ, профиль катания, метод конечных разностей, кривизна, производная, прокат.

DOI: 10.20291/2079-0392-2023-4-13-20

Abstract

Refinements of the wear model of individual sections of the profile of the rolling surface of the wheel were made based on the data obtained when calculating the curvature and radius of the worn profile, as well as the angles of inclination of the tangent to it at different rolling values. For this purpose, mathematical dependencies of the finite difference method,

Статья рекомендована к публикации А. С. Космодамианским, д-ром техн. наук, профессором, зав. кафедрой «Тяговый подвижной состав» Российского университета транспорта (РУТ (МИИТ)). E-mail: ascosm@mail.ru.

Сергей Викторович Кротов, канд. техн. наук, доцент, Ростовский государственный университет путей сообщения. Ростов-на-Дону, Россия. E-mail: svk-19587@yandex.ru. ORCID 0000-0001-6072-5351.

Дмитрий Павлович Кононов, д-р техн. наук, доцент, Петербургский государственный университет путей сообщения Императора Александра I. Санкт-Петербург, Россия. E-mail: d_kononov@mail.ru. ORCID 0000-0002-3662-550X.

Александр Петрович Буйносов, д-р техн. наук, профессор, Уральский государственный университет путей сообщения. Екатеринбург, Россия. E-mail: ABuinosov@usurt.ru. ORCID 0000-0002-7622-3118.

© С. В. Кротов, Д. П. Кононов, А. П. Буйносов, 2023

The article is recommended for publication by A. S. Kosmodamiansky, Doctor of Technical Sciences, Professor, Head of the Department of «Traction Rolling Stock» of the Russian University of Transport (RUT (MIIT)). E-mail: ascosm@mail.ru.

Sergey Viktorovich Krotov, Candidate of Technical Sciences, Associate Professor, Rostov State University of Railway Engineering. Rostov-on-Don, Russia. E-mail: svk-19587@yandex.ru. ORCID 0000-0001-6072-5351.

Dmitry Pavlovich Kononov, Doctor of Technical Sciences, Associate Professor, Emperor Alexander I St. Petersburg State Transport University. St. Petersburg, Russia. E-mail: d_kononov@mail.ru. ORCID 0000-0002-3662-550X.

Alexander Petrovich Bujnosov, Doctor of Technical Sciences, Professor, Ural State University of Railway Transport. Yekaterinburg, Russia. E-mail: ABuinosov@usurt.ru. ORCID 0000-0002-7622-3118.

© S. V. Krotov, D. P. Kononov, A. P. Bujnosov, 2023

analytical expressions, regression equations are used to describe the wear of the wheel surface at different locations of reference points. To reduce the calculation error, the initial curvature at individual points is taken into account. For further research, a wear curve with a constantly changing radius

of curvature is constructed. The coordinates of the contact spots at some points are determined. A tabular method of representing a significant amount of data is used. The coordinates of the contact spot centers and the curvature radii of the wheel and rail profiles at various points are calculated. The presented data

are useful for further studying the complexity of wheel-rail contact and quantifying the wear process of both the wheel and the rail in contact.

Keywords: wear, rolling profile, finite difference method, curvature, derivative, rolling.

DOI: 10.20291/2079-0392-2023-4-13-20

Профиль поверхности катания колеса с прокатом $\Pi = 1,0$ мм

Уравнения регрессии, выражающие износ в равноотстоящих точках (через 10 мм) профиля в зависимости от величины проката Π (мм) по теоретическому кругу катания, представлены в работе [1]. По ним нами вычислены значения износа $z^{\text{изн}}$ в точках 3–8, а также в точках 9 и 10, отстоящих друг от друга соответственно на 10 мм и 5 мм (рис. 1). Эти величины приведены в таблице 1 [2]. В точках 9 и 10, помимо кривизны, вызванной износом, надо учесть начальную кривизну выкружки гребня радиуса $r_{\text{нач}} = 15$ мм. Поэтому ординаты z для построения кривой износа здесь вычислены по формуле $z^{\text{изн}} = z^{\text{кр}} + z^{\text{укл}}$. Линия расчета ординат z , она же и координатная ось y , совпадает с прямой уклона 1:20 неизношенного профиля колеса. К сожалению, неизвестно, было ли направление замера $z^{\text{изн}}$ в этих точках параллельно направлениям замеров z_{3-8} . Мы при вычислениях z приняли эти направления параллельными. По полученным значениям $z_{3-8}^{\text{изн}}$ и z_{9-10} построена кривая изношенного профиля колеса (прокатом $\Pi = 1,0$ мм) (стократное увеличение ординат чертежа; рис. 1).

Однако этого оказалось недостаточным для вычисления более или менее достоверных значений вторых производных

$\frac{\partial^2}{\partial y^2} = \text{''}$, следовательно, и радиусов кривизны r изношенного профиля. Дело в том, что при наличии дискретных

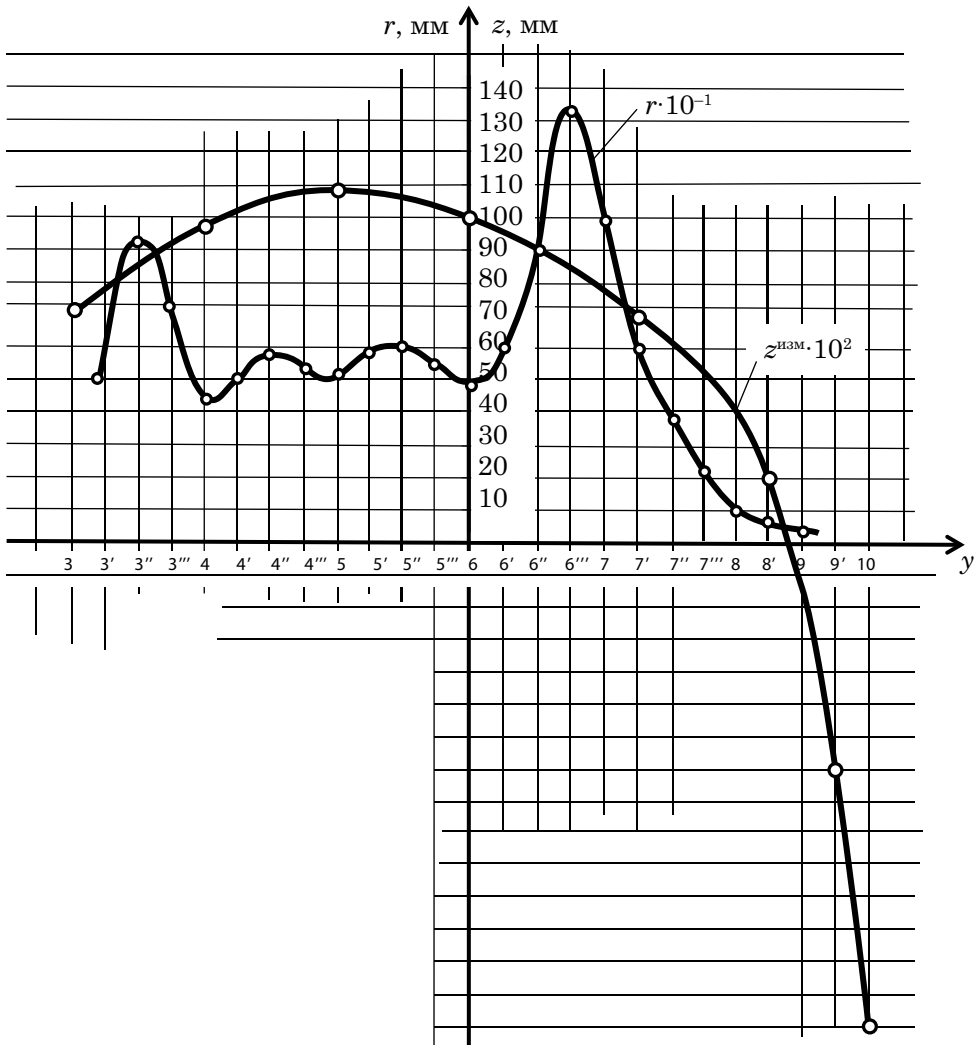
значений z_i функции износа $z(y)$ производные приходится вычислять методом конечных разностей по формулам (11) и (12) [2], так как подбор аналитических уравнений очень трудоемок.

В методе конечных разностей доказано, что

$$\frac{(z_{i+1} - z_{i-1})}{2\Delta y} \approx z'_i, \quad (1)$$

$$\frac{(z_{i+1} - 2z_i + z_{i-1}))}{(\Delta y)^2} \approx z''_i. \quad (2)$$

При малой разнице между значениями z_i в соседних точках эти значения надо брать с учетом тысячных долей миллиметра. Расстояние между точками – шаг Δy – тоже играет немаловажную роль. При малом шаге (например, $\Delta y = 2,5$ мм) на величине z' и z'' , следовательно, и величине r отразятся мелкие локальные неровности износа и погрешности измерения самой величины $z_i^{\text{изн}}$. При большом шаге (примерно $\Delta y = 10$ мм) будет неправильно учтен детальный характер кривой в пределах этого отрезка, места изменения знака кривизны, вершины и впадины протяженностью менее шага. Для кривых изношенных профилей поверхностей катания колес оптимален шаг $\Delta y = 5$ мм. Уравнения регрессии получены для точек с шагом 10 мм (за исключением точек на гребне). Чтобы точнее определить $z^{\text{изн}}$ в точках, удаленных друг от друга на 2,5 мм, построена вспомогательная кривая износа с тысячекратным увеличением известных её ординат в точках 3–10 (рис.). Снятые с неё значения z_i ,



Кривая изношенного профиля поверхности катания колеса с прокатом $\Pi = 1,0$ мм и ее радиусы кривизны

а также и вычисленные по уравнениям регрессии, приведены (с четырьмя знаками после запятой) в таблице 1.

Первые производные z' даже в точках с большим углом наклона касательной к кривой износа мало влияют на величину радиуса. Поэтому r вычисляем по приближенной формуле (14) [2]:

$$r \approx \frac{1}{z''} = \frac{(\Delta y)^2}{-2z_i + z_{i+1} + z_{i-1}}. \quad (3)$$

Их значения приведены в таблице 1, на рисунке изображены с помощью кривой $z(y)$, которая подтверждает,

что профиль изношенного колеса представляет собой волнообразную кривую с непрерывно изменяющимся по её длине радиусом кривизны и двумя пиковыми значениями r , расположенными в точках, отличающихся от точек колеса с прокатом $\Pi = 2,5$ мм [3, 4]. На всем рассматриваемом участке вторая производная, а, значит, и кривизна отрицательна. Знак у « r » на рисунке и в таблице 1 опущен. Тангенсы углов наклона касательной к изношенному профилю вычислены при $2\Delta y = 5$ мм и также приведены в таблице 1.

Таблица 1

Величина радиусов кривизны профиля и углов наклона, касательных к нему

№ точки на профиле	y , мм	z , мм	r , мм	$(\operatorname{tg}\beta = z') \cdot 10^2$
3	–30	0,7000	–	–
3'	–27,5	0,7820	601	3,07
3''	–25	0,8535	926	2,77
3'''	–22,5	0,9205	685	2,53
4	–20	0,9800	455	2,04
4'	–17,5	1,0225	485	1,43
4''	–15	1,0516	579	1,01
4'''	–12,5	1,0730	526	0,568
5	–10	1,0800	527	0,060
5'	–7,5	1,0760	576	–0,380
5''	–5	1,0610	595	–0,808
5'''	–2,5	1,0356	566	–1,220
6	0	1,000	510	–1,690
6'	2,5	0,951	603	–2,20
6''	5	0,890	962	–2,52
6'''	7,5	0,825	1316	–2,72
7	10	0,754	1042	–2,90
7'	12,5	0,680	610	–3,20
7''	15	0,594	410	–3,72
7'''	17,5	0,494	212	–4,42
8	20	0,373	93	–6,08
8'	22,5	0,190	46	–9,82
9	25	–0,1178	28	16,99
9'	27,5	–0,6540	–	27,74
10	30	–1,5046	–	–

Первые производные, определенные по методу конечных разностей, при таком шаге отличаются (в большинстве точек) от вычисленных по аналитическому уравнению незначительно, примерно на 2–5 % [4–7]. Вторые же производные будут разниться несколько выше: на 3–8 %, а в точках минимума – до 14 %.

Среднестатистический профиль рабочей поверхности головки рельса

В работе [7] приведены значения радиусов кривизны среднестатистического профиля рельса, вычисленные на основании замеров высот сегментов h у тридцати отпечатков поверхностей катания. Сопоставление этих профилей изношенных рельсов с новым показывает, что их износ по осевой линии

составляет 1–1,5 мм. Там же предпринята попытка описать этот среднестатистический профиль рельса с помощью аналитического уравнения $z = al^{by} + cl^{dy}$. При этом ось z направлена по осевой линии сечения рельса. Однако различие между величинами радиусов, найденными по опытным данным и вычисленными по уравнению, оказалось весьма значительным, да и сам расчетный профиль сильно отличается от опытного. Учитывая это обстоятельство, а также то, что, по сути, величины r вычислены по высотам сегментов h методом конечных разностей, мы решили использовать эти значения r (с очень малой корректировкой в отдельных редких точках) и не аппроксимировать уравнением. По этим значениям r найдены z'' и построен график. Он позволит точнее вычислить $\operatorname{tg}\beta = z'$ методом численного

(графического) интегрирования. При этом учитываем, что в начале координат ось y касательна к изношенному профилю рельса в точке пересечения его осевой линией, а угол $\beta = 0$. Вычисление $\operatorname{tg} \beta$ выполнено по формуле тра-

$$\text{печий [5–7] } \operatorname{tg} \beta_1 = \operatorname{tg} \beta_{i-1} + \frac{1}{2}(z''_{i-1} + z''_i) \Delta y$$

при шаге $\Delta y = 2,5$ мм (результат приведен в таблице 2).

Таблица 2

Радиусы кривизны и тангенсы углов наклона касательных для среднестатистического профиля рельса

y , мм	r , мм	$(\operatorname{tg} \beta = z') \cdot 10^2$
–20	141	5,98
–17,5	189	4,43
–15	261	3,29
–12,5	379	2,48
–10	493	1,90
–7,5	544	1,41
–5	549	0,96
–2,5	532	0,49
0	485	0
2,5	424	–0,55
5	350	–1,2
7,5	276	–2,02
10	213	–3,06
12,5	162	–4,41
15	120	–6,22
17,5	87	–8,70
20	60	–12,22
22,5	38	–17,62
25	25	–25,94

Координаты центров пятен контактов, радиусы кривизны профилей колеса и рельса

В соприкосновение приходят те точки поверхностей рельса и движущегося колеса, у которых оказываются одинаковыми углы наклона касательных к профилям [9–14]. Из-за износа профили поверхностей катания будут непрерывно изменяться. Независимо от типа рельса основная часть рабочей поверхности головки рельса на прямых

участках пути (исключая участки торможения) прирабатывается к единой форме. Будем считать, что параметры среднестатистического профиля рельса, приведенные в [2–4], мало изменяются и условно могут быть приняты за постоянные. Нас интересуют параметры изношенных профилей колеса с прокатом $\Pi = 1, 2, 5$, и 5 мм. При предыдущих расчетах применялась единая система координат с началом в точке b на теоретическом круге катания. Ось y совпадает с прямой уклона 1:20 нового колеса и направлена к гребню, ось z направлена внутрь колеса. Эти же направления координатных осей использованы

при вычислении $z' = \operatorname{tg} \beta_p$ и $z'' = \frac{1}{r_p}$ для

рельса. Рельс расположен с подуклонкой 1:20, поэтому касательная к профилю рельса в точке на его геометрической оси совпадает с осью y не только у нового, но и у изношенного рельса. При такой системе координатных осей знаки производных z' , z'' и у рельса и колеса будут одинаковы. Возьмем любую фиксированную точку профиля колеса с координатой $y_k = y$, радиусом кривизны в окрестности её $r_k = r$ и тангенсом угла наклона касательной в ней $\operatorname{tg} \beta_k = z'$. По кривым соответствующих функций для рельса находим y_p и r_p для такой точки профиля, у которой $\operatorname{tg} \beta_p = \operatorname{tg} \beta_k$. Это будут геометрические центры пятен контактов. При извилистом движении колесной пары, сопровождающимся поперечным смещением Δ , в соприкосновение придут именно те точки поверхностей катания колеса и рельса, разность координат у которых равна соответствующей величине Δ , откуда $\Delta = y_k - y_p$. Значения всех этих величин приведены в таблице 3.

В некоторых точках касания колеса с рельсом расчетная величина радиуса профиля колеса r_k оказалась немного меньше, чем радиуса профиля рельса r_p . Это в какой-то мере связано с погрешностью вычисления r_p по методу конечных разностей. Но так как профиль

Таблица 3

Значения поперечного смещения в различных точках поверхности
катания колеса и рельса

№, мм	6	5'''	5''	5'	5%	5	4'''	4''	4'
y	0	-2,5	-5	-7,5	-9	-10	-12,5	-15	-18
Δ	9	6,5	4	1,5	0	-1	-3,5	-6	-9

поверхности катания колес имеет волнообразный характер с несколькими вершинами для величин r_k , то такого же рельефа следует ожидать и на рабочей поверхности головки рельса. В таких случаях в некоторых особых точках расчетного касания $r_k < r_p$ фактически контакт (в течение какого-то времени) будет происходить не в точках, находящихся во впадинах, а в соседних с ними точках, справа и слева, которые находятся на вершинах, пока за счет износа радиусы примут соответствующие размеры. Одной и той же величине поперечного

смещения Δ соответствует несколько $y_k(y_p)$. Это весьма интересный факт одновременного контактирования в нескольких точках или удаленных друг от друга (с разными координатами y_k или y_p), или же расположенных очень близко. В последнем случае дискретные пятна могут сливаться в одно значительное пятно сплошного контактирования, т.е. имеется так называемый тесный контакт с низким уровнем контактных напряжений. Это хороший результат взаимной прирабатываемости профилей катания колеса и рельса. ■

Литература

1. Голутвина Т. К. Износ бандажей вагонных колес // Вестник ВНИИЖТ. 1960. № 4. С. 37–41. ISSN 0869-8163.
2. Кротов С. В. Влияние проката колеса грузового вагона на контактно-усталостную долговечность / С. В. Кротов, Д. П. Кононов, А. П. Буйносов // Транспорт Урала. – 2022. – № 4 (75). – С. 11–15. ISSN 1815-9400.
3. Кротов, С. В. Контакт железнодорожного колеса с рельсом / С. В. Кротов, Д. П. Кононов, А. А. Воробьев. – Казань : ООО «Бук», 2023. – 146 с. ISBN 978-5-907665-43-9.
4. Кротов, С. В. Анализ зоны контакта железнодорожного колеса и рельса / С. В. Кротов, Д. П. Кононов // Известия Петербургского университета путей сообщения. – 2022. – Т. 19. – № 2 – С. 221–231. ISSN 1815-588X.
5. Джонсон К. Механика контактного взаимодействия. М. : Мир, 1989. – 510 с.
6. Fromm H. Arbeitsverlust, Formänderungen und Schlupf beim Rollen von treibenden und gebremsten Rädern oder Scheiben. Beitrag zur Analyse der Reibungsgesetze. Z. f. techn. Phys. – 9 Jg. – 1928. – P. 299.
7. Кротов, С. В. Исследование напряженно-деформированного состояния При контакте цилиндрических поверхностей деталей железнодорожного подвижного состава / С. В. Кротов, Д. П. Кононов // Бюллетень результатов научных исследований. – 2022. – № 1. – С. 33–47. ISSN 2223-9987.
8. Фурлетов А. М. Исследование некоторых факторов, определяющих нагруженность поверхностей катания колесных пар при боковых колебаниях вагона дизель-поезда : дисс. ... канд. техн. наук : 05.05.02 / А. М. Фурлетов ; Брянск, 1977. – 218 с.
9. Кротов С. В. Влияние трения на контактно-усталостную долговечность образцов из рельсовой и колесной сталей / С. В. Кротов, Д. П. Кононов, А. А. Соболев // Известия Петербургского университета путей сообщения. – 2019. – Т. 16, № 2. – С. 212–219. ISSN 1815-588X.
10. Krotov, V. Application of the method of the principal components for the analysis of bearing ability of the wheel pair of the car / V. Krotov, S. Krotov // Transport Problems. – 2009. – Vol. 4, № 4. – P. 15–23. ISSN 1815-588X.
11. Кротов С. В. Показатели контактно-усталостной долговечности при взаимодействии колеса с рельсом в кривых участках пути / С. В. Кротов, Д. П. Кононов, А. А. Соболев // Бюллетень результатов научных исследований. – 2019. – № 3. – С. 56–66. ISSN 2223-9987.

12. Кротов С. В. Контактно-усталостная долговечность рельсовой и колесной стали / С. В. Кротов, Д. П. Кононов // Известия Петербургского университета путей сообщения. – 2018. – Т. 15, № 1. – С. 54–61. ISSN 1815-588X
13. Кротов С. В. Основы теории несущей способности прессовых соединений колесных пар железнодорожных вагонов / С. В. Кротов ; Учебно-методический центр по образованию на железнодорожном транспорте. – М. : ФГБУ ДПО «Учебно-методический центр по образованию на железнодорожном транспорте», 2011. – 152 с. – ISBN 978-5-9994-0077-2.
14. Кротов С. В. Исследование напряженного состояния в колесе вагона / С. В. Кротов, Д. П. Кононов // Бюллетень результатов научных исследований. – 2020. – № 3. – С. 26–40. ISSN 2223-9987.
15. Кротов С. В. Факторный анализ расчета несущей способности колесной пары вагона / С. В. Кротов, А. Сладковски // Транспорт Урала. – 2012. – № 2 (33). – С. 36–40. ISSN 1815-9400.

Referens

1. Golutvina T. K. Wear of bandages of wagon wheels // Russian Railway Science Journal. [Izнос bandazhej vagonnyh koles // Vestnik VNIIZHT] 1960. № 4. Pp. 37–41. ISSN 0869-8163.
2. Krotov S. V. The effect of rolling a freight car wheel on contact fatigue durability / S. V. Krotov, D. P. Kononov, A. P. Bujnosov // Transport of the Urals. [Vliyanie prokata kolesa gruzovogo vagona na kontaktno-ustalostnuyu dolgovechnost' / S. V. Krotov, D. P. Kononov, A. P. Bujnosov // Transport Urala] – 2022 – № 4 (75). – Pp. 11–15. ISSN 1815-9400.
3. Krotov, S. V. Contact of the railway wheel with the rail / S. V. Krotov, D. P. Kononov, A. A. Vorobev – Kazan : LLC “Buk”, 2023. [Kontakt zheleznodorozhnogo kolesa s relsom / S. V. Krotov, D. P. Kononov, A. A. Vorobev. – Kazan': ООО «Buk»] – 146 p. ISBN 978-5-907665-43-9.
4. Krotov, S. V. Analysis of the contact zone of the railway wheel and rail / S. V. Krotov, D. P. Kononov // Proceedings of Petersburg Transport University. [Analiz zony kontakta zheleznodorozhnogo kolesa i rel'sa / S. V. Krotov, D. P. Kononov // Izvestiya Peterburgskogo universiteta putej soobshcheniya.] – 2022. – Vol. 19. – № 2. – Pp. 221–231. ISSN 1815-588X.
5. Dzhonson K. Mechanics of contact interaction. Moscow: Mir, 1989. [Mekhanika kontaktnogo vzaimodejstviya. M. : Mir] – 510 p.
6. Fromm H. Arbeitsverlust, Formänderungen und Schlupf beim Rollen von treibenden und gebremsten Rädern oder Scheiben. Beitrag zur Analyse der Reibungsgesetze. Z. f. techn. Phys. – 9 Jg. – 1928. – P. 299.
7. Krotov, S. V. Investigation of the stress-strain state in contact with cylindrical surfaces of railway rolling stock parts / S. V. Krotov, D. P. Kononov // Bulletin of the results of scientific research. [Issledovanie napryazhenno-deformirovannogo sostoyaniya Pri kontakte cilindricheskih poverkhnostej detalej zheleznodorozhnogo podvizhnogo sostava / S. V. Krotov, D. P. Kononov // Byulleten' rezul'tatov nauchnyh issledovanij]. 2022. – № 1. – Pp. 33–47. ISSN 2223-9987.
8. Furletov A. M. Investigation of some factors determining the loading of the rolling surfaces of wheel pairs during lateral vibrations of a diesel train car: diss. ... Candidate of Technical Sciences: 05.05.02 / A. M. Furletov ; Bryansk, 1977. [Issledovanie nekotorykh faktorov, opredelyayushchih nagruzhennost' poverkhnostej kataniya kolesnyh par pri bokovyh kolebaniyah vagona dizel'-poezda : diss. ... kand. tekhn. nauk : 05.05.02 / A. M. Furletov ; Bryansk]. 218 p.
9. Krotov S. V. The effect of friction on the contact-fatigue durability of samples made of rail and wheel steels / S. V. Krotov, D. P. Kononov, A. A. Sobolev // Proceedings of Petersburg Transport University. [Vliyanie treniya na kontaktno-ustalostnuyu dolgovechnost' obrazcov iz rel'sovoj i kolesnoj stalej / S. V. Krotov, D. P. Kononov, A. A. Sobolev // Izvestiya Peterburgskogo universiteta putej soobshcheniya.] – 2019. – Vol. 16, № 2. – Pp. 212–219. ISSN 1815-588X.
10. Krotov, V. Application of the method of the principal components for the analysis of bearing ability of the wheel pair of the car / V. Krotov, S. Krotov // Transport Problems. – 2009. – Vol. 4, № 4. – P. 15–23. ISSN 1815-588X.
11. Krotov S. V. Indicators of contact-fatigue durability when the wheel interacts with the rail in curved sections of the track / S. V. Krotov, D. P. Kononov, A. A. Sobolev // Bulletin of the results of scientific research. [Pokazateli kontaktno-ustalostnoj dolgovechnosti pri

- vzaimodejstvii koleśa s rel'som v krivykh uchastkah puti / S. V. Krotov, D. P. Kononov, A. A. Sobolev // Byulleten rezultatov nauchnyh issledovaniy]. 2019. – № 3. – Pp. 56–66. ISSN 2223-9987.
12. Krotov S. V. Contact fatigue durability of rail and wheel steel / S. V. Krotov, D. P. Kononov // Proceedings of Petersburg Transport University. [Kontaktno-ustalostnaya dolgovechnost relsovoj i kolesnoj stali / S. V. Krotov, D. P. Kononov // Izvestiya Peterburgskogo universiteta putej soobshcheniya.] – 2018. – Vol. 15, № 1. – Pp. 54–61. ISSN 1815-588X
 13. Krotov S. V. Fundamentals of the theory of the bearing capacity of the press joints of wheel sets of railway cars / S. V. Krotov. – M. : Federal State Budgetary Educational Institution Of Higher Professional Education «Educational And Methodical Center For Education In Railway Transport», 2011. [Osnovy teorii nesushchej sposobnosti pressovyh soedinenij kolesnyh par zheleznodorozhnyh vagonov / S. V. Krotov; Uchebno-metodicheskij centr po obrazovaniyu na zheleznodorozhnom transporte. – M. : FGBU DPO «Uchebno-metodicheskij centr po obrazovaniyu na zheleznodorozhnom transporte»] – 152 p. – ISBN 978-5-9994-0077-2.
 14. Krotov S. V. Исследование напряженного состояния в колесе вагона / S. V. Krotov, D. P. Kononov // Bulletin of the results of scientific research. [Issledovanie napryazhennogo sostoyaniya v kolese vagona / S. V. Krotov, D. P. Kononov // Byulleten rezultatov nauchnyh issledovaniy] – 2020. – № 3. – Pp. 26–40. ISSN 2223-9987.
 15. Krotov S. V. Factor analysis of the calculation of the bearing capacity of the wheelset of the car / S. V. Krotov, A. Sladkovski // Transport of the Urals. [Faktornyj analiz rascheta nesushchej sposobnosti kolesnoj pary vagona / S. V. Krotov, A. Sladkovski // Transport Urala] – 2012. – № 2 (33). – Pp. 36–40. ISSN 1815-9400.

Статья сдана в редакцию 17 октября 2023 года

УДК 629.014.6

*К. В. Ковалева, В. Ф. Лапшин, А. С. Митраков***Моделирование напряженного состояния конструкции кузова двухэтажного вагона из алюминиевых профилей**

UDC629.014.6

*K. V. Kovaleva, V. F. Lapshin, A. S. Mitrakov***Simulation of the stress state of the body structure of a double-deck wagon made of aluminum profiles****Аннотация**

В статье решается задача оценки прочности кузова вагона, определяющей облик проектного решения на этапе проектирования и безопасность в эксплуатации. Исследования конструкции двухэтажных вагонов с кузовами из алюминиевых профилей проводились на этапе эскизного проектирования, проверялись используемые подходы, рассматривались базовые варианты конструкции кузова и формирование концепции отечественного двухэтажного вагона.

Разработаны варианты кузова двухэтажного вагона электропоезда из экструдированных алюминиевых

профилей, отличающихся конструкцией его консольной части. Рассмотрены две концепции к размещению основного вагонного оборудования: в подкрышном пространстве и внутри вагона на уровне пола. Для моделирования напряженного состояния и расчетной оценки прочности использован метод конечных элементов в среде решателя Nastran. Для рассмотренных вариантов разработаны конечно-элементные модели, с помощью которых исследовано влияние конструкции консольной части и мест размещения оборудования на

напряженное состояние кузова. Оценка прочности кузова вагона проведена для всех видов нагрузок, имитирующих эксплуатационные режимы согласно нормативно-технической документации. В результате сравнительного анализа выявлены наиболее нагруженные зоны в каждом из трех предложенных вариантов кузова, что позволило сделать выводы о целесообразности и перспективах рассмотренных конструктивных решений.

Ключевые слова: двухэтажный вагон, кузов, алюминиевый профиль, конечно-элементная модель, режим

Статья рекомендована к публикации А. В. Смольяниновым, д-ром техн. наук, профессором; Уральский государственный университет путей сообщения. E-mail: ASmolyaninov@usurt.ru.

Кристина Владимировна Ковалева, инженер-конструктор отдела расчетов ООО «Уральские локомотивы», аспирант кафедры «Вагоны» Уральского государственного университета путей сообщения; Екатеринбург, Россия. E-mail: kvkovaleva@mail.ru. ORCID 0000-0002-1928-1522.

Василий Федорович Лапшин, д-р техн. наук, профессор; Уральский государственный университет путей сообщения. Екатеринбург, Россия. E-mail: VLapshin@usurt.ru. ORCID 0000-0002-6037-240X.

Артём Сергеевич Митраков, канд. техн. наук, доцент кафедры «Вагоны» Уральского государственного университета путей сообщения; Екатеринбург, Россия. E-mail: Mitrakov.tema@mail.ru. ORCID 0000-0003-2305-1583.

© К. В. Ковалева, В. Ф. Лапшин, А. С. Митраков

The article is recommended for publication by A. V. Smolyaninov, Doctor of Technical Sciences, Professor; Ural State University of Railway Transport. E-mail: ASmolyaninov@usurt.ru.

Kristina Vladimirovna Kovaleva, Design Engineer of the Calculation Department of Ural Locomotives LLC, postgraduate student of the Wagons Department, Ural State University of Railway Transport; Ekaterinburg, Russia. E-mail: kvkovaleva@mail.ru. ORCID 0000-0002-1928-1522.

Vasily Fedorovich Lapshin, Doctor of Technical Sciences, Professor; Ural State University of Railway Transport; Ekaterinburg, Russia. E-mail: VLapshin@usurt.ru. ORCID 0000-0002-6037-240X.

Artem Sergeevich Mitrakov, Candidate of Technical Sciences, Associate Professor of the department «Wagons», Ural State University of Railway Transport; Ekaterinburg, Russia. E-mail: Mitrakov.tema@mail.ru. ORCID 0000-0003-2305-1583.

© K. V. Kovaleva, V. F. Lapshin, A. S. Mitrakov

нагрузки, напряженное состояние, оценка прочности.

DOI: 10.20291/2079-0392-2023-4-21-30

Abstract

The article solves the problem of assessing the strength of the car body, determining the appearance of the design solution at the design stage and safety in operation. Studies of the design of double-decker wagons with bodies made of aluminum profiles were carried out at the stage of preliminary design, the approaches used were checked, basic variants of the body design and the formation of the concept of a domestic double-decker wagon were considered.

Variants of the body of a double-deck car of electric train made of extruded aluminum profiles, differing in the design of its cantilever part, have been developed. Two concepts for the placement of the main carriage equipment are considered: in the under-roof space and inside the carriage at floor level. The finite element method in the Nastran solver environment was used to simulate the stress state and to estimate the strength. For the considered variants, multiple-element models have been developed, with the help of which the influence of the structure of the cantilever part and the locations of equipment on the strained condition of the body has been studied. The

assessment of the strength of the car body was carried out for all types of loads simulating operational modes according to regulatory and technical documentation. As a result of a comparative analysis, the most loaded zones in each of the three proposed body variants were identified, which allowed us to draw conclusions about the feasibility and prospects of the considered design solutions.

Keywords: double-deck wagon, carriage body, aluminum profile, finite element model, loading mode, stress state, strength assessment.

DOI: 10.20291/2079-0392-2023-4-21-30

Среди ключевых направлений развития пассажирского комплекса, предусмотренных «Долгосрочной программой развития ОАО «РЖД» до 2025 года» [1], особое место отводится «развитию скоростного движения поездами «Ласточка», «Стриж» и поездами с 2-этажными вагонами», «созданию линейки российского подвижного состава ... пассажирских модификаций для скоростей движения от 200 до 400 километров в час».

Решение поставленных задач, направленных в первую очередь на увеличение пассажироместности вагонов, скоростей движения и снижение затрат на перевозку пассажира, неразрывно связано с важнейшей характеристикой вагона – массой тары [2]. Уменьшение массы вагонов (масса несущей конструкции кузова составляет до 35 % массы тары вагона [2]) не только позволит увеличить скорость движения и пассажироместность, но и снизить затраты на эксплуатацию и ремонт инфраструктуры, на потребляемые энергоносители [3, 4].

В отечественной практике вопросы проектирования вагонов облегченных конструкций с применением

экструдированных алюминиевых профилей ограничиваются узким кругом задач, преимущественно для одноэтажных конструкций. Основные исследования затрагивают целесообразность перехода к проектированию и изготовлению кузова пассажирских вагонов из алюминиевых экструдированных профилей, обоснование конструкции кузова пассажирского вагона из экструдированных алюминиевых панелей, а также особенности эксплуатации и ремонта пассажирского вагона с кузовом из алюминиевых панелей [5–10].

Рассматриваемая в работе конструкция кузова вагона выполнена из пресованных алюминиевых профилей (EN AW-6005A T6) [11], используемых в конструкциях кузовов электропоездов ЭС2Г «Ласточка», а также из алюминиевых листов (EN AW-5083) [12]. В кузове вагона используются открытые и полые экструдированные профили (рис. 1).

Механические характеристики материалов конструктивных элементов кузова приведены в таблице 1.

Уровень первого этажа двухэтажного вагона (с учетом вписывания в габарит) имеет обнижение в межтележечное

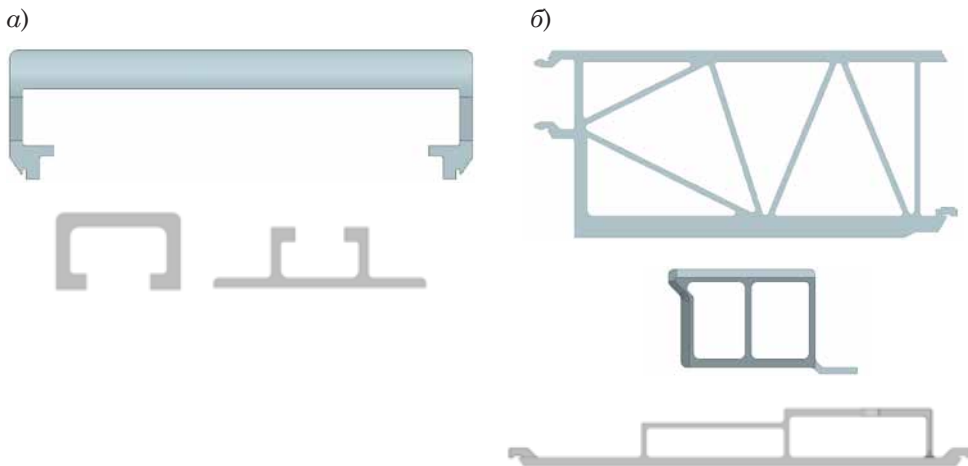


Рис. 1. Экструдированные профили
а – открытые; б – полые

Таблица 1

Алюминиевые профили (EN AW-6005A T6) ГОСТ 8617-2018 [11]			
Открытый прессованный профиль (Т6)	Толщина, мм		
	До 5	5–10	10–25
Предел текучести σ_T , МПа	225	215	200
Предел прочности σ_B , МПа	270	260	250
Полый прессованный профиль (Т6)	Толщина, мм		
	До 5	5–15	–
Предел текучести σ_T , МПа	215	200	–
Предел прочности σ_B , МПа	255	250	–
Алюминиевые пластины (EN AW-5083) ГОСТ 21631-2019 [12]			
Пластины (Н321)	Толщина, мм		
	До 6,3	До 80	–
Предел текучести σ_T , МПа	130	115	–
Предел прочности σ_B , МПа	275	20	–

пространство. Для такой конструкции характерна проблема размещения части оборудования вагона в подкузовном пространстве.

Оборудование можно разместить в консольных частях кузова вагона на уровне пола или крыши, что требует тщательной проработки несущей конструкции.

Рассмотрим варианты конструктивного исполнения консольных частей крыши (рис. 2, а, б, в; таблица 2). В первой конструкции консольные части

крыши полностью несущие (рис. 2, а), во втором прямоугольные участки несущей конструкции крыши в консольных частях заменены ненесущими кожухами (рис. 2, б), в третьем консольные части крыши полностью открыты (рис. 2, в).

Трехмерные модели учитывают расположение и массу дверей, окон, мест для сидения, багажных стеллажей и полок, лестниц для перемещения между этажами вагона и основного оборудования (климатическая установка,



Рис. 2. Трехмерные модели кузова двухэтажного моторного вагона электропоезда
а – вариант 1; б – вариант 2; в – вариант 3

Таблица 2

Основные характеристики двухэтажного вагона

Вариант конструкции кузова (рис. 2)	Вариант 1	Вариант 2	Вариант 3
Характеристика вагона	Моторный прицепной		
Масса кузова, кг	14320	13910	13113
Масса вагона с оборудованием, экипировкой и пассажирами (100 %), кг	65600	65210	63645
Материал кузова экструдированные профили листы	AW-6005A T6 AW-5083		
Рессорное подвешивание второй ступени	Пневморессоры		
Пассажировместимость, кол-во	100		92

преобразователь собственных нужд, система подготовки воздуха, аккумуляторная батарея). Основное оборудование в двух первых вариантах конструкции расположено в консольных частях крышевого пространства, а в третьем варианте перенесено внутрь кузова (в консольные части на уровень пола). При размещении по третьему варианту из пассажирского салона исключаются восемь пассажирских мест.

Для ускорения построения конечно-элементной (КЭ) сетки и самих вычислений исходная модель была преобразована в набор листовых тел, описывающих геометрию экструдированных профилей [13, 14].

Для построения конечно-элементной сетки в моделях использовались 2D-элементы (трех- и четырехузловые оболочечные элементы CQUAD3 и CQUAD4) с задаваемой толщиной, 1D-элементы (элементы интерполяционного типа RBE3 и элементы, описывающие пружину, CBUSH), элементы,

присваивающие массово-инерционные характеристики узловой точке (0D-элементы CONM2) [13].

Размер конечных элементов CQUAD3 и CQUAD4 кузова – от 40 до 50 мм (в зависимости от зоны разбиения). КЭ модели содержали от 950000 до 1100000 элементов (рис. 3).

При создании КЭ моделей учитывалось расположение кузова вагона на четырех пневморессорах (имитированы элементами соединения CBUSH с задаваемой жесткостью).

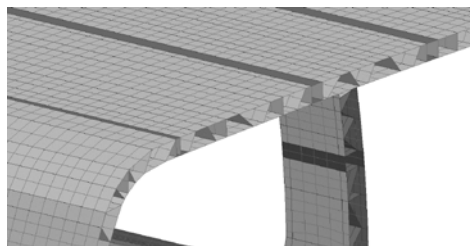


Рис. 3. Конечно-элементная сетка в поперечном сечении крыши

Расчетные нагрузки и их сочетания по семи расчетным режимам принимались по [15, 16]. В расчетную модель кузова, помимо основных нагрузок и закреплений (в точках опоры пневморессор на тележки), введена ориентировочная масса электрической проводки и изоляции, облицовки салона и различных покрытий кузова в виде массы, распределенной по длине каждой части вагона (пол, стена, крыша, потолок первого этажа и др.). Оценка прочности конструкций проводилась в соответствии с [15].

В подготовленные КЭ модели добавлены точки с координатами центра масс (ЦМ) каждого элемента оборудования, учитываемого в расчетах. В этих точках расположены элементы CONM2, которые с помощью элементов RBE3 соединены с местами крепления соответствующего оборудования.

Напряженное состояние кузова вагона оценивалось в наиболее нагруженных зонах (рис. 4), определенных по результатам анализа эквивалентных по Мизесу напряжений для всех вариантов конструкции и всех расчетных режимов нагружения, с учетом расположения переходов поперечного сечения, изменений площади поперечного сечения кузова.

Для каждого расчетного режима получены поля напряжений. Пример распределения эквивалентных напряжений в кузове первого варианта конструкции при нагрузках режима Ia [15, 16] приведен на рис. 5. Максимальные

значения эквивалентных напряжений от действия нагрузок по всем расчетным режимам – на рис. 6–8.

Максимальные значения эквивалентных напряжений от действия нагрузок по всем расчетным режимам сведены в таблицу 3.

При действии нормативных нагрузок по основным режимам эксплуатации (расчетным режимам по ГОСТ 33796 [15]) картина напряженного состояния первого и второго вариантов конструкции отличалась несущественно.

В кузове второго варианта конструкции при действии нагрузок режима Ia (квазистатическое растяжение) наблюдалось локальное повышение уровня напряжений в зонах 4 и 6 более чем в 1,3 раза по сравнению с уровнем напряжений в этих же зонах кузова первого варианта конструкции.

В зоне 3 (кузов второго варианта конструкции) уровень напряжений повысился до 30 % (по сравнению с напряжениями в этой зоне в кузове первого варианта) при действии нагрузок режимов II–VI. Уровень напряжений увеличивается на 80 % при нагрузках режима VI, при этом в зоне 7 превышение составило 1,4 раза. Такой рост связан с изменением площади поперечного сечения вблизи рассматриваемых зон. Общий уровень эквивалентных напряжений в этих местах не превысил допускаемых.

Сравнительный анализ напряженного состояния кузовов первого и третьего вариантов показал значительное

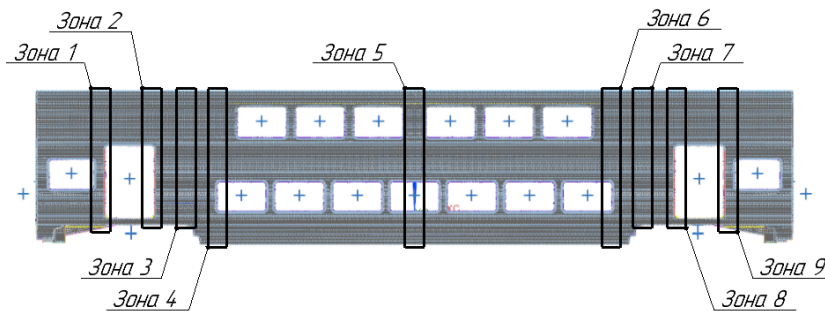


Рис. 4. Зоны оценки напряженного состояния кузова на примере первого варианта конструкции кузова

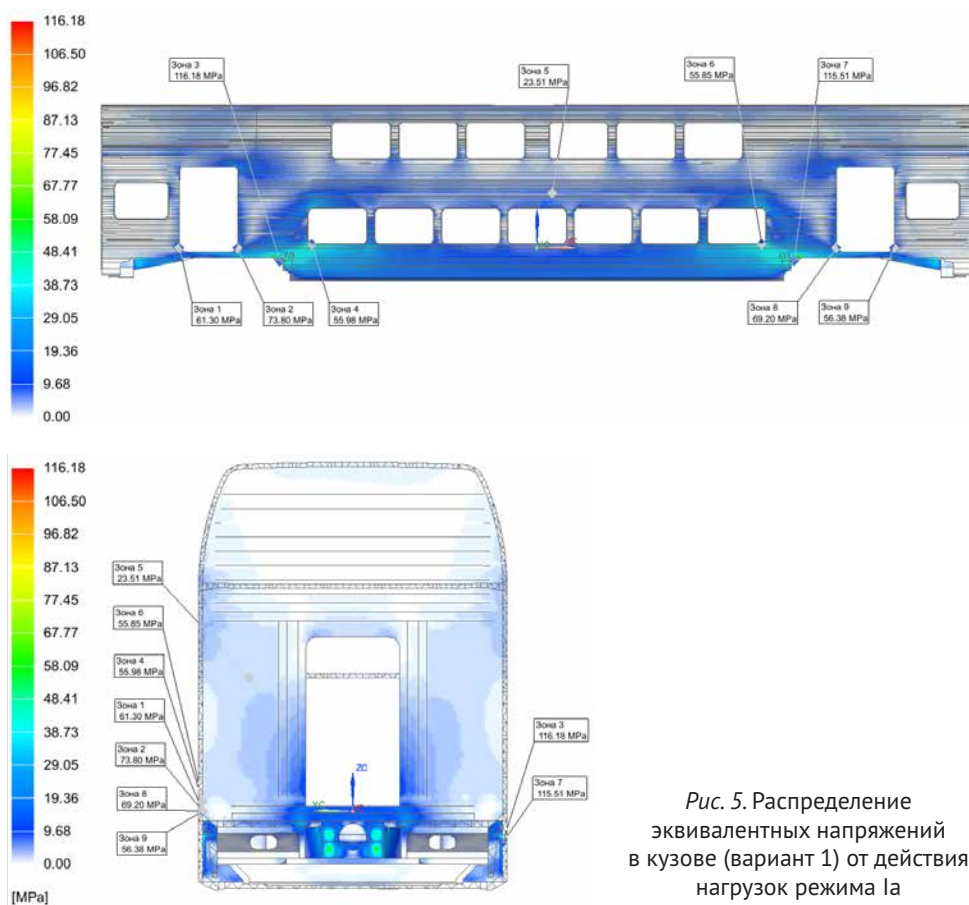


Рис. 5. Распределение эквивалентных напряжений в кузове (вариант 1) от действия нагрузок режима Ia

Таблица 3

Максимальные напряжения в элементах кузова вагона

Зона (рис. 4)	Максимальные эквивалентные напряжения, МПа		
	вар. 1 (рис. 2, а)	вар. 2 (рис. 2, б)	вар. 3 (рис. 2, в)
1	112,00	111,85	126,84
2	208,03	204,32	183,65
3	232,83	235,12	192,72
4	233,08	232,67	227,60
5	100,03	97,53	84,38
6	202,11	200,92	202,64
7	232,69	235,03	196,33
8	176,03	174,03	171,91
9	102,88	100,38	127,51

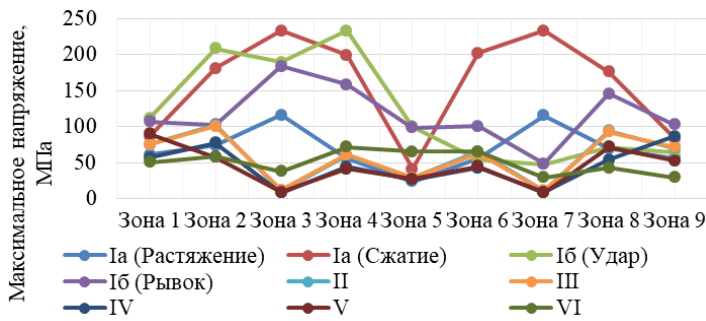


Рис. 6. Распределение максимальных эквивалентных напряжений в кузове (вариант 1)*

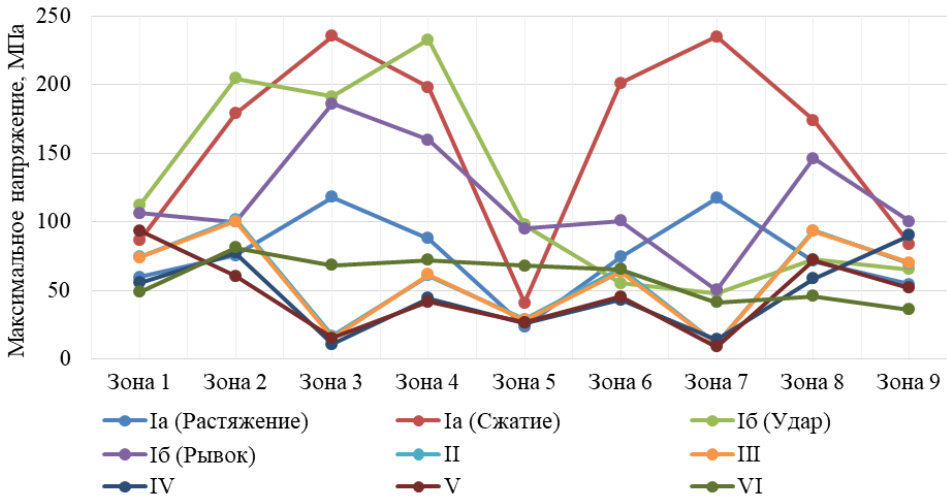


Рис. 7. Распределение максимальных эквивалентных напряжений в кузове (вариант 2)

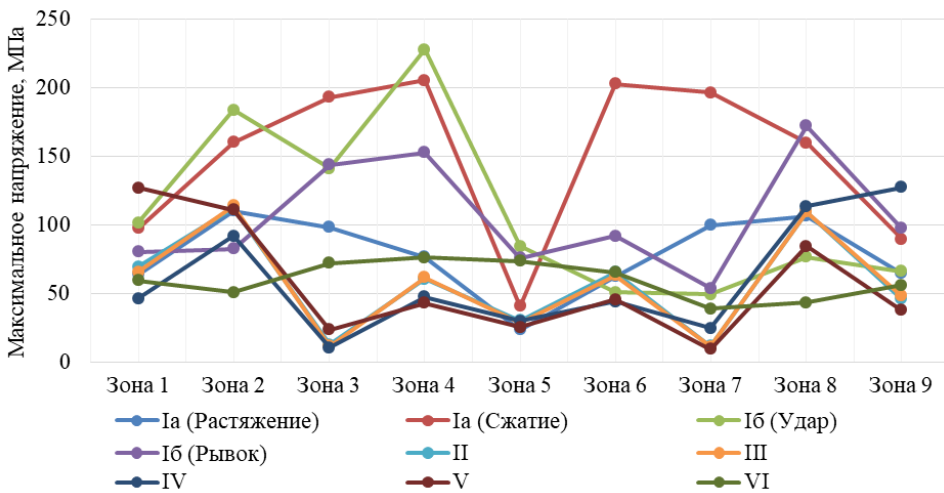


Рис. 8. Распределение максимальных эквивалентных напряжений в кузове (вариант 3)

* Линии, соединяющие точки с максимальными эквивалентными напряжениями (рис. 6–8), служат для визуализации режимов нагружения.

понижение (на 15 %) уровня эквивалентных напряжений в зонах 3 и 7 от действия нагрузок режима Ia. При нагрузках режима Ib зафиксировано локальное уменьшение напряжений – до 25 % в зонах 2, 3 и 5. При действии нагрузок режимов II и III максимальные напряжения в зонах 1 и 9 снизились в 1,1 и 1,3 раза соответственно.

Сравнение напряженного состояния в элементах кузова третьего и первого вариантов при действии нагрузок ремонтных режимов IV–VI показало, что в зонах 3 и 7 напряжения повысились более чем в 2,7 раза, в зонах 2 и 8 – в 1,9 раза. Данное повышение носит локальный характер и не превышает допускаемых значений.

Таким образом, при заданных нормативных нагрузках статическая прочность наиболее нагруженных зон, где по результатам расчетов выявлены локальные превышения допускаемых напряжений, не может быть обеспечена без доработки форм экструдированных алюминиевых профилей (толщины стенок), уточнения расположения и мест креплений оборудования, повышения жесткости участков кузова с изменением площади поперечного сечения конструкции и др.

Конструкция кузова двухэтажного вагона из экструдированных алюминиевых профилей с размещением основного оборудования внутри кузова

на уровне пола (третий вариант конструкции) целесообразна с точки зрения повышения несущей способности кузова. Масса металлоконструкции кузова третьего варианта на 9 % меньше массы первого. Перенос оборудования из подкрышевого пространства консольных частей внутрь кузова уменьшает высоту расположения центра масс всей конструкции, снижая реакцию опор кузова на боковую нагрузку. Уменьшение массы кузова вагона влияет на частоту собственных колебаний кузова и динамические показатели вагона. При проектировании кузова вагона из экструдированных алюминиевых профилей, учитывая свойства применяемых материалов, требуется уделить особое внимание достижению рационального соотношения прочности и жесткости конструкции.

По результатам расчетов выявлены наиболее нагруженные места, значения максимальных напряжений в которых превышают допускаемый уровень, обозначены меры по дальнейшей доработке кузовов из алюминиевых профилей для обеспечения требований нормативно-технической документации [15, 16]. С точки зрения прочности и массы вагона, предпочтителен вариант кузова с полностью открытыми консольными частями крыши и с размещением основного оборудования внутри кузова на уровне пола. ■

Литература

1. Долгосрочная программа развития ОАО «РЖД» до 2025 года / Утв. Распоряжением Правительства Российской Федерации от 19 марта 2019 г. № 466-р. URL: https://www.consultant.ru/document/cons_doc_LAW_320741/94e59446265357ab18409fb076fcb01d97b35d28/ (дата обращения: 06.08.2023).
2. Лебедев В. А. Обоснование технических решений конструкции двухэтажного пассажирского вагона: дис. ... канд. техн. наук: 05.22.07. – М., 2017. – 178 с.
3. Алюминиевые вагоны. URL: <https://www.aluminas.ru/aluminum/article/aluminum-cars/> (дата обращения: 20.10.2023).
4. Вагоностроители могут увеличить спрос на алюминий. Росстандарт утвердил ГОСТы, по которым будут делать железнодорожные вагоны будущего. URL: https://www.prometall.info/know-how/vagonostroiteli_mogut_uvelichit_spros_na_aluminiumy (дата обращения 25.07.2022).
5. Жуков А. С. О целесообразности перехода к проектированию и изготовлению кузова пассажирских вагонов из алюминиевых экструдированных профилей / А. С. Жуков, Д. И. Гончаров, С. Д. Коршунов // М-лы VII Всеросс. науч.-практ. конф. «Проблемы и перспективы развития вагоностроения», 2016. – Брянск : БГТУ. – С. 53–55.

6. Балалаев А. Н., Краснов В. А., Паренюк М. А. Разработка и исследование кузовов подвижного состава нового поколения из экструдированных вакуумных панелей // Транспорт Российской Федерации, 2014. № 3 (52). С. 73–74. ISSN 1994-831X.
7. Жуков А. С. Обоснование конструкции кузова пассажирского вагона из экструдированных алюминиевых панелей : автореф. дис. ... канд. техн. наук: 05.22.07. – М., 2020. – 20 с.
8. Андрончев И. К. Особенности эксплуатации и ремонта пассажирского вагона с кузовом из алюминиевых панелей, полученных методом экструзии / И. К. Андрончев, А. Н. Балалаев // Вестник транспорта Поволжья, 2013. – № 3 (39). – С. 29–34. ISSN 1997-0722.
9. Артемьев Р. И. Алгоритм проектирования кузова пассажирского вагона из алюминиевых экструдированных панелей / Р. И. Артемьев, А. Н. Балалаев, Д. А. Киселев // Новая наука: опыт, традиции, инновации, 2016. – № 4-2 (77). – С. 107–117. ISSN 2412-9747.
10. Уральские локомотивы. URL: <http://www.ulkm.ru> (дата обращения: 21.05.2022).
11. ГОСТ 8617-2018. Профили прессованные из алюминия и алюминиевых сплавов. Технические условия. URL: <https://docs.cntd.ru/document/1200160546> (дата обращения: 07.03.2021).
12. ГОСТ 21631-2019. Листы из алюминия и алюминиевых сплавов. Технические условия. URL: <https://docs.cntd.ru/document/1200169756> (дата обращения: 07.03.2021).
13. Гончаров П. С., Артамонов И. А., Халитов Т. Ф., Денисихин С. В., [и др.]. NX Advanced Simulation. Инженерный анализ. – М. : ДМК Пресс, 2012. – 504 с. ISBN 978-5-94074-841-0.
14. Гончаров П. С. NX Advanced Simulation : практическое пособие / П. С. Гончаров, И. А. Артамонов, Т. Ф. Халитов, С. В. Денисихин, [и др.]. – М. : ДМК Пресс. – 2014. – 112 с. ISBN 978-5-97060-142-6.
15. ГОСТ 33796-2016. Моторвагонный подвижной состав. Требования к прочности и динамическим качествам. URL: <https://docs.cntd.ru/document/456008399> (дата обращения: 07.03.2021).
16. Нормы для расчета и оценки прочности несущих элементов и динамических качеств экипажной части моторвагонного подвижного состава железных дорог МПС РФ колеи 1520 мм. – М. : МПС РФ, ВНИИЖТ, 1997.

Referens

1. Long-term Development Program of JSC «Russian Railways» until 2025 / Approved by the Decree of the Government of the Russian Federation dated March 19, 2019. № 466-R. URL: https://www.consultant.ru/document/cons_doc_LAW_320741/94e59446265357ab18409fb076fcb01d97b35d28/ [Dolgosrochnaya programma razvitiya OAO «RZHD» do 2025 goda / Utv. Rasporyazheniem Pravitel'stva Rossijskoj Federacii ot 19 Marta 2019] (access date: 06.08.2023).
2. Lebedev V. A. Justification of technical solutions for the design of a double-decker passenger car: dis. ... Candidate of Technical Sciences: 05.22.07. [Obosnovanie tekhnicheskikh reshenij konstrukcii dvuhetazhno-go passazhirskogo vagona: dis. ... kand. tekhn. nauk: 05.22.07] – М., 2017. – 178 p.
3. Aluminum wagons. URL: <https://www.aluminas.ru/aluminum/article/aluminum-cars/> [Alyuminiyevye vagony] (access date: 20.10.2023).
4. Car builders can increase the demand for aluminum. Rosstandart has approved GOST standards, according to which railway cars of the future will be made. [Vagonostroiteli mogut uvelichit' spros na alyuminiy. Rosstandart utverdil GOSTy, po kotorym budut delat' zheleznodorozhnye vagony budushchego] URL: <https://www.prometall.info/know-how/vagonostroiteli-mogut-uvelichit-spros-na-alyuminiy> (access date: 25.07.2022).
5. Zhukov A. S. On the expediency of switching to the design and manufacture of passenger car bodies from aluminum extruded profiles / A. S. Zhukov, D. I. Goncharov, S. D. Korshunov // Materials of the VII All-Russian Scientific and Practical Conference «Problems and prospects of development of car building», 2016. [O celesoobraznosti perekhoda k proektirovaniyu i izgotovleniyu kuzova passazhirskih vagonov iz alyuminiyevykh ekstrudirovannykh profilej / A. S. Zhukov, D. I. Goncharov, S. D. Korshunov // M-ly VII Vseross. nauch.-prakt. konf. «Problemy i perspektivy razvitiya vagonostroeniya», 2016] – Bryansk : BSTU. – Pp. 53–55.

6. Balalaev A. N., Krasnov V. A., Parenjuk M. A. Development and research of new generation rolling stock bodies from extruded vacuum panels // Transport of the Russian Federation, [Razrabotka i issledovanie kuzovov podvizhnogo sostava novogo pokoleniya iz ekstrudirovannykh va-kuumnykh panelej // Transport Rossijskoj Federacii] 2014. № 3 (52). Pp. 73–74. ISSN 1994-831X.
7. Zhukov A. S. Substantiation of the design of the passenger car body from extruded aluminum panels: abstract. dis. ... candidate of Technical Sciences: 05.22.07. [Zhukov A. S. Obosnovanie konstrukcii kuzova passazhirskogo vagona iz ekstrudirovannykh alyuminievykh panelej: avtoref. dis. ... kand. tekhn. nauk: 05.22.07]. M., 2020. – 20 p.
8. Andronchev I. K. Features of operation and repair of a passenger car with a body made of aluminum panels obtained by extrusion / I. K. Andronchev, A. N. Balalaev // Bulletin of transport of the Volga region, 2013. [Osobennosti ekspluatatsii i remonta passazhirskogo vagona s kuzovom iz alyuminievykh panelej, poluchennykh metodom ekstruzii / I. K. Andronchev, A. N. Balalaev // Vestnik transporta Povolzhya]. № 3 (39). – Pp. 29–34. ISSN 1997-0722.
9. Artemev R. I. Algorithm for designing a passenger car body made of aluminum extruded panels / R. I. Artemev, A. N. Balalaev, D. A. Kiselev // New science: experience, traditions, innovations, 2016 [Algoritm proektirovaniya kuzova passazhirskogo vagona iz alyuminievykh ekstrudirovannykh panelej / R. I. Artem'ev, A. N. Balalaev, D. A. Kiselev // Novaya nauka: opyt, tradicii, innovacii] – № 4-2 (77). – Pp. 107–117. ISSN 2412-9747.
10. Ural locomotives. URL: <http://www.ulkm.ru> (access date: 21.05.2022).
11. GOST 8617-2018. Pressed profiles made of aluminum and aluminum alloys. Technical conditions. [GOST 8617-2018. Profili pressovannye iz alyuminiya i alyuminievykh splavov. Tekhnicheskie usloviya] URL: <https://docs.cntd.ru/document/1200160546> (access date: 07.03.2021).
12. GOST 21631-2019. Sheets made of aluminum and aluminum alloys. Technical conditions. [GOST 21631-2019. Listy iz alyuminiya i alyuminievykh splavov. Tekhnicheskie usloviya] URL: <https://docs.cntd.ru/document/1200169756> (access date: 07.03.2021).
13. Goncharov P. S., Artamonov I. A., Halitov T. F., Denisihin S. V., et al. NX Advanced Simulation. Engineering analysis. [NX Advanced Simulation. Inzhenernyj analiz.]. M. : DMK Press, 2012. – 504 p. ISBN 978-5-94074-841-0.
14. Goncharov P. S. NX Advanced Simulation: practical guide / P. S. Goncharov, I. A. Artamonov, T. F. Halitov, S. V. Denisihin, et al – Moscow: MDK Press. [NX Advanced Simulation: prakticheskoe posobie / P. S. Goncharov, I. A. Artamonov, T. F. Halitov, S. V. Denisihin, [i dr.]]. 2014. – 112 p. ISBN 978-5-97060-142-6.
15. GOST 33796-2016. Motor car rolling stock. Requirements for strength and dynamic qualities. [GOST 33796-2016. Motorvagonnyj podvizhnoj sostav. Trebovaniya k prochnosti i dinamicheskim kachestvam] URL: <https://docs.cntd.ru/document/456008399> (access date: 07.03.2021).
16. Norms for calculating and evaluating the strength of load-bearing elements and dynamic qualities of the crew part of motor-car rolling stock of railways of the Ministry of Railways of the Russian Federation with a gauge of 1520 mm. [Normy dlya rascheta i ocenki prochnosti nesushchih elementov i dinamicheskih kachestv ekipazhnoj chasti motorvagonnogo podvizhnogo sostava zhelez-nyh dorog MPS RF kolei 1520 mm]. M. : MPS of the Russian Federation, VNIIZHT, 1997.

Статья сдана в редакцию 28 октября 2023 года

Организация производства

УДК 656.078.14, 656.071.313

Н. Ф. Сирина, Д. Л. Русин

Совершенствование системы планирования и распределения локомотивных бригад в полигонных технологиях ОАО «РЖД»

UDC 656.078.14, 656.071.313

N. F. Sirina, D. L. Rusin

Improvement for the system of planning and distribution of locomotive crews in the ground technologies of JSC RZD

Аннотация

Реализация комплексно-го научно-технического проекта ОАО «РЖД» – «Цифровая железная дорога» в условиях внедрения полигонных принципов управления перевозочным процессом позволяет достичь максимального синергетического эффекта от научно-технического прогресса совокупной промышленной эксплуатации современных автоматизированных систем управления на железнодорожном транспорте. Особенно актуально развитие экономически востребованного направления по конкурентному выполнению заявок на управление тяговыми

средствами на определенных станциях, поездоучастках и направлениях железнодорожной сети с учетом потенциала, опыта и компетенции аттестованных локомотивно-составительских бригад на конкурсной основе. Техническое продвижение данного направления в производственно-хозяйственной деятельности железных дорог обеспечит снижение эксплуатационных затрат железнодорожной перевозки (договорные отношения по принципу «до востребования» перевозчиков с локомотивными бригадами по заказам на ведение поезда или маневрового состава), повышение

ответственности и качества управления локомотивами за счет личной материальной заинтересованности локомотивных бригад. Авторами учитывается проводимая в ОАО «РЖД» работа по обеспечению безопасности движения поездов и маневровых составов в части повсеместного оборудования локомотивов устройствами безопасности и бдительности машиниста.

В статье рассматривается функционал и алгоритм работы «Интеллектуальной системы управления агрегированными перевозками на сети железных дорог (ИСУ АП)» в части принятия руководящих решений

Статья рекомендована к публикации В. В. Цыгановым, д-ром техн. наук, главным научным сотрудником Института проблем управления им. В. А. Трапезникова РАН; Москва, Россия. E-mail: bbc@ipu.ru.

Нина Фридриховна Сирина, д-р техн. наук, профессор кафедры «Вагоны» Уральского государственного университета путей сообщения; Екатеринбург, Россия. E-mail: Nsirina@usurt.ru. ORCID0000-0001-9691-5181.

Дмитрий Львович Русин, аспирант кафедры «Вагоны» Уральского государственного университета путей сообщения; Екатеринбург, Россия; E-mail: rusindl@mail.ru. ORCID0000-0002-0818-7573.

© Н. Ф. Сирина, Д. Л. Русин, 2023

The article is recommended for publication by V. V. Tsyganov, Doctor of Technology sciences, chief researcher at the Institute of Management Problems. V. A. Trapeznikov RAS; Moscow, Russia. E-mail: bbc@ipu.ru.

Nina Fridrikhovna Sirina, Doctor of Engineering sciences, professor, Department «Railway cars», Ural State University of Railway Transport, Russia. E-mail: Nsirina@usurt.ru. ORCID0000-0001-9691-5181.

Dmitry Lvovich Rusin, post-graduate student, Department «Railway cars», Ural State University of Railway Transport, Ekaterinburg, Russia; E-mail: rusindl@mail.ru. ORCID0000-0002-0818-7573.

© Н. Ф. Сирина, Д. Л. Русин, 2023

перевозчиком по удовлетворению потребностей в объемах поездной, местной работы посредством автоматизированного распределения заявок по ведению поезда до пункта назначения между свободными локомотивными бригадами, находящимися в обратной связи. Промышленное внедрение ИСУ АП в локомотивном комплексе ОАО «РЖД» способствует экономически выгодному обеспечению тяги локомотивными бригадами.

Ключевые слова: тяговые ресурсы, агрегатор, локомотивные бригады, полигон, программно-аппаратный комплекс.

DOI: 10.20291/2079-0392-2023-4-31-42

Abstract

Implementation of a comprehensive scientific and technical project JSC «Russian Railways» – «Digital Railway» in the context of the implementation of polygon principles in management of the transportation process makes it possible to achieve the maximum synergistic

effect from scientific and technological progress of the cumulative industrial operation of modern automated control systems in railway transport. Particularly relevant is the development of an economically in demand area for the competitive fulfillment for the control of traction equipment at certain stations, train sections and directions of the railway network. The authors take into account the potential, experience and competence of certified locomotive-composition teams on a competitive basis. Technical advancement of this area in the production and economic activities of railways will ensure a reduction in the operating costs of railway transportation (contractual relations on the «on demand» principle of carriers with locomotive crews on orders for driving a train or shunting unit), increasing the responsibility and quality of locomotive management due to the personal material interest of locomotive crews. The authors take into account the work carried out at JSC

Russian Railways to ensure the safety of trains and shunting trains in terms of the widespread equipping of locomotives with driver safety and vigilance devices.

The article discusses the functionality and algorithm of work of the «Intelligent system for managing aggregated transportation on the railway network (ISU AP)» in terms of making management decisions by the carrier to meet the needs for the volume of train, local work through the automated distribution of requests for driving a train to its destination between free locomotive teams in feedback. The industrial implementation of automated control systems in the locomotive complex of JSC Russian Railways contributes to the cost-effective provision of traction by locomotive crews.

Key words: traction resources, aggregator, locomotive crews, testing ground, hardware and software complex.

DOI: 10.20291/2079-0392-2023-4-31-42

Интерес к разработке различных моделей сотрудничества в железнодорожной отрасли обусловлен не только повышением конкурентоспособности государства, но и балансом финансирования из бюджета государства проектов ОАО «РЖД» темпу развития экономики страны и тенденциям внедрения элементов цифровой железной дороги (ЦЖД) [1]. Поэтому возникает необходимость поиска экономически обоснованного снижения себестоимости использования тяговых ресурсов; и здесь успешно применяются интеллектуальные и автоматизированные системы управления, способы и устройства для планирования, организации

работы и обмена данными локомотивных бригад по вождению локомотивов.

Для устойчивой работы необходимы способ и система организации управления движением поездов (маневровых составов) и онлайн-торгов для распределения заказов по локомотивным бригадам на ведение поездов (маневровых составов) по заявкам перевозчиков.

Предлагаемый нами способ ведения тяговых средств представляет собой совокупность этапов электронной продажи/покупки услуг локомотивных бригад по ведению поезда. На каждом этапе таких торгов потенциальный покупатель (перевозчик), используя

инструменты агрегатора услуг по ведению поезда (маневрового состава) на полигонах, запрашивает цену/предлагает начальную стоимость локомотивным бригадам (продавцам) на ведение тяговых средств [2]. Локомотивные бригады до окончания приема коммерческих предложений (онлайн-вскрытие конвертов) указывают стоимость своих услуг. Эта стоимость по сравнению с первоначальной ценой перевозчика может снижаться (разрешение скидки) или повышаться (если это предусмотрено условиями агрегатора для конкурирующих локомотивных бригад). Здесь все локомотивные бригады равны в возможности заключения договора с перевозчиками (рис. 1).

В торгах побеждает локомотивная бригада, которую выбрал перевозчик, добавив корзину услуги по заданному направлению в установленное время (не обязательно по минимальной цене, возможно и по другим параметрам

комплексной оценки [3]) с последующей оплатой на агрегаторе.

Как только оплата прошла, бригада-победительница торгов получает уведомление (которое она должна подтвердить или отклонить) о ведении поезда с установленными параметрами (если это не предусмотрено условиями агрегатора, то перевозчик выбирает другую бригаду). Денежное вознаграждение локомотивная бригада получает после поездки (через сервер локомотивных бригад или платежные шлюзы агрегатора).

Возможен и порядок «обратных» торгов: локомотивные бригады сами предлагают стоимость ведения тяговых средств по определенному маршруту в определенный интервал времени, а перевозчики покупают их услуги по выставленной стоимости или предлагают свою цену на управление тяговыми средствами. При этом порядок назначения локомотивных бригад на перевозку и оплата остаются неизменными.

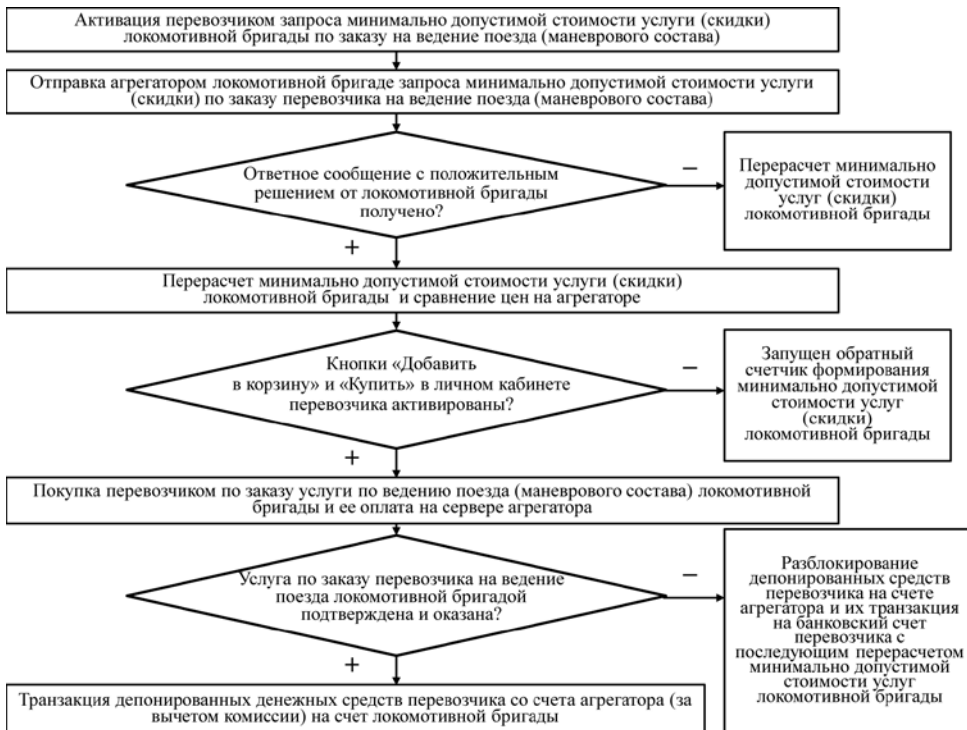


Рис. 1. Система планирования и распределения локомотивных бригад по заявкам железнодорожных перевозчиков

При таком способе перевозчик может не содержать в штате локомотивные бригады (как и локомотивным бригадам не нужно состоять в прямых трудовых отношениях с конкретным перевозчиком) и отслеживать минимальную стоимость услуги на сторонних веб-сайтах и в сторонних организациях (если такие услуги предоставляются). Аккредитованная локомотивная бригада с помощью предлагаемого способа выбирает оптимальные заказы на ведение поезда (маневрового состава) и может влиять на конкретную сделку, повышая оперативность взаимодействия с перевозчиками и исключая посредников при заключении договоров.

Результат применения информационных технологий планирования и распределения локомотивных бригад по заказам на ведение поездов (маневровых составов) по заявкам перевозчиков представлен на рис. 2.

В состав системы входит сервис агрегации железнодорожных перевозок с заявками перевозчиков и предложениями локомотивных бригад, который содержит комплексный блок технических средств агрегатора 6. Информация поступает из общей базы данных текущей задачи построения единого расписания движения поездов с ПК второго АРМ 8; доступна пользователям агрегатора через потребительский интерфейс агрегатора 7. Далее информация обрабатывается в блоке цифровой модели 9, серверное устройство 1 сопоставляет актуальные предложения на управление локомотивом с серверов локомотивных бригад 2; формируется электронный каталог, хранящийся в блоке памяти агрегатора 5 и размещенный на сервере агрегатора 3.

Перевозчики и локомотивные бригады после авторизации запрашивают у центрального серверного устройства 1

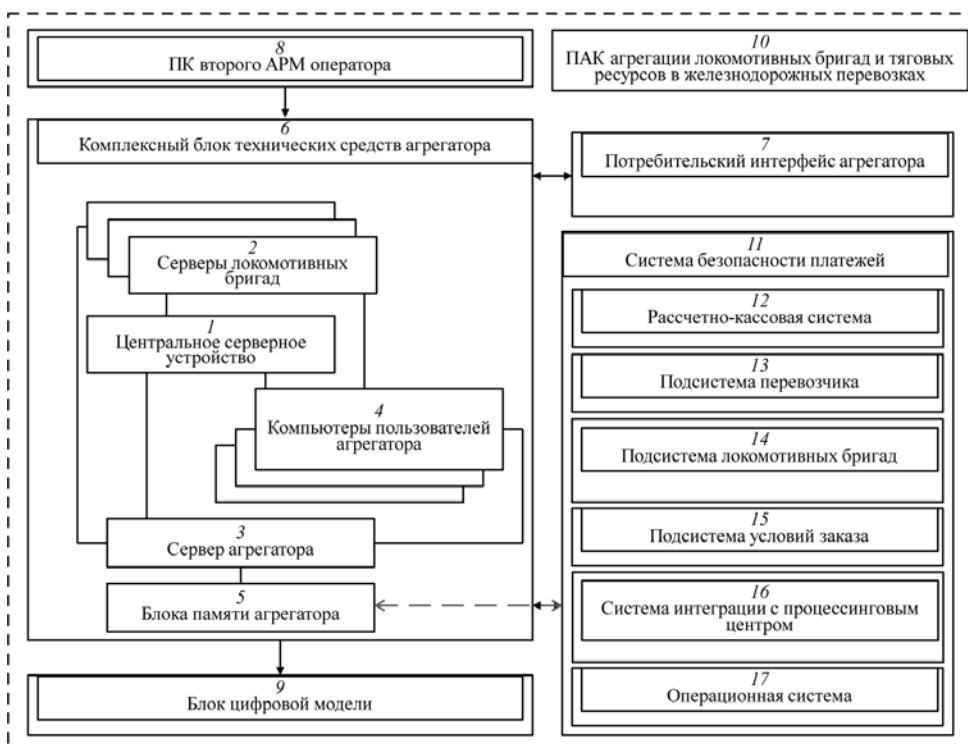


Рис. 2. Система планирования и распределения локомотивных бригад по заявкам железнодорожных перевозчиков

информацию о необходимой услуге или заказе, на который через компьютеры пользователей агрегатора 4 поступает ответ от агрегатора 7 в виде электронного каталога обо всех предложениях из блока памяти агрегатора 5.

Сервер агрегатора 3 с использованием каналов связи и ПАК агрегации локомотивных бригад 10 автоматически выбирает победившую бригаду (настройка минимальной допустимой стоимости услуг, которую может предложить в качестве обеспеченной депонированными деньгами оферты перевозчик при следующей попытке ценовой оферты, если его прежняя оферта не принята системой), и перенаправляет перевозчика для оплаты в систему безопасности платежей 11, в которую включены расчетно-кассовая система 12 (база данных с информацией о наличии на счете агрегатора денежных средств перевозчиков), подсистема перевозчика 13 (предлагаемая стоимость услуги локомотивных бригад, устанавливаемая перевозчиком на конкретный заказ по ведению поезда), подсистема локомотивных бригад 14 (публичные и скрытые данные об офертах заказов перевозчиков, реквизиты для оплаты и/или депонирования средств для акцепта оферты перевозчика), подсистема условий заказа 15, обеспечивающая покупную оферту или оферту с ожиданием одобрения от локомотивной бригады, система интеграции с процессинговым центром 16, отправляющая команду в банк перевозчика на депонирование денежных средств при обеспечении оферты, операционная система 17, распознающая подключенные ресурсы.

Объединение решения по формированию экономически оптимального графика движения поездов и дополнительного предложения по организации ведения тяговых средств локомотивными бригадами на конкурентной основе происходит быстрее, чем разрешение конфликта (сбоя) в работе всей железнодорожной транспортной системы, так как поиск решения сокращает количество вариантов, которые могут

быть предложены заказами по управлению тяговыми ресурсами. Диспетчерский аппарат по управлению движением поездов такие конфликты (сбои) решает быстрее, так как здесь предполагается только изменение порядка выполнения шаблонных команд.

Для эффективного управления эксплуатационной и поездной работой поездам участков необходимо решить задачу рациональной эксплуатации только локомотивов в сетевой структуре перевозочного процесса и экономически выгодного оказания услуг (выполнения работ) по ведению поездов (маневровых составов). Здесь целесообразен искусственный интеллект, способный оценивать потребность и адресно распределять тяговые ресурсы и локомотивные бригады с учетом поездного положения на полигоне.

Решение задачи заключается в разработке установленного в центральном сервисном устройстве 1 ПО ПАК агрегации локомотивных бригад и тяговых ресурсов в железнодорожных перевозках 10, подающего заказы перевозчиков на агрегаторе и заявки аттестованных локомотивных бригад на ведение поезда (маневрового состава) (рис. 3).

Программное обеспечение ПАК 10 состоит из трехуровневого порядка управления и контроля.

I. Агрегация локомотивных бригад с помощью АСКО ЛБ 101 по заявкам перевозчика подбирает бригаду на тяговые средства [5]. Соответствующая программа расчет параметров назначения локомотивных бригад, удовлетворяющих установленным эксплуатационным характеристикам тяговых ресурсов полигона железных дорог, формирование рейтинга локомотивных бригад по сложности ведения поезда, местным особенностям, состоянию локомотива, инфраструктуры; автоматический выбор оптимальной бригады для управления локомотивом, исходные данные которой поступают в модуль обеспечения 106 тяговыми средствами по заказам перевозчиков, сопоставляющий заказ перевозчика на ведение поезда



Рис. 3. Программное обеспечение ПАК агрегации локомотивных бригад и тяговых ресурсов в железнодорожных перевозках 10

с предварительно подобранными локомотивными бригадами и имеющимися на этом поездоучастке удовлетворяющих требованиям перевозки локомотивами, информация из которого направляются в комплексный блок технических средств агрегатора 6.

II. Управление агрегированием выполняется в соответствии с процедурами работы комплексного блока технических средств агрегатора 6, из которого информация о заказах перевозчиков и стоимости услуг локомотивных бригад поступает в потребительский интерфейс агрегатора 7, состоящий из сайта-агрегатора 104 и мобильного приложения-агрегатора 105. Пользователи получают поступившую в ИСУ АП информацию о локомотивной бригаде-победительнице 103 [6].

Уровни I и II порядка управления и контроля ПАК объединяются сервисом по ведению поезда 100, выходные данные которого поступают в ИСУ АП

103 на уровень III порядка управления и контроля ПАК. На этом уровне отбираются локомотивные бригады, прошедшие теоретическую и практическую подготовку, которым владелец инфраструктуры разрешает самостоятельную работу на поездоучастке в зависимости от наличия прав на управление типом и серией локомотивов, а также заключения владельца инфраструктуры для работы по видам движения (маневровое, грузовое, передаточно-вывозное и т.д.) для управления локомотивом, следующим в составе поезда со станций формирования поездов, промежуточных станций или маневровым составом.

III. Координация и контроль агрегированных перевозок обеспечивается АС КАЛБ 102, предназначенной для непрерывного контроля за допуском и работой локомотивных бригад на железнодорожных путях общего или необщего пользования за счет учета наличия разрешительных документов

и мониторинга выполнения утвержденных законодательством на железнодорожном транспорте стандартов, требований при назначении локомотивных бригад (различных организационно-правовых форм) по заявкам перевозчиков на ведение поезда (маневрового состава) с учетом безопасности движения поездов (маневровых составов). Далее из АС КАЛБ данные о каждой локомотивной бригаде, допущенной к управлению локомотивом на всех поездоучастках, поступают в ИСУ АП 103, производящую последующее сравнение с поступившими данными из сервиса услуг по ведению поезда 100 или блока технических средств агрегатора 6 для окончательного выбора локомотивной бригады-победительницы (с разрешающими документами на ведение поезда (маневрового состава) по заказу перевозчика, размещенного на агрегаторе [7]. ИСУ АП 103 предназначена для удовлетворения потребностей перевозчика в объемах поездной и местной работы, а также автоматизированного распределения заявок на перевозку между свободными локомотивными бригадами и позволяет на конкурентной основе организовать безостановочное движение поездов.

Сбой в движении транспорта может произойти в случае возникновения конфликтных ситуаций между транспортными средствами транспортного потока из-за вышедшего из строя технического устройства, физического состояния и/или уровня подготовки работника технологического процесса и т.д., из-за воздействия внешней среды. Главная же причина сбоев в движении поездов по уровню урона и последствий – человеческий фактор, поэтому значительная доля расходов перевозчика идет на соблюдение режима управления поездом (обучение, подготовка, контрольные поездки, проверки и т.д.). Как следствие, содержание локомотивных бригад в штате перевозчика сдерживает экономически выгодный поиск сторонних аттестованных локомотивных бригад для привлечения их к выполнению

заказов по заявкам (разовым, периодическим, постоянным).

С учетом регламентированного нормативно-правового порядка допуска и разрешения выезда на инфраструктуру железнодорожного транспорта [8–13] и предоставления подтверждающих документов, допускающих локомотивные бригады к управлению на выбранном поездоучастке или железнодорожной линии (общего/необщего пользования), можно организовать управление тяговыми ресурсами как собственными, так и сторонними локомотивными бригадами на онлайн-агрегаторе услуг по востребованным заказам (заявкам) перевозчиков на транспортную перевозку по разработанным графикам движения поездов и маневровых составов.

Математическое обеспечение процедур агрегации локомотивных бригад и тяговых ресурсов реализовано в ИСУ АП, в которую встроена АСКО ЛБ, отвечающая за формирование параметров управления локомотивами.

С помощью генератора случайных чисел по условию задачи имитируются возможные ситуации или процессы, по результатам которых искомая величина принимает некоторое значение. Поэтому в предлагаемом метаэвристическом алгоритме для оценки рисков используется метод Монте-Карло – элемент стохастической оптимизации в программировании АСКО ЛБ на языке Lazarus, в которой оператор запускает модель:

$$(v, s, t, Z) = \text{Simulate}(u, Z), \quad (1)$$

где $Z = \{s, F, \text{vinf}\}$ – блок характеристик и управленческих вариантов работы локомотивов $uvar = \text{Gen}_u(Z)$.

Основной компонент функционирования алгоритма, заложенного в АСКО ЛБ, упрощенно можно изложить в следующем порядке.

1. Инициализация. Процедурой Монте-Карло устанавливается счетчик стартов $c_{\text{start}} = 0$ и иницируется процесс поиска N_{start} итераций первичного приближения N_{mc} с формированием начальной

и конечной температур алгоритма «имитация отжига» (Θ_0, Θ_k), при этом коэффициент снижения температуры $\alpha < 1$.

2. Поиск перспективного варианта управления локомотивами $u_0^* = \operatorname{argmin}(A)|v = v_0; s = s_0; t_x - t_z \leq t_d$ с помощью N_{mc} итераций (v, s, t, Z) = Simulate($u = \operatorname{Gen}_u(Z), Z$).

3. Реализация процедуры КО: $\Theta = \Theta_0$; $k = 0$; $u^* = u_0^*$.

4. Запуск операции (v, s, t, Z) = Simulate($u_{k+1} = \operatorname{Gen}_u(Z), Z$).

5. Корректировка перспективных управленческих решений u^* .

6. Проверка выполнения условия завершения процедуры «имитации отжига»: если $\Theta < \Theta_k$, то $u[q] = u^*$; перейти к 7; иначе – к 4.

7. Контроль исполнения условия по окончанию расчета: если $q \geq N$, то перейти к 8. Иначе приступить к старту в 1.

8. Выполнение поиска минимального значения из всех имеющихся вариантов $u_{\min} = \operatorname{argmin}(Z(u_i)), i = 1 \dots q$ [14].

Правильный ввод исходных параметров в алгоритме дает достаточную сходимость результатов в АСКО ЛБ, гарантируя высокую точность расчета потребности назначения локомотивных бригад по управлению тягой с учетом плеч обращения локомотивов для удовлетворения объемов перевозок.

Перепланировка поездов в плотных железнодорожных системах в реальном времени – сложная задача со множеством противоречивых целей и различных типов решений*. Режимы эксплуатационной работы полигона в различных условиях исследуются инструментами визуального моделирования Simulink в разработанной авторами методике [2], которая позволяет для исследований уровня управленческих решений использовать количественные и параметры работы локомотивов и локомотивных бригад. В зависимости

от режима эксплуатационной работы, диспетчеры полигона решают задачи по управлению поездной работой – от обеспечения выполнения установленных норм до оперативного устранения сбоев в движении поездов.

Технологии цифровизации системы значительно сократят производственные затраты локомотивной составляющей ОАО «РЖД» до минимума, вплоть до исключения содержания машинистов локомотивов, их помощников и нарядчиков локомотивных бригад. Технико-технологическая часть бесперебойной организации использования и контроля состояния тяговых ресурсов, реализованная в ИСУ АП, позволяет усовершенствовать эксплуатацию локомотивов и локомотивных бригад на коммерческой основе (рис. 4).

Алгоритмы ПО логически связаны с компьютерами пользователей, на которых установлены инструкции способа ведения тяговых средств (см. рис. 2). Агрегатор принимает решение после поступления в блок памяти агрегатора 5 событий из системы безопасности платежей 11 с инструментами качества оказываемых услуг локомотивными бригадами. Далее выполняется процедура электронных онлайн-торгов по распределению заказов между локомотивными бригадами на ведение поездов согласно заявкам перевозчиков. У перевозчика отражается наличие локомотивных бригад, а у локомотивных бригад – количество локомотивов для возможного управления. Но все участники торгов видят онлайн-табло, где указаны законченные и действующие заявки, привязанные к ближайшим датам. Такой подход обеспечивает прозрачность и равные условия всех участников.

Для промышленной эксплуатации ПАК агрегации локомотивных бригад и тяговых ресурсов в железнодорожных

* Например, во французской железнодорожной системе в предложен подход, сочетающий многокритериальную оптимизацию для выбора решений о переносе сроков и макроскопическое моделирование для вычисления целей, связанных с этими решениями [15]. Возможные решения включают отмену или корректировку графика движения поездов, дают множество рекомендаций руководителям, которые управляют в ручном режиме.

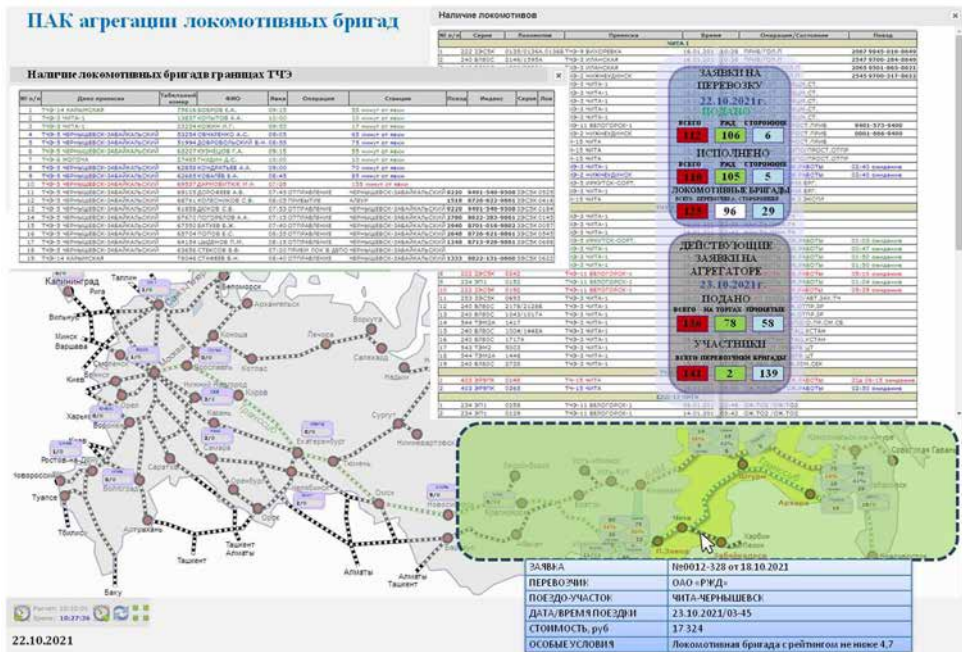


Рис. 4. Интерфейс ИСУ АП

перевозках 10 необходимо решение вопроса функционирования ИСУ АП на законодательном уровне и документационного обеспечения технологических процессов ОАО «РЖД».

Существующие системы организации перевозочного процесса на железнодорожном транспорте, способы и устройства для планирования, организации работы и обмена данными локомотивных бригад по управлению тяговыми ресурсами, контролю за автоматизированным управлением локомотивом и обеспечению безопасности движения поездов и бдительностью машиниста внедряются на железнодорожном транспорте уже сегодня, но носят разрозненный характер. Однако все их преимущества не объединены как подсистемы в единый комплекс управления полигона. Основное преимущество системы планирования и распределения локомотивных бригад по заявкам железнодорожных перевозчиков для организации движения поездов и управления маневровыми составами заключается в удовлетворении потребностей

перевозчика в объемах управления тяговыми ресурсами через автоматизированное конкурсное распределение заявок на перевозку между свободными локомотивными бригадами на агрегаторе.

Корректность работы агрегатора, в частности, ПО ПАК агрегации локомотивных бригад и тяговых ресурсов в железнодорожных перевозках зависит от укомплектованности и технического состояния средств и устройств, обеспечивающих устойчивое функционирование системы планирования и распределения локомотивных бригад по заявкам на управление локомотивами.

Приведенные алгоритмы, математические процедуры и методы работы ИСУ АП универсальны, применимы на железнодорожном транспорте, подтверждены работоспособностью используемого программного обеспечения ПАК и могут быть рекомендованы для разработки положений по централизации системы эффективного управления тяговым бизнес-ресурсом на полигоне железных дорог локомотивными бригадами на конкурсной основе. ■

Литература

1. Распоряжение Правительства Российской Федерации от 19.03.2019 № 466-р. «О долгосрочной программе развития ОАО «РЖД» до 2025 года». URL: <https://base.garant.ru/72200764/>. (дата обращения: 09.08.2023).
2. Сирина Н. Ф., Русин Д. Л. Методика адаптивного регулирования и управления тяговыми ресурсами на полигоне железных дорог // Вестник УрГУПС. 2023. № 3 (59). С. 23–35. ISSN 2079-0392.
3. Сирина Н. Ф., Русин Д. Л. Модель адаптивного регулирования и управления тяговыми ресурсами с идентификацией в перевозочном процессе полигона железных дорог // Транспорт Урала. 2023. №3 (78). С. 8–17. ISSN 1815-9400.
4. Сай В. М., Горелова Д. Ю. Моделирование системы обнаружения аномалий в сетевых организационных структурах // Вестник УрГУПС. 2023. № 1 (57). С. 4–13. ISSN 2079-0392.
5. Автоматизированная система консолидации и отбора локомотивных бригад по заявкам на тяговые средства (АСКО ЛБ): свидетельство о государственной регистрации программы для ЭВМ Рос. Федерация № 2021615582 от 09.04.2021 / Н. Ф. Сирина, Д. Л. Русин. URL: https://www1.fips.ru/registers-doc-view/fips_servlet?DB=EVM&DocNumber=2021615582&TypeFile=html (дата обращения: 15.08.2023).
6. Интеллектуальная система управления агрегированными перевозками на сети железных дорог (ИСУ АП): свидетельство о государственной регистрации программы для ЭВМ Рос. Федерация № 2021615468 от 08.04.2021 г. / Н. Ф. Сирина, Д. Л. Русин. URL: https://www1.fips.ru/registers-doc-view/fips_servlet?DB=EVM&DocNumber=2021615468&TypeFile=html (дата обращения: 15.08.2023).
7. Автоматизированная система контроля агрегированных локомотивных бригад (АС КАЛБ): свидетельство о государственной регистрации программы для ЭВМ Рос. Федерация № 2021615467 от 08.04.2021 г. / Н. Ф. Сирина, Д. Л. Русин. URL: https://www1.fips.ru/registers-doc-view/fips_servlet?DB=EVM&DocNumber=2021615467&TypeFile=html (дата обращения: 17.08.2023).
8. Распоряжение ОАО «РЖД» от 11.09.2017 № 1852р «Об утверждении Положения о допуске локомотивов и локомотивных бригад сторонних организаций с железнодорожных путей необщего пользования на железнодорожные пути общего пользования». URL: <https://base.garant.ru/71825594/> (дата обращения: 17.08.2023).
9. Распоряжение ОАО «РЖД» от 15.11.2017 № 2341р «Об утверждении Порядка взаимодействия подразделений ОАО «РЖД» при пробеге по инфраструктуре ОАО «РЖД» локомотивов сторонних организаций». URL: <https://base.garant.ru/73711730/> (дата обращения: 17.08.2023).
10. Распоряжение ОАО «РЖД» от 27.06.2016 № 1246р «О разработке порядка учета сведений о допуске или отказе в допуске железнодорожного подвижного состава и (или) локомотивной бригады (бригад специального подвижного состава) к предстоящей работе на путях общего пользования». URL: <https://base.garant.ru/71715462/> (дата обращения: 17.08.2023).
11. Приказ Минтранса России от 21.12.2010 № 286 «Об утверждении Правил технической эксплуатации железных дорог Российской Федерации». URL: <https://www.garant.ru/products/ipo/prime/doc/55070488/> (дата обращения: 17.08.2023).
12. Распоряжение ОАО «РЖД» от 12.08.2016 № 1655р «Об утверждении Положения о допуске моторвагонного железнодорожного подвижного состава и локомотивных бригад перевозчиков на железнодорожные пути общего пользования инфраструктуры ОАО «РЖД» в пригородном сообщении». URL: https://www.consultant.ru/document/cons_doc_LAW_255012/92d9fb55aacfe6672f84c4efad3af834554fe124/ (дата обращения: 17.08.2023).
13. Приказ МПС РФ от 18.06.2003 № 26 «Об утверждении Правил эксплуатации и обслуживания железнодорожных путей необщего пользования». URL: <https://base.garant.ru/186037/> (дата обращения: 17.08.2023).
14. Сирина Н. Ф., Русин Д. Л. Реализация методов автоматизированного распределения тяговых ресурсов на обслуживание инфраструктуры полигона железных дорог / Сб. научн. тр. «Транспорт: наука, образование, производство», Т. 3. Технические и экономические науки. – Ростов-на-Дону : Рост. гос. ун-т. путей сообщения, 2020. – С. 200–204.
15. Altazin E., Dautère-Péres S., Ramond F., Tréfond S. A multi-objective optimization-simulation approach for real time rescheduling in dense railway systems // European Journal of Operational Research, № 283. Pp. 127–141.

Referens

1. Order of the Government of the Russian Federation dated March 19, 2019 No. 466-r. «On the long-term development program of JSC Russian Railways until 2025» [Rasporyazhenie Pravitel'stva Rossijskoj Federacii ot 19.03.2019 № 466-r. «O dolgosrochnoj programme razvitiya OAO «RZHD» do 2025 goda»]. URL: <https://base.garant.ru/72200764/>. (accessed: 09.08.2023).
2. Sirina N. F., Rusin D. L. Methodology for adaptive regulation and management of traction resources at a railway site // Bulletin of the Ural State University of Railway Transport [Sirina N. F., Rusin D. L. Metodika adaptivnogo regulirovaniya i upravleniya tyagovymi resursami na poligone zheleznyh dorog // Vestnik UrGUPS]. 2023. № 3 (59). Pp. 23–35. ISSN 2079-0392.
3. Sirina N. F., Rusin D. L. Model of adaptive regulation and management of traction resources with identification of the railway range in the transportation process // Transport of the Urals [Model' adaptivnogo regulirovaniya i upravleniya tyagovymi resursami s identifikaciej v perevozhnom processe poligona zheleznyh dorog // Transport Urala]. 2023. № 3 (78). Pp. 8–17. ISSN 1815-9400.
4. Say V. M., Gorelova D. Yu. Modeling of an anomaly detection system in network organizational structures // Bulletin of the Ural State University of Railway Transport [Modelirovanie sistemy obnaruzheniya anomalij v setevyh organizacionnyh strukturah // Vestnik UrGUPS.]. 2023. № 1 (57). Pp. 4–13. ISSN 2079-0392.
5. Automated system for the consolidation and selection of locomotive crews based on applications for traction equipment (ASKO LB): certificate of state registration of the computer program Ros. Federation No. 2021615582 dated 04/09/2021 / N. F. Sirina, D. L. Rusin [Avtomatizirovannaya sistema konsolidacii i otbora lokomotivnyh brigad po zayavkam na tyagovye sredstva (ASKO LB): svidetel'stvo o gosudarstvennoj registracii programmy dlya EVM Ros. Federaciya № 2021615582 ot 09.04.2021 / N. F. Sirina, D. L. Rusin.]. URL: https://www1.fips.ru/registers-doc-view/fips_servlet?DB=EVM&DocNumber=2021615582&TypeFile=html (accessed: 15.08.2023).
6. Intelligent control system for aggregated transportation on the railway network (ISU AP): certificate of state registration of the computer program Ros. Federation No. 2021615468 dated 04/08/2021 / N. F. Sirina, D. L. Rusin [Intellektual'naya sistema upravleniya agregatirovannymi perevozkami na seti zheleznyh dorog (ISU AP): svidetel'stvo o gosudarstvennoj registracii programmy dlya EVM Ros. Federaciya № 2021615468 ot 08.04.2021 g. / N. F. Sirina, D. L. Rusin.]. URL: https://www1.fips.ru/registers-doc-view/fips_servlet?DB=EVM&DocNumber=2021615468&TypeFile=html (accessed: 15.08.2023).
7. Automated control system for aggregated locomotive crews (AS KALB): certificate of state registration for the computer program Ros. Federation No. 2021615467 dated 04/08/2021 / N. F. Sirina, D. L. Rusin [Avtomatizirovannaya sistema kontrolya agregirovannyh lokomotivnyh brigad (AS KALB): svidetel'stvo o gosudarstvennoj registracii programmy dlya EVM Ros. Federaciya № 2021615467 ot 08.04.2021 g. / N. F. Sirina, D. L. Rusin.]. URL: https://www1.fips.ru/registers-doc-view/fips_servlet?DB=EVM&DocNumber=2021615467&TypeFile=html (accessed: 17.08.2023).
8. Order of JSC Russian Railways dated September 11, 2017 No. 1852r «On approval of the Regulations on the admission of locomotives and locomotive crews of third-party organizations from non-public railway tracks to public railway tracks» [Rasporyazhenie OAO «RZHD» ot 11.09.2017 № 1852r «Ob utverzhdenii Polozheniya o dopuske lokomotivov i lokomotivnyh brigad storonnih organizacij s zheleznodorozhnyh putej neobshchego pol'zovaniya na zheleznodorozhnye puti obshchego pol'zovaniya»]. URL: <https://base.garant.ru/71825594/> (accessed: 17.08.2023).
9. Order of JSC Russian Railways dated November 15, 2017 No. 2341r «On approval of the Procedure for interaction between divisions of JSC Russian Railways when locomotives of third-party organizations run through the infrastructure of JSC Russian Railways» [Rasporyazhenie OAO «RZHD» ot 15.11.2017 № 2341r «Ob utverzhdenii Poryadka vzaimodejstviya podrazdelenij OAO «RZHD» pri probege po infrastrukture OAO «RZHD» lokomotivov storonnih organizacij»]. URL: <https://base.garant.ru/73711730/> (accessed: 17.08.2023).
10. Order of JSC Russian Railways dated June 27, 2016 No. 1246r «On developing a procedure for recording information on the admission or refusal of admission of railway rolling stock

- and (or) locomotive crews (crews of special rolling stock) for upcoming work on public tracks» [Rasporyazhenie OAO «RZHD» ot 27.06.2016 № 1246r «O razrabotke poryadka ucheta svedenij o dopuske ili otkaze v dopuske zheleznodorozhnogo podvizhnogo sostava i (ili) lokomotivnoj brigady (brigad special'nogo podvizhnogo sostava) k predstoyashchej rabote na putyah obshchego pol'zovaniya»]. URL: <https://base.garant.ru/71715462/> (accessed: 17.08.2023).
11. Order of the Ministry of Transport of Russia dated December 21, 2010 No. 286 «On approval of the Rules for the technical operation of railways of the Russian Federation» [Prikaz Mintransa Rossii ot 21.12.2010 № 286 «Ob utverzhdenii Pravil tekhnicheskoy ekspluatatsii zheleznih dorog Rossijskoj Federacii»]. URL: <https://www.garant.ru/products/ipo/prime/doc/55070488/> (accessed: 17.08.2023).
 12. Order of JSC Russian Railways dated August 12, 2016 No. 1655r «On approval of the Regulations on the admission of multi-unit railway rolling stock and locomotive crews of carriers to the public railway tracks of the infrastructure of JSC Russian Railways in suburban traffic» [Rasporyazhenie OAO «RZHD» ot 12.08.2016 № 1655r «Ob utverzhdenii Polozheniya o dopuske motorvagonnogo zheleznodorozhnogo podvizhnogo sostava i lokomotivnyh brigad perevozchikov na zheleznodorozhnye puti obshchego pol'zovaniya infrastruktury OAO «RZHD» v prigorodnom soobshchenii»]. URL: https://www.consultant.ru/document/cons_LAW_255012/92d9fb55aacfe6672f84c4efad3af834554fe124/ (accessed: 17.08.2023).
 13. Order of the Ministry of Railways of the Russian Federation dated June 18, 2003 No. 26 «On approval of the Rules for the operation and maintenance of non-public railway tracks» [Prikaz MPS RF ot 18.06.2003 № 26 «Ob utverzhdenii Pravil ekspluatatsii i obsluzhivaniya zheleznodorozhnyh putej neobshchego pol'zovaniya»]. URL: <https://base.garant.ru/186037/> (accessed: 17.08.2023).
 14. Sirina N. F., Rusin D. L. Implementation of methods for automated distribution of traction resources for servicing the infrastructure of a railway range / Col. scientific thesis. «Transport: science, education, production», V. 3. Technical and economic sciences [Realizaciya metodov avtomatizirovannogo raspredeleniya tyagovyh resursov na obsluzhivanie infrastruktury poligona zheleznih dorog / Sb. nauchn. tr. «Transport: nauka, obrazovanie, proizvodstvo», T.3. Tekhnicheskie i ekonomicheskie nauki]. – Rostov-on-Don : Rostov State University of Railway Transport, 2020. Pp. 200–204.
 15. Altazin E., Dauzère-Péres S., Ramond F., Tréfond S. A multi-objective optimization-simulation approach for real time rescheduling in dense railway systems // European Journal of Operational Research, № 283. Pp. 127–141.

Статья сдана в редакцию 5 сентября 2023 года

Н. С. Захаров, Е. С. Козин

Контроль выполнения технологического процесса обслуживания и ремонта автомобилей с использованием нейронных сетей

UDC 656.13.02-027.43

N. S. Zaharov, E. S. Kozin

Control of the technological process of car maintenance and repair using neural networks

Аннотация

В статье рассмотрен метод оценки качества выполнения технологических операций по техническому обслуживанию и ремонту автомобилей на автосервисном предприятии. Предлагается автоматизированная система контроля выполнения технологического процесса с использованием искусственных нейронных сетей. Система позволяет оценить соответствие выполняемой механиком операции нормативу по продолжительности и степени соблюдения правильной последовательности действий, обрабатывает полученный с помощью установленной в зоне поста видеокамеры видеопоток, распознает людей и автомобили и определяет продолжительность

нахождения этих объектов в пределах размеченных участков, соответствующих этапам технологического процесса обслуживания и ремонта автомобиля во времени и пространстве. Для задач детектирования объектов в видеопотоке была использована предобученная нейронная сеть с архитектурой YOLOv3. С помощью установленных показателей система определяет степень соответствия выполняемого технологического процесса нормативам и информирует об этом лицо, принимающее решение. В качестве показателя оценки степени соответствия фактического технологического процесса нормативному предлагается использовать метрику «пересечение через объединение», которая

позволяет провести сравнение фактического времени нахождения механика в зоне проведения работ и нормативного. Результатом исследования является методика мониторинга производственной зоны автосервиса, представленная в виде алгоритма. Разработанный алгоритм может быть использован при разработке программного обеспечения для мониторинга технологических процессов станций технического обслуживания и автотранспортных предприятий, имеющий свой парк техники.

Ключевые слова: техническая эксплуатация, автомобиль, автосервис, контроль, нейронные сети, технологический процесс, качество.

DOI: 10.20291/2079-0392-2023-4-43-51

Статья рекомендована к публикации Ш. М. Мердановым, д-ром техн. наук, профессором кафедры «Транспортные и технологические системы» Тюменского индустриального университета. E-mail: merdanovsm@tyuiu.ru.

Николай Степанович Захаров, д-р техн. наук, профессор; кафедра «Сервис автомобилей и технологических машин» Тюменского индустриального университета; Тюмень, Россия. E-mail: zaharovns@tyuiu.ru. ORCID 0000-0001-8415-0505.

Евгений Сергеевич Козин, канд. техн. наук, доцент; кафедра «Сервис автомобилей и технологических машин» Тюменского индустриального университета; Тюмень, Россия. E-mail: kozines@tyuiu.ru. ORCID 0000-0002-6774-3285.

© Н. С. Захаров, Е. С. Козин, 2023

The article is recommended for publication by S. M. Merdanov, Doctor of Technical Sciences, Professor of the Department «Transport and Technological Systems» of Tyumen Industrial University. E-mail: merdanovsm@tyuiu.ru.

Nikolaj Stepanovich Zaharov, Doctor of Technical Sciences, Professor; Department of «Service of Cars and Technological Machines» of Tyumen Industrial University; Tyumen, Russia. E-mail: zaharovns@tyuiu.ru. ORCID 0000-0001-8415-0505.

Evgenij Sergeevich Kozin, Candidate of Technical Sciences, Associate Professor; Department of «Service of Cars and Technological Machines» of Tyumen Industrial University; Tyumen, Russia. E-mail: kozines@tyuiu.ru. ORCID 0000-0002-6774-3285.

© N. S. Zaharov, E. S. Kozin, 2023

Abstract

The article considers a method for assessing the quality of technological operations for the maintenance and repair of cars at a car service company. An automated system for controlling the execution of the technological process using artificial neural networks is proposed. Suggested system allows to assess the compliance of the operation performed by the mechanic with the standard for the duration and degree of compliance with the correct sequence of actions, to process the video stream received with the help of a video camera installed in the area of the post, to recognize people

and cars and determines the duration of these objects within the marked areas corresponding to the stages of the technological process of car maintenance and repair in time. For the tasks of detecting objects in the video stream, a pre-trained neural network with the YOLOv3 architecture was used. With the help of established indicators, the system determines the degree of compliance of the performed technological process with the standards and informs the decision-making body about it. As an indicator of the assessment of the degree of compliance of the actual technological process with the normative one, it is proposed to use the metric «intersection

through association», which allows comparing the actual time spent by the mechanic in the work area and the normative one. The result of the study is a methodology for monitoring the production area of a car service, presented in the form of an algorithm. The developed algorithm can be used in the development of software for monitoring the technological processes of service stations and motor transport enterprises, which have their own fleet of equipment.

Keywords: technical operation, car, auto repair, control, neural networks, technological process, quality.

DOI: 10.20291/2079-0392-2023-4-43-51

Современный способ контроля технического обслуживания и ремонта автомобилей не позволяет вовремя устранить мешающие факторы [1, 2]. Необходим автоматизированный контроль производства на основе установленных нормативных показателей с применением интеллектуальных информационных технологий [3, 4].

Для оценки качества выполнения производственного процесса предлагается использовать технологию искусственных нейронных сетей (ИНС) [5–8]. Видеозапись обрабатывается нейронной сетью, программа определяет продолжительность нахождения объектов в размеченных зонах, сравнивает с нормативами, проверяет, не нарушены ли продолжительность и последовательность выполнения технологических операций [9, 10].

Схема эксперимента (Институт транспорта Тюменского промышленного университета), имитирующего процесс обслуживания и ремонта автомобиля, для оценки качества его выполнения с помощью нейросетевой модели представлена на рис. 1.

Эксперимент был разделен на два вида: а – оценка выполнения одной операции; б – оценка выполнения последовательности операций. Определяются границы поста для работ с автомобилем; камера на штативе (зеленый кружок; направление установки объектива показано прямыми линиями; рис. 1). Последовательность передвижения механика между зонами показана стрелками. Действия начинались от зоны 1. В первом эксперименте (рис. 1, а) оценивалась только работа механика в подкапотном пространстве в течение заданного времени. Во втором (рис. 1, б) – последовательный переход между выделенными зонами с остановкой в пределах каждой зоны в течение заданного времени. В обоих экспериментах были установлены нормативные последовательности маршрутов и промежутков времени нахождения в каждой зоне. В первом нормативная продолжительность нахождения в зоне 2 составляла 30 с (имитация замены воздушного фильтра), во втором установлена правильная цепочка операций 1-2-3-4-5-6; время нахождения в каждой зоне – 15 с (имитация

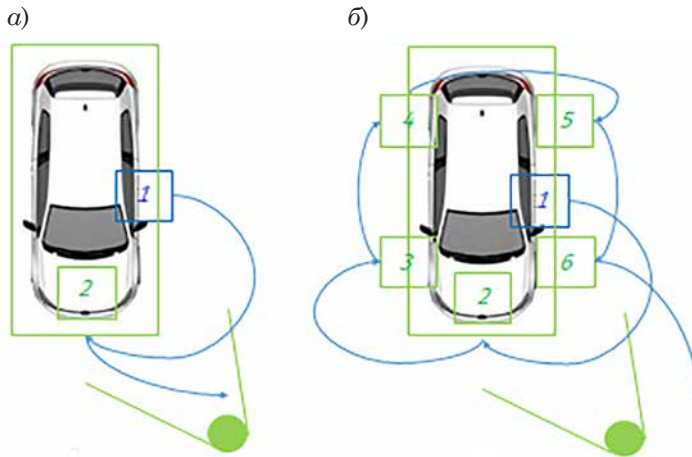


Рис. 1. Схема проведения эксперимента

а – имитация выполнения одной технологической операции; б – имитация выполнения последовательности технологических операций

1 – передняя левая дверь; 2 – капот; 3 – переднее правое колесо; 4 – заднее правое колесо; 5 – заднее левое колесо; 6 – переднее левое колесо

осмотра и технического обслуживания автомобиля).

Полученный видеопоток обрабатывался с помощью сверточной нейронной сети YOLOv3 [11, 12], умеющей распознавать объекты «автомобиль» (car) и «человек» (person). Для каждого кадра (обработка – один кадр в секунду) сеть корректно определила классы объектов и их координаты (рис. 2).

На рис. 2 координаты ограничительных рамок зон капота (hood), четырех

колес (f_l_wheel, r_l_wheel, f_r_wheel, r_r_wheel), зоны поста (zone) программно заданы оператором, а ограничительные рамки механика (person) и автомобиля (car) определены нейронной сетью.

Методика эксперимента заключалась в определении факта и продолжительности нахождения объекта в каждой из заданных зон (пост, капот, колесо и т.п.). Для этого определялась площадь совмещения прямоугольника, описывающего детектируемый нейронной сетью

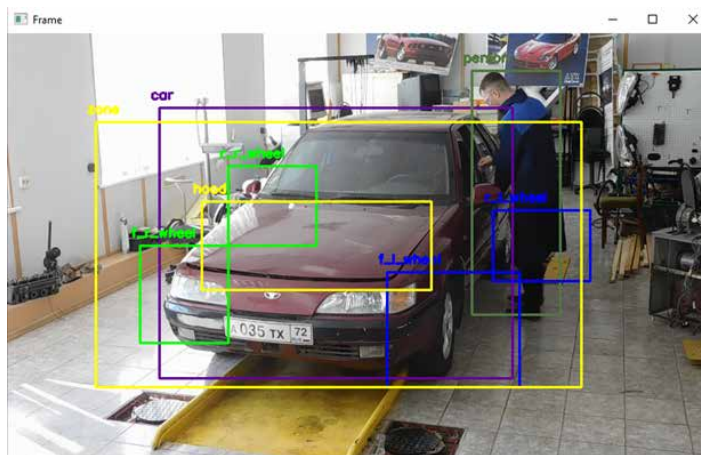


Рис. 2. Результат детектирования объектов нейронной сетью

объект, и прямоугольника, описывающего одну из рассматриваемых зон; использовалась метрика «пересечение через объединение» (iou, intersection over union), оценивающая точность работы модели сверточной нейронной сети [13, 14]. Она показывает степень пересечения двух прямоугольников (bounding boxes – ограничительных рамок), и большая величина метрики будет соответствовать более полному объединению прямоугольников. Величина безразмерная, ее нулевое значение будет говорить, что объект не находился в заданной зоне.

В рамках каждого эксперимента (рис. 1, а, б) было сделано три видеозаписи (имитации), первая из которых (1.1) соответствовала нормативным условиям. Для первого эксперимента вторая видеозапись (1.2) содержала отклонение от нормативного времени в меньшую сторону (продолжительность нахождения механика в зоне капота была уменьшена до 15 с, т.е. операция выполнена не вся), а третья (1.3) – в большую сторону (60 с; имитация неопытного исполнителя, не укладывающегося в нормативное время). Для условий второго эксперимента моделировалась нормативная последовательность действий (2.1), условия нарушения нормативной последовательности

действий (1-5-6-2-4-3 вместо 1-2-3-4-5-6) (2.2) и нарушения времени нахождения в каждой зоне при правильной последовательности действий (по пять с вместо 15) (2.3). В рамках каждой из шести ситуаций модель была запущена несколько десятков раз, после чего результаты усреднялись. Но, поскольку видеозаписи были одни и те же, сходимость результатов была на высоком уровне.

Оценку результатов предлагается проводить с использованием двух показателей: коэффициента корреляции Пирсона и метрики iou (рис. 3).

Строится график изменения метрики iou по времени, рассчитывается значение градиента изменения метрики по времени, определяется максимальное и минимальное значение градиента для поиска координат начала и окончания прямоугольника, описывающего детектирование объекта в определенной зоне [15]. На седьмой секунде механик детектируется нейронной сетью в зоне капота, происходит резкое изменение метрики iou с нуля до 0,17. Так же стремительно меняется значение метрики на 37 с – с 0,18 до нуля. Этим изменениям соответствуют экстремальные значения градиента с различными знаками. Далее для элементов массива изменения градиента определяются индексы максимального и минимального значений

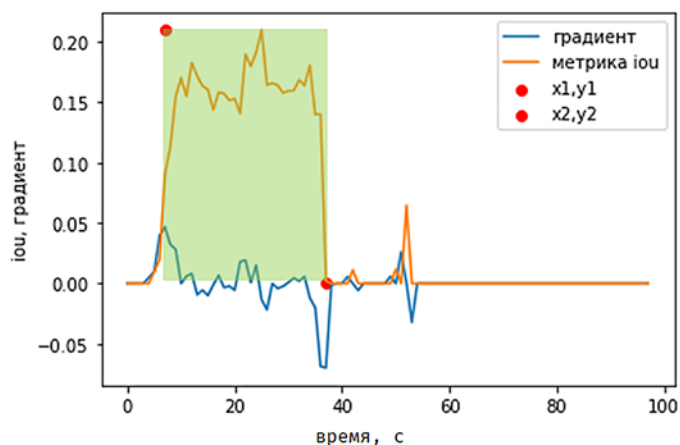


Рис. 3. Определение ограничительной рамки (bounding box) на графике iou с использованием градиента функции

градиентов, которые и будут соответствовать координатам вершин прямоугольника по оси абсцисс. Так строятся ограничительные прямоугольники для фактического и эталонного (нормативного) наблюдения, после чего определяется степень их пересечения.

Результаты первого эксперимента по нахождению механизма в зоне капота представлены на рис. 4. Для удобства интерпретации фактические графики изменения метрики iou приведены к одинаковой продолжительности и наложены на нормативный график. Ограничительные прямоугольники определялись

для всех графиков; на рис. 4 показаны только для левого графика.

На рис. 4 для графиков, соответствующих неправильно выполненной технологической операции, заметно расхождение между фактическим и нормативным значением метрики iou. График операции, выполненной корректно по времени, практически полностью совпадает с нормативным.

Результаты второго эксперимента по оценке правильности соблюдения последовательности операций в рамках технологического процесса представлены на рис. 5.

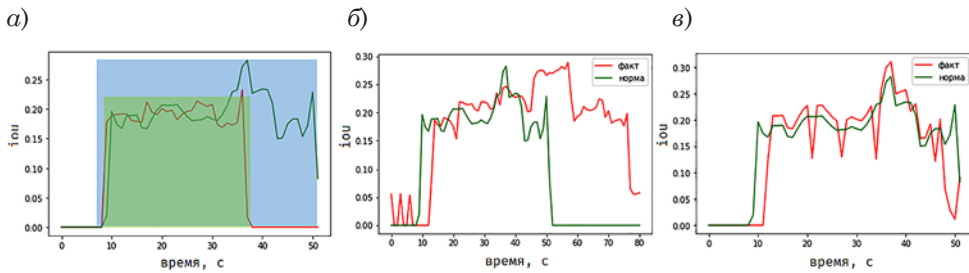


Рис. 4. Сравнение показателей оценки степени соответствия выполненной операции (нахождение в зоне капота) нормативам

а – сравнение операции с нормативным временем с операцией, выполненной за меньшее время (коэффициент корреляции графиков – 0,42, значение метрики «пересечение через объединение» – 0,64); б – сравнение операции с нормативным временем с операцией, выполненной за большее время (коэффициент корреляции графиков – 0,29, значение метрики «пересечение через объединение» – 0,57); в – сравнение операции с нормативным временем с операцией с другой операцией без нарушений (коэффициент корреляции графиков – 0,8, значение метрики «пересечение через объединение» – 0,87)

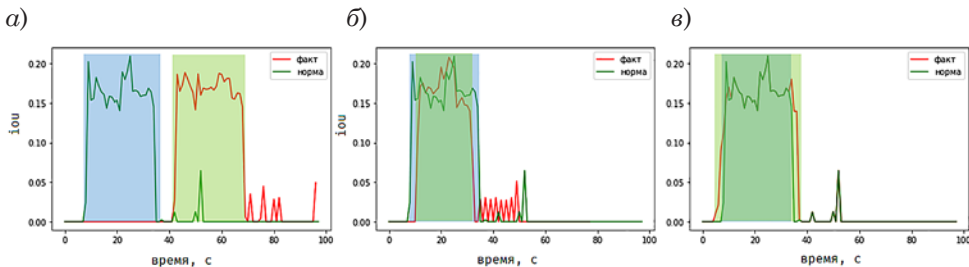


Рис. 5. Сравнение показателей оценки степени соответствия выполненной операции правильной технологической последовательности

а – последовательность действий нарушена (коэффициент корреляции графиков – 0,36, значение метрики «пересечение через объединение» – 0); б – последовательность действий не нарушена, но нарушено время нахождения оператора в каждой зоне (коэффициент корреляции графиков – 0,86, значение метрики «пересечение через объединение» – 0,8); в – последовательность действий и время нахождения в каждой зоне соответствует нормативам (коэффициент корреляции графиков – 0,98, значение метрики «пересечение через объединение» – 0,93)

Прямоугольники, описывающие кривые детектирования объектов (рис. 5, а – первый синий прямоугольник с 8 по 38 секунду, второй зеленый – с 40 по 70 секунду), не имеют пересечения; непересекающиеся области имеются на прямоугольниках, описывающих фактический и нормативный техпроцесс, на рис. 5, б; практически полностью прямоугольники перекрывают друг друга – на рис. 5, в.

Конкретный показатель оценки степени соответствия технологического процесса нормативам и пороговое значение этого показателя находится экспериментальным путем. Например, для эксперимента 1 пороговое значение коэффициента корреляции можно принять равным 0,7, а значение показателя «пересечение через объединение» – 0,75. Для эксперимента 2 для оценки правильности выполнения последовательности операций пороговые значения показателей можно принять равными 0,9 и 0,85 соответственно. При получении фактического значения показателя оценки технологического процесса выше установленного для него

порогового значения принимается решение о соответствии технологического процесса нормативам.

На основе полученных результатов разработана методика мониторинга производственного процесса на автосервисе (рис. 6).

Первый этап соответствует обработке видеопотока с использованием предобученной на распознавание автомобилей и людей сверточной нейронной сети. Для каждого кадра нейронная сеть определяет наличие искомых объектов, после чего находит соответствие ограничительной рамки этих объектов одной или несколькими размеченным зонам, составляющим этапы технологического процесса. По результатам работы первого этапа для всего срока наблюдения формируется массив данных об изменении метрики iou , определяющей факт и продолжительность нахождения объектов в размеченных зонах. Второй этап методики направлен на сравнение показателей фактического выполнения технологического процесса по обслуживанию или ремонту автомобиля с нормативным. По результатам второго этапа

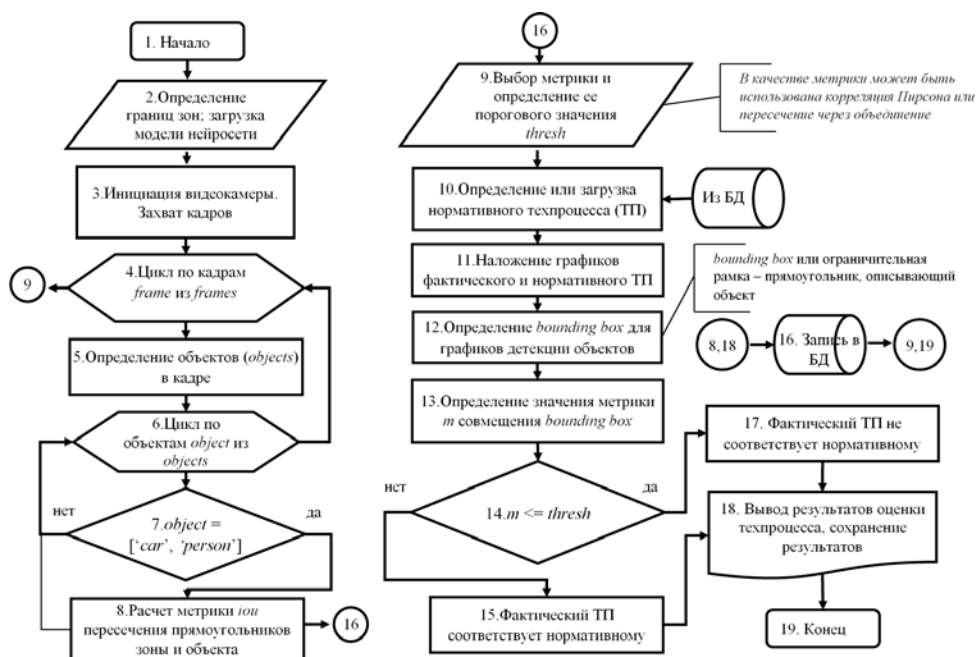


Рис. 6. Алгоритм методики мониторинга производственной зоны автосервиса

делается вывод о правильности выполнения технологического процесса, после чего результаты поступают оператору.

Для применения этой методики на конкретном предприятии нужно разработать нормативы всех технологических операций, определить временные привязки последовательности выполнения каждой из них и оценить диапазон варьирования каждой операции по времени. Также требуется определение места установки видеокамеры и координат нахождения зон, характеризующих точки выполнения совокупности технологических операций для данного этапа технологического процесса. Усовершенствовать методику можно первичной классификацией текущего производственного процесса по ряду параметров, после чего программа оценивает не жесткую привязку действий и движений к конкретным временным промежуткам,

а, например, эффективность выполнения группы операций или техпроцесс в целом. Методика позволит повысить эффективность выполнения производственного процесса на автосервисном предприятии.

Таким образом, в рамках настоящего исследования обосновано применение ИНС для объективного контроля показателей работы производственной зоны управления предприятием автомобильного сервиса, предложены показатели оценки степени соответствия фактического технологического процесса нормативному, разработан алгоритм методики мониторинга производственной зоны автосервиса, который может послужить основой для разработки программного обеспечения по повышению уровня автоматизации управления предприятием автомобильного сервиса. ■

Литература

1. Кушнир Г. Ю., Минченко С. Н. Совершенствование методов контроля качества технического обслуживания и ремонта на предприятиях, обслуживающих транспортные средства различных марок // *Международный научный журнал*. – 2017. – № 3. – С. 70–73.
2. Мальцев Д. В., Репецкий Д. С. Контроль производственного персонала при выполнении работ технического обслуживания автомобилей // *Мир транспорта*. – 2020. – № 6 (91). Т. 18. – С. 238–247. ISSN 1992-3252.
3. Косилов Р. А., Анопоченко Н. В., Терешин Н. В., Богачев А. П. Видеоконтроль железнодорожного переезда из кабины локомотива // *Железнодорожный транспорт*. – 2007. – № 7. – С. 57–58. ISSN 0044-4448.
4. Кузьменко О. Г., Линьков В. В. Решение задачи оценки состояния объектов средствами видеоконтроля и регистрации // *Известия Орловского государственного технического университета. Сер. : Информационные системы и технологии*. – 2006. – № 1-1. – С. 117–119.
5. Кутурга В. В. Интеллектуальная система видеонаблюдения // *Вестник молодёжной науки России*. – 2019. – № 1. – С. 12–19. ISSN 2541-8254.
6. Amato A., Di Lecce V., Piuri V. Neural network based video surveillance system // *CIHSPS2005. Proceedings of the 2005 IEEE International Conference on Computational Intelligence for Homeland Security and Personal Safety*. – 2005. – P. 85–89.
7. Babiker M. et al. Automated daily human activity recognition for video surveillance using neural network // *2017 IEEE4th international conference on smart instrumentation, measurement and application (ICSIMA)*. – 2017. – P. 1–5.
8. Bohush R., Zakharava I. Person tracking algorithm based on convolutional neural network for indoor video surveillance // *Computer Optics*. – 2020. – Vol. 44. № 1. – P. 109–116. ISSN 2412-6179.
9. Игнатьев С. А. Мониторинг технологического процесса как элемент системы управления качеством продукции // *Монография*. – Саратов : Саратовский гос. технический ун-т. – 2009. – 160 с.
10. Patalas-Maliszewska J., Halikowski D., Damaševičius R. An automated recognition of work activity in industrial manufacturing using convolutional neural networks // *Electronics*. – 2021. – Vol. 10. № 23. – P. 2946. ISSN 2079-9292.

11. Butt U. M. et al. Detecting video surveillance using VGG19 convolutional neural networks // International Journal of Advanced Computer Science and Applications. – 2020. – Vol. 11. № 2. ISSN 2156-5570.
12. Jiang P. et al. A Review of Yolo algorithm developments // Procedia Computer Science. – 2022. – Vol. 199. – P. 1066–1073.
13. Amato A., Di Lecce V., Piuri V. Neural network based video surveillance system // CIHSPS2005. Proceedings of the 2005 IEEE International Conference on Computational Intelligence for Homeland Security and Personal Safety. – 2005. – P. 85–89.
14. Tseng T. Y., Luo Q. Company employee quality evaluation model based on BP neural network // Journal of Intelligent & Fuzzy Systems. – 2021. – Vol. 40. № 4. – P. 5883–5892. ISSN 1064-1246.
15. Trivedi S., Patel N. Virtual Employee Monitoring: A Review on Tools, Opportunities, Challenges, and Decision Factors // Empirical Quests for Management Essences. – 2021. – Vol. 1. № 1. – P. 86–99.

Referens

1. Kushnir G. Y., Minchenko S. N. Improvement of methods of quality control of maintenance and repair at enterprises servicing vehicles of different brands // International Scientific Journal. [Sovershenstvovanie metodov kontrolya kachestva tekhnicheskogo obsluzhivaniya i remonta na predpriyatiyah, obsluzhivayushchih transportnye sredstva razlichnyh marok // Mezhdunarodnyj nauchnyj zhurnal] – 2017. – № 3. – Pp. 70–73.
2. Malcev D. V., Repeckij D. S. Control of production personnel when performing car maintenance work // The World of Transport. [Kontrol proizvodstvennogo personala pri vypolnenii rabot tekhnicheskogo obsluzhivaniya avtomobilej // Mir Transporta] – 2020. – № 6 (91). Vol. 18. – Pp. 238–247. ISSN 1992-3252.
3. Kosilov R. A., Anopchenko N. V., Tereshin N. V., Bogachev A. P. Video monitoring of a railway crossing from the cab of a locomotive // Railway Transport. [Videokontrol zheleznodorozhnogo pereezda iz kabiny lokomotiva // Zheleznodorozhnyj Transport] – 2007. – № 7. – Pp. 57–58. ISSN 0044-4448.
4. Kuzmenko O. G., Linkov V. V. Solving the problem of assessing the condition of objects by means of video monitoring and registration // Izvestiya Orel State Technical University. Series: Information Systems and Technologies. [Reshenie zadachi ocenki sostoyaniya ob"ektov sredstvami videokontrolya i registracii // Izvestiya Orlovskogo Gosudarstvennogo Tekhnicheskogo Universiteta. Seriya: Informacionnye sistemy i tekhnologii] – 2006. – № 1-1. – Pp. 117–119.
5. Kuturga V. V. Intelligent video surveillance system // Bulletin of Youth Science of Russia. [Intellektual'naya sistema videonablyudeniya // Vestnik Molodyozhnoj Nauki Rossii] – 2019. – № 1. – Pp. 12–19. ISSN 2541-8254.
6. Amato A., Di Lecce V., Piuri V. Neural network based video surveillance system // CIHSPS2005. Proceedings of the 2005 IEEE International Conference on Computational Intelligence for Homeland Security and Personal Safety. – 2005. – P. 85–89.
7. Babiker M. et al. Automated daily human activity recognition for video surveillance using neural network // 2017 IEEE4th international conference on smart instrumentation, measurement and application (ICSIMA). – 2017. – P. 1–5.
8. Bohush R., Zakharava I. Person tracking algorithm based on convolutional neural network for indoor video surveillance // Computer Optics. – 2020. – Vol. 44. № 1. – P. 109–116. ISSN 2412-6179.
9. Ignatev S. A. Monitoring of the technological process as an element of the product quality management system // Monograph. – Saratov : Saratov State Technical University. [Monitoring tekhnologicheskogo processa kak ele-ment sistemy upravleniya kachestvom produkcii // Monografiya. Izdatel'stvo: Saratovskij gos. tekhnicheskij un-t.] – 2009. – 160 p.
10. Patalas-Maliszewska J., Halikowski D., Damaševičius R. An automated recognition of work activity in industrial manufacturing using convolutional neural networks // Electronics. – 2021. – Vol. 10. № 23. – P. 2946. ISSN 2079-9292.
11. Butt U. M. et al. Detecting video surveillance using VGG19 convolutional neural networks // International Journal of Advanced Computer Science and Applications. – 2020. – Vol. 11. № 2. ISSN 2156-5570.

12. Jiang P. et al. A Review of Yolo algorithm developments // Procedia Computer Science. – 2022. – Vol. 199. – P. 1066–1073.
13. Amato A., Di Lecce V., Piuri V. Neural network based video surveillance system // CIHSPS2005. Proceedings of the 2005 IEEE International Conference on Computational Intelligence for Homeland Security and Personal Safety. – 2005. – P. 85–89.
14. Tseng T. Y., Luo Q. Company employee quality evaluation model based on BP neural network // Journal of Intelligent & Fuzzy Systems. – 2021. – Vol. 40. № 4. – P. 5883–5892. ISSN 1064-1246.
15. Trivedi S., Patel N. Virtual Employee Monitoring: A Review on Tools, Opportunities, Challenges, and Decision Factors // Empirical Quests for Management Essences. – 2021. – Vol. 1. № 1. – P. 86–99.

Статья сдана в редакцию 28 августа 2023 года

Управление в технических системах

УДК 656.22

Е. С. Максимова, Р. А. Ефимов, Н. А. Панюкова

Организация движения снегоуборочной техники на проектируемой железнодорожной линии «Северный широтный ход»

UDC656.22

E. S. Maksimova, R. A. Efimov, N. A. Panyukova

Organization of movement for snow removal equipment on the projected railway line «Northern latitudinal railway»

Аннотация

При разработке стратегических проектов по развитию железнодорожной сети на Крайнем Севере и в Арктике особое внимание следует уделить совершенствованию технологии работы снегоуборочной техники в районах повышенной снегозаносимости с учетом местных условий, путевого развития станций и технического оснащения участка.

Планируемые размеры движения на проектируемой линии Северного широтного хода (СПШХ) с учетом строительства однопутного участка близки к значениям наличной пропускной способности. В этих условиях в регионах, характеризующихся высокими значениями суточной нормы выпадения осадков в зимний период, особенно актуальной становится задача выбора рациональной

схемы организации движения снегоуборочной техники при разработке графика движения поездов. В статье проведен обзор факторов и условий работы на снегозаносимых участках. Рассмотрены различные варианты организации работы снегоуборочной техники и обоснован выбор рационального варианта по критерию минимизации времени на восстановление графика движения поездов

Статья рекомендована к публикации Д. С. Завалишным, канд. физ.-мат. наук, доцентом; Уральский государственный университет путей сообщения. E-mail: Zavalishin@usurt.ru.

Евгения Сергеевна Максимова, канд. техн. наук, доцент кафедры «Управление эксплуатационной работой и безопасностью на транспорте» ФГАОУ ВО РУТ (МИИТ); Москва, Россия. E-mail: eskolesnikova@mail.ru. ORCID0000-0001-6790-3173.

Роман Александрович Ефимов, канд. техн. наук, доцент кафедры «Управление эксплуатационной работой и безопасностью на транспорте» ФГАОУ ВО РУТ (МИИТ); Москва, Россия. E-mail: efimov.ra@edu.rut-miit.ru. ORCID0000-0003-4939-1105.

Наталья Андреевна Панюкова, аспирант кафедры «Управление эксплуатационной работой и безопасностью на транспорте» ФГАОУ ВО РУТ (МИИТ); Москва, Россия. E-mail: tashapanika@yandex.ru. ORCID0000-0002-1201-9169.

© Е. С. Максимова, Р. А. Ефимов, Н. А. Панюкова, 2023

The article has been recommended for publication by D. S. Zavalishin, Ph.D in Physics and Mathematics Sciences, Associate Professor; Ural State University of Railway Transport. E-mail: Zavalishin@usurt.ru.

Evgenia Sergeevna Maksimova, Candidate of Technical Sciences, Associate Professor; Department «Management of operational work and safety in transport» FSEI HE «Russian University of Transport» (RUT-MIIT), Moscow Russia. E-mail: eskolesnikova@mail.ru. ORCID0000-0001-6790-3173.

Roman Aleksandrovich Efimov, Ph.D. in Technical Sciences, Associate Professor; Department «Management of operational work and safety in transport» FSEI HE «Russian University of Transport» (RUT-MIIT), Moscow Russia. E-mail: efimov.ra@edu.rut-miit.ru. ORCID0000-0003-4939-1105.

Natal'ya Andreevna Panyukova, post-graduate student, Department «Management of operational work and safety in transport» FSEI HE «Russian University of Transport» (RUT-MIIT), Moscow Russia. E-mail: tashapanika@yandex.ru. ORCID0000-0002-1201-9169.

© E. S. Maksimova, R. A. Efimov, N. A. Panyukova, 2023

и снижения простоев поездов в период обильных снегопадов.

Ключевые слова: железнодорожный транспорт, Крайний Север, организация движения, Северный широтный ход, снегоуборочная техника.

DOI: 10.20291/2079-0392-2023-4-52-61

Abstract

When developing strategic projects for the development of the railway network in the Far North and the Arctic, special attention should be paid to improving the technology of snow removal equipment in

areas of high snowfall. The authors take into account local conditions, track development of stations and technical equipment of the site.

The planned volumes of traffic on the projected line of the Northern Latitudinal Railway (NLR) are close to the values of the available capacity. Under these conditions, in regions characterized by high values of daily precipitation in winter, the task of choosing a rational scheme for organizing the movement of snow removal equipment when developing a train schedule becomes especially urgent. The article

has reviewed the factors and working conditions in snow-covered areas. Various options for organizing the operation of snow removal equipment have been considered and the choice of a rational option is justified. This choice is based on the criterion of minimizing the time to restore train schedules and reducing train downtime during heavy snowfalls.

Key words: railway transport, Far North, traffic organization, Northern Latitudinal Railway, snow removal equipment.

DOI: 10.20291/2079-0392-2023-4-52-61

Перспективные направления развития транспортной сети в районах Крайнего Севера и Арктической зоны, в том числе строительство Северного широтного хода, отражены в [1].

Протяженность СШХ по проекту – более 700 км, он будет связывать Северную и Свердловскую железные дороги по маршруту Обская – Коротчаево, предполагается вывоз более 23 млн тонн груза в год (в основном газовый конденсат и нефтеналивные грузы). Запуск движения по СШХ запланирован на 2027 г. [2].

Главная задача эксплуатации рельсового транспорта в условиях Крайнего Севера для составления графика и улучшения организации движения поездов в зимний период – разработка плана работы снегоуборочной и снегоочистительной техники [3]. Это влияет на функционирование устройств подвагонного оборудования, предотвращения обледенения ходовой части вагонов, что очень важно для безопасности движения поездов.

Согласованный режим работы всех подразделений, безопасность движения, ускоренное продвижение грузов и пассажиров по железнодорожной линии с использованием передовых технических средств и технологий обеспечивается

системными операциями при организации движения поездов.

В настоящем исследовании мы опирались на работы [4–6]. Качество верхнего строения пути (ВСП) и рациональная система организации движения на основе графика движения поездов (ГДП) служат определяющими факторами для осуществления пропуска заданных размеров грузо- и вагонопотоков.

Сильный износ инфраструктуры и технических средств приводят к отказам в работе, также на бесперебойность работы линии влияют стихийно-природные явления (обвалы, размывы, снежные заносы и др.). Способы организации движения в таких условиях принимаются на месте событий [6].

Зимой режим работы на железнодорожном транспорте кардинально меняется и усложняется из-за климатических условий [7].

На Крайнем Севере, где распространены низкие насыпи и редколесье, проблема снеготаносимости стоит особенно остро. Строительство и эксплуатация железнодорожной магистрали здесь требуют инновационного подхода к организации перевозочного процесса [8–10].

Из-за неравномерности объема выпадаемого снега на различных территориях требуется обратить особое внимание на безопасность движения поездов

при организации работы снегоуборочной техники и ввести поправочные коэффициенты для районов со сложной снежной обстановкой [11].

Организация и технология работ по очистке пути на перегонах и станциях приведена в [12]. Графики работы снегоуборочной техники должны быть увязаны с графиком движения поездов и предусматривать в оперативных планах снегоборьбы перегонное время хода снегоочистителя, время выдачи локомотивов под снегоочиститель или снегоуборочный поезд, последовательность работы на станции и продолжительность нахождения на каждой из них, место и порядок смены локомотивных бригад, бригад снегоуборочной техники, место и продолжительность времени экипировки локомотивов и снегоуборочной техники.

Для очистки перегонов и разъездов железнодорожной линии Обская – Салехард – Татаринцево – Надым следует использовать плужные снегоочистители типа СДП-М и струг-снегоочиститель ССГ-1 с локомотивом между ними (челночный способ очистки) [12].

При разработке технологии очистки отдельных пунктов на участке принят разъезд с двумя приемоотправочными путями поперечного типа (рис. 1).

В рамках исследования определено время на очистку отдельного пункта:

$$T_{\text{р.п.}} = \frac{L_{\text{СДП-М}}}{V_{\text{р.СДП-М}}} + \frac{L_{\text{ССГ-1}}}{V_{\text{р.ССГ-1}}}, \quad (1)$$

где $L_{\text{СДП-М}}$ – длина путей отдельного пункта, очищаемые СДП-М, км; $V_{\text{р.СДП-М}}$ – средняя рабочая скорость движения СДП-М, км/ч (средняя скорость 25 км/ч); $L_{\text{ССГ-1}}$ – длина путей, очищаемые ССГ-1, км; $V_{\text{р.ССГ-1}}$ – средняя

рабочая скорость движения ССГ-1, км/ч (10 км/ч).

$$T_{\text{р.п.}} = 11,664 + 17,16 = 29 \text{ мин.}$$

В рамках исследования участка железнодорожной линии Надым – Татаринцево рассмотрены три варианта организации работы снегоочистителей.

Вариант 1 представляет собой отправление снегоочистителей противоположных направлений с крайних станций участка (станции постоянной дислокации снегоуборочного поезда) для последовательной очистки главных путей перегона и приемоотправочных путей отдельных пунктов с разделением работы снегоочистителей на разъездах по ходу следования (рис. 2).

Порядок работы снегоуборочной техники 8102 (8102) представлен на рис. 3.

Этап 1: проезд 8102 из точки А в точку Б.

Этап 2: раскрытие крыла струга. Движение 8102 из точки Б в точку А с очисткой снега между путями 1 и 2. Приведение крыла струга в транспортное положение.

Этап 3: движение 8102 из точки А по пути 2 и очистка его с помощью СДП-М методом перевалки снега под откос. Далее проследование с очисткой главного пути к следующему отдельному пункту.

Порядок работы снегоуборочной техники 8101 (8101) представлен на рис. 4.

Этап 1: проезд 8101 из точки Б по пути 1 (главному) с перевалкой снега снегоочистителем СДП-М.

Этап 2: раскрытие крыла струга. Движение 8101 из точки А в точку Б с очисткой снега между путями 1 и 3. Приведение крыла струга в транспортное положение.

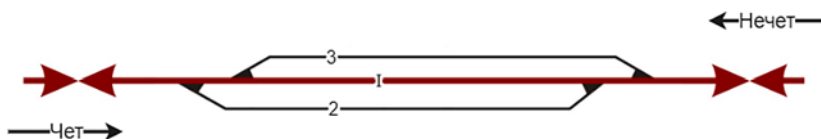


Рис. 1. Условная схема разъезда

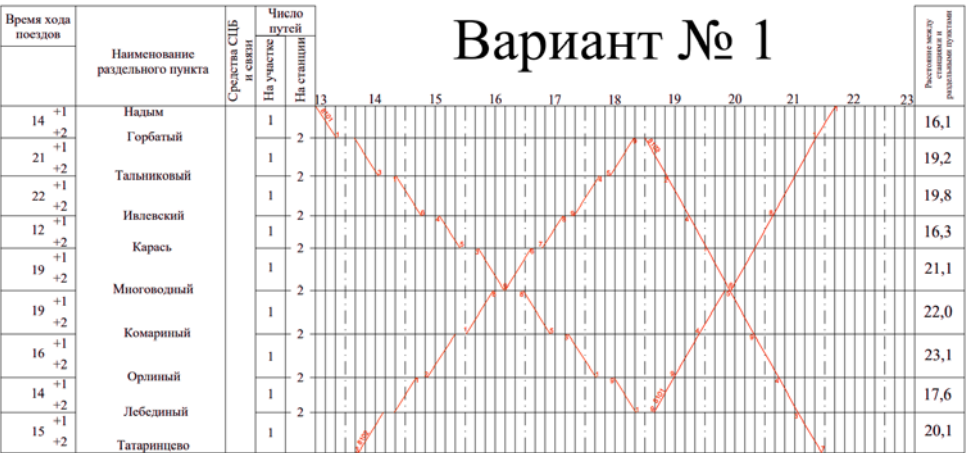


Рис. 2. График движения снегоборочной техники по варианту 1

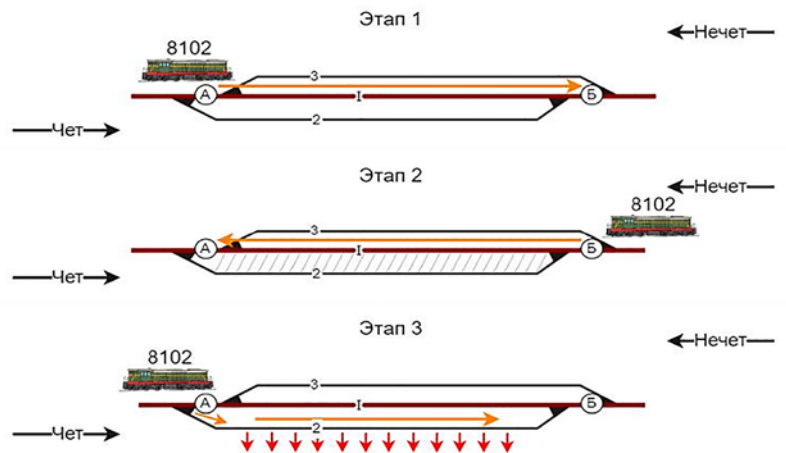


Рис. 3. Порядок работы снегоборочной техники 8102

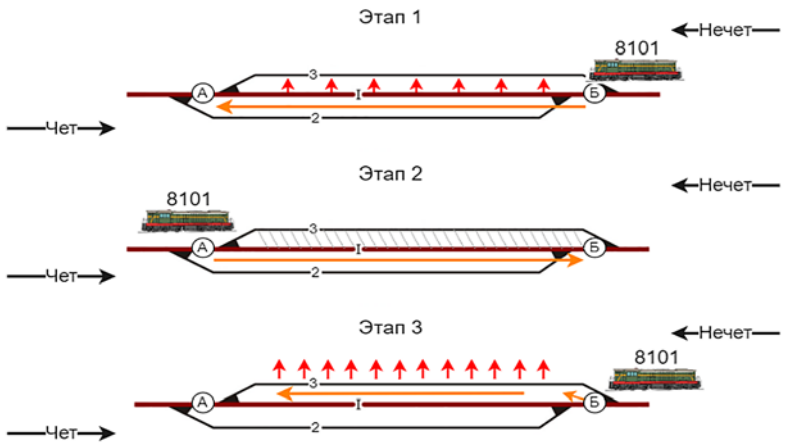


Рис. 4. Порядок работы снегоборочной техники 8101

Этап 3: движение 8101 из точки Б по пути 3 и очистка его с помощью СДП-М методом перевалки снега под откос. Далее проследование с очисткой главного пути к следующему раздельному пункту.

При таком варианте организации работы скрещение снегоочистителей и их длительное нахождение на перегоне могут сильно задержать следующие за ними поезда, особенно в условиях однопутного участка, оборудованного полуавтоматической блокировкой.

Вариант 2 предполагает следование снегоочистителей и расчистку раздельных пунктов «через один» (рис. 5). Если на рассматриваемом участке взять одну станцию за базовую и последовательно пронумеровать промежуточные станции и разъезды от нее до второй станции, ограничивающей участок, то задача первого снегоочистителя – расчистка нечетных станций, второго – четных. При этом допускается их скрещение на раздельном пункте, когда один из них будет очищать приемоотправочные пути, а второй проследует по главному пути.

Технология очистки разъезда снегоуборочной техникой, следующей в четном направлении (№ поезда на графике – 8102).

Для очистки раздельного пункта (рис. 6) необходимо обеспечить пере-

броску снега снегоочистителем СДП-М за один заезд с приемоотправочного пути 3 на путь I (главный). После очистки, когда снегоочиститель следует в обратном направлении (челноком) по пути 3, выдвигается крыло струга-снегоочистителя ССГ-1 со стороны междупутья для переброски оставшегося снега на путь I (главный). После очистки приемоотправочного пути 3 производятся те же действия на пути I (главном) и в междупутье. Очистка приемоотправочного пути 2 производится только с применением снегоочистителя СДП-М с выбросом снега под откос косогора.

Технология очистки разъезда снегоуборочной техникой, следующей в нечетном направлении (№ поезда на графике – 8101)

Необходимо обеспечить переброску снега снегоочистителем СДП-М за один заезд с приемоотправочного пути 2 на путь I (главный). При движении в обратном направлении (челноком) по пути 2 струг-снегоочиститель ССГ-1 выдвигает крыло со стороны междупутья для переброски оставшегося снега на путь I (главный). После очистки приемоотправочного пути 2 производятся те же действия на пути I (главном) и в междупутье. Очистка приемоотправочного

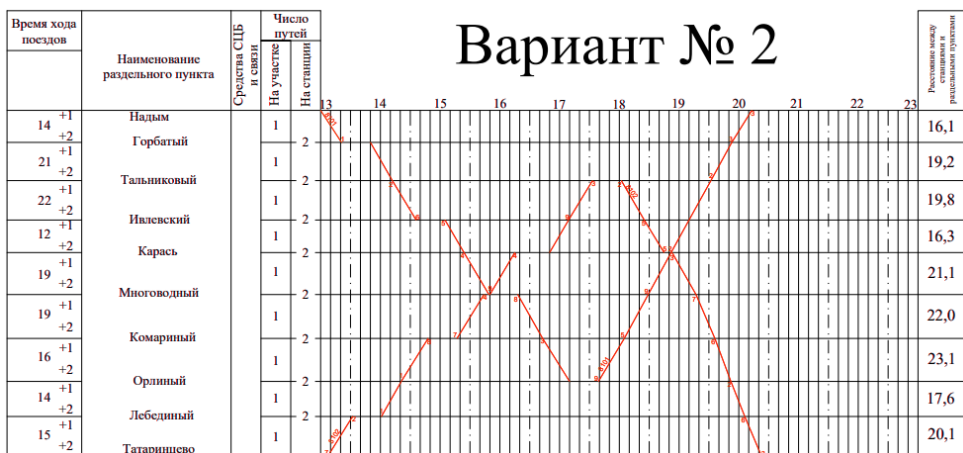


Рис. 5. График движения снегоуборочной техники по варианту 2

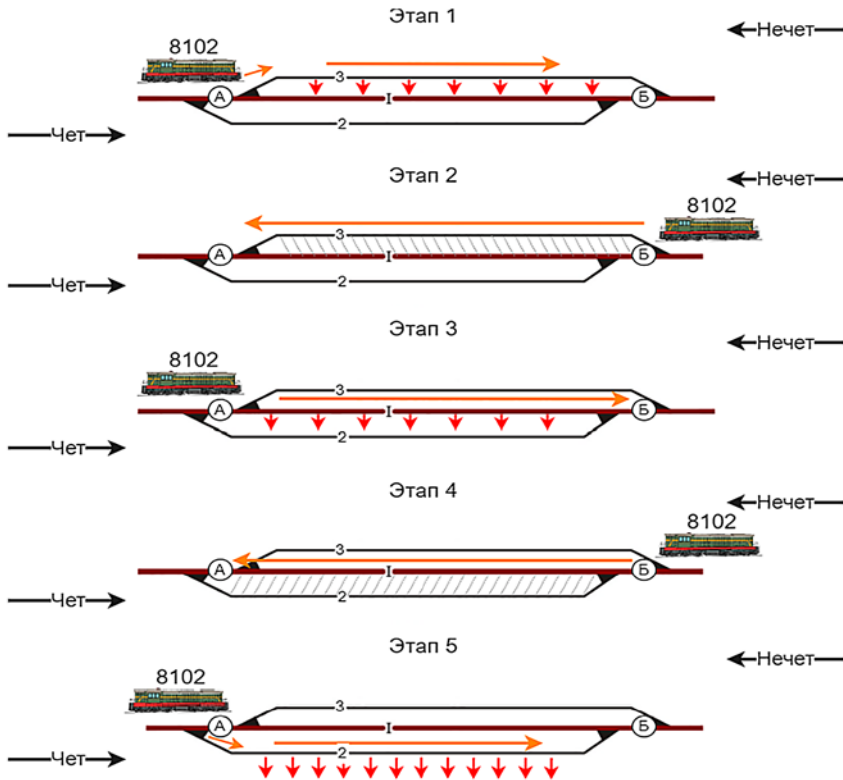


Рис. 6. Порядок работы снегоуборочной техники 8102

пути 3 производится только с применением снегоочистителя СДП-М с выбросом снега под откос косогора (рис. 7).

По этому варианту время работы на участке снегоочистителей хоть и меньше, чем по первому варианту, однако все равно достаточно продолжительное, что вызывает значительные затруднения при организации пропуска поездов при существующих размерах.

Вариант 3 подразумевает последовательную очистку главных путей перегонов и раздельных пунктов на выделенном участке работ по направлению следования до «общего» раздельного пункта для двух снегоочистителей, следующих с противоположных направлений (рис. 8). Первый снегоуборочный поезд по прибытии очищает главный путь и следует на базовую станцию, откуда отправлялся с очисткой главного пути перегонов по направлению возвращения. Второй снегоуборочный

поезд расчищает все пути «общего» раздельного пункта (см. рис. 4 или 5). После очистки возвращается на свою станцию постоянной дислокации с очисткой главного пути перегонов по участку.

При этом варианте суммарное время нахождения снегоочистителей на участке минимальное, а на раздельном пункте они не пересекаются. Результаты сравнения рассмотренных вариантов представлены на рис. 9.

Наименьшее время работы на участке по расчистке главных путей и разъездов при работе условных снегоуборочных поездов 8101 и 8102 – в варианте 3. Время работы 8101 снизилось на 40 % относительно варианта 1 и на 28 % относительно варианта 2, общее время работы 8102 уменьшилось на 33 % по отношению к вариантам 1 и 2.

Для оперативной уборки снега для движения на перегоне с минимальным временем технологических окон

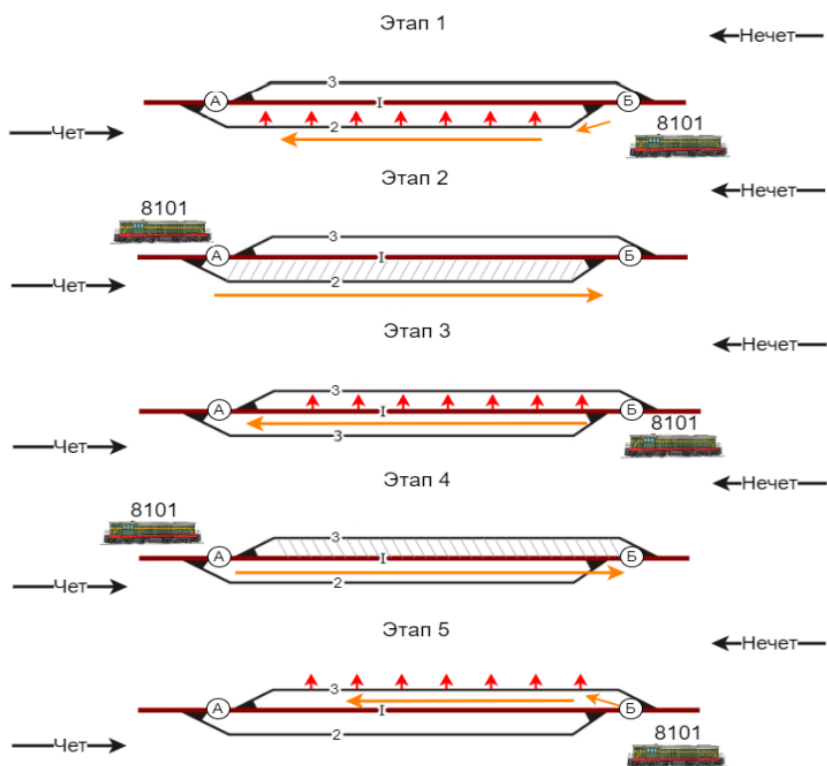


Рис. 7. Порядок работы снегоуборочной техники 8101

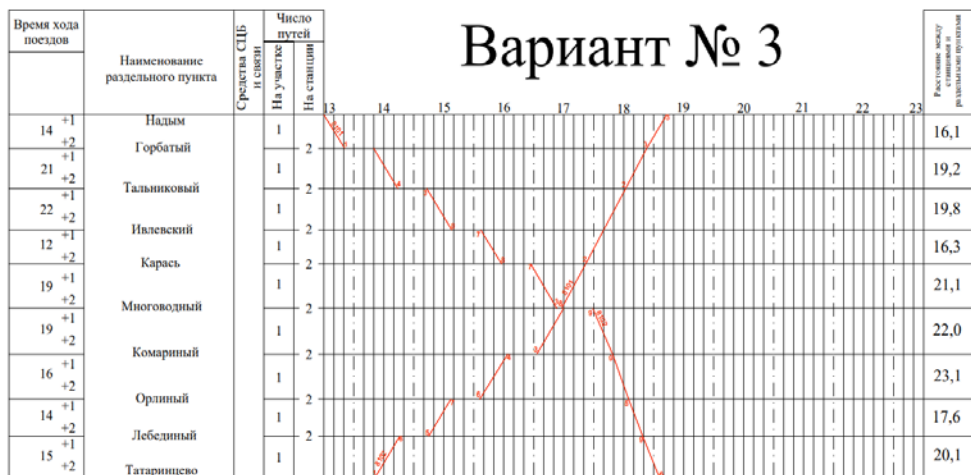


Рис. 8. График движения снегоуборочной техники по варианту 3

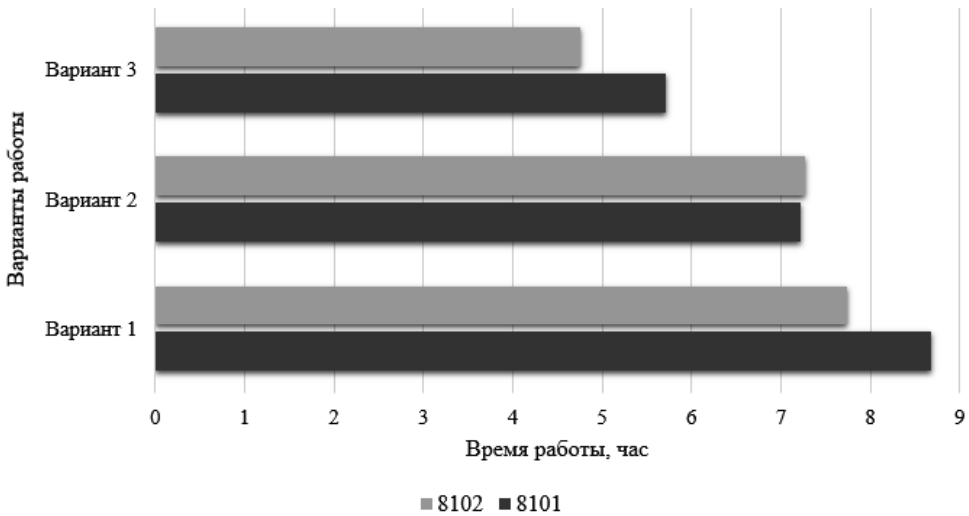


Рис. 9. График зависимости времени работы от варианта работы на перегонах и отдельных пунктах

и обеспечения максимальной пропускной способности участка, вариант 3 организации работы снегоочистителей принят как рациональный для дальнейшего построения графика движения поездов для перспективного железнодорожного участка СШХ.

Заключение

Итак, разработаны и описаны технологические решения по вариантам

очистки отдельных пунктов на однопутном участке, определено время на очистку путей отдельных пунктов и перегонов с учетом использования снегоочистителей СДП-М. Выбран рациональный вариант работы снегоуборочной техники с учетом минимизации времени работ по расчистке участка в случае высокой снегазапасности. ■

Литература

1. Транспортная стратегия Российской Федерации до 2030 года с прогнозом на период до 2035 года: распоряжение Правительства РФ от 27.11.2021 г. № 3363-р. URL: <https://mintrans.gov.ru/ministry/targets/187/191/documents> (дата обращения: 30.04.2023)
2. Пак М. В. Северный широтный ход как основа транспортной обеспеченности России // Вестник Алтайской академии экономики и права. — 2019. — № 4-2. — С. 269–273. ISSN 1818-4057.
3. А. Д. Абрамов, М. А. Семенов. Повышение эффективности рабочего процесса уборки снега от внедрения мероприятий по оптимизации структуры затрат // Вестник УрГУПС, 2022. № 2 (54) — С. 117–127. ISSN 2079-0392.
4. Коврига И. Н. Особенности формирования графика движения поездов в современных условиях / И. Н. Коврига, И. В. Симачкова // История и перспективы развития транспорта на севере России. — 2014. — № 1. — С. 39–42.
5. Воробьев Э. В. Технология, механизация и автоматизация путевых работ / Э. В. Воробьев, К. Н. Дьяков, В. Г. Максимов / М. : Транспорт, 1996. — 375 с.
6. Толмачев В. Н. Оперативное управление пропуском поездов на двухпутных участках в периоды проведения ремонтно-путевых работ : дис.... канд. тех. наук: 05.22.08 / Толмачев Вадим Николаевич. — РГОТУПС, 2004. — 215 с.
7. Панюкова Н. А. Система организации безопасности железнодорожных перевозок в условиях снежных заносов в Арктических и северных регионах России / Н. А. Панюкова, И. А. Ступенькова, Р. А. Ефимов / Труды Международн. научн.-практ. конф., посв.

- 125-летию университета, Москва, 22.10.2021. – М. : Российский университет транспорта, 2021. – С. 408–417.
8. Киселева О. Г. Технология пропуска поездов при перерывах в движении на однопутных железнодорожных участках / О. Г. Киселева, Э. Н. Абдрахманова, М. М. Омарбай // Вестник КазАТК. – 2017. – № 2 (101). – С. 103–107. ISSN 1609-1817.
9. Федоров Ю. Н. Создание железнодорожного Северного широтного хода / Ю. Н. Федоров, М. Б. Фейло, А. Ю. Чурилин, И. А. Поречина // Транспорт Российской Федерации. – 2017. – № 4 (71). – С. 40–44. ISSN 1994-831X.
10. Голубев О. В., Семенов И. С. Особенности устройства железнодорожной станции на Крайнем Севере с применением малолюдных технологий // Инновационный транспорт. – 2020. – № 2. – С. 10–17. ISSN 2311-164X.
11. СП 131.13330.2020 СНиП 23-01-99. Строительная климатология. URL: <https://docs.cntd.ru/document/573659358?section=text> (дата обращения: 30.04.2023).
12. Распоряжение ОАО «РЖД» № 2243р от 22.10.2013 «Об утверждении инструкции по подготовке к работе в зимний период и организации снегоборьбы на железных дорогах, в других филиалах и структурных подразделениях ОАО «РЖД», а также его дочерних и зависимых обществах». URL: <https://www.tdesant.ru/info/item/108> (дата обращения: 30.04.2023).

References

1. Transport strategy of the Russian Federation until 2030 with a forecast for the period until 2035: Decree of the Government of the Russian Federation dated November 27, 2021 No. 3363-r [Transportnaya strategiya Rossijskoj Federacii do 2030 goda s prognozom na period do 2035 goda: rasporyazhenie Pravitel'stva RF ot 27.11.2021 g. № 3363-r]. URL: <https://mintrans.gov.ru/ministry/targets/187/191/documents> (accessed: 30.04.2023).
2. Pak M. V. Northern latitudinal railway as the basis of transport security in Russia // Bulletin of the Altai Academy of Economics and Law [Severnyj shirotnyj hod kak osnova transportnoj obespechennosti Rossii // Vestnik Altajskoj akademii ekonomiki i prava]. 2019. № 4-2. Pp. 269–273. ISSN 1818-4057.
3. Abramov A. D., Semenov M. A. Increasing the efficiency of the snow removal workflow from the implementation of measures to optimize the cost structure // Bulletin of the Ural State University of Railway Transport [Povyshenie effektivnosti rabocheho processa uborki snega ot vnedreniya meropriyatij po optimizacii struktury zatrat // Vestnik URGUPS], 2022. № 2(54). Pp. 117–127. ISSN 2079-0392.
4. Kovriga I. N. Features of the formation of train schedules in modern conditions / I. N. Kovriga, I. V. Simachkova // History and prospects for the development of transport in the northern Russia [Osobennosti formirovaniya grafika dvizheniya poezdov v sovremennyh usloviyah / I. N. Kovriga, I. V. Simachkova // Istoriya i perspektivy razvitiya transporta na severe Rossii]. 2014. № 1 Pp. 39–42.
5. Vorobyov E. V. Technology, mechanization and automation of track works / E. V. Vorobyov, K. N. Dyakov, V. G. Maksimov / [Tekhnologiya, mekhanizaciya i avtomatizaciya putevyh rabot] M. : Transport, 1996. 375 p.
6. Tolmachev V. N. Operational control of train passage on double-track sections during periods of track repair work: diss.... PhD. in Technical Sciences: 05.22.08 / Tolmachev Vadim Nikolaevich [Operativnoe upravlenie propuskom poezdov na dvuhputnyh uchastkah v periody provedeniya remontno-putevyh rabot : dis.... kand. tekhn. nauk: 05.22.08 / Tolmachev Vadim Nikolaevich]. RGOTUPS, 2004. 215 p.
7. Panyukova N. A. System for organizing the safety of railway transportation in conditions of snow drifts in the Arctic and northern regions of Russia / N. A. Panyukova, I. A. Stupenkova, R. A. Efimov / Proceedings of the International. scientific and practical conf., dedicated 125th anniversary of the University, Moscow, 22.10. 2021 [Sistema organizacii bezopasnosti zheleznodorozhnyh perevozok v usloviyah snezhnyh zanosov v Arkticheskikh i severnyh regionah Rossii / N. A. Panyukova, I. A. Stupen'kova, R. A. Efimov / Trudy Mezhdunarodn. nauchn.-prakt. konf., posv. 125-letiyu universiteta, Moskva, 22.10.2021]. – М. : Russian University of Transport, 2021. Pp. 408–417.
8. Kiseleva O. G. Technology of passing trains during interruptions in traffic on single-track railway sections / O. G. Kiseleva, A. N. Abdrakhmanova, M. M. Omarbay // Bulletin of Kazakh Academy of Transport and Communications [Tekhnologiya propuska poezdov

- pri pereryvah v dvizhenii na odnopusnykh zheleznodorozhnykh uchastkah / O. G. Kisel'eva, O. N. Abdrahmanova, M. M. Omarbaj // Vestnik KazATK].2017. № 2 (101). Pp. 103–107. ISSN 1609-1817.
9. Fedorov Yu.N. Construction of the Northern Latitudinal Railway / Yu.N. Fedorov, M. B. Feilo, A. Yu. Churilin, I. A. Porechina // Transport of the Russian Federation [Sozdanie zheleznodorozhnogo Severnogo shirotnogo hoda / YU.N. Fedorov, M. B. Fejlo, A.YU. CHurilin, I. A. Porechina // Transport Rossijskoj Federacii].2017. № 4 (71). Pp. 40–44. ISSN 1994-831X.
 10. Golubev O. V., Semenov I. S. Construction features of a railway station in the Far North using low-crowd technologies // Innovative transport [Osobennosti ustrojstva zheleznodorozhnoj stancii na Krajnem Severe s primeneniem malolyudnykh tekhnologij // Innovacionnyj transport]. 2020. № 2. Pp. 10–17. ISSN 2311-164X.
 11. SP 131.13330.2020 SNiP 23-01-99. Construction climatology [SP 131.13330.2020 SNiP 23-01-99. Stroitel'naya klimatologiya]. URL: <https://docs.cntd.ru/document/573659358?section=text> (Accessed: 30.04.2023).
 12. Order of JSC Russian Railways No. 2243r dated October 22, 2013 «On approval of instructions for preparing for work in winter and organizing snow control on railways, in other branches and structural divisions of JSC Russian Railways, as well as its subsidiaries and dependent companies» [Rasporyazhenie OAO «RZHD» № 2243r ot 22.10.2013 «Ob utverzhdenii instrukcii po podgotovke k rabote v zimnij period i organizacii snegobor'by na zhelezných dorogah, v drugih filialah i strukturnyh podrazdeleniyah OAO «RZHD», a takzhe ego dochernih i zavisimyh obshchestvah»].URL: <https://www.tdesant.ru/info/item/108> (Accessed: 30.04.2023).

Статья сдана в редакцию 18 мая 2023 года

УДК 658.51

А. Д. Абрамов, В. И. Кочергин, М. А. Семенов

Повышение эффективности эксплуатации снегоуборочных машин после дооснащения средствами автоматизированного мониторинга

UDC 658.51

A. D. Abramov, V. I. Kochergin, M. A. Semenov

Increasing operational efficiency of snow remover after retrofitting with automated monitoring means

Аннотация

Рассматриваются новые технические решения обеспечения бесперебойной работы снегоуборочных машин при сложных погодных условиях.

Предлагаемые технические решения отличаются тем, что это автоматические средства предупреждения и отключения. Первое средство автоматизированного мониторинга позволяет оперативно оповещать о предельных значениях нагрузки и при необходимости экстренно отключать питание электродвигателя. Это

устройство можно использовать не только на снегоуборочных машинах, но и на других транспортно-технологических машинах всех областей применения транспортной и конвейерной техники, где возможны перегрузки электродвигателей из-за заклинивания ленты транспортеров. Второе устройство повышает безопасность снегоуборочных работ путем автоматического управления крыльями снегоуборочной машины и дублирования непрерывного контроля положения крыльев

снегоуборочной машины. Это техническое решение позволяет обеспечить безопасность снегоуборочных работ, когда частота повреждений элементов путевого оборудования увеличивается во время интенсивных осадков и ухудшения видимости, а снегоуборочные машины работают с открытыми крыльями. Открытые крылья снегоуборочной машины выходят за габариты подвижного состава, из-за чего возможно повреждение мачт светофоров, габаритных планок, устройств управления и сигнализации,

Статья рекомендована к публикации В. М. Сай, д-ром техн. наук, профессором; Уральский государственный университет путей сообщения. E-mail: VSay@usurt.ru.

Андрей Дмитриевич Абрамов, д-р техн. наук, профессор кафедры «Технология транспортного машиностроения и эксплуатация машин» Сибирского государственного университета путей сообщения; Новосибирск, Россия. E-mail: abramov@stu.ru. ORCID0000-0003-1561-2475.

Виктор Иванович Кочергин, д-р техн. наук, зав. кафедрой «Технология транспортного машиностроения и эксплуатация машин» Сибирского государственного университета путей сообщения; Новосибирск, Россия. E-mail: vkplus2011@yandex.ru. ORCID0000-0002-4883-1458.

Михаил Андреевич Семенов, канд. техн. наук, старший преподаватель кафедры «Подъемно-транспортные, путевые, строительные и дорожные машины» Сибирского государственного университета путей сообщения; Новосибирск, Россия. E-mail: abramov@stu.ru. ORCID0000-0002-1675-7134.

© А. Д. Абрамов, В. И. Кочергин, М. А. Семенов, 2023

The article has been recommended for publication by V. M. Say, Doctor of Engineering sciences, professor; Ural State University of Railway Transport. E-mail: VSay@usurt.ru.

Andrey Dmitrievich Abramov, Doctor of Engineering sciences, professor, «Technology of transport engineering and machine operation», FSBEI HE «Siberian State Transport University»; Novosibirsk, Russia. E-mail: abramov@stu.ru. ORCID0000-0003-1561-2475.

Victor Ivanovich Kochergin, Doctor of Engineering sciences, the Head of «Technology of transport engineering and machine operation», FSBEI HE «Siberian State Transport University»; Novosibirsk, Russia. E-mail: vkplus2011@yandex.ru. ORCID0000-0002-4883-1458.

Mikhail Andreevich Semenov, Ph.D. in Technical Sciences, senior lector, department «Lifting and transport, track, construction and road machines», FSBEI HE «Siberian State Transport University»; Novosibirsk, Russia. E-mail: abramov@stu.ru. ORCID0000-0002-1675-7134.

© A. D. Abramov, V. I. Kochergin, M. A. Semenov, 2023

расположенных вдоль железнодорожного полотна.

Ключевые слова: снегоуборочные машины, повышение эффективности эксплуатации, устройство, защита от аварий, привод транспортера, изгиб пластин транспортера, крылья снегоуборочной машины, автоматический контроль.

DOI: 10.20291/2079-0392-2023-4-62-70

Abstract

New technical solutions have been considered to ensure uninterrupted operation of snow removal machines in difficult weather conditions.

The proposed technical solutions differ in that they

are automatic means of warning and shutdown. The first automated monitoring tool allows you to promptly notify about load limits and, if necessary, urgently turn off the power to the electric motor. This device can be used both on snow removal machines and on other transport and technological machines, where overloads of electric motors are possible due to jamming of the conveyor belt. The second device improves snowplow safety by automatically controlling the snow remover's wings and duplicating the continuous control of the snow remover's wings. This technical solution makes it possible to ensure the safety of

snow removal operations, when the frequency of damage to elements of track equipment increases during intense precipitation and poor visibility, and snow removal machines operate with open wings. The open wings of a snow remover extend beyond the dimensions of the rolling stock, which can cause damage to traffic light masts, marker bars, control and signaling devices located along the railway track.

Key words: snow remover, increasing operating efficiency, device, accident protection, conveyor drive, bending of conveyor plates, snowplow wings, automatic control.

DOI: 10.20291/2079-0392-2023-4-62-70

Оперативная очистка и уборка путей от снега служит гарантией бесперебойной и безопасной работы железнодорожного транспорта и выполнения срока перевозок. При работе снегоуборочных машин, особенно при обильных осадках, из-за выхода из строя транспортера или повреждения прилегающей инфраструктуры пути происходит частая остановка машин. Из-за изменения характера выпадения осадков (а все чаще и чаще осадки носят циклонический характер), с единовременным выпадением уровня снега от 10 см [1] бригады снегоуборочных машин не успевают своевременно обслуживать технику, а плохая видимость снижает реакцию машиниста при движении. Для устранения влияния погодных условий на работу машин внедряются технические и организационные решения, разработанные на основе автоматизированного мониторинга, повышающие эффективность работы снегоуборочных машин [2, 3]. Одно из таких решений – дооснащение снегоуборочных машин устройством для защиты от аварий привода транспортера и устройством безопасности.

Техническая сторона вопроса заключается в том, что в процессе работы транспортерной техники, в частности, на снегоуборочных машинах возможно заклинивание транспортера, что резко увеличивает нагрузку на электропривод и может привести к обрыву транспортерной ленты. Необходимо оперативное оповещение о предельных значениях нагрузки и при необходимости экстренное отключение питания электродвигателя. Отключение питания электродвигателя предотвращает перегрев обмоток электродвигателей. Для электродвигателей с косвенным охлаждением обмоток максимальное допустимое время работы с перегрузкой в полтора раза составляет 2 мин, с двухкратной перегрузкой – 1 мин.

Применительно к снегоуборочным и иным аналогичным транспортно-технологическим машинам аварийное отключение транспортера требует немедленного прекращения движения машины. Кроме того, при уборке снега с железнодорожных путей снегоуборочными машинами в полувагоны вместе со снежной массой попадает щебень, который при движении транспортера

проваливается в зазоры между пластинами. Попадание щебня в зазоры между пластинами при движении транспортера приводит к их изгибу. Изогнутые пластины, проходя по холостой ветви транспортера, упираются в направляющие ролики транспортера. Из-за возникающего растяжения разрывает цепь, а транспортер падает на раму машины. Эта проблема типична для всех областей применения транспортной и конвейерной техники.

Известно устройство для защиты от аварийной перегрузки электропривода [4]. Существенный недостаток этого устройства – необходимость изменения конструкции электропривода транспортера путем установки, отключаемой при перегрузке электромагнитной муфты скольжения.

Еще одно устройство для защиты от аварий электропривода представляет из себя сложное устройство, состоящее из большого количества датчиков [5].

Близкое по техническому решению к нашему изобретению – устройство для контроля нагрузки и защиты от аварий электродвигателей [6]. Но в этом устройстве нельзя дифференцировать отказы транспортного механизма при перегрузке с продолжением движения транспортной ленты и при полной остановке транспортера.

Блок-схема устройства технического решения устройства для защиты от аварий привода транспортера представлена на рис. 1.

Устройство работает следующим образом. При подаче питания на вход электродвигателя на выходе блока датчиков тока 1 появляется электрический сигнал, поступающий на вход преобразователя сигналов 2. С выхода преобразователя сигналов 2 информация о величине силы тока поступает на вход блока контроля пускового режима 3 и первый вход микроконтроллера 8. Поскольку в пусковом режиме величина силы тока, потребляемого электродвигателем, существенно превышает номинальные значения, через определенное время (примерно через

5 с) блок контроля пускового режима 3 подает управляющий сигнал на второй вход микроконтроллера 8, запуская его в работу. Информация о текущих значениях силы тока с помощью первого таймера 4 непрерывно поступает на первый вход блока записи 6, а с выхода блока записи 6 – на вход модема 7. С блока настройки предельных значений 9 заданная при настройке устройства предельная величина силы тока, информирующая о превышении нагрузки на электродвигатель, поступает на третий вход микроконтроллера 8, который сравнивает ее с текущими значениями силы тока на его первом входе.

Информация о превышении нагрузки поступает на входы блока записи 6 и таймера 5. С выхода блока записи 6 информация о превышении нагрузки с указанием зафиксированного с помощью первого таймера 4 времени наступления события поступает на модем 7.

Если превышение нагрузки является кратковременным и угрозы отказа электродвигателя нет, электропривод продолжает работу в штатном режиме.

Если при этом от датчика скорости 12 на контроллер 8 поступает сигнал о прекращении движения транспортной ленты, что свидетельствует об ее обрыве или блокировании, контроллер 8 передает управляющий сигнал на блок управления электродвигателем 11, который отключает пусковое реле электродвигателя, предотвращает вероятный отказ электропривода и включает электропневматический клапан управления 14, который выпускает сжатый воздух из тормозной системы и приводит в действие тормозную систему машины.

Если же в течение заданного вторым таймером 5 промежутка времени нагрузка на электродвигатель, определяемая заданной блоком настройки предельных значений 9 предельной величиной потребляемой силы тока, продолжает превышать допустимые значения, но транспортер согласно информации от датчика скорости 12 продолжает движение, таймер 5 через заданный

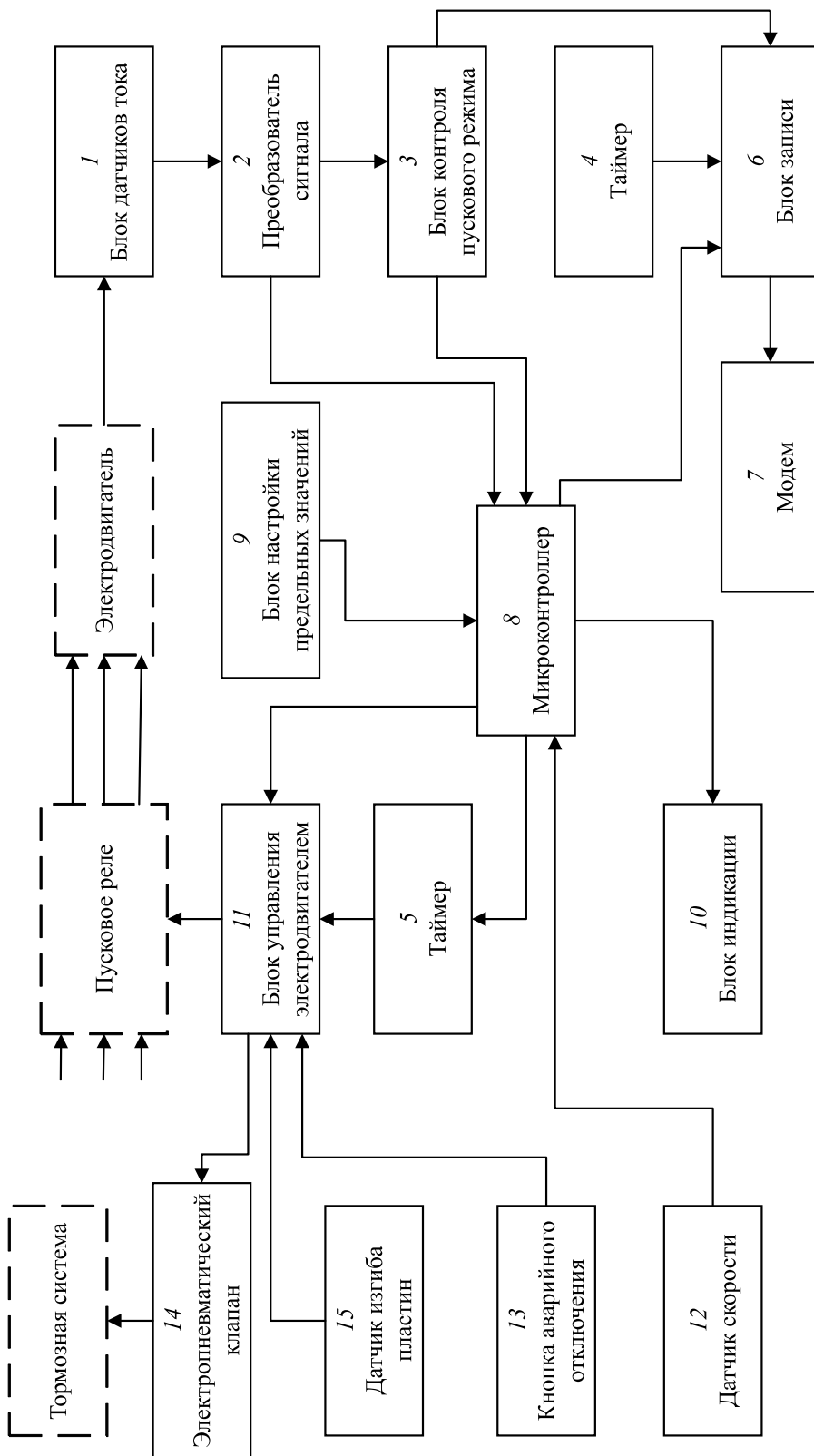


Рис. 1. Устройство для защиты от аварий привода транспортера

промежуток времени передает управляющий сигнал на блок управления электродвигателем 11, который также отключает пусковое реле электродвигателя, предотвращая вероятный отказ электропривода из-за перегрева обмоток, и электропневматическим клапаном 14 прекращает движение машины. Одновременно при превышении допустимых значений нагрузки включается блок световой и звуковой индикации 10, предупреждая оператора машины о предаварийной ситуации. В случае решения об экстренном прекращении работы до принятия автоматикой устройства соответствующего решения машинист может остановить транспортер нажатием на кнопку аварийного отключения 13, в результате на блок управления электродвигателем 11 поступает сигнал об отключении пускового реле электродвигателя привода транспортера и далее на электропневматический клапан 14 о прекращении движения машины.

При изгибе пластин транспортера сигнал с датчика изгиба 15 поступает на блок управления электродвигателем 11 для отключения пускового реле электродвигателя привода транспортера и прекращения движения машины с помощью электропневматического клапана 14.

Аварийное отключение транспортера в данном случае осуществляется следующим образом (рис. 2).

При нормальной работе транспортного механизма установленные по обеим сторонам транспортной ленты на оси 16 Г-образные ограничители 17 находятся в нормально разомкнутом состоянии и удерживаются от самопроизвольного перемещения проволочными стопорными устройствами, закрепленными на раме полувагона снегоуборочной машины. При возникновении нештатной ситуации, то есть при изгибе пластины транспортера она упирается в Г-образный ограничитель 17, в результате происходит обрыв стопорной проволоки и поворот Г-образного ограничителя, который замыкает концевой выключатель 18. Сигнал от концевого выключателя 18, поступивший на блок управления электродвигателем 11, приводит к отключению пускового реле электродвигателя привода транспортера и прекращению движения машины с помощью электропневматического клапана 14.

Устройство для защиты от аварий привода транспортера обеспечивает дифференцированный контроль отказов транспортного механизма, информирует о достижении предельных значений силы тока, характерных для предотказного состояния транспортеров и питателей, оперативно реагирует на изменение токовой нагрузки и тем самым своевременно предотвращает отказы элементов привода специально подвижного состава, предоставляет

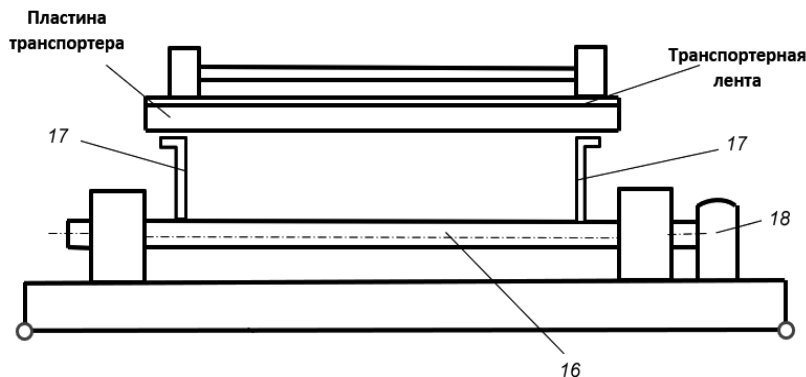


Рис. 2. Устройство датчика изгиба пластин транспортера

возможность реагирования на возникновение изгиба пластин транспортера и автоматическую остановку движения машины при аварийном отключении привода транспортера.

Работа снегоуборочной машины типа СМ может производиться как без открытия крыльев, так и с открытыми крыльями (для увеличения ширины очистки). Открытые крылья снегоуборочной машины выходят за габариты подвижного состава, из-за чего возможно повреждение мачт светофоров, габаритных планок, устройств управления и сигнализации, расположенных вдоль железнодорожного полотна. Частота повреждений элементов путевого оборудования увеличивается во время интенсивных осадков, когда ухудшается видимость. Безопасность снегоуборочных работ в сложных погодных условиях обеспечивается автоматическим управлением крыльями снегоуборочной машины и непрерывным контролем их положения.

Снегоуборочная машина типа СМ оснащена кранами управления пневматическим цилиндром подъема крыла, цилиндром поворота крыла и предохранительной штангой, предотвращающей закрытие крыла при случайном повороте крана управления [7]. Недостатки конструкции – недостаточное

обеспечение безопасности работ, так как в ней нет системы предупреждения о приближении к препятствию и автоматического управления положением крыльев.

Устройство безопасности на снегоуборочных машинах содержит датчик обнаружения препятствий, снабженный блоком локации с датчиком локации сверхвысокочастотных волн для определения отраженного сигнала от посторонних предметов, находящихся в зоне производства работ, блоком сигнализации, параллельно которому в цепи подсоединена обмотка реле времени, и блоком аварийного управления, способного управлять тормозной системой снегоуборочной машины [8]. Но и у этой системы есть недостатки: нет автоматического управления крыльями снегоуборочной машины и дублирования контроля положения крыльев со стороны машиниста при возможном наличии ошибок и отказов элементов системы управления.

Мы предлагаем повысить безопасность снегоуборочных работ путем автоматического управления крыльями снегоуборочной машины и дублирования непрерывного контроля положения крыльев снегоуборочной машины [9] (рис. 3).

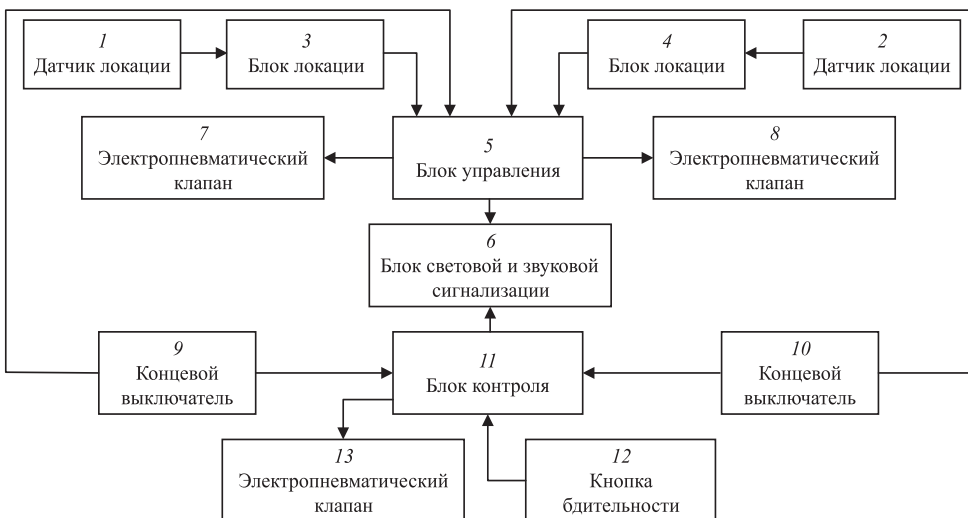


Рис. 3. Устройство безопасности на снегоуборочных машинах

Устройство работает следующим образом. При переводе машинистом крыльев снегоуборочной машины в рабочее положение с концевых выключателей 9 и 10 на первый и второй входы блока управления 5 и на первый и второй входы блока контроля 11 поступают сигналы, включающие устройство. Информация о рабочем режиме работы с блока управления 5 поступает на световой индикатор блока световой и звуковой сигнализации 6. Ультразвуковые датчики локации 1 и 2 блоков локации 3 и 4 постоянно сканируют территорию железнодорожного пути по направлению движения. При обнаружении препятствия с помощью отраженного сигнала от посторонних предметов с одного или нескольких одновременно ультразвуковых датчиков локации 1 и 2 с блоков локации 3 и 4 на блок световой и звуковой сигнализации 6 поступает команда на включение звукового сигнала и на световом индикаторе появляется соответствующая информация.

Если в течение пяти секунд машинист не предпринял необходимых действий по экстренному торможению или переводу крыльев машины в транспортное положение и с концевых выключателей 9 и 10 не поступила информация об этом на блок управления 5, то он подает команду на электропневматические клапаны управления положением крыльев 7 и 8, клапаны открывают доступ сжатого воздуха из пневматической магистрали машины к пневмоцилиндрам положения крыльев и крылья снегоуборочной машины автоматически убираются в транспортный режим.

Концевые выключатели 9 и 10 отключают систему и подают соответствующую информацию на блок управления 5

и далее на световой индикатор блока световой и звуковой сигнализации 6.

Дальнейшее включение устройства в работу и отключение электропневматических клапанов управления положением крыльев 7 и 8 происходит после перевода машинистом крыльев снегоуборочной машины в рабочее положение и срабатывания концевых выключателей 9 и 10.

Даже при отсутствии информации о препятствии для контроля положения крыльев и предупреждения аварийных ситуаций в кабине экипажа содержащееся в блоке контроля 11 реле времени каждые 50–80 с включает соответствующий световой индикатор и звуковой сигнал блока световой и звуковой сигнализации 6. Если в течение 10–15 с машинист не нажал кнопку бдительности 12 и тем самым не отключил звуковую и световую сигнализацию, блок контроля 11 включает электропневматический клапан управления 13, который выпускает сжатый воздух из тормозной системы и приводит в действие тормозную систему снегоуборочной машины,

Устройство, предназначенное для повышения безопасности движения железнодорожных снегоочистителей, позволяет обеспечить автоматическое управление крыльями снегоуборочной машины и постоянно контролировать положение крыльев.

Предложенные технические решения позволяют организовать работу снегоуборочных машин по станции с сохранением действующих регламентов, предотвращают повреждения железнодорожной инфраструктуры и сокращают затраты на ремонт снегоуборочной техники. ■

Литература

1. Повышение эффективности рабочего процесса уборки снега от внедрения мероприятий по оптимизации структуры затрат // А. Д. Абрамов, М. А. Семенов // Вестник УрГУПС. – 2022. – № 2 (54). С. 117–127. ISSN 2079-0392.
2. Семенов М. А. Организация эксплуатации и рабочих процессов снегоуборочных машин типа СМ и ПСС на основе автоматизированного мониторинга // Вестник Сибирского государственного университета путей сообщения. – 2022. – № 2 (61). С. 44–56. ISSN 1815-9265.

3. Повышение эффективности работы снегоуборочной машины типа СМ на основе автоматизированного мониторинга / А. Д. Абрамов, М. А. Семенов // Вестник Сибирского государственного университета путей сообщения. – 2021. – № 3 (58). С. 40–49. ISSN 1815-9265.
4. Патент № 1071743 СССР, МПК E21C 35/24. Устройство защиты цепи скребкового конвейера перегрузки / Дубинин С. В., Мальцев Л. Е., Кривущенко Н. Т. – № 3515064; заявл. 26.11.1982 опубл. 07.02.1984.
5. Патент № 2415504 РФ, МПК H02N 7/08. Устройство для защиты трехфазных асинхронных двигателей / Филичев О. А., Поздеев Н. Д.; заявитель и правообладатель государственное образовательное учреждение высшего профессионального образования «Вологодский государственный технический университет» (ВоГТУ) (RU); № 2009110614/07; заявл. 23.03.2009 опубл. 27.03.2011.
6. Патент № 206663 РФ, МПК H02N 7/08. Устройство для контроля нагрузки электродвигателей / Кочергин В. И., Кочетков А. С., Абрамов А. Д., Семенов М. А.; заявитель и правообладатель Федеральное государственное бюджетное образовательное учреждение высшего образования «Сибирский государственный университет путей сообщения» (СГУПС) (RU); – № 2021114588; заявл. 20.05.2021 опубл. 21.09.2021.
7. Патент № 117891 СССР, МПК E01H 5/04. Снегоуборочная машина / Нелюбин С. Н. / заявитель и правообладатель проектно-конструкторское бюро Главного управления пути и сооружений Министерства путей сообщения; № 591495/27; заявл. 05.02.1958, опубл. 01.01.1958.
8. Патент № 164795 РФ, МПК E01H 5/00. Устройство безопасности на снегоуборочных машинах / Нелюбин С. Н.; заявитель и правообладатель Открытое акционерное общество «Российские железные дороги» (RU); № 2015149890/11; заявл. 20.11.2015, опубл. 20.09.2016.
9. Патент № 2787026 РФ, МПК E01H 5/00, E01H 8/02. Устройство безопасности на снегоуборочных машинах / Кочергин В. И., Семенов М. А., Минеев Е. И.; заявитель и правообладатель Федеральное государственное бюджетное образовательное учреждение высшего образования «Сибирский государственный университет путей сообщения» (СГУПС) (RU); № 2022109164; заявл. 06.04.2022, опубл. 28.12.2022.

References

1. Increasing the efficiency of the snow removal workflow by introducing measures to optimize the cost structure // A. D. Abramov, M. A. Semenov // Bulletin of Ural State University of Railway Transport [Povyshenie effektivnosti rabocheho processa uborki snega ot vnedreniya meropriyatij po optimizacii struktury zatrat // A. D. Abramov, M. A. Semenov // Vestnik UrGUPS]. – 2022. – № 2 (54). Pp. 117–127. ISSN 2079-0392.
2. Semenov M. A. Operation and work processes for snow removal machines of the SM and PSS types based on automated monitoring // Bulletin of the Siberian State Transport University [Organizaciya ekspluatatsii i rabochih processov snegouborochnyh mashin tipa SM i PSS na osnove avtomatizirovannogo monitoringa // Vestnik Sibirskogo gosudarstvennogo universiteta putej soobshcheniya]. – 2022. – № 2 (61). Pp. 44–56. ISSN 1815-9265.
3. Increasing the efficiency of a snow remover type SM based on automated monitoring / A. D. Abramov, M. A. Semenov // Bulletin of the Siberian State Transport University [Povyshenie effektivnosti raboty snegouborochnoj mashiny tipa SM na osnove avtomatizirovannogo monitoringa / A. D. Abramov, M. A. Semenov // Vestnik Sibirskogo gosudarstvennogo universiteta putej soobshcheniya]. – 2021. – № 3 (58). Pp. 40–49. ISSN 1815-9265.
4. Patent No. 1071743 USSR, IPC E21S35/24. Circuit protection device for overloading scraper conveyor / Dubinin S. V., Maltsev L. E., Krivushchenko N. T. – № 3515064; application November 26, 1982 publ. 02/07/1984 [Patent № 1071743 SSSR, MPK E21S35/24. Ustrojstvo zashchity cepi skrebkovogo konvejera peregruzki / Dubinin S. V., Mal'cev L. E., Krivushchenko N. T. – № 3515064; zayavl. 26.11.1982 opubl. 07.02.1984].
5. Patent No. 2415504 RF, IPC N02N7/08. Device for protecting three-phase asynchronous motors / Filichev O. A., Pozdeev N. D.; applicant and copyright holder state educational institution of higher professional education «Vologda State Technical University» (VoSTU) (RU); № 2009110614/07; application 03/23/2009 publ. 03/27/2011 [Patent № 2415504 RF, MPK N02N7/08. Ustrojstvo dlya zashchity trekhfaznyh asinhronnyh dvigatelej /

- Filichev O. A., Pozdeev N. D.; заявитель и правообладатель государственное образовательное учреждение высшего профессионального образования «Вологодский государственный технический университет» (VoGTU) (RU); № 2009110614/07; заявл. 23.03.2009 опubl. 27.03.2011].
6. Patent No. 206663 RF, IPC N02N7/08. Device for monitoring the load of electric motors / Kochergin V. I., Kochetkov A. S., Abramov A. D., Semenov M. A.; applicant and copyright holder Federal State Budgetary Educational Institution of Higher Education «Siberian State Transport University» (SSTU) (RU); – № 2021114588; application 05/20/2021 publ. 09.21.2021 [Patent № 206663 RF, MPK N02N7/08. Ustrojstvo dlya kontrolya nagruzki elektrodvigatelej / Kochergin V. I., Kochetkov A. S., Abramov A. D., Semenov M. A.; заявитель и правообладатель Федеральное государственное бюджетное образовательное учреждение высшего образования «Сибирский государственный университет путей сообщения» (SGUPS) (RU); – № 2021114588; заявл. 20.05.2021 опubl. 21.09.2021].
 7. Patent No. 117891 USSR, IPC E01N5/04. Snow remover / Nelyubin S. N. / applicant and copyright holder design bureau of the Main Directorate of Railways and Facilities of the Ministry of Railways; No. 591495/27; application 02/05/1958, publ. 01/01/1958 [Patent № 117891 SSSR, MPK E01N5/04. Snegouborochnaya mashina/ Nelyubin S. N. / заявитель и правообладатель проектно-конструкторское бюро Главного управления пути и сооружений Министерства путей сообщения; № 591495/27; заявл. 05.02.1958, опubl. 01.01.1958].
 8. Patent № 164795 RF, IPC E01N5/00. Safety device on snow removal machines / Nelyubin S. N.: applicant and copyright holder Open Joint Stock Company «Russian Railways» (RU); No. 2015149890/11; application November 20, 2015, publ. 09.20.2016.9 [Patent № 164795 RF, MPK E01N5/00. Ustrojstvo bezopasnosti na snegouborochnykh mashinakh / Nelyubin S. N.: заявитель и правообладатель Открытое акционерное общество «Российские железные дороги» (RU); № 2015149890/11; заявл. 20.11.2015, опubl. 20.09.2016].
 9. Patent No. 2787026 RF, IPC E01N5/00, E01N8/02. Safety device on snow removal machines/ Kochergin V. I., Semenov M. A., Mineev E. I.: applicant and copyright holder Federal State Budgetary Educational Institution of Higher Education «Siberian State Transport University» (SSTU) (RU); No. 2022109164; application 04/06/2022, publ. 12/28/2022 [Patent № 2787026 RF, MPK E01N5/00, E01N8/02. Ustrojstvo bezopasnosti na snegouborochnykh mashinakh / Kochergin V. I., Semenov M. A., Mineev E. I.: заявитель и правообладатель Федеральное государственное бюджетное образовательное учреждение высшего образования «Сибирский государственный университет путей сообщения» (SGUPS) (RU); № 2022109164; заявл. 06.04.2022, опubl. 28.12.2022].

Статья сдана в редакцию 11 июня 2023 года

УДК 656.073

*Е. Д. Псеровская, О. Б. Шерстобитова, Д. А. Басманов***Исследование возможностей использования инструмента имитационного моделирования AnyLogic в организации работы контейнерного терминала**

UDC656.073

*E. D. Pserovskaya, O. B. Sherstobitova, D. A. Basmanov***Studying the possibilities of using a simulation tool AnyLogic in organizing the operation of a pickup terminal****Аннотация**

В статье рассмотрены теоретические вопросы функциональности применения моделирования систем в рамках поиска оптимальных условий для разработки технологии работы контейнерного терминала. Изучены возможности использования системы имитационного моделирования AnyLogic параметров конвейерного терминала, разрабатываемого с учетом меняющихся условий, влияющих на показатели взаимодействия внутренних элементов. Разработана имитационная модель конвейерного терминала, в котором моделируемый процесс

представляется как последовательный цикл событий. Проведено более ста экспериментов работы блоков и элементов логического алгоритма работы модели. Выполнен анализ процессов функционирования конвейерного терминала с учетом заявленных к исследованию данных. Сформулированы выводы, что предложенная имитационная модель конвейерного терминала ориентирована на масштабную переработку поступающих и отправляющихся грузопотоков в конвейерах и позволяет с учетом влияния неравномерности входящих потоков анализировать внедряемые

процессы прогнозируемых технологических операций. Предложенная модель обеспечивает возможность исследования процессов при их изменении благодаря ресурсу проведения неограниченного количества экспериментов и сопоставления получаемых в опытах показателей системы по каждому блоку, а также открывает реальные пути изучения и оценки объективности предполагаемых финансовых затрат при создании терминалов.

Ключевые слова: конвейерные перевозки, имитационное моделирование, AnyLogic, железнодорожные перевозки, транспортный

Статья рекомендована к публикации Д. И. Кочневой, канд. техн. наук; Уральский государственный университет путей сообщения. E-mail: DKochneva@usurt.ru.

Елена Дмитриевна Псеровская, канд. техн. наук, доцент кафедры «Логистика, коммерческая работа и подвижной состав» ФГБОУ ВО «Сибирский государственный университет путей сообщения»; Новосибирск, Россия. E-mail: eldp-55@yandex.ru. ORCID0000-0001-9920-1600.

Ольга Борисовна Шерстобитова, аспирант кафедры «Логистика, коммерческая работа и подвижной состав» ФГБОУ ВО «Сибирский государственный университет путей сообщения»; Новосибирск, Россия. E-mail: olga2008sh@rambler.ru. ORCID0009-0007-0851-4240.

Данил Анатольевич Басманов, факультет «Управление процессами перевозок» ФГБОУ ВО «Сибирский государственный университет путей сообщения»; Новосибирск, Россия. E-mail: danil-basmanov@mail.ru. ORCID0009-0001-2644-4609.

© Е. Д. Псеровская, О. И. Шерстобитова, Д. А. Басманов, 2023

The article has been recommended for publication by D. I. Kochneva, Ph.D. in Technical Sciences; Ural State University of Railway Transport. E-mail: DKochneva@usurt.ru.

Elena Dmitrievna Pserovskaya, Ph.D. in Technical Sciences, Associate Professor; Department «Logistics, commercial work and rolling stock» FSBEI HE «Siberian State Transport University»; Novosibirsk, Russia. E-mail: eldp-55@yandex.ru. ORCID0000-0001-9920-1600.

Olga Borisovna Sherstobitova, post-graduate student Department «Logistics, commercial work and rolling stock» FSBEI HE «Siberian State Transport University»; Novosibirsk, Russia. E-mail: olga2008sh@rambler.ru. ORCID0009-0007-0851-4240.

Danil Anatolyevich Basmanov, faculty «Transportation Process Management», FSBEI HE «Siberian State Transport University»; Novosibirsk, Russia. E-mail: danil-basmanov@mail.ru. ORCID0009-0001-2644-4609.

© Е. Д. Псеровская, О. И. Шерстобитова, Д. А. Басманов, 2023

узел, автомобильной транспорт, контейнер, транспортно-логистический центр.

DOI: 10.20291/2079-0392-2023-4-71-83

Abstract

The article discusses theoretical issues of the functionality of using system modeling in the search for optimal conditions for developing technology in operating a piggyback terminal. The possibilities of using the AnyLogic simulation system for the parameters of a piggyback terminal, developed taking into account changing conditions that affect the indicators of interaction of internal elements, have been studied. A simulation model

of a piggyback terminal has been developed, the simulated process is represented as a sequential cycle of events. More than a hundred experiments were carried out on the operation of blocks and elements of the logical algorithm for the model. An analysis of the functioning processes of the piggyback terminal has been carried out, taking into account the data declared for the study. The conclusions are formulated that the proposed simulation model of a piggyback terminal is focused on large-scale processing of incoming and outgoing cargo flows in piggybacks. This model allows you to analyze the implemented processes of

predicted technological operations. The proposed model provides the ability to study processes as they change thanks to the resource of conducting an unlimited number of experiments and comparing the system indicators obtained in experiments for each block. This model opens up real ways to study and evaluate the objectivity of the expected financial costs when creating terminals.

Keywords: piggyback transportation, simulation modeling, AnyLogic, rail transportation, transport hub, road transport, piggyback, transport and logistics center.

DOI: 10.20291/2079-0392-2023-4-71-83

Мировой опыт развития транспортных систем, напрямую обусловленный прогрессивными изменениями в науке, технике и технологиях, определил важность оперативного решения транспортных задач с непосредственным повышением требований к качеству, безопасности транспортных услуг и сохранности перевозимого груза. Системный подход и постоянное совершенствование применяемых на транспорте технологий неуклонно приводит логистический рынок к поиску и внедрению новых, отвечающих требованиям современности таких систем и услуг: увеличение доли мультимодальных перевозок грузов, внедрение интеллектуальных транспортных систем, разработки инновационных транспортных средств, применение нанотехнологий в процессах управления и взаимодействия транспортных процессов.

Задачи по оптимизации работы транспортно-логистических центров, включая контейнерные терминалы, основываются на изучении и анализе большого количества критериев и факторов, обуславливающих бесперебойную работу проектируемой системы. Для

немедленного внедрения различного рода технологий организации работы с контейнерными отправлениями грузов необходимо определить критерии оптимальности для транспортно-логистических контейнерных терминалов, опирающихся на развитую инфраструктуру множества взаимозависимых элементов, что возможно с помощью методов имитационного моделирования. Перспективу для решения данных задач открывает имитационное моделирование, позволяющее создавать и впоследствии проводить анализ логических структур разрабатываемых систем с возможностью проведения множества экспериментов по изучаемым процессам модели, благодаря чему выявляются наиболее значимые ресурсы, отражающие динамические параметры моделируемой структуры [1]. Точное и логичное применение системы имитационного моделирования делает возможным исследование параметров изучаемого предмета (контейнерного терминала), разрабатываемого с учетом меняющихся параметров и величин в зависимости от времени, которые влияют на показатели взаимодействия внутренних элементов.

Контрейлерный терминал – это сложная технологическая структура, организующая доставку грузов с использованием двух видов транспорта (автомобильного и железнодорожного). Это значительно расширяет диапазон предоставляемых логистических услуг по ускорению и мобильности вариации доставки грузов, их хранению, подготовке, погрузке, выгрузке, а также формированию автопоездов, автомобилей, автоприцепов, полуприцепов и съемных автомобильных кузовов при организации контрейлерных перевозок [2].

Стандартизированный способ транспортировки товаров – грузовой контейнер – инициировал развитие интермодальных перевозок грузов, включая контрейлерные технологии. В настоящее время погрузка/выгрузка контейнеров на грузовых дворах и контейнерных станциях сети железных дорог происходит с помощью кранов (козловых, мостовых, автомобильных) и специальных погрузчиков для работы с контейнерами (ричстакеров). В России контрейлерные технологии перевозки грузов внедряются с помощью части имеющейся инфраструктуры для работы с крупнотоннажными контейнерами (ричстакерами, предоставляющими возможность погрузки/выгрузки автомобилей с грузом (прицепов, полуприцепов) на железнодорожную платформу по технологии «Lo-Lo» [3, 4].

Принципиальная схема работы контрейлерного терминала по технологии «Lo-Lo» приведена на рис. 1.

Контрейлер представляет собой не только прицеп, полуприцеп, но и полностью грузовой автомобиль с грузом, погруженный и закрепленный на железнодорожном вагоне и предназначенный для организации доставки грузов с использованием железнодорожного и автомобильного транспорта [3]. Но при очевидных достоинствах контрейлерных перевозок грузов (низкая стоимость перевозки, сохранность грузов, доставка груза точно в срок, мобильность, положительное влияние на экологию за счет сокращения выбросов в атмосферу) есть и недостатки, не позволяющие ускорить внедрение такой технологии в России [4, 5]. Это, например, отсутствие специализированных контрейлерных терминалов и специализированной техники и оборудования. Современные контрейлерные технологии доставки грузов в России выявили острую необходимость строительства современных интермодальных и мультимодальных терминалов. Внедрение контрейлерного терминала, на котором погрузка и выгрузка автопоездов с вагонов производится самостоятельно, без использования кранового и иного оборудования, очень интересно с экономической и технологической точек зрения. Технологическая схема работы контрейлерного терминала, где погрузка и выгрузка автомобилей с грузом происходит с торцевого заезда (съезда) автомобилей на вагоны без использования погрузо-разгрузочной техники, приведена на рис. 2.



Рис. 1. Технологическая схема работы терминала по технологии «Lo-Lo»



Рис. 2. Технологическая схема работы терминала по технологии торцевого заезда (съезда) автомобилей на вагоны

Работа технологического процесса эксплуатации контейнерного терминала по технологии торцевого заезда автомобилей на вагоны без использования погрузо-разгрузочной техники исследуется с помощью метода моделирования AnyLogic (создан в Санкт-Петербурге в 1990-е гг.), изначально строившегося на прикладных методах моделирования стохастических систем. Сегодня это комплексный инструмент, охватывающий основные направления моделирования. Метод имитационного моделирования даёт возможность провести глубокий анализ таких рассматриваемых объектов, как проектируемых транспортно-логистических центров и контейнерных терминалов через создание их моделей и изменение параметров с использованием технической базы ЭВМ. Основанные на объектно-ориентированной концепции структурные

возможности метода AnyLogic представляют широкие возможности абстрагирования и смешивания стилей и систем при разработке моделей по заданным условиям, что позволяет наглядно и понятно представить структуру сложной системы [6, 7]. Технология моделирования AnyLogic оснащена наборами уже готовых библиотек разнообразных модельных объектов, которые можно представить в виде последовательности операций (библиотек): модули, с помощью которых можно эффективно разрабатывать модели транспортно-логистических, мульти- и интермодальных узлов, а также железнодорожных станций и сложных транспортных систем, объекты дорожного движения для моделирования транспортных потоков грузовых автоперевозок, блоки производственных систем и процессов, позволяющих моделирование любых процессов [8, 9].

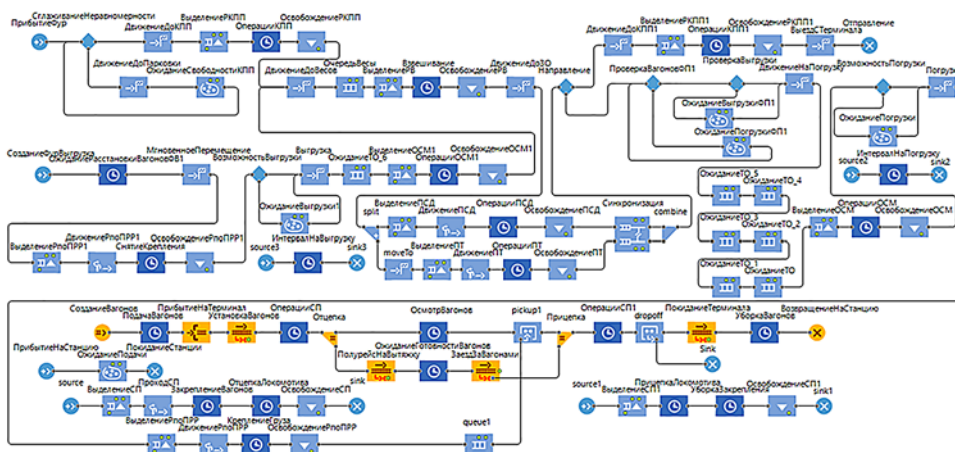


Рис. 3. Схема логического алгоритма работы имитационной модели контейнерного терминала

Для разработки и анализа функционирования контрейлерного терминала с учетом заявленных к исследованию данных была создана имитационная модель, представляющая собой агентное и дискретно-событийное моделирование. Такое моделирование есть в случае различных вариантов организации работы терминала [10–12], моделируемый процесс которого представляется как последовательный цикл событий, изменяющих состояния системы над обслуживаемыми заявками (автопоездами, терминальными тягачами и т. д.).

Элементы взаимодействия логического алгоритма работы имитационной модели контрейлерного терминала, разработанной с помощью программного продукта AnyLogic, приведены на рис. 3.

Алгоритм работы разработанной имитационной модели контрейлерного терминала, где погрузка и выгрузка автомобилей с грузом происходит с торцевого заезда (съезда) автомобилей на вагоны, включает в себя 109 блоков и содержит основные процессы технологии организации взаимодействия элементов терминала.

Операции с груженными автомобилями, отправляющимися по железной дороге

1. На терминал прибывают автомобили с грузом, которые необходимо отправить по железной дороге (блок «ПрибытиеФура» (тип Source)).

2. При высокой интенсивности прибытия автомобилей с грузом можно разместить их на специальной парковке перед терминалом («Сглаживание-Неравномерности» (тип SelectOutput), «ДвижениеДоПарковки» (тип MoveTo), «ОжиданиеСвободностиКПП» (тип Wait)).

3. Автомобили с грузом следуют на КПП (блок «ДвижениеДоКПП» (тип MoveTo)), где работники контрольно-пропускного пункта (РКПП) выполняют контроль автомобилей, въезжающих на территорию терминала

(«ВыделениеРКПП» (тип Seize), «ОперацииКПП» (тип Delay), «Освобождение РКПП» (тип Release)).

4. После проверки на КПП автомобили с грузом направляются в зону размещения автомобильных весов (блок «ДвижениеДоВесов» (тип MoveTo)), где работники весового хозяйства (РВ) их взвешивают («ОчередьВесы» (тип Queue), «ВыделениеРВ» (тип Seize), «Взвешивание» (тип Delay), «ОсвобождениеРВ» (тип Release)).

5. Автомобили с грузом следуют в зону ожидания (блок «ДвижениеДоЗО» (тип MoveTo)), где приемо-сдатчики (ПСД) и представители таможен (ПТ) проверяют груз («ВыделениеПСД», «ВыделениеПТ» (тип Seize), «ДвижениеПСД», «ДвижениеПТ» (тип Resource SendTo), «ОперацииПСД», «ОперацииПТ» (тип Delay), «ОсвобождениеПСД», «ОсвобождениеПТ» (тип Release), «Синхронизация» (тип Match)).

6. После всех операций автомобили с грузом ожидают прибытия вагонов («ПроверкаВагоновФП1» (тип SelectOutput), «ОжиданиеПогрузкиФП1» (тип Wait)).

7. С вагонами, прибывающими на терминал, могут выполняться двоякие операции, поэтому погрузка может начаться не сразу, и автомобили с грузом будут ожидать выгрузки вагонов («ПроверкаВыгрузки» (тип SelectOutput), «ОжиданиеВыгрузкиФП1» (тип Wait)).

8. Автомобили с грузом следуют в зону погрузки (блок «ДвижениеНаПогрузку» (тип MoveTo)), где осматриватели (ОСМ) проверяют их техническое состояние («ОжиданиеТО», «ОжиданиеТО_1», «ОжиданиеТО_2», «ОжиданиеТО_3», «ОжиданиеТО_4», «ОжиданиеТО_5» (тип Queue), «ВыделениеОСМ» (тип Seize), «ОперацииОСМ» (тип Delay), «ОсвобождениеОСМ» (тип Release)).

9. Погрузка идет с торцевого заезда автомобилей с грузом на вагоны (блок «Погрузка» (тип MoveTo)). Погрузка последовательная, с соблюдением необходимого интервала между фурами («ВозможностьПогрузки» (тип SelectOutput),

«ОжиданиеПогрузки» (тип Wait), «ИнтервалНаПогрузку» (тип Delay)).

10. Ответственные за погрузку и выгрузку (РпоППР) закрепляют автомобили с грузом на вагонах («ВыделениеРпоППР» (тип Seize), «ДвижениеРпоППР» (тип «ResourceSendTo»), «КреплениеГруза» (тип Delay), «ОсвобождениеРпоППР» (тип Release)).

Операции с вагонами на терминале

1. Как только на терминале накапливается достаточное количество автомобилей с грузом, формируется маневровый состав для подачи вагонов на терминал («СозданиеВагонов» (тип TrainSource), «ПодачаВагонов» (тип Delay), «ПрибытиеНаТерминал» (тип TrainEnter)).

2. После прибытия на терминал вагоны устанавливаются на фронте погрузки/выгрузки (блок «УстановкаВагонов» (тип TrainMoveTo)), после чего составитель поездов (СП) выполняет операции по креплению вагонов и отцепке локомотива («ОперацииСП» (тип Delay), «ВыделениеСП» (тип Seize), «ПроходСП» (тип ResourceSendTo), «ЗакреплениеВагонов», «Отцепка Локомотива» (тип Delay), «ОсвобождениеСП» (тип Release), «Отцепка» (тип TrainDecouple)).

3. После отцепки маневровый локомотив покидает фронт погрузки/выгрузки до момента готовности вагонов к уборке («ПолурейсНаВытяжку» (тип TrainMoveTo), «ОжиданиеГотовностиВагонов» (тип Delay)).

4. Вагоны осматривают в коммерческом и техническом отношении (блок «ОсмотрВагонов» (тип Delay)), затем начинаются грузовые операции.

5. После завершения грузовых операций маневровый локомотив заезжает за вагонами (блок «ЗаездЗаВагонами» (тип TrainMoveTo)) и происходит прицепка и уборка закрепления («Прицепка» (тип TrainCouple), «ОперацииСП» (тип Delay), «ВыделениеСП1» (тип Seize), «Прицепка Локомотива», «УборкаЗакрепления» (тип Delay), «ОсвобождениеСП1» (тип Release)).

6. Вагоны убираются с терминала обратно на станцию («ПокиданиеТерминала» (тип TrainMoveTo), «УборкаВагонов» (тип Delay), «ВозвращениеНаСтанцию» (тип TrainDispose)).

Операции с грузеными автомобилями, прибывающими на терминал по железной дороге

1. После прибытия на станцию автомобили с грузом ожидают подачи на терминал («ПрибытиеНаСтанцию» (тип Source), «ОжиданиеПодачи» (тип Wait), «ПокиданиеСтанции» (тип Sink)).

2. После подачи вагонов автомобили с грузом ожидают их установки на фронте погрузки/выгрузки («СозданиеФурВыгрузка» (тип Source), «ОжиданиеРасстановки Вагонов» ФВ1 (тип Delay)).

3. Перед выгрузкой работники, ответственные за погрузку и выгрузку (РпоППР), снимают крепления автопоездов («ВыделениеРпоППР1» (тип Seize), «ДвижениеРпоППР1» (тип ResourceSendTo), «СнятиеКрепления» (тип Delay), «ОсвобождениеРпоППР1» (тип Release)).

4. Производится выгрузка автомобилей (блок «Выгрузка» (тип MoveTo)) с соблюдением необходимого интервала между ними («Возможность Выгрузки1» (тип SelectOutput), «ОжиданиеВыгрузки1» (тип Wait)).

5. Выполняется технический осмотр автомобилей с грузом («ОжиданиеТО_6» (тип Queue), «ВыделениеОСМ1», (тип Seize), «Операции ОСМ1» (тип Delay), «ОсвобождениеОСМ1» (тип Release)).

6. После технического осмотра автомобили взвешивают, а также проводят приемо-сдаточные и таможенные операции (аналогично операциям, выполняемым с отправляющимися по железной дороге автомобилями с грузом).

7. Автомобили с грузом следуют на выезд с терминала («Направление» (тип SelectOutput), «ДвижениеДоКПП1» (тип MoveTo)), где работником КПП осуществляется их контроль («ВыделениеРКПП1» (тип Seize), «ОперацииКПП1» (тип Delay), «ОсвобождениеРКПП1» (тип Release)).

8. По завершении проверки на КПП автомобили с грузом выезжают из терминала («ВыездСТерминала» (тип MoveTo), «Отправление» (тип Sink)).

Рассмотренный логический алгоритм работы модели дополнен переменными, которые вместе с прописанным в некоторых блоках кодом на языке программирования Java служат для усложнения взаимодействия отдельных элементов модели.

Логика разработанной имитационной модели контрейлерного терминала сводится к заезду автотранспорта и погрузке автомобилей с грузом на вагоны с помощью технологии торцевого заезда на вагон. Загруженные контрейлерами вагоны уезжают с терминала на станцию назначения. В каждый момент поступление грузопотока ставит прибывшее количество груза как заявку в очередь на обработку соответствующим элементом. Если элементу в данный момент выделен конкурирующий ресурс, он забирает соответствующую часть груза в обработку. В свою очередь, обработанные заявки передаются следующему элементу, который определяется соответствующими последовательностями, задающими логику процесса в модели.

Например, через функцию «ОжиданиеПогрузкиФП1.size()» можно получить количество автомобилей с грузом, которые готовы к погрузке для отправления с терминала. Перед запуском модели пользователь может присвоить переменной «МинимумВагоновВПодаче» значение, которое будет соответствовать минимальному количеству

вагонов в подаче. В процессе работы алгоритма при каждом увеличении количества автомобилей в блоке «ОжиданиеПогрузкиФП1» будет проверяться логическое условие №1 (рис. 4).

Выполнение условия № 1 будет означать, что: а) на терминале накопилось достаточное количество автомобилей с грузом, б) в настоящий момент нет подачи вагонов.

Система примет решение о необходимости формирования маневрового состава для подачи вагонов на терминал. На следующем шаге система определится с количеством вагонов в подаче с помощью условия (рис. 5).

В логическом условии № 2 «ЗанятыеМестаЗО.size()» – это количество автомобилей, находящихся в зоне ожидания, а «ОжиданиеПодачи.size()» – количество вагонов с автомобилями, находящихся на станции в ожидании подачи на терминал.

Если условие выполняется, то количество вагонов в подаче будет соответствовать количеству автомобилей в зоне ожидания (часть вагонов подается под двоянные операции, часть прибывает на терминал под погрузку). В противном случае количество вагонов в подаче будет соответствовать количеству груженых вагонов, находящихся на станции в ожидании подачи на терминал (часть вагонов будет подаваться под двоянные операции, часть отправится с терминала в порожнем состоянии).

Необходимо также учитывать, что длина фронта погрузки ограничена. Поэтому при выполнении условия № 2 система проверяет условие № 3 (рис. 6).

(«ОжиданиеПогрузкиФП1.size()» > «МинимумВагоновВПодаче») И («ПрибытиеПодачи» = true).

Рис. 4. Схема логического условия № 1

«ЗанятыеМестаЗО.size()» ≥ «ОжиданиеПодачи.size()»

Рис. 5. Схема логического условия № 2

«ЗанятыеМестаЗО.size()» < «ДлинаФП1»

Рис. 6. Схема логического условия № 3

`«ОжиданиеПодачи.size()» < «ДлинаФП1»`

Рис. 7. Схема логического условия № 4

В логическом условии № 3 «ДлинаФП1» – это переменная, значение которой соответствует максимальной длине фронта погрузки/выгрузки.

Если условие № 3 выполняется, то количество вагонов в подаче примет значение функции «ЗанятыеМестаЗО.size()», в противном случае – значение переменной «ДлинаФП1».

При невыполнении условия № 2 условие № 4 для определения количества вагонов в подаче примет вид, приведенный на рис. 7.

Если условие № 4 выполняется, то количество вагонов в подаче примет значение функции «ОжиданиеПодачи.size()», в противном случае – значение переменной «ДлинаФП1».

Модель технологии работы контрейлерного терминала учитывает условия (технические характеристики механизмов, объемы прибывающих и отправляющихся грузов, число автомобилей, вагонов, железнодорожных путей, перерабатывающие способности задействованных объектов, штат сотрудников, технологические допуски и нормы), от которых зависит работа и взаимодействие блоков и элементов терминала.

Выстраивание последовательности операций в имитационном моделировании производилось с помощью стандартных составляющих (очереди, разветвители, переключатели), а суммы ресурсов используемого оборудования по операциям выполнялось с учетом установленного приоритета грузопотоков и по фактическим требованиям на них, определяемых закладываемыми процессами.

Главная особенность модели заключается в проектировании затрат времени с учетом реальных нормативов и производственных издержек.

Разработка имитационной модели контрейлерного терминала с предложенными начальными условиями при изменении числа составляющих по

блокам и элементам позволила сформировать статистику изменения среднего времени, приходящегося на выполнение тех или иных исследуемых операций (погрузка и выгрузка автомобилей с грузом на вагон, затраты времени на простои автомобилей в очередях на обслуживание в технологических линиях), а также общего времени нахождения автомобилей и вагонов на терминале.

Проведено более ста экспериментов, в ходе которых менялись интенсивность поступления автомобилей на терминал и количество работников на отдельных технологических линиях. Минимальное необходимое и максимальное целесообразное количество каналов обслуживания для различного потока поступающих автомобилей представлено в виде лепестковых диаграмм на рис. 8 и 9.

Некоторые из полученных параметров изменения времени среднего простоя автомобиля под технологическими операциями приведены на рис. 10.

Из рис. 8 и 9 видно, что в зависимости от заданного времени обслуживания автомобилей на контрейлерном терминале и размера потока автомобилей количество приемо-сдатчиков изменяется от 1 до 4, а количество представителей таможни – от 1 до 8.

Некоторые из полученных параметров изменения времени среднего простоя автомобиля под технологическими операциями при условии интенсивности прибытия автомобилей с грузом в 100 ед./сут на контрольно-пропускном пункте, в очереди на приемо-сдаточные операции, на таможенные процедуры, в ожидании подачи вагонов к местам погрузки приведены на рис. 10.

Данные, приведенные на рис. 10, наглядно отражают зависимость элементов имитационной модели контрейлерного терминала при интенсивности прибытия автомобилей с грузом на терминал 100 авт./сут по периодам при выполнении операций в блоках от количества каналов обслуживания. Так

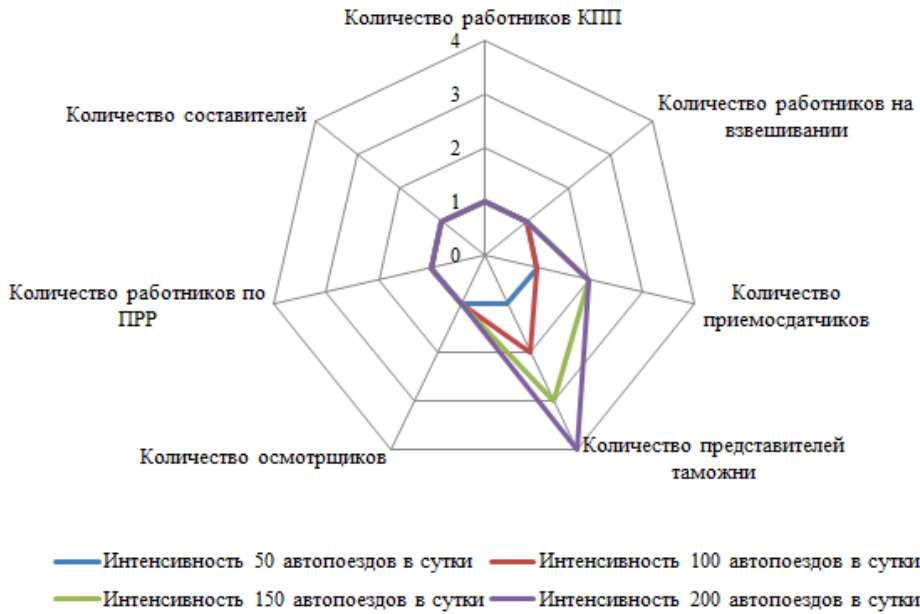


Рис. 8. Минимальное необходимое количество каналов обслуживания на технологических линиях контройлерного терминала

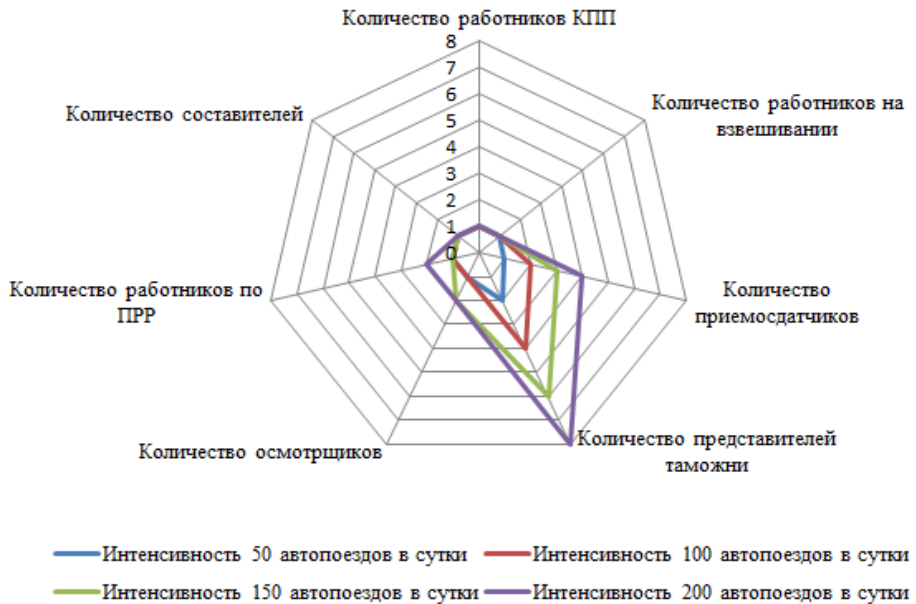


Рис. 9. Максимальное целесообразное количество каналов обслуживания на технологических линиях контройлерного терминала



Рис. 10. Изменение времени среднего простоя автомобиля с грузом под технологическими операциями (при интенсивности прибытия 100 авт. с грузом/сут)

как в третьем опыте при одном прямо-сдатчике и одном представителе таможенной возникла нехватка мест в зоне накопления, в последующих опытах варьировалось количество прямо-сдатчиков и представителей таможенной.

Результаты расчетов параметров изменения времени среднего простоя автомобиля в ожидании выполнения технологических операций при минимальном и максимальном количестве

каналов обслуживания приведены на рис. 11.

Данные, приведенные на рис. 11, демонстрируют чувствительность имитационной модели к изменению количества каналов обслуживания при различной интенсивности автопоездов. Так, при интенсивности 100 авт./сут очередь на прямо-сдаточные операции может увеличиться в 12 раз, а на таможенные – в 10,17. Однако при ин-

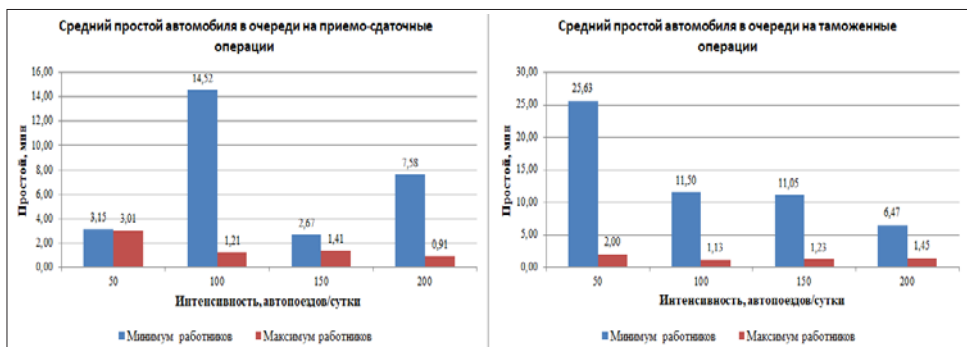


Рис. 11. Изменение времени среднего простоя автомобиля с грузом под технологическими операциям

тенсивности 50 авт./сут, напротив, очередь на таможенные операции может увеличиться в 12,8 раз, а вот на приемосдаточные практически не изменится.

В процессе работы модели можно отслеживать также общее время нахождения автомобилей и вагонов на терминале в зависимости от заданных параметров работы.

Разработка имитационной модели контрейлерного терминала с предложенными начальными условиями при изменении числа каналов обслуживания в составляющих блоках и элементах позволила сформировать статистику изменения среднего времени, приходящегося на выполнение тех или иных исследуемых операций: погрузка и выгрузка автомобилей с грузом на вагон, затраты времени на простои автомобилей и вагонов в очередях на обслуживание в технологических линиях, а также общего времени нахождения автомобилей и вагонов на терминале.

Эксперименты, проведенные в настоящем исследовании, показывают, что для одних и тех же объемов поступающих на терминал грузов общие размеры каждого отдельного технологического ресурса и алгоритмы их распределения при нехватке тех или иных элементов или дополнительных блоков приводят к различным значениям выходных параметров терминала, что влияет на качество оказываемых услуг. Ясно, что при изменении заданных технологических параметров по элементам можно существенно изменить качество услуг, оказываемых пользователям контрейлерных терминалов, которым важна эффективность работы терминала (длина очереди, время на проверку документов и груза, время на погрузку/выгрузку, закрепление автомобилей на вагонах и др.). Однако следует учитывать, что для владельца терминала именно анализ технологических параметров и оснащенность терминала позволяют составить эффективное представление о требуемых финансовых затратах, которые он понесет при обеспечении такого уровня

качества обслуживания. Имитационное моделирование, позволяющее наглядно представить всю последовательность операций и проанализировать показатели по блокам и элементам, становится эффективным инструментом при проектировании сложных транспортных систем.

Выводы

Разработанная модель имитационного моделирования контрейлерного терминала в процессе работы постоянно оценивает загруженность технологических линий системы. Выявлено, что изменение интенсивности поступления на терминал автомобилей с грузом и вагонов при неизменном техническом оснащении терминала позволяет определить предельную величину поступающего грузопотока, превышение которого приведет к возникновению узких мест с последующими сбоями в работе терминала.

Предложенная имитационная модель контрейлерного терминала, ориентированная на масштабную переработку поступающих и отправляющихся грузопотоков в контрейлерах, позволяет, учитывая существенные влияния неравномерности входящих потоков, отображать и исследовать процессы в динамике путем постановки неограниченного количества экспериментов и сравнивать полученные параметры работы системы для множества различных значений элементов.

Разработанную имитационную модель целесообразно использовать для мониторинга основного процесса работы контрейлерного терминала для прогнозирования поведения и будущего состояния производственной системы, а также оценки альтернативных вариантов управленческих воздействий.

Модель контрейлерного терминала показывает необходимость дифференцированного подхода к внедрению контрейлерных технологий на сети железнодорожных станций России, а полученные результаты могут быть полезны

руководству структурных подразделений компании ОАО «РЖД» для формирования нормативных документов при разработке контрейлерных терминалов и рассмотрении их необходимого оснащения, определении необходимого

объема финансирования. Всё это позволит в будущем минимизировать затраты на транспортно-технологический сервис при организации интер- и мультимодальных перевозок грузов с участием контрейлерных технологий. ■

Литература

1. Нечаевский А. В. История развития компьютерного имитационного моделирования. URL: <https://sanse.uni-dubna.ru/index.php/sanse/issue/view/29> (дата обращения: 15.08.2023).
2. Распоряжение ОАО «РЖД» от 30.12.2011 № 2884р «Об утверждении Концепции регламента организации контрейлерных перевозок на железных дорогах ОАО «РЖД». URL: <http://www.consultant.ru/cons/cgi/online.cgi?req=doc&base=EXP&n=530694#ERPjOVjTRgGg9iHLG> (дата обращения: 15.08.2023).
3. Псеровская Е. Д., Шерстобитова О. Б. Технические резервы компании ОАО «РЖД» при реализации проекта развития перевозок грузов контрейлерными отправлениями // Транспорт и логистика: актуальные проблемы стратегического развития и оперативного управления : м-лы VI Международн. научн.-практ. конф. – Ростов-на-Дону, 2022. С. 179–182. ISBN 978-5-907295-60-5.
4. Псеровская Е. Д., Шерстобитова О. Б. Контрейлерные перевозки // Фундаментальные и прикладные вопросы транспорта. 2021. № 2 (3). С. 44–51. eISSN 2712-9195.
5. Псеровская Е. Д., Шерстобитова О. Б. Контрейлерные технологии как компонент «Зеленой логистики» // Фундаментальные и прикладные вопросы транспорта. 2022. № 1 (4). С. 63–70. eISSN 2712-9195.
6. Басманов Д. А. Расчет и оценка показателей эффективности технологических участков в имитационной модели контрейлерного терминала // Интеллектуальный потенциал Сибири : м-лы 30-й региональной научн. студ. конф. – Новосибирск. 2022. (Т. Ч. 4). С. 429–435. ISBN 978-5-7782-4756-7.
7. Кузнецов А. Л. А. Генезис агентного имитационного моделирования в ходе развития методов технологического проектирования портов и терминалов // Эксплуатация морского транспорта. 2009. № 4 (58). С. 3–7. ISSN 1992-8181.
8. AnyLogic 7 Help Personal Learning Edition 7.2.0 Turbine Service Model (Agent approach) URL: <https://help.anylogic.com/>. (дата обращения: 15.08.2023).
9. Басманов Д. А. Имитационное моделирование как эффективный метод изучения работы контрейлерного терминала // Наука и молодежь XXI века : М-лы регионального форума. – Новосибирск, 2023. (Т. Ч. 1). С. 185–190. ISBN 978-5-00148-338-0.
10. Псеровская Е. Д., Кагадий И. Н. Моделирование грузовой работы станции во взаимодействии с путями общего пользования // Известия Транссиба. 2016. № 1 (25). С. 91–96. ISSN 2220-4245.
11. Псеровская Е. Д., Кагадий И. Н. Оценка влияния основных параметров грузовой станции на ее перерабатывающую способность // Вестник СГУПС. 2017. № 1 (40). С. 19–29. ISSN 1815-9265.
12. Псеровская Е. Д., Кагадий И. Н. Исследование системы «грузовая станция – путь необычного пользования» с использованием имитационной модели // Научные проблемы транспорта Сибири и Дальнего Востока. 2015. №4 (40). С. 6–9. ISSN 2071-3827.

References

1. Nechaevsky A. V. History of the development of computer simulation modeling [Istoriya razvitiya komp'yuternogo imitacionnogo modelirovaniya]. URL: <https://sanse.uni-dubna.ru/index.php/sanse/issue/view/29> (accessed: 15.08.2023).
2. The order of JSC Russian Railways dated December 30, 2011 No. 2884r «On approval of the Concept of regulations for organizing piggyback transportation on the railways of JSC Russian Railways» [Rasporyazhenie ОАО «RZHD» ot 30.12.2011 №2884r «Ob utverzhdenii Konceptii reglamenta organizacii kontrejlernyh perevozok na zheleznyh dorogah ОАО

- «RZHD»]. URL: <http://www.consultant.ru/cons/cgi/online.cgi?req=doc&base=EXP&n=530694#EPjOVjTRgGg9iHLG> (accessed: 15.08.2023).
3. Pserovskaya E. D., Sherstobitova O. B. Technical reserves of the Russian Railways company during the implementation of the project for the development of cargo transportation by piggyback shipments // Transport and logistics: current problems of strategic development and operational management: proceedings of the VI International. scientific and practical conf [Tekhnicheskie rezervy kompanii OAO «RZHD» pri realizacii proekta razvitiya perevozok грузов kontrejlnymi otpravkami // Transport i logistika: aktual'nye problemy strategicheskogo razvitiya i operativnogo upravleniya : m-ly VI Mezhdunarodn. nauchn.-prakt. konf.] Rostov-on-Don, 2022. Pp. 179–182. ISBN 978-5-907295-60-5.
 4. Pserovskaya E. D., Sherstobitova O. B. Container transportation // Fundamental and applied issues of transport [Kontrejlnye pervozki// Fundamental'nye i prikladnye voprosy transporta.]. 2021. № 2 (3). Pp. 44–51. eISSN 2712-9195.
 5. Pserovskaya E. D., Sherstobitova O. B. Controller technologies as a component of «Green logistics» // Fundamental and applied issues of transport [Kontrejlnye tekhnologii kak komponent «Zelenoj logistiki» // Fundamental'nye i prikladnye voprosy transporta]. 2022. № 1 (4). Pp. 63–70. eISSN 2712-9195.
 6. Basmanov D. A. Calculation and assessment of efficiency indicators of technological section in the simulation model of a piggyback terminal // Intellectual potential of Siberia: proceedings of the 30th regional scientific. stud. conf. – Novosibirsk [Raschet i ocenka pokazatelej effektivnosti tekhnologicheskikh uchastkov v imitacionnoj modeli kontrejlnogo terminala // Intellektual'nyj potencial Sibiri : m-ly 30-j regional'noj nauchn. stud. konf]. 2022. (Vol. 4). Pp. 429–435. ISBN 978-5-7782-4756-7.
 7. Kuznetsov A. L. A. Genesis of agent-based simulation modeling in the course of development of methods for technological design of ports and terminals // Operation of marine transport [Genezis agentnogo imitacionnogo modelirovaniya v hode razvitiya metodov tekhnologicheskogo proektirovaniya portov i terminalov // Eksploatatsiya morskogo transporta]. 2009. № 4 (58). Pp. 3–7. ISSN 1992-8181.
 8. AnyLogic 7 Help Personal Learning Edition 7.2.0 Turbine Service Model (Agent approach) URL: <https://help.anylogic.com/>. (accessed: 15.08.2023).
 9. Basmanov D. A. Simulation modeling as an effective method for studying the operation of a piggyback terminal // Science and youth of the XXI century: Proceedings of the regional forum [Imitacionnoe modelirovanie kak effektivnyj metod izucheniya raboty kontrejlnogo terminala // Nauka i molodezh' XXI veka : M-ly regional'nogo foruma]. Novosibirsk, 2023. (Vol. 1). Pp. 185–190. ISBN 978-5-00148-338-0.
 10. Pserovskaya E. D., Kagadiy I. N. Modeling freight operation of a station in interaction with non-public tracks // Transsib report [Modelirovanie gruzovoj raboty stancii vo vzaimodejstvii s putyami neobshchego pol'zovaniya // Izvestiya Transsiba.]. 2016. № 1 (25). Pp. 91–96. ISSN 2220-4245.
 11. Pserovskaya E. D., Kagadiy I. N. Assessing the influence of the main parameters of a cargo station on its processing capacity // Bulletin of Siberian State Transport University [Ocenka vliyaniya osnovnykh parametrov gruzovoj stancii na ee pererabatyvayushchuyu sposobnost' // Vestnik SGUPS]. 2017. № 1 (40). Pp. 19–29. ISSN 1815-9265.
 12. Pserovskaya E. D., Kagadiy I. N. Study of the «freight station – route of unusual use» system with the use of a simulation model // Scientific problems of transport of Siberia and the Far East [Issledovanie sistemy «gruzovaya stanciya - put' neobychnogo pol'zovaniya» s ispol'zovaniem imitacionnoj modeli // Nauchnye problemy transporta Sibiri i Dal'nego Vostoka]. 2015. № 4 (40). Pp. 6–9. ISSN 2071-3827.

Статья сдана в редакцию 6 сентября 2023 года

УДК 621.331

И. С. Овечкин, Е. Ю. Пузина

Снижение несимметрии напряжения воздушных линий, питающих устройства автоблокировки

UDC621.331

I. S. Ovechkin, E. Yu. Puzina

Reducing the voltage unsymmetry of overhead lines supplying autoblocking devices

Аннотация

Представлены результаты замеров показателей качества электроэнергии на постах электрической централизации одного из участков Восточного полигона. Выявлено несоответствие измеренных показателей требованиям стандарта.

Проблема качества электрической энергии актуальна для всех потребителей электроэнергии электрифицированных железных дорог. В частности, при существенном отклонении показателей качества электроэнергии от допустимых значений в системах электроснабжения постов электрической централизации возникают простои поездов, что приводит к существенному экономическому ущербу.

Для углубленного исследования качества элек-

трической энергии разработана компьютерная модель системы электроснабжения устройств автоблокировки исследуемого участка, которая должна упростить анализ отклонений показателей качества электроэнергии от допустимых значений и ускорить разработку технических решений по уменьшению отклонений значений проблемных показателей от допустимых.

Полученные в ходе компьютерного моделирования результаты подтвердили наличие нарушения требований ГОСТа в отношении показателей качества электрической энергии в указанной системе электроснабжения, в том числе по коэффициенту несимметрии напряжений по обратной последовательности. Выполнен анализ возможных мероприятий по

уменьшению несимметрии напряжения в исследуемой системе электроснабжения. Произведен аргументированный выбор пунктов автоматического регулирования (ПАРН). Приведены результаты моделирования до и после установки ПАРН. Выполнена оценка эффективности использования ПАРН.

Ключевые слова: несимметрия напряжения, пункты автоматического регулирования, технические решения, устройства автоблокировки.

DOI: 10.20291/2079-0392-2023-4-84-95

Abstract

The measurement results of electricity quality indicators at electrical centralization posts in one of the sections of the Eastern test site have been presented. A discrepancy between the measu-

Статья рекомендована к публикации И. А. Юшковой, канд. техн. наук, Уральский государственный университет путей сообщения. E-mail: IBAeva@usurt.ru.

Елена Юрьевна Пузина, канд. техн. наук, доцент кафедры «Электроэнергетика транспорта» Иркутского государственного университета путей сообщения; Иркутск, Россия. E-mail: lena-rus05@mail.ru. lena-rus05@mail.ru. ORCID0000-0002-8746-2739.

Илья Сергеевич Овечкин, аспирант кафедры «Электроэнергетика транспорта» Иркутского государственного университета путей сообщения; Иркутск, Россия. E-mail: iliaov2015@mail.ru. ORCID0009-0006-4639-1504.

© Е. Ю. Пузина, И. С. Овечкин, 2023

The article has been recommended for publication by I. A. Yushkova, Ph.D. in Technical Sciences, Ural State University of Railway Transport. E-mail: IBAeva@usurt.ru.

Elena Yurievna Puzina, Ph.D. in Technical Sciences, associate professor, department «Electric power industry of transport», Irkutsk State Transport University; Irkutsk, Russia. E-mail: lena-rus05@mail.ru. lena-rus05@mail.ru. ORCID0000-0002-8746-2739.

Ilya Sergeevich Ovechkin, post-graduate student, department «Electric power industry of transport», Irkutsk State Transport University; Irkutsk, Russia. E-mail: iliaov2015@mail.ru. ORCID0009-0006-4639-1504.

© Е. Ю. Пузина, И. С. Овечкин, 2023

red indicators and the requirements of the standard has been revealed.

The problem for the quality of electrical energy is relevant for all electricity consumers from electrified railways. In particular, when there is a significant deviation of electricity quality indicators from acceptable values in the power supply systems of electrical centralization posts, train downtime occurs, which leads to significant economic damage.

For an in-depth study of the quality of electrical energy, a computer model of the power supply system for

automatic blocking devices in the area under study has been developed. This model should simplify the analysis of deviations of power quality indicators from acceptable values and speed up the development of technical solutions to reduce deviations of problem indicators from acceptable values.

The results obtained during computer modeling confirmed the presence of a violation of GOST requirements regarding the quality indicators of electrical energy in the specified power supply system, including the negative

sequence voltage asymmetry coefficient. An analysis of possible measures to reduce voltage asymmetry in the power supply system under study has been carried out. A reasoned choice of automatic control points (APP) has been made. The simulation results have been presented before and after installing APP. The effectiveness of using APP has been assessed.

Key words: voltage asymmetry, automatic regulation points, technical solutions, automatic blocking devices.

DOI: 10.20291/2079-0392-2023-4-84-95

К наиболее ответственным железнодорожным потребителям относятся устройства сигнализации, централизации и блокировки (СЦБ), которые необходимы для обеспечения безопасного и бесперебойного движения поездов.

Ежегодно из-за отказов в системе электроснабжения устройств СЦБ задерживается множество поездов [1]. Это свидетельствует об актуальности проблемы повышения надежности работы системы электроснабжения устройств автоблокировки [2] и необходимости улучшения качества поставляемой им электроэнергии. Особенно остро это проявляется при увеличении масс перемещающихся поездов и снижении межпоездного интервала движения [3–8].

Одно из основных требований к качеству электрической энергии – симметрия фазных напряжений. Для уменьшения несимметрии напряжений в системах электроснабжения железных дорог переменного тока рекомендуется изменение площади сечения проводов исследуемых линий, компенсация реактивной мощности, передаваемой по данным сетям, автоматическое регулирование напряжения в проблемных точках линий [9–17].

Для подробного исследования и анализа эффективности мероприятий по уменьшению несимметрии напряжения

в исследуемых системах электроснабжения необходимо применять достоверные математические модели с корректным методом моделирования. Задачу также можно решить с применением компьютерного моделирования на основе подходов, разработанных в ИргУПС [18].

Результаты экспериментальных исследований качества электроэнергии

Результаты измерения показателей качества электрической энергии, полученные на постах электрической централизации (ЭЦ) для станций ДЛ и ЗМ Восточного полигона, приведены на рис. 1 и в таблице 1.

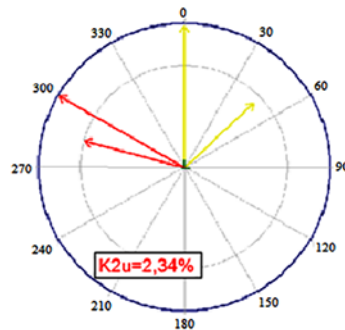


Рис. 1. Векторная диаграмма напряжений прямой и обратной последовательностей на посту ЭЦ станции ЗМ (желтый – для фазы А, красный – для фазы С)

Таблица 1

Значения медленного изменения напряжения на посту ЭЦ на станции ЗМ

Фаза	Время измерения, %	Пороговое нижнее значение, В/%	Пороговое верхнее значение, В/%
А	100	189/–14,1	244/+10,9
	95	198/–10	244/+10,9
В	100	187/–15	244/+10,9
	95	198/–10	244/+10,9
С	100	189/–14,1	244/+10,9
	95	198/–10	244/+10,9

Так, отрицательное медленное отклонение напряжения на посту ЭЦ станции ЗМ для всех трех фаз в течение 100 % времени измерения выходит за допустимый предел –10 % [19] и составляет –15 %, –14,1 %.

Значения суммарного коэффициента гармонических составляющих напряжения в течение 100 % времени измерения на посту ЭЦ станции ЗМ для напряжений фаз В и С превышают допустимый предел 12 % [18] и равны 15,6 % и 18,2 % соответственно.

Коэффициент несимметрии на посту ЭЦ станции ЗМ выходит за нормируемое значение 2 % [19] и составляет 2,34 %, а это недопустимо. Таким образом, ключевые показатели качества электрической энергии, в частности, характеризующие несимметрию напряжения в исследуемых линиях, измеренные экспериментально, не соответствуют требованиям ГОСТа. Значит, необходимо разработать объединенную комплексную модель систем внешнего и тягового электроснабжения с подключением линий автоблокировки и их нагрузок.

Разработка модели объединенной системы электроснабжения

Для исследования режимов работы системы электроснабжения железной дороги (СЭЖД) требуется разработать модели для отдельных компонентов (линии электропередачи, контактной сети, силовых трансформаторов, устройств компенсации реактивной мощности

и т.п.): для моделирования линий электропередачи необходимо учесть их электрические параметры, геометрию, длину и тип проводов, а также потери энергии при передаче, модель контактной сети должна включать в себя геометрические характеристики, материал контактов и учитывать влияние движения поездов на ее работу, для силовых трансформаторов следует создать математические модели, учитывающие их эффективность, характеристики и потери мощности, для устройств компенсации реактивной мощности нужны модели, описывающие их функциональность и влияние на сеть.

Нужен также алгоритм взаимодействия, который определит, как каждый из этих компонентов будет взаимодействовать в реальном времени, чтобы обеспечить стабильное и надежное электроснабжение железной дороги в целом и ее отдельных частей в различных режимах работы.

Для выполнения этих задач создан программно-вычислительный комплекс (ПВК) Fazonord [18], с помощью которого авторами разработана модель одного из участков системы электроснабжения Восточного полигона, с допустимой точностью описывающая все процессы, протекающие в электрических сетях.

Фрагмент разработанной модели – система внешнего, тягового и нетягового электроснабжения – представлен на рис. 2.

В системе внешнего электроснабжения электроэнергия передается по воздушным линиям (ВЛ) 220–110 кВ.

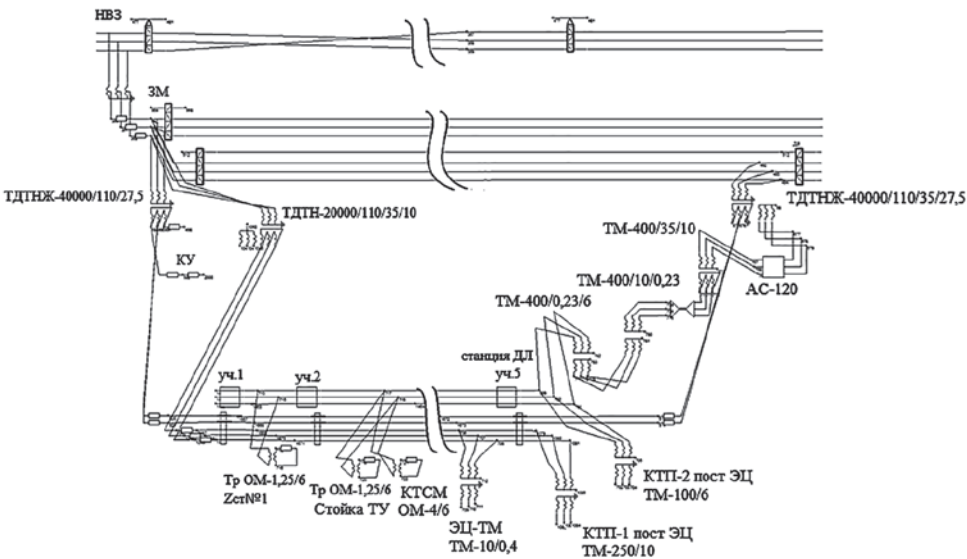


Рис. 2. Фрагмент модели системы внешнего, тягового электроснабжения и электроснабжения устройств автоблокировки

Для дополнительного отбора мощности из ВЛ 220 кВ в ВЛ 110 кВ используется автотрансформатор, в данном случае трансформатор марки АТДЦТН-250000/220/110-У1. Питание тяговой сети осуществляется от ВЛ 110 кВ через силовой трансформатор марки ТДТНЖ-40000/110/27,5 У1.

В качестве нетяговых потребителей выступают устройства СЦБ, подключенные через понижающие трансформаторы к ВЛ СЦБ 6 кВ и ВЛ продольного электроснабжения (ВЛ ПЭ) 10 кВ. Основное питание организовано от ВЛ СЦБ 6 кВ; ВЛ ПЭ 10 кВ является резервной.

Результаты исследования показателей качества электроэнергии

На этом этапе оценивались показатели качества электроэнергии в существующей системе электроснабжения устройств СЦБ в точках подключения нагрузок с помощью разработанной модели, а именно, коэффициента несимметрии напряжений по обратной последовательности при питании устройств автоблокировки от ВЛ 6 кВ.

Полученные результаты расчета представлены в таблице 2 и на рис. 3.

Из результатов, представленных в таблице 2, видим, что для объектов

Таблица 2
Значения коэффициента несимметрии напряжений по обратной последовательности K_{2U}

№ п/п	Объект	Значение K_{2U} , %		Время превышения доп. значения 2 %, мин (%)	Время превышения пред. значения 4 %, мин (%)
		в течение 95 % времени	в течение 100 % времени		
1	ЭЦ-ТМ-1	2,32	4,64	88 (62,9)	8 (5,7)
2	КТП-2	2,22	4,6	78 (55,7)	8 (5,7)
3	КТП-1	2,32	4,74	87 (62,1)	8 (5,7)
4	ЭЦ-ТМ-2	1,79	3,75	57 (40,7)	0 (0)

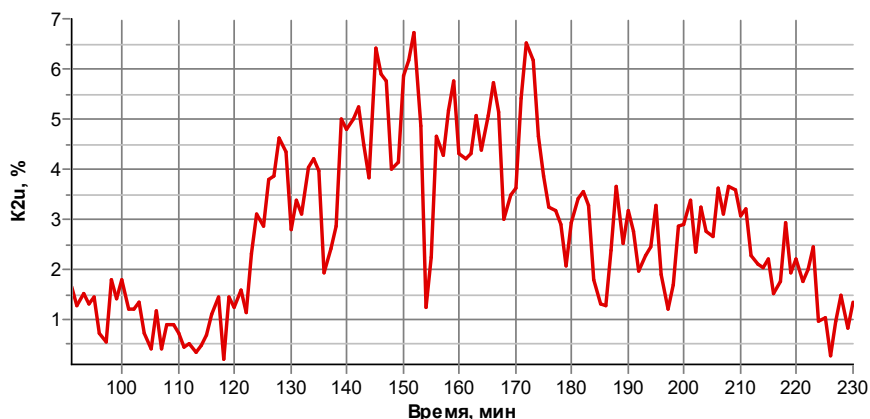


Рис. 3. Зависимость коэффициента несимметрии напряжений по обратной последовательности (K_{2U}) в течение 100 % времени измерения от времени для КТП-2

1–3 наблюдается превышение как предельного значения 4 %, так и допустимого значения 2 % коэффициента несимметрии напряжений по обратной последовательности [19]. Для объекта 4 видим превышение только времени допустимого значения 2 %. Время превышения 2 % для объекта 4 больше нормативного значения 5 %, регламентируемого [19].

На основании несоответствия исследуемого показателя качества электроэнергии допустимым значениям, регламентируемым ГОСТ 32144-2013, необходимо разработать мероприятия, обеспечивающие устранение проблемы отклонения исследуемого показателя от нормативного значения.

Разработка мероприятий по уменьшению коэффициента несимметрии напряжений по обратной последовательности

Можно применять способы уменьшения коэффициента несимметрии напряжений по обратной последовательности: замена существующих проводов линий на провода большей площади сечения, компенсация величины передаваемой реактивной мощности, применение средств автоматического регулирования напряжения на базе вольтодобавочных трансформаторов (ВДТ).

Увеличение сечения проводов линий не дает существенного уменьшения несимметрии напряжения. Даже если увеличить сечение больше, чем 0,75 %, существенного уменьшения несимметрии напряжений не произойдет [12]. К тому же, это экономически затратно.

Уменьшение передаваемой реактивной мощности можно реализовать с применением компенсирующих устройств (КУ) и источников реактивной мощности (ИРМ). Применение КУ малоэффективно, поскольку оно выполнено на пассивных элементах и настраивается на определенное значение компенсируемой мощности. Использование ИРМ ограничено их сложной структурой и высокой стоимостью [13].

Существует более простой и более дешевый способ снижения несимметрии: установка в необходимых узлах линии пунктов автоматического регулирования напряжения (ПАРН), которые, согласно [15–17], желательно применять в случаях реконструкции электрических сетей классами напряжения 6–10 кВ и при их новом строительстве для повышения их пропускной способности.

Так как в принципе действия ПАРН заложено автоматическое регулирование напряжения с помощью микропроцессорного блока, а также из-за большего экономического эффекта по



Рис. 4. Регулирование напряжения

S – высоковольтный ввод со стороны источника (sourcebushing);
L – высоковольтный ввод со стороны нагрузки (loadbushing);
SL – высоковольтный ввод общей точки (source-loadbushing)

сравнению с другими мероприятиями [16], решено использовать ПАРН для приведения значения коэффициента несимметрии напряжений по обратной последовательности в соответствие с требованиями [19].

ПАРН содержит два или три ВДТ и шкафы контроля и управления, организованные на микропроцессорной элементной базе (рис. 4). В качестве вольтодобавочного трансформатора используется однофазный автотрансформатор наружной установки с общей и последовательной обмотками. Последовательная обмотка позволяет под нагрузкой ступенчато регулировать выходное напряжение в интервале от ± 10 до ± 15 %. Для своевременного выявления изменения нагрузки и напряжения в линии в состав ПАРН включены встроенные измерительные трансформаторы тока и напряжения. Задача микропроцессорного устройства контроля и управления – управление переключателем ступеней.

ВДТ работает подобно автотрансформатору. Выходное напряжение ВДТ определяется геометрической суммой напряжений последовательной и общей обмотки и благодаря ступенчатому переключению выводов последовательной обмотки удается его регулировать. Смена полярности включения последовательной обмотки, выполняемая

реверсивным переключателем, позволяет повышать или понижать выходное напряжение.

Пределы интервала регулирования напряжения определяются количеством и схемой соединения однофазных ВДТ. Так, при соединении двух ВДТ по схеме неполного треугольника напряжение может регулироваться в пределах ± 10 %, а трех ВДТ по схеме полного треугольника – в пределах ± 15 %.

Места установки ПАРН в исследуемой схеме электроснабжения выбраны на основании величин нагрузок и их распределения вдоль линий 6 кВ. ПАРН устанавливался ближе к наиболее нагруженным участкам ВЛ потому, что на этих участках из-за больших нагрузок наблюдались провалы напряжения. Выбраны следующие места для установки ПАРН: между уч. 2 и уч. 3, между уч. 4 и уч. 5 (см. рис. 2).

На основании рассчитанных значений токов в ВЛ 6 кВ, полученных с помощью ПК Fazonord, выбран ПАРН. Результаты расчета и выбора ПАРН представлены в таблице 4, фрагмент расчетной схемы с моделью ПАРН, подключенного к ВЛ 6 кВ между уч. 2 и уч. 3, представлен на рис. 5.

Модель ПАРН состоит из трех вольтодобавочных трансформаторов. Назначение выводов одного ВДТ приведено на рис. 6.

Таблица 4

Установка	Выбор ПАРН 6 кВ			Номинальный ток ПАРН, А
	А	В	С	
Между уч. 2 и уч. 3	52,86	54,65	50,89	100
Между уч. 4 и уч. 5	89,16	85,91	83,18	100

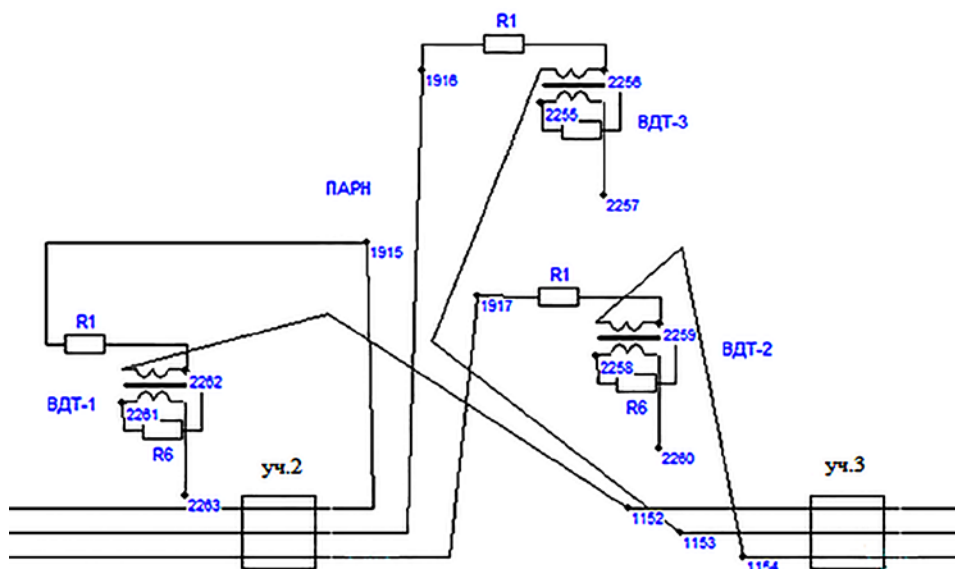


Рис. 5. Фрагмент схемы с моделью ПАРН, подключенного к ВЛ 6 кВ между уч. 2 и уч. 3

Основной элемент ВДТ – трансформатор с последовательным соединением обмоток. Так как по идеологии Fazonord соединять между собой узлы одного элемента с помощью одной соединительной линии нельзя, то для учета наличия соединительных проводов служат $R1$ – резистивный элемент с сопротивлением 0,01 Ом, $R6$ – элемент соединения обмоток трансформатора (сопротивление 0,01 Ом).

Регулировать напряжение в схемах для ВЛ 6 кВ можно с помощью изменением напряжения первичной обмотки ВДТ (рис. 7).

Автоматическое регулирование уровня напряжения в сети 6 кВ осуществляется при помощи установки балансирующих узлов по активной (P) и реактивной мощности (Q) на входе $R1$ (см. рис. 6).

Результаты моделирования при установке ПАРН представлены в таблице 5 и на рис. 8.

Из результатов, представленных в таблице 5, видно, что для всех объектов коэффициент несимметрии напряжений по обратной последовательности не превышает как предельное значение 4 %, так и допустимое значение 2 %. Поэтому следует заключить, что

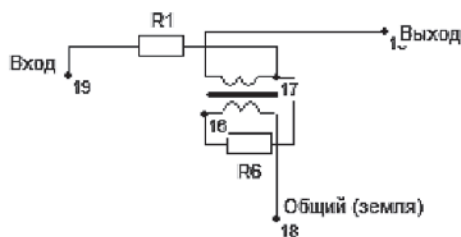


Рис. 6. Модель ВДТ

Элем.188	Обмоток	Узлов+1					
	2	5	-				
Узел N							
Кол-во							
Узлы	654-1764	1763-1765					
Уном	Uвн	Uнн					
кВ	0,3	3,5					
Укз, Ркз	Uвн-нн	Рвн-нн					
%, кВт	5,5	12					
Параметр	ix, %	Pх, кВт	Sn, МВА		Вс, Тл	S1, кв.м	L1, м
Значения	1,4	2,5	1,25		1,6	0,5	2

Рис. 7. Параметры ВДТ

Таблица 5

Значения коэффициента несимметрии напряжений по обратной последовательности K_{2U}

Наименование	Значение K_{2U} , %		Время превышения доп. значения 2 %, мин (%)	Время превышения пред. значения 4 %, мин (%)
	в течение 95 % времени	в течение 100 % времени		
ЭЦ-ТМ-1	0,01	0,01	0 (0)	0 (0)
КТП-2	0,7	1,75	0 (0)	0 (0)
КТП-1	1,35	1,35	0 (0)	0 (0)
ЭЦ-ТМ-2	0,01	0,01	0 (0)	0 (0)



Рис. 8. Зависимость коэффициента несимметрии напряжений по обратной последовательности (K_{2U}) в течение 100 % времени измерения от времени на стороне 0,38 кВ для КТП-2

внедрение ПАРН на рассматриваемом участке целесообразно.

Заключение

Итак, включение ПАРН в линию автоблокировки уменьшает несимметрию

напряжения до допустимых значений, регламентируемых нормативной документацией [19]. Поэтому данное техническое мероприятие рекомендуется к внедрению на проблемных с точки зрения качества электрической энергии в системе электроснабжения

автоблокировки участках Восточного полигона и на сети отечественных железных дорог в целом.

Такое техническое решение повысит надежность работы устройств автоблокировки и безопасность перевозочного процесса, сократит экономический

ущерб от потенциального (в случае отказов устройств автоблокировки) простоя поездов, значительно улучшит экономические показатели работы не только системы тягового электроснабжения железных дорог, но и всей железнодорожной инфраструктуры [20–23]. ■

Литература

1. Закарюкин В. П., Крюков А. В., Любченко И. А., Черепанов А. В. Повышение качества электроэнергии в системах электроснабжения устройств СЦБ железных дорог переменного тока. Иркутск : Иркутский государственный университет путей сообщения, 2019. – 172 с. ISBN 978-5-98710-374-6.
2. Сай В. М., Брусянин Д. А. Моделирование функциональной безопасности как составной части системы безопасности движения поездов // Транспорт Урала. 2005. № 3 (6). С. 25–32. ISSN 1815-9400.
3. Пузина Е. Ю. Усиление системы тягового электроснабжения участка Чуро – Таксимо ВСЖД // Транспорт: наука, образование, производство : труды Международн. научн.-практ. конф. – Ростов-на-Дону : Ростовский государственный университет сообщения, 2016. С. 306–310. ISBN 978-5-88814-446-6.
4. Брылев В. А., Пузина Е. Ю. Усиление систем внешнего и тягового электроснабжения на участке Тайшет – Тулун с учетом перспективных объемов перевозки грузов // Молодая наука Сибири. 2020. № 2 (8). С. 162–170. ISSN 2658-610X.
5. Емелина Н. В., Аккерман Г. Л. Развитие тяжеловесного движения в России и мире: проблемы и перспективы // Инновационный транспорт. 2022. № 1 (43). С. 59–63. ISSN 2311-164X.
6. Куцый А. П., Овечкин И. С., Галков А. А. Повышение пропускной способности участка Якурим – Киренга для обеспечения графика движения поездов с максимальной массой 7100 т // Молодая наука Сибири. 2022. № 2 (16). С. 166–174. ISSN 2658-610X.
7. Рожкин Б. В. Оценка готовности устройств автоматики к пропуску тяжеловесных поездов // Транспорт Урала. 2016. № 1 (48). С. 61–65. ISSN 1815-9400.
8. Куцый А. П., Овечкин И. С., Галков А. А. Повышение пропускной способности участка Якурим – Киренга для обеспечения тяги двоянных электроподвижных составов массой 14200 т. // Молодая наука Сибири. 2022. № 2 (16). С. 137–149. ISSN 2658-610X.
9. Белицын И. В. Методы и способы уменьшения несимметрии напряжения воздушной линии электропередачи // Прикладные и теоретические исследования : сб. ст. Международн. научн.-практ. конф. – Самара : ООО «Центр научных исследований и консалтинга», 2017. С. 27. ISBN 978-5-9500398-6-7.
10. Попов А. Н. Повышение качества электроэнергии в сетях промышленных предприятий за счет уменьшения несимметрии фазных напряжений // Электронный физико-технический журнал. 2011. Т. 6. С. 26–35. ISSN 2076-9180.
11. Волоцкий А. М., Зорин В. В., Бурбело М. И. Оценка взаимного влияния статических характеристик узла нагрузки и оптимальных решений задач уменьшения несимметрии и отклонений напряжений // Техническая электродинамика. 2009. № 1. С. 35–37. ISSN 0204-3599.
12. Степанов В. М., Базыль И. М., Ключникова А. Ю. Повышение эффективности работы электрических сетей за счет снижения несимметрии напряжения // Известия Тульского государственного университета. Технические науки. 2021. № 12. С. 8–11. ISSN 2071-6168.
13. Третьяков Е. А. Управление качеством электрической энергии в распределительных сетях железных дорог. Омск : Изд-во ОмГУПС, 2013. 192 с. ISBN 978-594941080-6.
14. Балабанов М. С., Хамитов Р. Н. FACTS-устройства. Выбор при проектировании электрооборудования предприятий. Омск, 2015. 184 с. ISBN 978-5-8149-2060-7.
15. Макаров Е. Ф. Справочник по электрическим сетям 0,4–35 кВ и 110–1150 кВ / Е. Ф. Макаров; под редакцией И. Т. Горюнова, А. А. Любимова. – М. : Папирус Про, 2003. – 650 с. ISBN 5-901054-27-X.

16. Перинский Т. В. Опыт эксплуатации пункта автоматического регулирования напряжения в распределительных сетях 6–10 кВ / Т. В. Перинский, О. С. Родионов // *Электротехника, электроэнергетика, электротехническая промышленность*. 2009. № 3. С. 33–35. ISSN 1995-5685.
17. Ахметшин А. Р. Выбор оптимального технического решения для обеспечения нормативного уровня напряжения в распределительных сетях 0,4–10 кВ / А. Р. Ахметшин, Э. Ю. Абдуллазянов // *Вестник ИрГТУ*. 2011. № 6. С. 113–118. ISSN 1814-3520.
18. Закарюкин В. П., Крюков А. В. Методы совместного моделирования систем тягового и внешнего электроснабжения железных дорог переменного тока. Иркутск: Изд-во ИрГУПС, 2011. 160 с. ISBN 978-5-98710-191-9.
19. ГОСТ 32144-2013. Электрическая энергия. Совместимость технических средств электромагнитная. Нормы качества электрической энергии в системах электроснабжения общего назначения. – М.: Стандартинформ, 2014. 20 с.
20. Долгов А. П., Кандаков С. А., Закарюкин В. П. Улучшение качества электроэнергии в системах внешнего электроснабжения железных дорог Восточной Сибири // *Электрификация и развитие инфраструктуры энергообеспечения тяги поездов на железнодорожном транспорте*. – СПб, 2011. С. 37–38. ISBN 978-5-7641-0438-6.
21. Каимов Е. В., Оленцевич В. А., Власова Н. В. Проблемы формирования, развития и реконструкции элементов инфраструктурного комплекса железных дорог // *Образование – наука – производство : м-лы VI Всеросс. научн.-практ. конф. (с международным участием) : в 2-х томах*. – Чита. 2022. С. 288–296. ISBN 978-5-6048127-5-4.
22. Распутина А. В., Буньковский В. И., Старков Р. Ф., Вязников В. Е. Оценка финансового обеспечения технологических инноваций для развития региональных экономических систем // *Экономика и управление: проблемы, решения*. 2023. Т. 1. № 7 (139). С. 57–63. ISSN 2227-3891.
23. Булатов Ю. Н., Крюков А. В., Черепанов А. В., Нгуен К. Х. Уменьшение несимметрии и гармонических искажений на подстанциях, подключенных к линиям электропередачи 25 кВ, использующим рельсы в качестве токоведущей части // *Системы. Методы. Технологии*. 2022. № 3 (55). С. 58–65. ISSN 2077-5415.

References

1. Zakaryukin V. P., Kryukov A. V., Lyubchenko I. A., Cherepanov A. V. Improving the quality of electricity in the power supply systems for AC railway signaling devices. Irkutsk: Irkutsk State Transport University [Povyshenie kachestva elektroenergii v sistemah elektrosnabzheniya ustroystv SCB zheleznnyh dorog peremennogo toka. Irkutsk : Irkutskij gosudarstvennyj universitet putej soobshcheniya], 2019. – 172 p. ISBN 978-5-98710-374-6.
2. Sai V. M., Brusyanin D. A. Modeling of functional safety as an integral part of the train traffic safety system // *Transport of the Urals [Modelirovanie funkcional'noj bezopasnosti kak sostavnoj chasti sistemy bezopasnosti dvizheniya poezdov]*. 2005. № 3 (6). Pp. 25–32. ISSN 1815-9400.
3. Puzina E. Yu. Strengthening the traction power supply system of the Churo - Taksimo section of the Eastern Railway // *Transport: science, education, production: proceedings of International. scientific and practical conf. – Rostov-on-Don: Rostov State University of Transport [Usilenie sistemy tyagovogo elektrosnabzheniya uchastka CHuro – Taksimo VSZHD // Transport: nauka, obrazovanie, proizvodstvo : trudy Mezhdunarodn. nauchn.-prakt. konf. – Rostov-na-Donu : Rostovskij gosudarstvennyj universitet soobshcheniya]*, 2016. Pp. 306–310. ISBN 978-5-88814-446-6.
4. Brylev V. A., Puzina E. Yu. Strengthening external and traction power supply systems on the Taishet – Tulun section, taking into account promising volumes of cargo transportation // *Young Science of Siberia [Usilenie sistem vneshnego i tyagovogo elektrosnabzheniya na uchastke Tajshet – Tulun s uchetom perspektivnyh ob"emov perevozki грузов // Molodaya nauka Sibiri]*. 2020. № 2(8). Pp. 162–170. ISSN 2658-610X.
5. Emelina N. V., Akkerman G. L. Development of heavy haul traffic in Russia and the world: problems and prospects // *Innovative transport [Razvitie tyazhelovesnogo dvizheniya v Rossii i mire: problemy i perspektivy // Innovacionnyj transport]*. 2022. № 1 (43). Pp. 59–63. ISSN 2311-164X.
6. Kutsyy A. P., Ovechkin I. S., Galkov A. A. Increasing the capacity of the Yakurim – Kirenga section to ensure the schedule of trains with a maximum weight of 7100 tons // *Young*

- Science of Siberia [Povyshenie propusknnoj sposobnosti uchastka YAkurim – Kirenga dlya obespecheniya grafika dvizheniya poezdov s maksimal'noj massoj 7100 t // Molodaya nauka Sibiri]. 2022. № 2 (16). Pp. 166–174. ISSN 2658-610X.
7. Rozhkin B. V. Automation Readiness Assessment for the passage of heavy trains // Transport of the Urals [Ocenka gotovnosti ustroystv avtomatiki k propusku tyazhelovesnyh poezdov // Transport Urala]. 2016. № 1 (48). Pp. 61–65. ISSN 1815-9400.
8. Kutsyy A. P., Ovechkin I. S., Galkov A. A. Increasing the capacity of the Yakurim – Kirenga section to ensure traction of dual electric rolling stock weighing 14,200 tons // Young Science of Siberia [Povyshenie propusknnoj sposobnosti uchastka YAkurim – Kirenga dlya obespecheniya tyagi sdvoennyh elektropodvizhnyh sostavov massoj 14200 t. // Molodaya nauka Sibiri]. 2022. № 2 (16). Pp. 137–149. ISSN 2658-610X.
9. Belitsyn I. V. Methods and methods for reducing voltage asymmetry of an overhead power line // Applied and theoretical research: Col. International scientific and practical conf. – Samara: LLC «Center for Scientific Research and Consulting» [Metody i sposoby umen'sheniya nesimmetrii naprya-zheniya vozduшной linii elektroperedachi // Prikladnye i teoreticheskie is-sledovaniya : sb. st. Mezhdunarodn. nauchn.-prakt. konf. – Samara : ООО «Centr nauchnyh issledovaniy i konsaltinga»], 2017. P. 27. ISBN 978-5-9500398-6-7.
10. Popov A. N. Improving the quality of electricity in the networks of industrial enterprises by reducing the asymmetry of phase voltages // Electronic physical and technical journal [Povyshenie kachestva elektroenergii v setyah promysh-lennyh predpriyatij za schet umen'sheniya nesimmetrii faznyh napryazhenij // Elektronnyy fiziko-tehnicheskij zhurnal]. 2011. V. 6. Pp. 26–35. ISSN 2076-9180.
11. Volotsky A. M., Zorin V. V., Burbelo M. I. Assessing the mutual influence of the static characteristics of the load node and optimal solutions to the problems of reducing asymmetry and voltage deviations // Technical Electrodynamics [Ocenka vzaimnogo vliyaniya staticheskikh harakteristik uzla nagruzki i optimal'nyh reshenij zadach umen'sheniya nesimmetrii i otklonenij napryazhenij // Tekhnicheskaya elektrodinamika]. 2009. № 1. Pp. 35–37. ISSN 0204-3599.
12. Stepanov V. M., Bazyl I. M., Klyuchnikova A. Yu. Increasing the efficiency of electrical networks by reducing voltage asymmetry // News of the Tula State University. Technical science [Povyshenie effektivnosti raboty elektricheskikh setej za schet snizheniya nesimmetrii napryazheniya // Izvestiya Tul'skogo gosudarstvennogo universiteta. Tekhnicheskije nauki]. 2021. № 12. Pp. 8–11. ISSN 2071-6168.
13. Tretyakov E. A. Electrical energy quality management in railway distribution networks. Omsk: Publishing house OSTU [Upravlenie kachestvom elektricheskoy energii v raspredelitel'nyh setyah zheleznnyh dorog. Omsk : Izd-vo OmGUPS], 2013. 192 p. ISBN 978-594941080-6.
14. Balabanov M. S., Khamitov R. N. FACTS devices. Choice when designing electrical equipment of enterprises. Omsk [FACTS-ustrojstva. Vybory pri proektirovanii elektrooborudovaniya predpriyatij], 2015. 184 p. ISBN 978-5-8149-2060-7.
15. Makarov E. F. Handbook on electrical networks 0.4–35 kV and 110–1150 kV / E. F. Makarov; edited by I. T. Goryunova, A. A. Lyubimova [Spravochnik po elektricheskim setyam 0,4–35 kV i 110–1150 kV / E. F. Makarov; pod redakciej I. T. Goryunova, A. A. Lyubimova]. – M.: Papyrus Pro, 2003.– 650 p. ISBN 5-901054-27-X.
16. Perinsky T. V. Experience in operating an automatic voltage regulation point in distribution networks 6–10 kV / T. V. Perinsky, O. S. Rodionov // Electro. Electrical engineering, electrical power engineering, electrical industry [Opyt ekspluatatsii punkta avtomaticheskogo regulirovaniya napryazheniya v raspredelitel'nyh setyah 6–10 kV / T. V. Perinskij, O. S. Rodionov // Elektro. Elektrotehnika, elektroenergetika, elektrotehnicheskaya promyshlennost']. 2009. № 3. Pp. 33–35. ISSN 1995-5685.
17. Akhmetshin A. R. Selection of the optimal technical solution to ensure the standard voltage level in distribution networks 0.4–10 kV / A. R. Akhmetshin, E. Yu. Abdullazyanov // Bulletin of ISTU [Vybory optimal'nogo tekhnicheskogo resheniya dlya obespecheniya normativnogo urovnya napryazheniya v raspredelitel'nyh setyah 0,4–10 kV / A. R. Akhmetshin, E. Yu. Abdullazyanov // Vestnik IrGTU]. 2011. № 6. Pp. 113–118. ISSN 1814-3520.
18. Zakaryukin V. P., Kryukov A. V. Methods for joint modeling of traction and external power supply systems for AC railways. Irkutsk: Irkutsk State Transport University Publishing House [Metody sovmestnogo modelirovaniya sistem tyagovogo i vneshnego

- elektrosnabzheniya zheleznih dorog peremennogo toka. Irkutsk: Izd-vo IrGUPS], 2011. 160 p. ISBN 978-5-98710-191-9.
19. GOST 32144-2013. Electric Energy. Electromagnetic compatibility of technical equipment. Standards for the quality of electrical energy in general-purpose power supply systems [Elektricheskaya energiya. Sovmestimost' tekhnicheskikh sredstv elektromagnitnaya. Normy kachestva elektricheskoy energii v sistemah elektrosnabzheniya obshchego naznacheniya]. – M. : Standartinform, 2014. 20 p.
 20. Dolgov A. P., Kandakov S. A., Zakaryukin V. P. Improving the quality of electricity in external power supply systems for railways in Eastern Siberia // Electrification and development of energy supply infrastructure for train traction on railway transport. – St. Petersburg, 2011 [Uluchshenie kachestva elektroenergii v sistemah vneshnego elektrosnabzheniya zheleznih dorog Vostochnoj Sibiri // Elektrifikatsiya i razvitie infrastruktury energoobespecheniya tyagi poezdov na zheleznodorozhnom transporte]. Pp. 37–38. ISBN 978-5-7641-0438-6.
 21. Kaimov E. V., Olentsevich V. A., Vlasova N. V. Problems of formation, development and reconstruction of elements in the infrastructure complex for railways // Education – Science – Production: materials of the VI National scientific and practical conf. (with international participation): in 2 volumes. – Chita [Problemy formirovaniya, razvitiya i rekonstrukcii elementov infrastrukturnogo kompleksa zheleznih dorog // Obrazovanie – nauka – proizvodstvo : m-ly VI Vseross. nauchn.-prakt. konf. (s mezhdunarodnym uchastiem) : v 2-h tomah]. 2022. Pp. 288–296. ISBN 978-5-6048127-5-4.
 22. Rasputina A. V., Bunkovsky V. I., Starkov R. F., Vyaznikov V. E. Assessment of financial support for technological innovations for the development of regional economic systems // Economics and management: problems, solutions [Ocenka finansovogo obespecheniya tekhnologicheskikh innovatsij dlya razvitiya regional'nyh ekonomicheskikh sistem // Ekonomika i upravlenie: problemy, resheniya]. 2023. V. 1. № 7 (139). Pp. 57–63. ISSN 2227-3891.
 23. Bulatov Yu.N., Kryukov A. V., Cherepanov A. V., Nguyen K. H. Reducing asymmetry and harmonic distortion at substations connected to 25 kV power lines using rails as a current-carrying part // Systems. Methods. Technologies [Umen'shenie nesimmetrii i garmonicheskikh iskazhenij na podstanciyah, podklyuchennykh k liniyam elektroperedachi 25 kV, ispol'zuyushchim rel'sy v kachestve tokovedushchej chasti // Sistemy. Metody. Tekhnologii]. 2022. № 3 (55). Pp. 58–65. ISSN 2077-5415.

Статья сдана в редакцию 28 сентября 2023 года

Организация и логистика

УДК 656.078.12:658.78:334

Н. В. Курганова, А. А. Сазонов

Управление складской логистикой с организацией частичного фулфилмента в системе смешанных перевозок

UDC 656.078.12:658.78:334

N. V. Kurganova, A. A. Sazonov

Warehouse logistics management with the organization of partial fulfillment in the multimodal transport system

Аннотация

Исследовано управление складской логистикой производственно-коммерческой организации, установлены возможные риски и причины замедления темпов развития, продемонстрированы риски и угрозы для логистического потока, определено место логистическим компетенциям в системе смешанных перевозок, разработана оценочная система показателей складской логистики, параметры и единицы измерения каждого направления складской компетентности.

Определена роль частичного фулфилмента логистических компетенций смешанных перевозок в структуре складской логистики. Предложены разработанные

показатели учета и оценке деятельности складской логистики, позволяющие обеспечить прозрачность и своевременную реакцию как на внешние изменения, так и на внутренние, в том числе с учетом динамики роста или сезонный характер влияния этих факторов. Это позволяет обеспечить полный контроль функциональной логистической компетентности организации в части складской логистики и оптимально перераспределять ресурсы для достижения максимальных результатов, а также получить наилучшие показатели работы при сравнительном сопоставлении данных. Представлен анализ системы показателей эффективности складской логистики,

логистических затрат в соотношении с достигнутыми результатами собственных складских компетенций и фулфилмента складских услуг, экономическое обоснование частичного фулфилмента.

Предложена схема оптимальной структуры управления складскими логистическими процессами. Представлено обоснование оптимального выбора и результатов синергетического эффекта как для производственно-коммерческой организации, так и для конечного потребителя.

Ключевые слова: система смешанных перевозок, складская компетентность, матрица оценочных показателей, фулфилмент складской

Статья рекомендована к публикации М. А. Журавской, канд. техн. наук. E-mail: MZhuravskaya@usurt.ru.

Алексей Александрович Сазонов, канд. экон. наук, директор по логистике ООО «Сим-Авто»; Москва, Россия. E-mail: sazaalex@mail.ru. ORCID 0009-0007-5766-945X.

Надежда Владимировна Курганова, аспирант кафедры УТБИИС ИУЦТ ФГБОУ ВО «Российский университет транспорта (МИИТ)»; Москва, Россия. E-mail: kurganovanadya@inbox.ru. ORCID 0009-0000-4131-8750.

© А. А. Сазонов, Н. В. Курганова, 2023

The article is recommended for publication by M. A. Zhuravskaya, Candidate of Technical Sciences. E-mail: MZhuravskaya@usurt.ru.

Alexey Alexandrovich Sazonov, Candidate of Economic Sciences, Director of Logistics, LLC «Sim-Auto»; Moscow, Russia. E-mail: sazaalex@mail.ru. ORCID 0009-0007-5766-945X.

Nadezhda Vladimirovna Kurganova, Post-graduate student of the Department of UTBIIS IUTST of the Russian University of Transport (MIIT); Moscow, Russia. E-mail: kurganovanadya@inbox.ru. ORCID 0009-0000-4131-8750.

© A. A. Sazonov, N. V. Kurganova, 2023

логистики, частичный фулфилмент, оптимизация логистических затрат, объединенная структура управления.

DOI: 10.20291/2079-0392-2023-4-96-102

Abstract

The management of warehouse logistics of the production and commercial organization is studied. Possible risks and reasons for slowing down the pace of development are identified, risks and threats to the logistics flow are demonstrated, the place of logistics competencies in the multimodal transportation system is determined, an evaluation system of warehouse logistics indicators, parameters and units of measurement of each direction of warehouse competence is developed.

The role of partial fulfillment of logistics competencies

of multimodal transportation in the structure of warehouse logistics is determined. The developed indicators of accounting and evaluation of warehouse logistics activities are proposed to ensure transparency and timely response to both external and internal changes, including taking into account the dynamics of growth or the seasonal nature of the influence of these factors. This makes it possible to ensure full control of the functional logistics competence of the organization in terms of warehouse logistics and optimally redistribute resources to achieve maximum results, as well as to obtain the best performance indicators when comparing data. The analysis of the system of indicators of the efficiency of warehouse logistics, logistics costs in relation to the

achieved results of own warehouse competencies and fulfillment of warehouse services, the economic justification of partial fulfillment are presented.

The scheme of the optimal management structure of warehouse logistics processes is proposed. The substantiation of the optimal choice and the results of the synergetic effect for both the production and commercial organization and the end user is presented.

Keywords: multimodal transportation system, warehouse competence, matrix of evaluation indicators, fulfillment of warehouse logistics, partial fulfillment, optimization of logistics costs, unified management structure.

DOI: 10.20291/2079-0392-2023-4-96-102

В настоящее время отношение к складу как функции хранения материальных производственных запасов меняется. Склад теперь – это центр соответствующих логистических компетенций, расширивший сферу прикладного применения; это значит, что при росте организации, товарооборота, объема хранимой продукции и количества номенклатуры актуален вопрос об оптимальном управлении складскими потоками с минимальным уровнем логистических затрат и высоким уровнем клиентоориентированности.

При динамичном развитии компании (в структуру которой входят обеспечение складской логистики и транспортно-экспедиционные услуги) встает вопрос: в каком направлении развивать складские компетенции? Оптимальное как с точки зрения минимизации логистических затрат, так и с точки зрения обеспечения управляемости процессом решение – расширение складских помещений, дополнительное приобретение

стеллажной системы и складского оборудования, прием дополнительного персонала. Но из-за провала рождаемости в 2000-х гг. и известных событий последнего года численность работоспособного населения снизилась. В таких условиях оптимальным решением для организации становится совместная структура управления складской логистической компетентностью, когда при сохранении собственной складской логистики добавляется контроль логистической компетентности, переданной на аутсорсинг в части организации приемки, хранения, отгрузки продукции.

Объединенная организационная структура – это формализованное отображение системы управления и координации функциональных компетенций, подразделений и персонала в организации, включающая симбиоз управления собственными ресурсами и управление компетенциями, переданными на аутсорсинг. Такая структура

управления логистическими компетенциями включает фулфилмент* складской логистики. При этом необходимо обеспечивать баланс между объемами оказываемых услуг, затратами и контролем выполнения складских функций с помощью оценочных показателей эффективности.

Основные требования для подрядчика фулфилмента складской логистики: наличие современных складских комплексов класса А, возможность оказания 3PL-услуг (разгрузка и приемка товара, адресное хранение, комплектация по заявкам, отгрузка) в городах России численностью более 700 тыс. чел., возможность оперативной организации «с нуля» складских услуг во всех городах присутствия, работа, адаптированная под требования клиента, обеспечение возможности работы 24/7 по показателям эффективности заказчика, централизация предоставления комплекса услуг 3PL в «едином окне» (хранение и обработка), предоставление услуг для верификационных сфер бизнеса, использование адаптивной системы управления складом.

В структуру фулфилмента включены выгрузка продукции на складе, приемка продукции и маркировка (при необходимости), размещение на складе и хранение, обработка заказов, комплектация, упаковка, организация доставки, отгрузка, рекламационная деятельность.

Частичный фулфилмент складских компетенций – это комплекс логистических складских операций и организация транспортной логистики, переданных подрядной организации и оплачиваемых как услуги по выполнению утвержденного объема работ.

Фулфилмент складской логистики вместе с объединенной организационной структурой позволяет организации оптимизировать часть затрат на содержание собственного склада, обеспечить

быстрый рост в любом регионе присутствия, сократить налоговые риски, оперативно варьировать складскими затратами в зависимости от объема спроса, перенести ответственность за работу с товаром на подрядчика, привлечь квалифицированный персонал, использовать только профессиональное оборудование и технику при складской обработке, обеспечить учет в WMS-системе, адаптированной к системе учета клиента, исключить зависимость развития компании от ограниченности ресурсов (складские площади, оборудование, персонал), сохранить контроль над грузооборотом и его доставкой.

Для управляемости системы необходим контроль основных показателей, характеризующих эффективность складской логистики (таблица).

Особо требуют внимания общие расходы на складскую логистику, которые состоят из затрат на организацию собственной складской логистики, транспортные издержки на доставку продукции и услуги фулфилмента. В свою очередь, затраты на организацию собственной складской логистики включают в себя затраты на фонд оплаты труда, включая налоги, медосмотры, организацию питания сотрудников, тару, упаковку, спецодежду, канцтовары, результаты инвентаризации и налоги на оприходование излишков, либо списание недостач, аренду, Интернет, уборку склада, вывоз мусора, охрану, амортизацию, ремонт помещений. Общая характеристика работы складской логистики отражается в показателе объема обработанной продукции (принятой, обработанной, отгруженной), а также объеме продукции, хранящейся на складе, и объеме доставленной клиентам. Все показатели работы измеряются как в рублях, так и штуках, документах, строках в документах, позиций (SKU).

* Фулфилмент – это комплекс логистических операций, выполняемый посредством предоставления услуг транспортно-складской логистики сторонней организацией и полностью обеспечивающий потребности заказчика услуги в складской логистике, транспортной логистике и клиентском сервисе.

Оценочные показатели складской логистики

Показатель	Единица измерения				
	тыс. руб.	штуки (ед.)	позиции (SKU)	сроки	доку- менты
Общие затраты на складскую логистику	+				
Затраты на организацию собственной складской логистики	+				
ФОТ	+				
Медосмотр	+				
Питание сотрудников	+				
Тара, упаковка, спецодежда, канцтовары	+				
Результат инвентаризации	+				
Аренда	+				
Интернет	+				
Уборка склада	+				
Вывоз мусора	+				
Охрана	+				
Амортизация	+				
Прочие					
Ремонт помещения	+				
Затраты на услуги фулфилмента	+				
Затраты на доставку продукции (транспортные затраты)	+				
Общая характеристика работы складской логистики	+	+	+	+	+
Объем продукции	+	+	+	+	+
Объем продукции (МПЗ) принятых	+	+	+	+	+
Объем продукции (МПЗ) обработанных	+	+	+	+	+
Объем продукции (МПЗ) отгруженных	+	+	+	+	+
Период обработки	+	+	+	+	+
Объем доставленной клиентам продукции	+	+	+	+	+
Общие запасы продукции на складе	+	+	+	+	+
Общие относительные оценочные показатели работы складской логистики	+	+	+	+	+
Коэффициент эффективности затрат доставки	+	+	+	+	+
Коэффициент эффективности затрат логистической компетенции на 1 ед.	+	+	+	+	+
Коэффициент эффективности затрат собственной складской логистики на 1 ед.	+	+	+	+	+
Коэффициент эффективности затрат частичного фулфилмента на 1 ед.	+	+	+	+	+

Рассчитать эффективность затрат ($\Theta_{3П}$) на доставку можно согласно формуле

$$\Theta_{3П} = \frac{З_Д}{С_Г} \cdot 100\%,$$

где $\Theta_{3П}$ – коэффициент эффективности доставки; $З_Д$ – сумма транспортных затрат на доставку; $С_Г$ – стоимость перевозимого груза.

Аналогично рассчитываются коэффициенты эффективности затрат логистической компетенции общего показателя и показателя частичного фулфилмента по необходимому для сравнения направлениям (по количеству штук или номенклатурным позициям (sku) или количеству обработанных документов, или строк в документах). Этот анализ необходим для контроля и управляемости логистической компетенцией организации и нахождения необходимых долей перераспределения объемов работ между собственной складской логистикой и частичным фулфилментом. На основании сравнительных коэффициентов можно выделять и перераспределить

доли между обработкой и хранением продукции (рис. 1).

При увеличении объемов хранящейся на складе продукции растут и логистические расходы на хранение в месяц к остаткам склада на конец месяца, % (рис. 2).

Здесь наблюдается замедление темпов роста затрат расходов на обработку 1 шт., руб., при росте количества обрабатываемых запасов в штуках, что отражает рис. 3.

На основании анализа можно сделать вывод о безусловной выгоде частичного фулфилмента и необходимости перехода на полноценный фулфилмент с передачей всей складской логистики на аутсорсинг. Тем не менее это не совсем корректно, если рассматривать данные с точки зрения общефункциональной складской логистики, не деля на обработку и хранение (рис. 4).

Таким образом, анализ общих затрат на обработку 1 шт. в денежном эквиваленте (руб.) показывает, что собственная логистика имеет постоянный и прогнозируемый уровень затрат, не подверженный резким колебаниям



Рис. 1. Совместная структура управления складской логистикой



Рис. 2. Зависимость объема хранящейся продукции и затрат на хранение

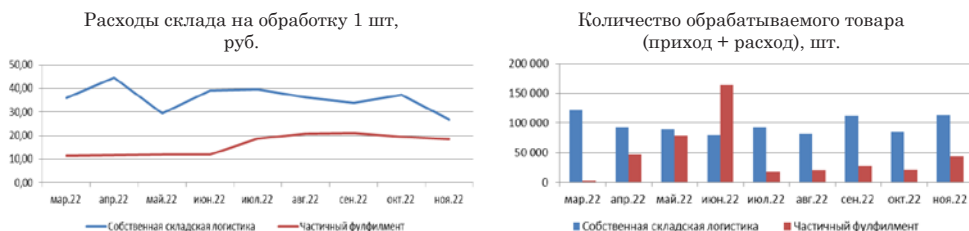


Рис. 3. Зависимость количества и затрат на обработку 1 шт.

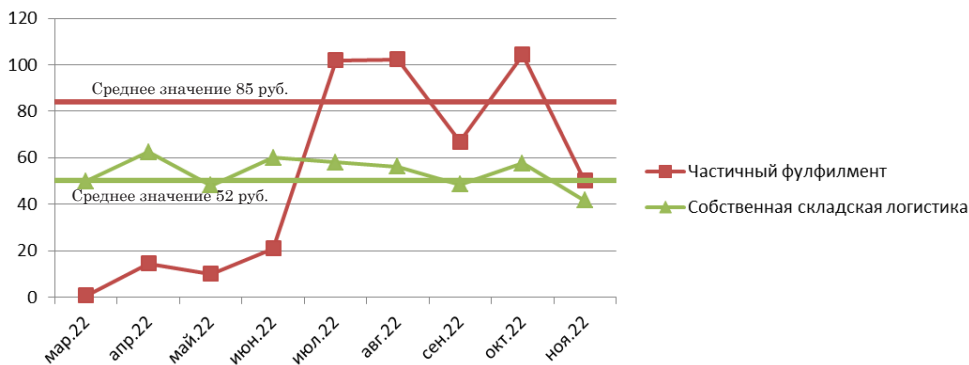


Рис. 4. Общие расходы на обработку 1 шт., руб.

и внешним воздействиям. В рассматриваемый период среднее значение составляет 52 руб./шт., а частичный фулфилмент имеет большую изменчивость с более высокой стоимостью обработки (среднее значение составило 85 руб.), что служит характеристикой начального этапа запуска совместной структуры управления складской логистикой.

С точки зрения коэффициента эффективности доставки, при организации работ с частичным фулфилментом целесообразно сравнить данные по отношению к аналогичному периоду прошлого года. Так, в 2021 г. внутренний норматив коэффициента эффективности

установлен на уровне 1,5 %, при этом среднее значение составило 1,49 %. С момента введения частичного фулфилмента норматив коэффициента доставки был ужесточен до 1,2 %, что обусловлено необходимостью более строгого контроля за транспортными затратами. По итогам рассматриваемого периода средний коэффициент эффективности составил 1,11 %, что также в пределах заданного параметра (рис. 5). Здесь показателен тренд на ухудшение показателя эффективности, так как необходимо увеличить количество точек погрузки при доставке, а это влечет рост тарифа перевозки и, как следствие, ухудшает коэффициент эффективности.

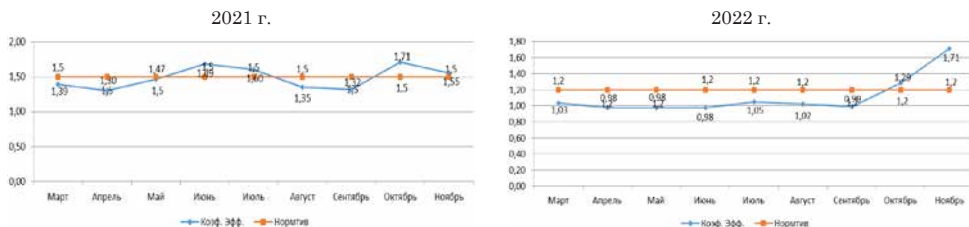


Рис. 5. Сравнительный анализ коэффициента эффективности доставок

Фулфилмент и частичный фулфилмент логистических компетенций в смешанных перевозках, будучи денежно-емким и затратным направлением, требует тщательного контроля и управления. Авторский взгляд на эту проблему и предложенные показатели учета и оценки деятельности складской логистики позволят обеспечить прозрачность и своевременную реакцию на внешние и внутренние изменения, учитывая динамику роста или сезонный характер их влияния. При этом

инновационный подход в части реализации совместной структуры управления собственной складской логистикой и частичным фулфилментом обеспечит полный контроль функциональной логистической компетентности организации в части складской логистики, позволит оптимально перераспределять ресурсы для достижения максимальных результатов и получить наилучшие показатели работы при сравнительном сопоставлении данных. ■

Литература

1. Курганова Н. В., Сазонов, А. А. Влияние внешних факторов как ключевого элемента глобальной трансформации логистических потоков в смешанных перевозках // Транспортное дело России. – 2023. – № 2. – С. 184–186. ISSN 2072-8689.
2. Лукиных М. И. Стратегический потенциал организации. URL: <http://publishing-vak.ru>. (дата обращения: 08.06.2023).
3. Пустохина И. В. Современные тенденции развития логистики. – М. : Российский экономический университет им. Г. В. Плеханова, 2017. С. 339– 345. ISSN 1994-6937 ; eISSN 2409-4420.
4. Сазонов А. А., Шумаев В. А. Синхрологистика как определяющий фактор эффективности функционирования организации. URL: <https://grebennikon.ru/article-zczf.html> (дата обращения: 08.06.2023).
5. Сазонов А. А. Логистика как эффективная технология управления // Экономика и управление в машиностроении. – 2015. – № 5. – С. 15–18. ISSN 2072-0890.

Referens

1. Kurganova N. V., Sazonov, A. A. The influence of external factors as a key element of the global transformation of logistics flows in multimodal transport // Transport business of Russia. [Vliyanie vneshnih faktorov kak klyuchevogo elementa global'noj transformacii logisticheskikh potokov v smeshannyh perevozkah // Transportnoe delo Rossii]. 2023. – № 2. – Pp. 184–186. ISSN 2072-8689.
2. Lukinyh M. I. Strategic potential of the organization. [Strategicheskij potencial organizacii] URL: <http://publishing-vak.ru>. (access date: 08.06.2023).
3. Pustohina I. V. Modern trends in the development of logistics. – M. : Plekhanov Russian University of Economics, [Sovremennye tendencii razvitiya logistiki. – M. : Rossijskij ekonomicheskij universitet im. G. V. Plekhanova] 2017. Pp. 339– 345. ISSN 1994-6937 ; eISSN 2409-4420.
4. Sazonov A. A., Shumaev V. A. Synchro logistics as a determining factor of the effectiveness of the organization. [Sinхроlogistika kak opredelyayushchij faktor effektivnosti funkcionirovaniya organizacii.] URL: <https://grebennikon.ru/article-zczf.html> (access date: 08.06.2023).
5. Sazonov A. A. Logistics as an effective management technology // Operation Of Business, Industrial Engineering. [Logistika kak effektivnaya tekhnologiya upravleniya // Ekonomika i upravlenie v mashinostroenii]. 2015. – № 5. – Pp. 15–18. ISSN 2072-0890.

Статья сдана в редакцию 29 июня 2023 года

Е. С. Богданова, Л. А. Черепанова

Совершенствование показателей транспортного потока в структуре интегрированной логистической системы

UDC 656.078.1

E. S. Bogdanova, L. A. Cherepanova

Improvement of transport flow indicators in the structure of the integrated logistics system

Аннотация

В статье авторы раскрывают понятие интегрированной логистической системы. На примере машиностроительного предприятия (среднесерийного производства) подробно рассматривается транспортная подсистема обеспечивающей логистики, зависящая от типа производства, масштабов и географического положения предприятия, отраслевой принадлежности предприятия, вида, веса и габаритов выпускаемой продукции, методов реализации продукции (напрямую или через поставщиков), использования метода логистического аутсорсинга, реализации продукции внутри страны или ее экспортных поставок. Для нахождения резервов при выстраивании обслуживающих и инфраструктурных

потоков определяются и исследуются критерии транспортного потока: критерий обрачиваемости вагона, критерий среднесуточного пробега вагона, критерий статической нагрузки вагона, критерий динамической нагрузки вагона, критерий производительности вагона, вагонопотока. На основе совершенствования структурной схемы интегрированной логистической системы авторами предложена методика комплексной оценки деятельности функционирования логистических систем по показателям. Приведены расчетные интервалы накопления до и после внедрения интегрированной логистической системы. Предложенный авторами подход позволяет рассматривать интегрированную логистическую систему в комплексе, повысить

качество управленческой деятельности и находить резервы при организации транспортного потока.

Ключевые слова: транспортный поток, вагонопоток, интегрированная логистическая система, критерии использования вагонов, показатели оптимизации логистических издержек.

DOI: 10.20291/2079-0392-2023-4-103-111

Abstract

The authors reveal the concept of an integrated logistics system. On the example of a machine-building enterprise (medium-scale production), the transport subsystem of providing logistics is considered in detail, depending on the type of production, the scale and geographical location of the enterprise, the industry affiliation of the

Статья рекомендована к публикации Д. С. Завалишным, канд. физ.-мат. наук, доцентом; Уральский государственный университет путей сообщения. E-mail: Zavalishin@usurt.ru.

Елена Сергеевна Богданова, канд. техн. наук, доцент; Уральский государственный университет путей сообщения; Екатеринбург, Россия. E-mail: esbogdanova@rambler.ru. ORCID 0000-0003-0907-8544.

Людмила Анатольевна Черепанова, Уральский государственный университет путей сообщения; Екатеринбург, Россия. E-mail: LCherepanova@usurt.ru. ORCID 0000-0002-0190-0786.

© Е. С. Богданова, Л. А. Черепанова, 2023

The article has been recommended for publication by D. S. Zavalishchin, Ph.D in Physics and Mathematics Sciences, Associate Professor; Ural State University of Railway Transport. E-mail: Zavalishin@usurt.ru.

Elena Sergeevna Bogdanova, Candidate of Technical Sciences, Associate Professor; Ural State University of Railway Transport; Ekaterinburg, Russia. E-mail: esbogdanova@rambler.ru. ORCID 0000-0003-0907-8544.

Lyudmila Anatolevna Cherepanova, Ural State University of Railway Transport; Ekaterinburg, Russia. E-mail: LCherepanova@usurt.ru. ORCID 0000-0002-0190-0786.

© E. S. Bogdanova, L. A. Cherepanova, 2023

enterprise, the type, weight and dimensions of the products, methods of selling products (directly or through suppliers), the use of the method of logical outsourcing, the sale of products within the country or its export deliveries. For finding reserves when building service and infrastructure flows, the following criteria of the transport flow are determined and investigated: the criterion of the turnover of the car, the criterion of the average daily

mileage of the car, the criterion of the static load of the car, the criterion of the dynamic load of the car, the criterion of the performance of the car, the car traffic. Based on the improvement of the structural scheme of the integrated logistics system, the authors propose a methodology for a comprehensive assessment of the functioning of logistics systems according to the indicators, the calculated accumulation intervals before and after the implementation

of the integrated logistics system are given. The approach proposed by the authors allows considering an integrated logistics system in a complex to improve the quality of management activities and finding reserves in the organization of the transport flow.

Keywords: traffic flow, car traffic, integrated logistics system, criteria for the use of cars, indicators of logistics costs optimization.

DOI: 10.20291/2079-0392-2023-4-103-111

Большие расстояния, сырьевая экономика, несовершенство организации транспортного потока привели к тому, что в конечной цене продукции в России логистические затраты – одни из самых высоких в мире. Для нашей страны доля логистических издержек в валовом внутреннем продукте (ВВП) намного выше среднемировых показателей: 16 % против 11 (в США этот показатель равен 8 %, а в Германии – 9 %) [1].

Необходимо рассмотреть возможность сокращения логистических издержек и повышения уровня логистического обслуживания, делая акценты на транспортной составляющей [2–5]. Этот вопрос должен подробно изучаться при подготовке инженерных кадров для цифровой экономики [6]. Сокращение возможно через согласованное взаимодействие всех участников логистического процесса.

В работе [7] подробно рассматривается понятие «интегрированная логистическая система» как система, обеспечивающая продвижение продукции через непрерывную и последовательную цепь с поэтапного добавления стоимости с приобретением товара и услуг в необходимом времени, в надлежащих количествах и форме от первичного источника сырья, до окончания жизненного цикла готового изделия, зависящая от совокупности взаимодействия логистического

функционала и факторов, влияющих на их построение.

Следовательно, интегрированная логистическая система предприятия служит для управления материальным потоком от момента начала формирования договорных отношений и завершения взаимодействием с покупателем в ряде случаев при сервисном обслуживании, представляющая собой схему взаимодействия как внутри структурных подразделений предприятия, так и при взаимодействии с внешними поставщиками и потребителями. В организационном отношении внутри логистической системы предприятия выделяется логистическая система производственных процессов, функционирование которой является основополагающим при управлении потоками на предприятии. Основной производственный процесс на предприятии определяет ритм работы вспомогательного производства и обслуживающего хозяйства и влияет на гибкость логистических систем как производства, так и самого предприятия. В интегрированной логистической системе (ИЛС) материальный поток проходит через транспортные звенья, обеспечивающие перевозку [8–10]. И здесь необходимо взаимосогласование технологии производства с условиями работы магистрального железнодорожного транспорта. Вопросы создания единого механизма управления транспортным

поток на производстве через формирование логистического управления движением материального потока рассмотрены в работе [11]. Именно при взаимодействии транспорта и грузовладельцев железнодорожного транспорта возникают потери, связанные с рассогласованием графиков подвоза грузов предприятия [8–12].

ИЛС обеспечивает продвижение продукции через непрерывную и последовательную цепь от первичного источника сырья до окончания жизненного цикла (ЖЦИ) готового изделия (информационно-организационное сопровождение послепроизводственных стадий ЖЦИ: закупка, поставка, внедрение в эксплуатацию, сервисное обслуживание, включая поставку запчастей). Цель ИЛС – постоянное совершенствование процессов во всех звеньях логистической цепочки, сокращение затрат и поддержание изделия в исправном состоянии. Система зависит от совокупности взаимодействия логистического функционала и факторов, влияющих на построение данной цепи [7].

ИЛС предприятия управляет материальным потоком от начала формирования договорных отношений до завершения взаимодействия с покупателем. В ряде случаев это представляет собой схему взаимодействия как внутри структурных подразделений предприятия, так и при взаимодействии с внешними поставщиками и потребителями. А это означает многократное согласование взаимодействия между магистральным и производственным железнодорожным транспортом на всех этапах. В случае небольшого производства и отсутствия производственного транспорта взаимодействие с магистральным железнодорожным транспортом сохраняется в виде договора о перевозке грузов.

Структура ИЛС предприятия, сформированная функционально логистическими подсистемами (закупка, производство, распределение и сервис) и обеспечивающими логистическими подсистемами (склад, транспорт, запасы, информация и транспорт), представлена

в [13]. Там же определены зависимости от таких факторов, как тип производства, масштабы и географическое положение предприятия, отраслевая принадлежность предприятия, вид, вес и габариты выпускаемой продукции, методы реализации продукции (напрямую или через поставщиков), использование метода логистического аутсорсинга, реализация продукции внутри страны или ее экспортные поставки.

На основе совершенствования структуры [13] авторами предложена методика комплексной оценки деятельности функционирования логистических систем по показателям:

$$\sum \text{ИЛС} = f(FS1(PS_{1+5}), FS2(PS_{1+5}), FS3(PS_{1+5}), FS4(PS_{1+5})),$$

где $FS1$ – зависимость закупочной логистической подсистемы от факторов; $FS2$ – зависимость производственной логистической подсистемы от факторов; $FS3$ – зависимость распределительной логистической подсистемы от факторов; $FS4$ – зависимость сервисной логистической подсистемы от факторов; $PS1$ – зависимость складской обеспечивающей подсистемы от факторов; $PS2$ – зависимость транспортной обеспечивающей подсистемы от факторов; $PS3$ – зависимость логистики запасов обеспечивающей подсистемы от факторов; $PS4$ – зависимость информационной обеспечивающей подсистемы от факторов; $PS5$ – зависимость финансовой обеспечивающей подсистемы от факторов; $\sum \text{ИЛС}$ – оптимальная величина показателя.

Рассмотрим транспортную составляющую организации вагонного производства, зависящего от перемещения значительных объемов материалов, полуфабрикатов, оснастки, отходов производства.

При построении ИЛС необходимо определить, как, задаваясь требуемой величиной показателя, можно приблизиться к оптимальному показателю

комплексной оценки деятельности функционирования логистических систем. Либо, задаваясь требуемым уровнем, определить соответствующие показатели (рис.).

Показатели (за основу возьмем показатели оценки вагонопотока [14]), представленные в структурной схеме, условно можно разделить на частные, позволяющие исследовать и оценить транспортную подсистему. Но они адаптированы для ИЛС, где известно

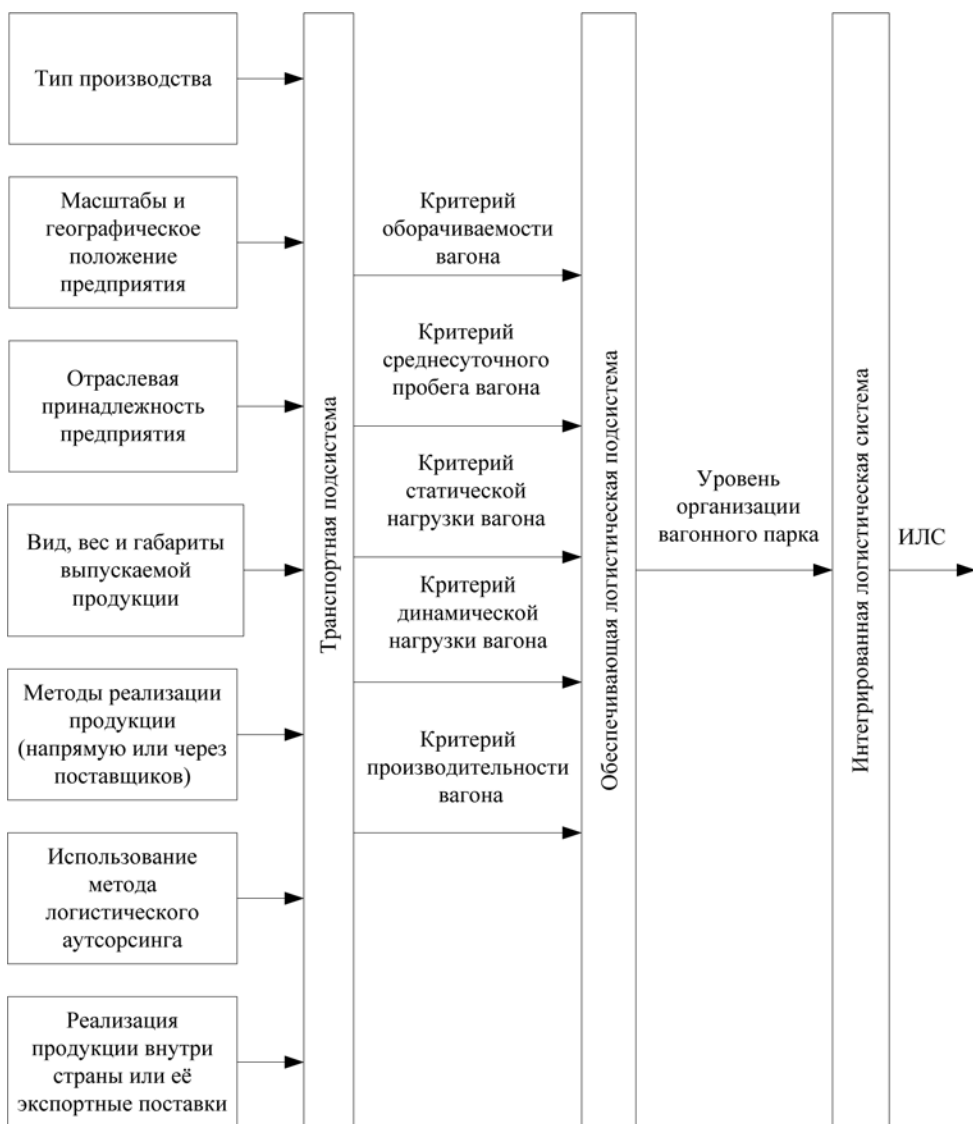
движение материального потока на всех стадиях производства.

Критерий оборачиваемости вагона ИЛС:

$$\theta_{\text{ИЛС}} = \frac{n}{u_{\text{ИЛС}}},$$

где n – рабочий парк вагонов; $u_{\text{ИЛС}}$ – среднесуточная погрузка в ИЛС.

Критерий среднесуточного пробега вагона ИЛС:



Формирование показателя ИЛС от параметров транспортного потока

$$s_{\text{илс}} = \frac{l}{\text{илс}},$$

где l – полный рейс вагона.

Критерий статической нагрузки вагона ИЛС:

$$p_{\text{стилс}} = \frac{\sum p_{\text{илс}}}{u_{\text{илс}}},$$

где $\sum p_{\text{илс}}$ – груз, кол-во т; $u_{\text{илс}}$ – погрузка.

Критерий динамической нагрузки вагона ИЛС:

$$p_{\text{динилс}}^{\text{гр}} = \frac{\sum p l_{\text{илс}}}{\sum n s_{\text{грилс}}},$$

где $\sum p l_{\text{илс}}$ – грузооборот, т · км; $\sum n s_{\text{грилс}}$ – сумма ваг.-км пробега груженых вагонов.

Производительность вагона отражает степень использования вагона по времени и грузоподъемности:

$$\epsilon_v = \frac{\sum p l_{\text{илс}}}{n_{\text{илс}}},$$

где $p l_{\text{илс}}$ – среднесуточный грузооборот, т · км; $n_{\text{илс}}$ – рабочий парк вагонов.

Критерий использования вагонов в ИЛС:

$$Q_{\text{илс}} = \frac{u_{\text{илс}}}{u},$$

где $u_{\text{илс}}$ – используемые вагоны для транспортировки изделия среднесерийного типа производства, кол-во; u – вагоны, факт. кол-во.

Комплексный уровень организации вагонного парка:

$$N = \theta_{\text{илс}} U_{\text{илс}},$$

где $U_{\text{илс}} = \sum u_{\text{илс}} + \sum \text{ИЛС} = PS2f(Nf(Q_{\text{илс}}))$.

Рассмотрим грузооборот вагонов при перевозке крупнотоннажных

контейнеров; за основу взяты методы, предложенные в работе [15], массой брутто 24 т для среднесерийного производства машиностроительного предприятия [16].

Расчет плана по приему грузов к перевозке в контейнерах вроде сборных вагонов под накопление для формирования вагонопотока заданного направления [4] основывается на расчете интервала (I_j), т. е. времени (сутки), за которое собирается необходимое количество контейнеров:

$$I_j = \frac{\sum \alpha_i \cdot m_i^k}{Q_j^{\text{сут}}},$$

$$Q_j^{\text{сут}} = 0,01 \cdot \beta_j \cdot Q_{\text{сут}}^{\text{от}},$$

где $Q_j^{\text{сут}}$ – суточный поток контейнеров в назначение j , конт./сут; α – коэффициент, предусматривающий неравномерность погрузки/выгрузки контейнеров, $\alpha = 1,15$ для неинтегрированной логистической системы; β_i – часть потока контейнеров в назначение j от общего суточного потока контейнеров, %; m_i^k – количество условных контейнеров, размещаемых в вагоне i -го типа; для крупнотоннажных $m_i^k = 2$.

Ниже приведен расчетный пример:

$$Q_{\text{сут}}^{\text{пр(от)}} = \frac{Q_{\text{выпуск серии}}^{\text{пр(от)}} \cdot k_n \cdot \beta_i}{90},$$

где $Q_{\text{сут}}^{\text{пр(от)}}$ – серийное количество потоков контейнеров по отправлению/прибытию, тыс. конт.; k_n – коэффициент неравномерности, $k_n = 1,1-1,2$; β_i – контейнеры i -го типа (по массе брутто), кол-во; 90 – дни выпуска серийной продукции, кол-во.

$$Q_{\text{сут}}^{\text{пр}} = \frac{8553 \cdot 1,1 \cdot 1}{90} = 104 \text{ конт./сут};$$

$$Q_j^{\text{сут}} = 0,01 \cdot 14,5 \cdot 104 = 16 \text{ конт./сут};$$

$$I_j = \frac{1,15 \cdot 2}{16} = 0,144.$$

При применении интегрированно-го подхода коэффициент неравномерности $\alpha_{\text{ИЛС}} = 1,05$.

**Определение расчетного интервала контейнеропотока под накопление
до и после внедрения принципов ИЛС**

Суточный контейнеро- поток, конт./сут	Интервал контейнеропотока		
	До внедрения ИЛС, сут	После внедрения ИЛС, сут	Относительное изменение %
16	0,144	0,131	–9,02
15	0,153	0,14	–8,49
13	0,176	0,162	–7,95
11	0,201	0,191	–4,98
14	0,164	0,15	–8,53
10	0,23	0,21	–8,68

$$I_j = \frac{1,05 \cdot 2}{16} = 0,131.$$

Результаты сведены в таблицу.

За основу результатов расчета показателей вагонопотока, представленных в работе, взят расчет интервала движения вагонов, а именно, расчетный интервал под накопление вагонопотока. Авторы рассматривают вагон под погрузку контейнеров, не анализируя технологию процесса погрузки, а принимая результаты, предложенные в работах [17, 18]. Это подходит для транспортировки изделий среднесерийного производства. Анализируя результаты, представленные в таблице, можно сделать вывод, использование принципов ИЛС способствует снижению неравномерности погрузки.

Выводы

При реализации принципов построения ИЛС для машиностроительного предприятия можно организовать

движение материального потока с заданными временными показателями (в нашем случае – расчетный интервал под накоплением). При формировании потока на станцию назначения доставка контейнеров построена таким образом, что сокращен интервал ожидания погрузки для вагона, отправляемого в заданном направлении. Этот подход также не противоречит тому, что требуемые изделия будут прибывать в необходимый интервал времени соответствующего цикла производства.

Предложенная методика комплексной оценки функционирования логистической системы позволяет определить показатели, влияющие на построение ИЛС, и их оптимальную величину. Комплексный подход может быть реализован, отталкиваясь от итоговых показателей, тем самым совершенствуется транспортный поток. То есть система оценки показателей транспортного потока в структуре ИЛС позволяет определить резервы, выстроить транспортные потоки. ■

Литература

1. Кархова И. Ю. Международная конкурентоспособность и состояние логистики в международных рейтингах // Российский внешнеэкономический вестник. – 2019. – № 2. – С. 25–34. ISSN 2072-8042.
2. Мишкурлов П. Н. Динамическая оптимизация вагонопотоков / П. Н. Мишкурлов, А. Н. Рахмангулов. – М. : Русайнс, 2017. – 110 с. – ISBN 978-5-4365-1820-6.
3. Козаченко Д. Н. Определение расчетных объемов работы железнодорожных станций в условиях изменения структуры вагонопотоков / Д. Н. Козаченко, А. В. Горбова // Транспортные системы и технологии перевозок. – 2015. №10. – С. 50–56. ISSN 2222-419X.
4. Технология выбора эффективных транспортных средств при различной структуре грузопотоков / П. А. Козлов, В. П. Козлова, Н. А. Тушин, Р. В. Писарева // Вестник

- Ростовского государственного университета путей сообщения. – 2020. – № 2 (78). – С. 113–122. ISSN 0201-727X.
5. Горский С. С. Повышение эффективности транспортных систем путем оптимизации материальных потоков на производственных участках механосборочного производства // Известия МГТУ. 2009. № 2. – С. 195–201. ISSN 2074-0530.
 6. Черепанова, Л. А. Подготовка инженерных кадров для цифровой экономики с учетом требований ФГОС 3++ и профессиональных стандартов / Л. А. Черепанова // Проблемы и пути развития профессионального образования : Сборник статей Всероссийской научно-методической конференции, Иркутск, 15–18 апреля 2019 года. – Иркутск : Иркутский государственный университет путей сообщения, 2019. – С. 408–412. ISBN 978-5-98710-364-7.
 7. Теоретические и концептуальные проблемы логистики: монография / З. Б. Хмельницкая, Е. С. Богданова, Т. Е. Евтодиева, Е. С. Акопова [и др.]. – Пенза : Пензенский государственный аграрный университет, 2021. – 209 с. ISBN 978-5-00196-011-9.
 8. Bogdanova E. Trends and prospects for the development of an integrated logistics system of transport engineering enterprises under the conditions of digital transformation / E. Bogdanova, Z. Khmel'nitskaya, M. Ivich // AIP Conference Proceedings, Perm, 01–03 мая 2021 года. – Perm, 2021. – P. 030004. ISSN 0094-243X.
 9. Хмельницкая З. Б. Построение интегрированных логистических систем с применением технологии блокчейн / З. Б. Хмельницкая, Е. С. Богданова, М. Л. Ивич // Научные труды Вольного экономического общества России. – 2021. – Т. 227, № 1. – С. 360–378. ISSN 2072-2060.
 10. Парунакян В. Э. Формирование логистической концепции (технологии) системного управления процессом материалодвижения на металлургических предприятиях // Современные проблемы транспортного комплекса России. – 2018. – Т. 8. – № 2. – С. 4–21. ISSN 2222-9396.
 11. Парунакян В. Э. Состояние и пути повышения эффективности системы управления процессом материалодвижения металлургических предприятий // Научные труды SWorld. – 2016. – Т. 1. – № 45. – С. 4–15. ISSN 2224-0187.
 12. Рахмангулов А. Н. Обеспечение своевременности грузовых перевозок в транспортно-технологических системах / А. Н. Рахмангулов, С. Н. Корнилов, А. Д. Кольга // Вестник Магнитогорского государственного технического университета им. Г. И. Носова. – 2014. – № 1 (45). – С. 115–121. ISSN 1995-2732.
 13. Богданова Е. С. Концепция инфокоммуникационной сети как основа разработки интегрированных логистических систем предприятия в условиях цифровой экономики : монография / Е. С. Богданова, Д. Г. Неволин, З. Б. Хмельницкая. – Екатеринбург : УрГУПС, 2022. – 140 с. ISBN 978-5-94614-504-6.
 14. Распоряжение ОАО «РЖД» от 30.05.2017 № 1026р «Об утверждении Методики оценки и критериев экономической эффективности отправительских маршрутов». URL: https://www.consultant.ru/document/cons_doc_LAW_219825/ (дата обращения: 20.09.2023).
 15. Кочнева, Д. И. Модель планирования маршрутных контейнерных поездов с грузовыми операциями в пути следования / Д. И. Кочнева, Х. Чан // Вестник УрГУПС. – 2020. – № 4 (48). – С. 46–55. ISSN 2079-0392.
 16. Матюшин Л. Н. Контейнерные и контрейлерные перевозки грузов : справочник. – М. : Сандика Плюс, 2005. – 189 с. ISBN 5-902473-01-2.
 17. Кочнева Д. И. Моделирование потоковых процессов на контейнерном терминале / Д. И. Кочнева, Е. А. Гаганова // Вестник Уральского государственного университета путей сообщения. – 2014. – № 2 (22). – С. 53–60. – ISSN 2079-0392.
 18. Басыров И. М. Инновационная технология терминальной переработки контейнеров / И. М. Басыров, Д. И. Кочнева, Х. Чан // Вестник УрГУПС. – 2022. – № 2 (54). – С. 108–116. ISSN 2079-0392.

Referens

1. Karhova I. Y. International competitiveness and the state of logistics in international rankings // Russian Foreign Economic Bulletin. [Mezhdunarodnaya konkurentosposobnost' i sostoyanie logistiki v mezhduna-rodnyh rejtingah // Rossijskij vneshneekonomicheskij vestnik] – 2019. – № 2. – Pp. 25–34. ISSN 2072-8042.

2. Mishkurov P. N. Dynamic optimization of car traffic / P. N. Mishkurov, A. N. Rahmangulov. – Moscow : Rusjins [Dinamicheskaya optimizaciya vagonopotočkov – Moscow : Rusains], 2017. – 110 p. – ISBN 978-5-4365-1820-6.
3. Kozachenko D. N. Determination of the estimated volumes of work of railway stations in conditions of changing the structure of car traffic / D. N. Kozachenko, A. V. Gorbova // Transport systems and transportation technologies. [Opredelenie rasčetnyh ob"emov raboty zheleznodorozhnyh stancij v uslo-viyah izmeneniya struktury vagonopotočkov / D. N. Kozachenko, A. V. Gorbova // Transportnye sistemy i tekhnologii perevozok]. – 2015. № 10. – Pp. 50–56. ISSN 2222-419X.
4. The technology of choosing efficient vehicles with different structure of cargo flows / P. A. Kozlov, V. P. Kozlova, N. A. Tushin, R. V. Pisareva // Bulletin of the Rostov State University of Railway Transport. [Tekhnologiya vybora effektivnyh transportnyh sredstv pri razlichnoj strukture gruzopotočkov / P. A. Kozlov, V. P. Kozlova, N. A. Tushin, R. V. Pisareva // Vestnik Rostovskogo gosudarstvennogo universiteta putej soobshcheniya] – 2020. – № 2 (78). – Pp. 113–122. ISSN 0201-727X.
5. Gorskij S. S. Improving the efficiency of transport systems by optimizing material flows at the production sites of mechanical assembly production // Scientific journal «Izvestiya MGTU» [Povyshenie effektivnosti transportnyh sistem putem opti-mizacii material'nyh potokov na proizvodstvennyh uchastkah mekhanosbo-rochnogo proizvodstva // Izvestiya MGTU]. 2009. № 2. – Pp. 195–201. ISSN 2074-0530.
6. Cherepanova L. A. Training of engineering personnel for the digital economy, taking into account the requirements of the FGOS3++ and professional standards / Problems and ways of professional education development: Collection of articles of the All-Russian Scientific-method. Conference, Irkutsk, April, 15–18, 2019. – Irkutsk : Irkutsk State University of Railway Transport, 2019. [Podgotovka inženernykh kadrov dlya cifrovoj ekonomiki s uchetom trebova-nij FGOS3++ i professional'nyh standartov / Problemy i puti razvitiya professionalnogo obrazovaniya : Sb. st. Vseross. nauchn.-metod. konf., Irkutsk] – Pp. 408–412. ISBN 978-5-98710-364-7.
7. Theoretical and conceptual problems of logistics: monograph / Z. B. Hmelnickaya, E. S. Bogdanova, T. E. Evtodieva, E. S. Akopova, et al. – Penza : Penza State Agrarian University, 2021. [Teoreticheskie i konceptual'nye problemy logistiki: monografiya / Z. B. Hmel'nickaya, E. S. Bogdanova, T. E. Evtodieva, E. S. Akopova [i dr.]. – Penza : Penzenskij gosudarstvennyj agrarnyj universitet]– 209 p. ISBN 978-5-00196-011-9.
8. Bogdanova E. Trends and prospects for the development of an integrated logistics system of transport engineering enterprises under the conditions of digital transformation / E. Bogdanova, Z. Khmel'nitskaya, M. Ivich // AIP Conference Proceedings, Perm, 01–03 мая 2021 года. – Perm, 2021. – P. 030004. ISSN 0094-243X.
9. Hmelnickaya Z. B. Building integrated logistics systems using blockchain technology / Z. B. Hmelnickaya, E. S. Bogdanova, M. L. Ivich // Scientific works of the Free Economic Society of Russia. [Postroenie integrirovannykh logisticheskikh sistem s primeneniem tekhnologii blokčejn / Z. B. Hmel'nitskaya, E. S. Bogdanova, M. L. Ivich // Nauchnye trudy Volnogo ekonomicheskogo obshchestva Rossii.]– 2021. – Vol. 227, № 1. – Pp. 360–378. ISSN 2072-2060.
10. Parunakyan V. E. Formation of the logistics concept (technology) of the system management of the process of material movement at metallurgical enterprises // Modern Problems of the Transport Complex of Russia. [Formirovanie logisticheskoy koncepcii (tekhnologii) sistemnogo upravleniya processom materialodvizheniya na metallurgicheskikh predpriyatiyah // Sovremennyye problemy transportnogo kompleksa Rossii] – 2018. – Vol. 8. – № 2. – Pp. 4–21. ISSN 2222-9396.
11. Parunakyan V. E. The state and ways to improve the efficiency of the process control system of material movement of metallurgical enterprises // Scientific works of SWorld. [Sostoyanie i puti povysheniya effektivnosti sistemy upravleniya processom materialodvizheniya metallurgicheskikh predpriyatij // Nauchnye trudy SWorld.] – 2016. – Vol. 1. – № 45. – Pp. 4–15. ISSN 2224-0187.
12. Rahmangulov A. N. Ensuring the timeliness of cargo transportation in transport and technological systems / A. N. Rahmangulov, S. N. Kornilov, A. D. Kolga // Bulletin of Magnitogorsk State Technical University named after G. I. Nosov. [Obespechenie svoevremennosti gruzovykh perevozok v transportno-tekhnologicheskikh sistemah / A. N. Rahmangulov, S. N. Kornilov,

- A. D. Kolga // Vestnik Magnitogorskogo gosudarstvennogo tekhnicheskogo universiteta im. G. I. Nosova. – 2014. – № 1 (45). – Pp. 115–121. ISSN 1995-2732.
13. Bogdanova E. S. The concept of infocommunication network as the basis for the development of integrated logistics systems of the enterprise in the digital economy : monograph / E. S. Bogdanova, D. G. Nevolin, Z. B. Hmelnickaya. [Koncepciya infokommunikacionnoj seti kak osnova razrabotki integrirovannykh logisticheskikh sistem predpriyatiya v usloviyakh cifrovoj ekonomiki : monografiya / E. S. Bogdanova, D. G. Nevolin, Z. B. Hmel'nickaya. – Ekaterinburg : UrGUPS]– Ekaterinburg : USURT, 2022. – 140 p. ISBN 978-5-94614-504-6.
 14. Order of JSC «Russian Railways» dated 30.05.2017 No. 1026r «On approval of the Evaluation Methodology and criteria for the economic efficiency of shipping routes». [Rasporyazhenie OAO «RZHD» ot 30.05.2017 № 1026r «Ob utverzhdenii Meto-diki ocenki i kriteriev ekonomicheskoy effektivnosti otpravitel'skih marshrutov] URL: https://www.consultant.ru/document/cons_doc_LAW_219825/ (accessed date: 20.09.2023).
 15. Kochneva D. I. Model of planning of block container trains with cargo operations en route / D. I. Kochneva, H. Chan // Herald of the Ural State University of Railway Transport. Scientific journal. [Model planirovaniya marshrutnykh kontejnernykh poezdov s gruzovymi operatsiyami v puti sledovaniya / D. I. Kochneva, H. CHan // Vestnik UrGUPS] – 2020. – № 4 (48). – Pp. 46–55. ISSN 2079-0392.
 16. Matyushin L. N. Container and contrailer cargo transportation : directory. – M. : Sandika Plus, 2005. [Kontejnernye i kontrejlernye perevozki gruzov : spravochnik. – Moscow : Sandika Plyus] – 189 p. ISBN 5-902473-01-2.
 17. Kochneva, D. I. Modeling of flow processes at a container terminal / D. I. Kochneva, E. A. Gaganova // Herald of the Ural State University of Railway Transport. Scientific journal. [Modelirovanie potokovykh processov na kontejnernom terminale / D. I. Kochneva, E. A. Gaganova // Vestnik UrGUPS]. – 2014. – № 2 (22). – Pp. 53–60. ISSN 2079-0392.
 18. Basyrov I. M. Innovative technology of terminal container processing / I. M. Basyrov, D. I. Kochneva, H. Chan // Herald of the Ural State University of Railway Transport. Scientific journal. [Innovatsionnaya tekhnologiya terminal'noj pererabotki kontejnerov / I. M. Basyrov, D. I. Kochneva, H. Chan // Vestnik UrGUPS] – 2022. – № 2 (54). – Pp. 108–116. ISSN 2079-0392.

Статья сдана в редакцию 7 июля 2023 года

УДК 004.94

С. В. Кругликов, М. В. Ивашкин

Разработка концептуальной модели цифрового двойника для цепочки региональных транспортно-логистических центров

UDC004.94

S. V. Kruglikov, M. V. Ivashkin

Development of a conceptual model of a digital twin for a chain of regional transport and logistics centers

Аннотация

Возможное решение оптимизации доставки грузов предложено в Федеральном проекте развития мультимодальных транспортно-логистических центров в 2019–2024 гг. Резкое изменение реалий международного и межрегионального взаимодействия, связанное с известными событиями последних лет, потребовало корректировки планов социально-экономического развития страны и внедрения инновационных технологий повышения управляемости инфраструктуры РФ. Для транспортной отрасли и целей поставок актуальны задачи реализации в автоматизированных системах управления цифровых двойников объекта управления. Иерархическая

организация мультимодальных транспортно-логистических центров определяет необходимость содержательно-концептуального моделирования проблем разработки и реализации распределенных мультиагентных систем цифровых двойников логистических объектов, совместно обеспечивающих согласованную работу цепи поставок.

В работе показана применимость логики цифрового двойника для обновления логистической инфраструктуры РФ. Для этого проведен обзор современного концептуально-понятийного аппарата, применяемого для моделирования логистических цепочек поставок, включая цифровые двойники, состояния и перспектив

развития логистической отрасли в стране. Определен алгоритм концептуального моделирования цифрового двойника цепочек поставок на основе упорядоченных по уровням иерархии моделей AS-IS, определяющих проблему, и AS-TO-BE, дающих возможные решения.

Выводы исследовательской работы, полученные согласно методике SWOT-анализа предлагаемого решения, позволяют дать рекомендации по внедрению цифровых двойников для транспортно-логистических центров.

Ключевые слова: перевозки, цифровой двойник, моделирование, цифровизация, информационная система.

DOI: 10.20291/2079-0392-2023-4-112-121

Статья рекомендована к публикации М. Б. Петровым, д-ром техн. наук, Институт экономики УрО РАН. E-mail: petrov.mb@uiec.ru.

Сергей Владимирович Кругликов, канд. физ.-мат.наук, доцент; отдел оптимального управления Института математики и механики им. Н. Н. Красовского УрО РАН; Екатеринбург, Россия. E-mail: svk@imm.uran.ru. ORCID: 0000-0002-5283-7713.

Михаил Владимирович Ивашкин, м.н.с., Институт экономики УрО РАН; Екатеринбург, Россия. E-mail: mihail96-96@mail.ru. ORCID:0000-0002-6449-2417.

© С. В. Кругликов, М. В. Ивашкин, 2023

The article was recommended for publication by M. B. Petrov, Doctor of Engineering Sciences, Institute of Economics, Ural Branch of the Russian Academy of Sciences. E-mail: petrov.mb@uiec.ru.

Sergey Vladimirovich Kruglikov, Ph.D in physical and mathematical sciences, associate professor; Department of Optimal Control, Institute of Mathematics and Mechanics named after N. N. Krasovskiy Ural Branch of the Russian Academy of Sciences; Yekaterinburg, Russia. E-mail: svk@imm.uran.ru. ORCID: 0000-0002-5283-7713.

Mikhail Vladimirovich Ivashkin, junior researcher, Institute of Economics, Ural Branch of the Russian Academy of Sciences; Yekaterinburg, Russia. E-mail: mihail96-96@mail.ru. ORCID:0000-0002-6449-2417.

© S. V. Kruglikov, M. V. Ivashkin, 2023

Abstract

In 2019–2024 the Federal Project for the Development of Multimodal Transport and Logistics Centers proposed a possible solution to optimize cargo delivery. A drastic change in the realities of international and interregional interaction because of well-known events in recent years required adjustments to plans for the socio-economic development of the country and the introduction of innovative technologies to improve the controllability of the Russian Federation infrastructure. As for the transport industry and supply chains the tasks of implementing digital twins of the control object in automated control systems are relevant.

The hierarchical organization of multimodal transport and logistics centers determines the need for content-conceptual modeling of the problems in development and implementation of distributed multi-agent systems of digital twins of logistics facilities which jointly ensure the coordinated operation of the supply chain.

The work shows the applicability of digital twin logics for updating the logistics infrastructure in the Russian Federation. For this purpose we carried out a review of the modern conceptual device used to model logistics supply chains including digital twins, the state and prospects for the development of the logistics industry in the country. An

algorithm for conceptual modeling of the digital twin of supply chains is defined on the base of AS-IS models arranged into hierarchy levels to define the problem and AS-TO-BE model to provide possible solutions.

In the conclusion of the research work the proposed solutions were obtained according to the SWOT analysis methodology. It allows making it possible to give recommendations for the implementation of digital twins in transport and logistics centers.

Keywords: transportation, digital twin, modeling, digitalization, information system.

DOI: 10.20291/2079-0392-2023-4-112-121

Конкурентоспособность логистической компании обеспечивается, в частности, за счет эффективной организации процесса перевозок, а это требует прозрачности и устойчивости от системы логистических отношений в цепи поставок по передаче грузов от отправителя к получателю.

Ключевые методы совершенствования системы логистических отношений – планирование, контроль и организация системы принятия решений для работы как с материальными, так и информационными объектами и соответствующими потоками [1–3]. Технологии их внедрения в логистическую систему основаны на разработке моделей, что позволяет оптимизировать процессы в цепи поставок; модель должна обладать высокой степенью детализации, с одной стороны, а с другой, отражать адаптивность к быстро меняющимся условиям среды [4].

Использование цифровых средств поддержки принятия решений выявило низкий уровень материально-технического оснащения логистических компаний, принятие решений в рамках

одного логистического объекта, отсутствие критически важной информации о текущей позиции груза в сети цепочек поставок [5].

В качестве адекватных цифровых средств некоторые исследователи предлагают внедрять цифровые двойники цепочек поставок на основе концептуального, математического или имитационного моделирования. Практическая полезность модели состоит в предсказании поведения участников цепи поставок, улучшении прозрачности технологических процессов и возможности определения новых организационных решений, устраняющих недостатки цепи поставок [6].

Федеральный проект «Транспортно-логистические центры» предлагает решение на основе модернизации логистической инфраструктуры [7]. Предусмотрено строительство мультимодальных транспортно-логистических центров (ТЛЦ) и контейнерных терминалов (КТ) с возможностью обработки грузов суммарной мощностью до 51,6 млн т за 2019–2024 гг. Назначение ТЛЦ определяется решением задач по управлению

материальными и информационными потоками, запасами [8, 9].

В настоящей статье анализируется применимость логики цифрового двойника для обновления логистической инфраструктуры за счет сети ТЛЦ и КТ.

Описание информационных систем для отслеживания состояния грузов в цепи поставок представлено в таблице 1.

Развитие функционала заключается в решении схожих задач при организации перевозок на основе технологии цифровых двойников (например, для управления цепями поставок или анализа данных). Приложения информационного управления функционируют в рамках одного логистического объекта, а цифровые двойники способны создавать цифровую имитацию сети логистических объектов с целью моделирования и проверки гипотез [10, 11].

Под цифровым двойником понимается цифровая модель, обеспечивающая концептуальную, математическую, имитационную эквивалентность процессов физической виртуальной системы. Для отражения логистических отношений модель включает подсистемы управления базами данных, мониторинга состояния логистических объектов, согласования и синхронизации их процессов. Эффективная работа цифрового двойника в перевозках определяется показателями достоверности и доступности

информации, скорости обмена данными, стоимости перевозок и др.

Активное комплексное развитие логистической инфраструктуры исследуется на примере мультимодальных перевозок в [8, 9]. Под ними подразумевается способ доставки груза несколькими видами транспорта (железнодорожный – автомобильный, автомобильный – воздушный, морской – автомобильный и т.д.). Для устойчивой работы перевозок, поддерживающих мультимодальность, требуется строительство КТ и ТЛЦ.

Понятия «КТ» и «ТЛЦ» описывают узлы транспортной инфраструктуры; они обслуживают транзитные и региональные грузопотоки [7]. Функционал узла включает организацию, распределение и доставку грузов до пункта назначения, обработку, складирование и управление запасами. Предполагается, что за 2019–2024 гг. их внедрение в цепочку поставок позволит увеличить пропускную способность транспортной инфраструктуры до 51,6 млн т отправок.

С февраля 2022 г. из-за прекращения деятельности международных логистических компаний повысилась стоимость импортных товаров [12–13], разрушились цепи поставок.

Сложившаяся ситуация определяет необходимость разработки эффективных вариантов реагирования. В статье

Таблица 1

Цифровые сервисы для логистических систем

Технология	Функционал информационной системы	Примеры
TMS	Поддержка управления логистическими процессами мультимодальных перевозок	Яндекс. Маршрутизация, ReLog, Мегалогист, Махотра и др.
APS	Синхронизированное планирование и оптимизация логистических процессов	Ortems APS, ИТПП: Процессное произ-во, Галактика_AMM, Райтстеп СПМ и др.
SCM	Планирование и управление потоками с целью оптимизации издержек	Lean ERP SCMo, RS.SCM, Infor SCM, Visary SCM и др.
ERP	Автоматизация бизнес-процессов для объектов логистической инфраструктуры	1C: ERP, SAP ERP, Microsoft Dynamics, Oracle ERP, Парус, Галактика и др.

проверяется гипотеза об эффективности применения технологии цифрового двойника цепи поставок.

Под цепью поставок понимается единый маршрут транспортной сети, включающий узлы (логистические объекты) и связи (транспортные пути). Оптимизация маршрута возможна с использованием сетевых методов определения минимальных затрат и графика для транспортного средства (ТС) при учете запроса на погрузку и доставку. Приоритеты и типы запросов, временные ограничения заказчиков учитываются формула:

$$Z = \sum_{i=1}^{N'} \sum_{j=1}^{N'} (z_{i,j} \cdot TT_{node_i, node_j}) + \sum_{i=1}^{N'} (z_{0,i} \cdot TT_{0, node_i}) + \sum_{i=1}^{N'} (z_{i,0} \cdot TT_{node_i, 0}).$$

Параметры включают N' полное количество операций с операциями дозирования и количества операций, бинарные переменные $\{z_{i,j}$ (1 для маршрута между узлами, отвечающими операциям i и j , иначе 0); $z_{0,i}$ (1 для маршрута между станцией отправления и операцией i , иначе 0); $z_{i,0}$ (1 для маршрута между станцией получения и операцией i , иначе 0)}, затраты на маршрут $\{TT_{node_i, node_j}$ между узлами, отвечающими операциям i и j ; $TT_{node_i, 0}$ от узла i и до станции получения; $TT_{0, node_i}$ от станции отправления до узла $i\}$.

Для решения проблемы разрыва связей цепи поставок нужно оптимальное решение коммуникации между узлами. Рассмотрим возможность такого решения методами концептуального моделирования.

Концептуальное моделирование представляет графическое описание процессов логистических объектов и связей в цепи поставок; в контексте проблемы применяется для разработки модели цифрового двойника цепи поставок. С помощью моделирования можно получить схему, содержащую понимание структуры узлов и зоны их ответственности.

Нотация моделирования цифрового двойника цепи поставок определяется методологией Design Science Research (DSR). Она используется для решения проблемно-ориентированных задач. Что касается разработки модели цифрового двойника цепи поставок, то их выявление способствует определению возможных недостатков логистической системы [14].

Для разработки концептуальной модели цифрового двойника нами используется спиралевидная схема.

На этапе 1 определяются проблемы логистических объектов в иерархической структуре транспортной сети, которую можно представить как определённый набор свойств.

Этап 2. Свойства (таблица 2) служат исходными данными для разработки иерархической модели цифрового двойника в логистической системе (таблица 3).

Этап 3. Модель AS IS отражает текущее представление объектно-ориентированной проблемы состояния процессов, характеризующих логистические отношения между узлами. AS IS показывает функции участников логистического процесса, этапы прохождения груза через узлы и связи между ними, структуры логистической системы. Инструментами для разработки модели служат данные, полученные на этапах 1 и 2.

Этап 4. Разработка модели AS TO BE, выделяющей разрывы пропускной способности по узким местам, определённым моделью AS IS. Согласно ей, проводится анализ рассогласования между текущим состоянием логистической системы (без использования цифрового двойника цепи поставок) и предлагаемыми (с использованием цифрового двойника цепи поставок) методами качественной или математической оценки.

Этап 5. Качественная оценка на основе SWOT-анализа. Полученная концептуальная модель позволяет оценить отклонения, выделяя сильные/слабые стороны, возможности и угрозы.

Таблица 2

Свойства цепи поставок и инструментов для разработки

Наименование	Описание	Инструмент
Направленность обмена данными	Обмен данными в двух направлениях между физической моделью и его цифровой копией	Системы управления базами данных
Своевременность	Возможность периодического обновления данных в режиме реального времени	Системы мониторинга состояния логистических объектов
Долгосрочность	Возможность устойчивой и продолжительной работы цифрового двойника цепочки поставок	Системы согласования логистических объектов

Таблица 3

Уровни вложенности иерархии цифрового двойника цепи поставок

Уровень	Уровень ЦД	Описание
I	Внутриобъектный	Формирует имитационную модель микрообъектов
II	Логистический объект в целом	Формирует отношения между микрообъектами логистического объекта
III	Цепи поставок	Формирует цепь поставок из логистических объектов и их отношений для обслуживания потоков k -го уровня вложенности вплоть до федерального
IV	Международные логистические отношения	Формирует цепь международных поставок цифровых двойников из логистических объектов для обслуживания грузовых потоков

В логистике применение SWOT-анализа помогает при разработке эффективных стратегий развития, устойчивости и конкурентоспособности логистических узлов в цепи поставок.

Логика работы цифрового двойника мультимодальных цепей перевозок железнодорожной транспортной сетью на основе нашего анализа представлена на рис. 1.

Элементами физического пространства 1 служат логистические подсистемы, обеспечивающие материальные потоки по железнодорожной сети, в узлах которых возможно строительство логистических объектов (ТЛЦ, КТ).

Информационные потоки железнодорожной логистической сети отображаются элементами виртуального пространства 2, где узлами могут быть базы данных, а дугами – связи между ними. Сценарный подход обеспечивает моделирование процесса перевозок.

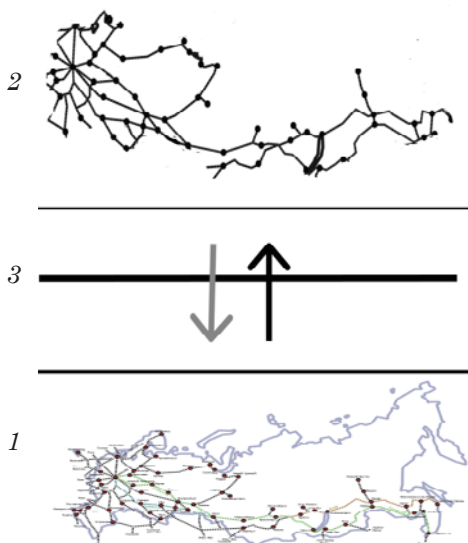


Рис. 1. Схема цифрового двойника цепи поставок на примере сети железных дорог РФ
1 – физическое пространство; 2 – виртуальное пространство; 3 – связь физического пространства с виртуальным

Связь между пространствами 3 представляется обменом информацией ТЛЦ и КТ с базой данных цифрового двойника с помощью сенсоров. При взаимодействии происходит синхронизированный обмен данными цифровых двойников всей цепи поставок.

На основе элементов пространства 1, 2 и 3 можно разработать иерархическую организацию вложения цифровых двойников логистической системы.

Иерархическая модель объектов реального пространства логистической системы представлена на рис. 2.

Уровень I включает неделимые цифровые двойники логистических микрообъектов (склады, транспортные средства, погрузочно-разгрузочные механизмы и др.). Уровень II отражает все объекты уровня I и взаимодействие между ними, ограниченные одним логистическим объектом. Функции на уровне II определяют все возможности логистического объекта (например, разгрузка контейнера транспортным средством, контроль пропускной способности логистического объекта и т.д.). Уровень III содержит подсистемы уровня II, их отношения (например, автомобильные, железнодорожные, морские пути), а также отправителя и получателя (конечные участники логистической цепи). На этом уровне формируется цепь поставок. Уровень IV содержит множество цепей

поставок и связи между ними (трансграничные, международные перевозки).

Иерархическая модель применима для описания существующей транспортной сети на примере концептуальной модели уровня III. При этом модели AS IS демонстрируют процесс доставки груза мультимодальным и интермодальным транспортом от отправителя к получателю и этапы прохождения груза через логистические объекты соответствующих уровней (рис. 3).

В нижней части рис. 3 представлено движение материальных потоков между логистическими объектами от отправителя к получателю. Допускается комбинация организации перевозок как несколькими видами транспорта (мультимодальные перевозки), так и одним (интермодальные перевозки).

В верхней части рис. 3 показаны возможные информационные потоки в логистической системе. В настоящее время двусторонний обмен данными происходит с помощью информационных систем для отслеживания движения грузов. Они представлены технологиями TMS, APS, SCM, ERP и функционируют независимо друг от друга. В результате прозрачного обмена данными в цепи поставок нет, а это может спровоцировать систематические задержки и увеличить время доставки груза. Возникшую задачу предлагается



Рис. 2. Иерархическая модель организации цифровых двойников в логистической системе виртуального пространства

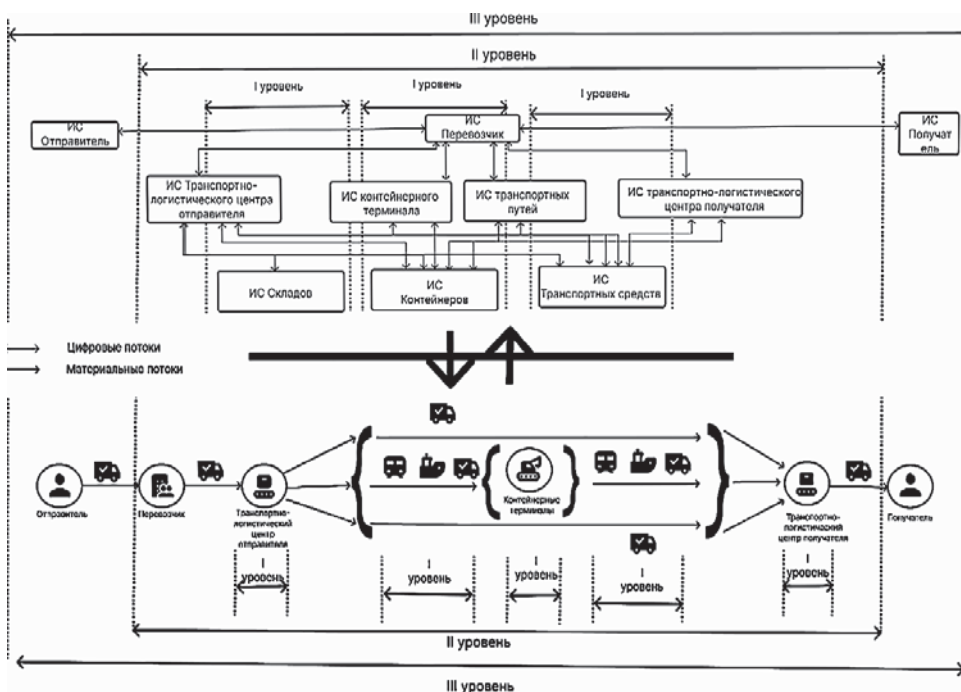


Рис. 3. Модель текущих процессов цепи поставок AS IS логистической системы по методологии DSR

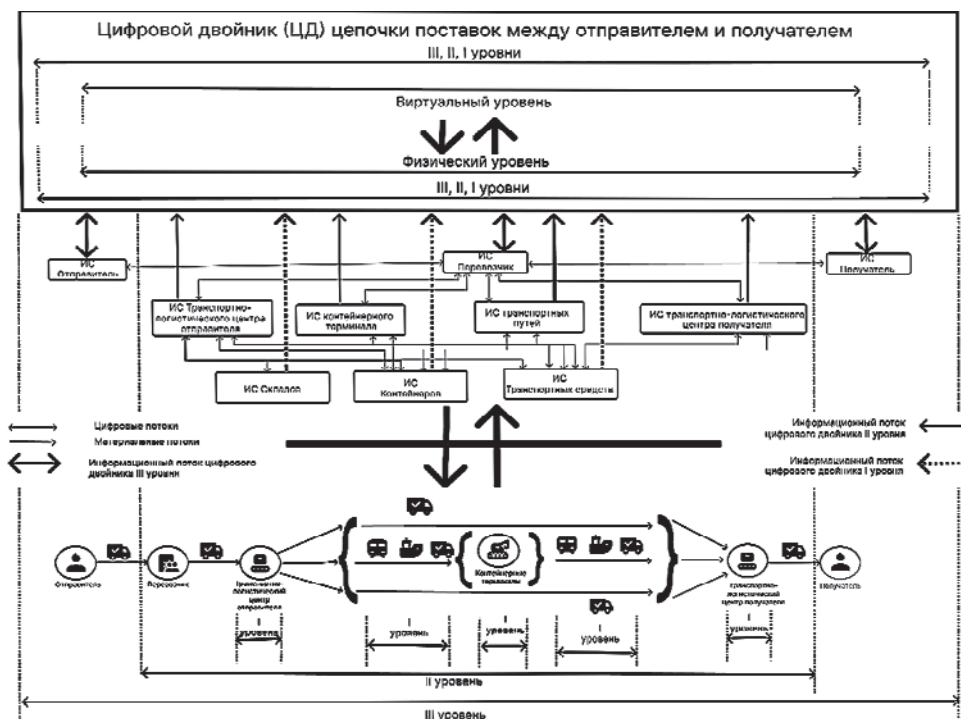


Рис. 4. Предлагаемая модель AS TO BE инновационной реализации цифрового двойника цепи поставок

решить внедрением цифрового двойника цепи поставок.

Модель решения AS TO BE показывает цифрового двойника цепи поставок как надстройку, связывающую физические и цифровые пространства через сенсоры (рис. 4). Цифровой двойник служит центром делегирования полномочий между участниками логистической сети (отправителями, перевозчиками, ТЛЦ, транспортными средствами).

Модель AS TO BE позволяет определить возможные отклонения от модели текущих процессов AS IS, мешающих внедрить цифровой двойник цепи поставок в логистическую систему. Они представлены моделью SWOT диаграммы, предполагающей оценку сильных и слабых сторон, возможностей и угроз.

Результаты анализа рыночных возможностей и сильных сторон модели AS TO BE цифрового двойника ТЛС,

полученные на основании работ [14–16], приведены в таблице 4 (возможности цифрового двойника цепи поставок разграничены на аналитические, дистанционные, прогнозные и диагностические).

К аналитическим относится расчет производных показателей цепи поставок на основе данных, полученных из физического пространства, что позволит дальнейшую направленную модернизацию цифрового двойника.

Дистанционные возможности цифрового двойника обеспечивают автоматизированный мониторинг состояния логистических объектов на основе виртуальных данных, управление логистическими объектами цепи поставок по данными.

Возможности прогнозирования используются для эффективного принятия управленческих решений. Цифровой

Таблица 4

Результаты анализа рыночных возможностей и сильных сторон модели AS TO BE цифрового двойника ТЛС

Характеристика	Свойство
Сильные стороны	Мониторинг логистических объектов или цепи поставок в режиме реального времени Дистанционное управление цифровым двойником логистических объектов Вычисление прогнозных показателей логистических объектов или цепей поставок Помощь принятия управленческих решений
Слабые стороны	Недостаток квалифицированного персонала Недостаток или отсутствие технологических решений Высокая стоимость внедрения Низкий уровень кибербезопасности Низкий уровень совместимости цифрового двойника с автоматизированными системами управления Слабая законодательная база
Возможности	Улучшение контроля за состоянием логистических объектов Сокращение времени принятия управленческих решений Прогнозирование пропускной способности логистического объекта Комплексный анализ работы цепи поставок или логистического объекта Получение данных в режиме реального времени
Угрозы	Утечка кадров Программные сбои Киберпреступления Неоптимальный расход финансовых средств для внедрения цифрового двойника в логистические объекты Предоставление недостоверных сведений цифровому двойнику

двойник не только выделяет риски вероятных нарушений в цепи поставок, но и предлагает необходимые решения.

Заключение

В работе определен понятийный аппарат на основе цифровых решений для логистических цепей поставок, цифровых двойников, состояния логистической отрасли, концептуальное моделирование цепей поставок при формировании

логистических отношений, модели AS IS и AS TO BE для цифрового двойника цепей поставок в логистике, SWOT-анализ отклонений моделей текущего состояния и возможных решений. Показано, что для иерархической управляемой системы, которой являются ТЛС, цифровые двойники представляют собой эффективный механизм системы управления. Подтверждена гипотеза об рациональности применения технологии цифрового двойника цепи поставок. ■

Литература

1. Qadir I., Ali A. Importance of logistics processes for customer service and firm performance: Evidence from furniture industry of Pakistan // *Management Journal of Sustainable Business and Management Solutions in Emerging Economies*. 2017. № 22. С. 27–36. ISSN 1820-0222.
2. Straube F. E-Logistik: Ganzheitliches Logistikmanagement : монография. – Germany : Springer, 2004. С. 424. ISBN 978-3-642-62188-8.
3. Ивашкин М. В., Зубкова В. И. Об одной задаче имитационного моделирования региональных мультимодальных перевозок / Сб. науч. ст. «Весенние дни науки». – Екатеринбург, 2022. С. 45–50. ISBN 978-5-91256-557-1.
4. Straube F., Reipert J., Schöder D. City-Logistik der Zukunft – Im Spannungsfeld von Elektromobilität und Digitalisierung // *Wirtsch Inform Management*, 2017. № 9. С. 28–35. ISSN 1867-5913.
5. Busse, A., Gerlach, B., Lengeling, J.C., Poschmann, P., Werner, J., Zarnitz, S. Towards. Digital Twins of Multimodal Supply Chains // *Logistics*, 2021. № 5. С. 25. ISSN 2305-6290.
6. Moshood T. D., Nawansir G., Sorooshian S., Okfalisa O. Digital Twins Driven Supply Chain Visibility within Logistics: A New Paradigm for Future Logistics // *Applied system innovation*, 2021. № 4. С. 29. ISSN 2571-5577.
7. Транспортно-логистические центры. URL: <http://mintrans.org/ftpgetfile.php?id=11> (дата обращения: 25.10.2023).
8. Мухина И. И., Смирнова А. В. Современные тенденции управления транспортно-логистическими комплексами. URL: <https://wcj.world/PDF/19ECMZ121.pdf> (дата обращения: 27.11.2022).
9. Утушкина А. Е., Шведов В. Е. Перевозки контейнерных грузов через мультимодальный хаб // *Вестник Санкт-Петербургского университета гражданской авиации*, 2019. № 1. С. 133–142. ISSN 1025-3106.
10. Gerlach B., Zarnitz S., Straube F. Digital Twins in Logistics and Supply Chain Management – Conceptual Clarification, Use Cases and Potentials of «Digital Supply Chain Twins» // *Logistics*, 2021. № 5 (4). ISSN 2305-6290.
11. Blomkvist Y., Ullemar Loenbom, L. Improving Supply Chain Visibility within Logistics by Implementing a Digital Twin: A Case Study at Scania Logistics; KTH Royal Institute of Technology: Stockholm, Sweden, 2020.
12. Вильданова А. Н., Хайбиева Л. П. Коронавирус и его влияние на эффективность грузовых железнодорожных перевозок // *Теория права и межгосударственных отношений*, 2021. № 5. С. 134–140. ISSN2070-1039.
13. Компании предупредили о росте транспортных расходов в России. URL: <https://www.rbc.ru/business/13/03/2022/6228b8379a79477c4c1520c7> (дата обращения: 25.10.2023).
14. Elgarah W., Falaleeva N., Saunders C. C., V. Shim J. T., Courtney J. F. Data Exchange in Inter-Organizational Relationships: A Review through Multiple Conceptual Lenses // *Data Base for Advances in Information Systems*, 2005. С. 8–29.
15. ISO 30401:2018. Knowledge management systems – Requirements: Information management system (IMS): collection of hardware, software, people, policies, and procedures needed to create, store, manage, share, and use information within an organization. URL: <https://www.iso.org/obp/ui/#iso:std:iso:30401:ed-1:v1:en> (дата обращения: 25.10.2023).

16. El Maraghy A. Digital Twin: Manufacturing Excellence through Virtual Factory Replication / Сб. науч. ст. «IEEE International Conference on Engineering, Technology and Innovation (ICE/ITMC)». 2018. С. 1–7.

References

1. Qadir I., Ali A. Importance of logistics processes for customer service and firm performance: Evidence from furniture industry of Pakistan // Management Journal of Sustainable Business and Management Solutions in Emerging Economies. 2017. No. 22. Pp. 27–36. ISSN 1820-0222.
2. Straube F. E-Logistik: Ganzheitliches Logistikmanagement: monograph. – Germany: Springer, 2004. P. 424. ISBN 978-3-642-62188-8.
3. Ivashkin M. V., Zubkova V. I. About a problem of simulation modeling of regional multimodal transportation / Collected articles 'Spring Days of Science'. [Ob odnoy zadache imitatsionnogo modelirovaniya regional'nykh mul'timodal'nykh perevozok / Sb. nauch. st. 'Vesenniye dni nauki'.] 2022. Pp. 45–50. ISBN 978-5-91256-557-1.
4. Straube F., Reipert J., Schöder D. City-Logistik der Zukunft – Im Spannungsfeld von Elektromobilität und Digitalisierung // Wirtsch Inform Management, 2017. No. 9. Pp. 28–35. ISSN 1867-5913.
5. Busse, A., Gerlach, B., Lengeling, J.C., Poschmann, P., Werner, J., Zarnitz, S. Towards. Digital Twins of Multimodal Supply Chains // Logistics, 2021. No. 5. P. 25. ISSN 2305-6290.
6. Moshood T. D., Nawansir G., Sorooshian S., Okfalisa O. Digital Twins Driven Supply Chain Visibility within Logistics: A New Paradigm for Future Logistics // Applied system innovation, 2021. No. 4. P. 29. ISSN 2571-5577.
7. Transport and logistics centers. [Transportno-logisticheskiye tsentry.] URL: <http://mintrans.org/ftpgetfile.php?id=11> (access date: 25.10.2023).
8. Mukhina I. I., Smirnova A. V. Modern trends in the management of transport and logistics complexes. [Sovremennyye izmeneniya v upravlenii transportno-logisticheskimi kompleksami.] URL: <https://wcj.world/PDF/19ECMZ121.pdf> (access date: 27.11.2022).
9. Utushkina A. Ye., Shvedov V. Ye. Container cargo transportation through a multimodal hub // Bulletin of the St. Petersburg University of Civil Aviation. [Perevozki konteynernykh грузов через mul'timodal'nyy khab // Vestnik Sankt-Peterburgskogo universiteta grazhdanskoy aviatsii.] 2019. № 1. Pp. 133–142. ISSN 1025-3106.
10. Gerlach B., Zarnitz S., Straube F. Digital Twins in Logistics and Supply Chain Management – Conceptual Clarification, Use Cases and Potentials of «Digital Supply Chain Twins» // Logistics, 2021. № 5 (4). ISSN 2305-6290.
11. Blomkvist Y., Ullemar Loenbom, L. Improving Supply Chain Visibility within Logistics by Implementing a Digital Twin: A Case Study at Scania Logistics; KTH Royal Institute of Technology: Stockholm, Sweden, 2020.
12. Vil'danova A. N., Khaybiyeva L. R. Coronavirus and its impact on the efficiency of freight rail transportation // Theory of law and interstate relations. [Koronavirus i yego vliyaniye na effektivnost' gruzovykh zheleznodorozhnykh perevozok // Teoriya prav i mezhgosudarstvennykh otnosheniy.] 2021. № 5. Pp. 134–140. ISSN 2070-1039.
13. Companies warn about rising transport costs in Russia. [Kompanii predupredili o roste raskhodov v Rossii.] URL: <https://www.rbc.ru/business/13/03/2022/6228b8379a79477c4c1520c7> (access date: 25.10.2023).
14. Elgarah W., Falaleeva N., Saunders C. C., V. Shim J. T., Courtney J. F. Data Exchange in Inter-Organizational Relationships: A Review through Multiple Conceptual Lenses // Data Base for Advances in Information Systems, 2005. Pp. 8–29.
15. ISO 30401:2018. Knowledge management systems – Requirements: Information management system (IMS): collection of hardware, software, people, policies, and procedures needed to create, store, manage, share, and use information within an organization. URL: <https://www.iso.org/obp/ui/#iso:std:iso:30401:ed-1:v1:en> (access date 10/25/2023).
16. El Maraghy A. Digital Twin: Manufacturing Excellence through Virtual Factory Replication / Sat. scientific Art. «IEEE International Conference on Engineering, Technology and Innovation (ICE/ITMC)». 2018. Pp. 1–7.

Аспирантская тетрадь

УДК 625.122

Ю. С. Меркурьев

Моделирование сейсмического воздействия на земляное полотно с демпфирующим слоем. Сравнение аналитического и конечно-элементного методов

UDC625.122

Yu. S. Merkuryev

Modeling seismic impact on substrate with a damping layer. Comparison of analytical and finite element methods

Аннотация

Рассматривается проблема математического моделирования сейсмического воздействия на земляное полотно железной дороги. При моделировании использовались коэффициенты горизонтального и вертикального ускорений грунта, регламентированные строительными нормами, и сгенерированная акселерограмма.

Для анализа устойчивости и напряженно-деформированного состояния земляного полотна при землетрясении проведены расчеты в программных комплексах ГЕО5 «Устойчивость откоса» и ГЕО5 МКЭ; оценена сходимость результатов.

Определено наиболее неблагоприятное сочетание

направлений компонент сейсмического воздействия, сделан вывод о их влиянии на результаты расчетов. Приведены значения коэффициента устойчивости насыпи, величины напряжений и деформаций в конструкции земляного полотна и основания при различных параметрах расчетной схемы и при разной интенсивности землетрясения. По результатам анализа полученных значений оценивается корректность отражения картины напряженно-деформированного состояния насыпи.

Обоснована необходимость и эффективность применения метода конечных элементов для расчетов напряженно-деформированного состояния грунтового

сооружения с учетом сейсмического воздействия. Определен характер влияния физико-механических характеристик конструкции земляного полотна на его устойчивость и напряженно-деформированное состояние при землетрясении.

Произведены расчеты конструкции с демпфирующим слоем, вводимого в конструкцию для снижения негативного влияния сейсмичности. Определены зависимости коэффициента устойчивости, напряжений и деформаций в земляном полотне от параметров демпфирования. Установлена возможность повышения устойчивости, снижения напряжений и уменьшения деформаций земляного полотна

Статья рекомендована к публикации А. Ф. Колосом, канд. техн. наук, доцентом; Петербургский государственный университет путей сообщения Императора Александра I. E-mail: kolos@pgups.ru.

Юрий Сергеевич Меркурьев, ведущий инженер-проектировщик отдела путей и сооружений, АО «Ленгипрострой»; Санкт-Петербург, Россия. E-mail: merku50@mail.ru. ORCID0009-0004-2891-2818.

© Ю. С. Меркурьев, 2023

The article has been recommended for publication by A. F. Kolos, Ph.D. in Technical Sciences, Associate Professor; Emperor Alexander I st. Petersburg State Transport University E-mail: kolos@pgups.ru.

Yuriy Sergeevich Merkuryev, leading design engineer, Department of tracks and structures, Lengiprostroy JSC; Saint-Petersburg, Russia. E-mail: merku50@mail.ru. ORCID0009-0004-2891-2818.

© Yu. S. Merkuryev, 2023

при сейсмическом воздействии с помощью устройства демпфирующего слоя или использования в качестве материала для насыпи грунтов с определенными физико-механическими характеристиками.

Ключевые слова: земляное полотно, сейсмическое воздействие, демпфирующий слой, устойчивость, напряженно-деформируемое состояние, численный эксперимент.

DOI: 10.20291/2079-0392-2023-4-122-134

Abstract

The mathematical modeling of seismic impact on the railway subgrade has been considered. While modeling used the coefficients of horizontal and vertical ground accelerations, regulated by building codes, and the generated accelerogram. Analyzing the stability and stress-strain state of the subgrade during an earthquake requires calculations carried out in the

GEO5 «Slope Stability» and GEO5 FEM software packages. The convergence of the results has been assessed. The most unfavorable combination of directions of seismic impact components has been determined, and a conclusion has been made about their influence on the calculation results. The values of the stability coefficient for the embankment, the magnitude of stresses and deformations in the structure of the subgrade and foundation have been given for various parameters of the design scheme and for different earthquake intensities. The results of the analysis allow to estimate the correctness of the reflection of the picture of the stress-strain state of the embankment has been assessed. The necessity and effectiveness of using the finite element method for calculating the stress-strain state of a soil structure taking into account seismic effects is substantiated. The nature of the influence of the physical

and mechanical characteristics of the roadbed structure on its stability and stress-strain state during an earthquake has been determined.

The author made some calculations of a structure with a damping layer introduced into the structure to reduce the negative impact of seismicity. The dependences of the stability coefficient, stresses and deformations in the roadbed on damping parameters have been determined. The possibility of increasing stability, reducing stresses and reducing deformations of the subgrade under seismic influences using a damping layer or using soil with certain physical and mechanical characteristics as a material for embankment has been established.

Key words: roadbed, seismic impact, damping layer, stability, stress-strain state, numerical experiment.

DOI: 10.20291/2079-0392-2023-4-122-134

Расчеты устойчивости и определение напряженно-деформированного состояния (НДС) производятся для оценки надежности конструкции земляного полотна. Критериями надежности служат минимально допустимый коэффициент устойчивости K_y и максимально допустимые напряжения и деформации.

В проектировании конструкции земляного полотна железной дороги требуется корректно учитывать сейсмическое воздействие. В нормативных документах закреплены аналитические методы расчета как достаточные для учёта сейсмических нагрузок в расчетах земляного полотна железных и автомобильных дорог на устойчивость. Но полностью (одновременный учёт пластических и упругих деформаций – переход кинетической энергии сейсмической волны

в механическую энергию перемещения частиц грунтовой конструкции) отразить НДС как при землетрясении, так и по его завершении нельзя.

Землетрясение – динамический процесс, при котором сейсмическая волна постепенно проходит от места образования в гипоцентре к основанию и далее к железнодорожному пути (состоящему из земляного полотна, верхнего строения пути, противодеформационных и других сооружений [1]). Особенности землетрясения – волновые свойства сейсмике, которые учитывают при расчётах НДС земляного полотна.

Зависимость сжимающих напряжений в теле земляного полотна от параметров землетрясения [2], усовершенствованная автором в части дополнения расчетной схемы демпфирующим слоем [3], не позволяет корректно отразить

природу волнового процесса. Снижение сжимающих напряжений в конструкции достигалось снижением модуля упругости и повышением показателя деформируемости. Некорректность состоит в том, что способность слоев конструкции земляного полотна к поглощению энергии сейсмической волны характеризуется не только их упругостью и деформативностью при определенной мощности, а ещё и их расположением (как взаимным, так и в целом во всей конструкции).

Учет сейсмического воздействия при расчете конструкции земляного полотна железной дороги псевдостатическим методом представлен в [4]. В расчет вводится дополнительная сила, величина которой определяется в зависимости от интенсивности землетрясения. Далее определяется коэффициент устойчивости. Для достижения необходимого значения конструкция усиливается с помощью уположения откосов, устройства бERM, армирования геоматериалами. Все это направлено на восприятие статических нагрузок.

Рассмотрим схему, которая применялась для расчетов аналитическим методом [5]. Здесь демпфирующий слой (ДС) замещает и верхнюю часть основания, и нижнюю часть земполотна для достижения необходимой толщины слоя. Структура ДС выполняется как слоистый композиционный материал с изменяющимися по высоте упругопластическими свойствами (рис. 1).

После первоначального сейсмического толчка сейсмическая волна распространяется во все стороны. Так, от нижних слоев основания энергия передается к вышележащим. С каждым

последующим переходом от гипоцентра и до верха земполотна энергия затухает.

Естественно, что сами слои обладают как определенными границами, так и различными характеристиками. Сейсмические волны подчиняются всем законам волнового движения: на границах сред, т.е. слоёв с разными динамическими характеристиками, они преломляются, отражаются и затухают при удалении от источника [6–9].

Отсюда следует рациональность создания ряда слоев с максимально разными динамическими характеристиками, что будет способствовать более эффективному поглощению энергии.

Прохождение волны в расчетной схеме происходит в дисперсных материалах; их основные динамические характеристики: G_0 – модуль сдвига при малых деформациях, кПа; $\gamma_{0,7}$ – уровень деформации, при котором модуль сдвига снижается до 70 % от величины G_0 ; $E_{\text{дин}}$ – динамический модуль упругости; ξ – коэффициент относительного затухания.

Параметры G_0 , $\gamma_{0,7}$ и $E_{\text{дин}}$ определяют из испытаний в резонансной колонке и динамическом стабилометре [10]. Динамический модуль упругости $E_{\text{дин}}$ – методом одноосного сжатия совместно с ультразвуковыми исследованиями [11]. Коэффициент относительного затухания определяется через параметры демпфирования по Рэлею [12].

Предлагается в качестве демпфирующего элемента ввести в конструкцию слой (несколько слоёв) с динамическими характеристиками, существенно отличающимися от свойств грунта основания и самой насыпи. Манипуляции свойствами и мощностью слоя дадут

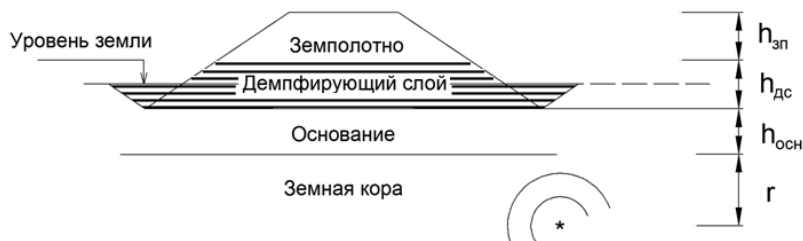


Рис. 1. Схема системы «гипоцентр – земляное полотно с демпфирующим слоем»

возможность достичь целевых показателей по коэффициенту устойчивости, перемещениям и напряжениям.

Аналитический метод расчета

Для начала отметим, что аналитические методы расчёта не учитывают: а) развитие пластических деформаций, являющихся путём высвобождения сейсмической энергии, б) нелинейность физико-механических свойств грунта основания и материалов земляного полотна и в) особенности прохождения сейсмической волны сквозь слои земной коры, основания, железнодорожного пути.

В аналитических методах нет учёта демпфирующих свойств грунтов и других элементов, которые могут быть введены в конструкцию для повышения сейсмоустойчивости.

Тем не менее учет сейсмического воздействия в аналитических методах расчета грунтовых сооружений производится следующими методами: а) введение дополнительных инерционных сил, пропорциональных интенсивности землетрясения [4, 13–15], б) поворот поперечного сечения [16, 17], в) снижение прочностных характеристик [18].

Эти методы сохраняют расчетную схему в статической постановке. При этом в разных вариациях увеличиваются сдвигающие силы и уменьшаются силы сопротивления.

По результатам аналитических расчетов сопоставляются коэффициенты устойчивости для различных расчетных случаев. Определяется критическое сочетание вертикальной и горизонтальной компонент сейсмического

воздействия и влияние характеристик материала насыпи на её общую устойчивость, оценивается величина запаса устойчивости, получаемой при различных положениях и мощности ДС.

Исходная конструкция без демпфирующего слоя без учета сейсмики

Для расчетов принята конструкция насыпи высотой 15 м с бермами шириной 4 м и крутизной откосов 1:1,5–1:1,75–1:2. Грунт основания и насыпи земляного полотна – песок средней крупности. Физико-механические характеристики для расчетов: удельный вес грунта $\gamma = 18,0 \text{ кН/м}^3$; угол внутреннего трения $\phi = 36^\circ$; удельное сцепление грунта $c = 3,0 \text{ кПа}$.

На поверхности основной площадки земляного полотна (ОПЗП) действуют нагрузки 90 кН/м от подвижного состава шириной 3 м и 15 кН/м от верхнего строения пути шириной 5 м.

Входным параметром кроме характеристик грунта служит и поверхность скольжения, которая может быть смоделирована двумя способами: как круглоцилиндрическая (методы Феллениуса и Петтерсона, Бишоп, Спенсера, Джанбу, Моргенштерна и Прайса, Шахунянца) или как полигональная (методы Сарма, Спенсера, Джанбу, Моргенштерна и Прайса, Шахунянца).

При расчете точки выхода критической поверхности скольжения (КрПС) на поверхность земляного полотна практически одинаковые: середина участка приложения нагрузки на ОПЗП и середина откоса (рис. 2). Положение КрПС

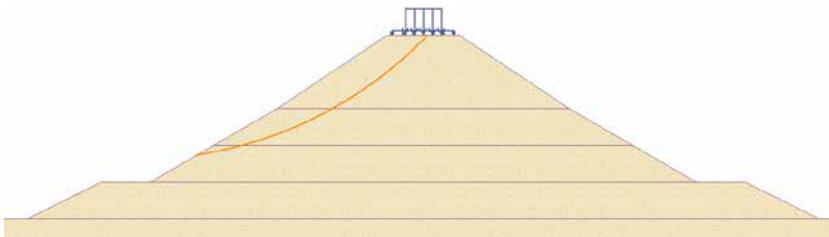


Рис. 2. Положение КрПС при расчете устойчивости в программе «ГЕО5 Устойчивость»

в аналитическом методе идентично получаемой методом конечных элементов (МКЭ). Значение коэффициентов устойчивости для методов Бишопа, Спенсера, Джанбу, Моргенштерна и Прайса составляет 1,35, Феллениуса и Петтерсона – 1,25, Шахунянца – 1,27.

Для дальнейших расчетов аналитическим методом с учетом сейсмичности в программе ГЕО5 «Устойчивость откоса» принят метод Бишопа. Получаемые с его помощью коэффициенты устойчивости максимально близки к значениям степени устойчивости, получаемым по МКЭ.

Исходная конструкция без демпфирующего слоя с учетом сейсмики

Действие землетрясения в программном комплексе ГЕО5 «Устойчивость откоса» задаётся через приложение дополнительных инерционных сил (горизонтальных и вертикальных) ко всей расчетной схеме. Вертикальную сейсмическую нагрузку в соответствии с [3] следует учитывать совместно с горизонтальной при расчете сооружения на устойчивость против скольжения.

Вертикальная компонента сейсмического воздействия может составлять

до половины от значения горизонтальной ($k_v = \pm 0,5k_h$). Значения коэффициента горизонтального и вертикального ускорений приведены в соответствии с «ЕН1998-5 Еврокод 8» [15]. Значение коэффициента k_h совпадает с регламентированными в [4, 13, 14]. Результаты выполненных расчетов коэффициента устойчивости при разных сочетаниях компонент сейсмического воздействия сведены в таблицу 1.

На этом этапе расчета можно сделать вывод, что устойчивость сооружения минимальна при вертикальной компоненте, направленной вверх. Утверждение становится явным при 10-балльном уровне интенсивности сейсмического воздействия. Транспортные сооружения, как правило, не рассчитывают на такое сейсмическое воздействие и не строят в таких районах. КрПС расположены так же, как и при отсутствии сейсмичности (см. рис. 2).

Результаты выполненного расчета показывают, что для насыпей вертикальную сейсмическую силу задавать не следует. Это связано с тем, что при ее направлении вверх будет уменьшен вес отсека и снижена касательная (сдвигающая) сила. При направлении вниз будет увеличен вес и повышено сопротивление за счет сил трения*.

Таблица 1

Значения коэффициента устойчивости, полученные в программном комплексе «ГЕО5 Устойчивость» в зависимости от наличия и направления вертикальной компоненты сейсмического воздействия

Направление вертикальной компоненты $k_v = \pm 0,5k_h$	Расчетный коэффициент устойчивости				
	при интенсивности	7	8	9	10
	k_h	0,025	0,05	0,1	0,25
	k_v	0,0125	0,025	0,05	0,125
Отсутствует		1,35	1,23	1,12	0,86
Вниз		1,35	1,23	1,12	0,89
Вверх		1,35	1,23	1,11	0,82

* Выявленная незначительная разница получена для конкретных физико-механических и геометрических характеристик расчетной схемы и, вероятно, может отсутствовать или стать обратной при иных исходных данных.

Изменение свойств грунта земляного полотна при различных значениях интенсивности землетрясения

Исходными для основания и насыпи считаются характеристики $\gamma = 18 \text{ кН/м}^3$; $\varphi = 36^\circ$; $c = 3 \text{ кПа}$. Для выявления зависимости коэффициента устойчивости от одного из основных параметров материала меняется только один из них при сохранении других постоянными. Результаты расчёта сведены в таблицу 2.

Итак, в условиях сейсмического воздействия зависимость коэффициента устойчивости насыпи прямо пропорциональна углу внутреннего трения

и удельному сцеплению и обратно пропорциональна удельному весу (без нагрузки на ОПЗП). Очевидно снижение устойчивости при увеличении интенсивности землетрясения.

Конструкция с демпфирующим слоем с учетом сеймики

На основе выявленных зависимостей коэффициента устойчивости от характеристик грунта моделируется поведение насыпи при различной мощности и положении демпфирующего слоя. Характеристики материала демпфирующего слоя: $\gamma = 16 \text{ кН/м}^3$; $\varphi = 40^\circ$; $c = 20 \text{ кПа}$. Результаты расчётов сведены в таблицу 3.

Таблица 2

Значения коэффициента устойчивости в зависимости от характеристик грунта насыпи (без нагрузки / с нагрузкой)

Характеристика грунта насыпи, значение		Расчетный коэффициент устойчивости при интенсивности землетрясения, балл		
		7	8	9
Удельный вес грунта, $\Delta\gamma$ [кН/м ³] при $\varphi = 36^\circ$ и $c = 3 \text{ кПа}$	16	1,45/1,28	1,38/1,22	1,25/1,12
	18	1,43/1,29	1,35/1,23	1,23/1,12
	20	1,40/1,29	1,33/1,23	1,21/1,12
Угол внутреннего трения, $\Delta\varphi$ [град] при $\gamma = 18 \text{ кН/м}^3$ и $c = 3 \text{ кПа}$	30	1,17/1,05	1,11/1,10	1,01/0,91
	36	1,43/1,29	1,35/1,23	1,23/1,12
	40	1,61/1,46	1,53/1,40	1,39/1,27
Удельное сцепление грунта, Δc [кПа] при $\gamma = 18 \text{ кН/м}^3$ и $\varphi = 36^\circ$	3	1,43/1,29	1,35/1,23	1,23/1,12
	10	2,01/1,56	1,92/1,49	1,74/1,36
	20	2,30/1,89	2,17/1,81	1,95/1,67

Таблица 3

Значения коэффициента устойчивости в зависимости от мощности и положения ДС (без нагрузки / с нагрузкой)

Вариант усиления	Положение ДС в конструкции насыпи		Расчетный коэффициент устойчивости при интенсивности		
	низ	верх	7	8	9
1	0	+3,00	1,42/1,29	1,35/1,23	1,23/1,12
2	0	+6,00	1,45/1,29	1,38/1,23	1,25/1,12
3	+3,00	+6,00	1,45/1,29	1,38/1,23	1,25/1,12
4	0	+9,00	1,50/1,29	1,44 /1,24	1,31/1,13
5	+6,00	+9,00	1,51/1,29	1,44/1,24	1,31/1,13
			1,68/1,48	1,60/1,41	1,45/1,29
6	+9,00	+12,00	1,80/1,38	1,72/1,32	1,59/1,20
			1,59/1,42	1,51/1,36	1,37/1,23

Для случаев расположения ДС на уровнях от +6,00 до +9,00 и от +9,00 до +12,00 в числителе приведены значения K_y массива, лежащего выше ДС (локальная устойчивость), в знаменателе – K_y массива, включающего ДС (общая устойчивость).

Следует отметить некоторые особенности положения критической поверхности скольжения (КрПС) в зависимости от варианта усиления конструкции.

Приближение ДС одной и той же мощности к ОПЗП земполотна (варианты 1-3-5) без нагрузки уменьшает вероятность обрушения вышележащего массива. КрПС упирается в ДС до тех пор, пока он не окажется достаточно близко к ОПЗП (варианты 1-3-5-6). В этом случае (вариант 6) КрПС «пробивает» демпфирующий слой.

С наличием нагрузки вероятность обрушения вышележащих слоёв остаётся постоянной (варианты 1-2-4-5), пока ДС не окажется достаточно близко к ОПЗП (вариант 6). КрПС во всех случаях остаётся выше ДС.

Общая устойчивость насыпи без нагрузки определяется положением ДС (варианты 5 и 6).

Выводы по аналитическим методам расчёта

В расчетах устойчивости следует исключать учет вертикальной компоненты землетрясения. Зависимость коэффициента устойчивости насыпи от удельного веса грунта обратно пропорциональна (без нагрузки на ОПЗП), от угла внутреннего трения и удельного сцепления прямо пропорциональна. Для расчетной величины интенсивности землетрясения вероятность обрушения насыпи определяется мощностью и положением демпфирующего слоя в конструкции насыпи.

Метод конечных элементов. Псевдостатика

Обоснование основных параметров расчета. Модель грунта

Выбор модели грунта определяется целью расчета и характеристиками исследуемого материала.

Линейная модель (базовая материальная модель) предполагает линейную зависимость между напряжением и деформацией. При этом нет различия между нагрузкой и разгрузкой, что важно в циклическом нагружении (сейсмическом воздействии).

Линейные модели материала вполне достаточны в случае однородных упругих изотропных материалов. Но в случае грунтовой среды, которая обладает неупругим поведением, ее недостаточно. При выборе модели грунта важно и то, что расчет устойчивости методом конечных элементов для линейно-упругой модели не доступен.

Нелинейные модели помимо упругой (восстанавливаемой) описывают развитие пластической (необратимой) деформации материала. Наступление пластической деформации контролируется так называемой поверхностью текучести. Метод определения такой поверхности – главное различие между моделями этого класса. Для более достоверного описания поведения грунтового массива и возможности сравнения результатов с аналитическим расчетом устойчивости необходимо использовать нелинейные модели*.

Физико-механические характеристики грунта принимаются теми же, что и в аналитическом расчете в ГЕО5 «Устойчивость откоса». Для расчета модели грунта Мора – Кулона в ГЕО5 МКЭ необходимо добавить следующие показатели (в скобках добавлены пояснения по заданию параметров, рекомендованных разработчиками

* Модель Мора – Кулона входит в класс моделей, которые могут моделировать упрочнение и смягчение. Их общая особенность заключается в развитии неограниченных упругих деформаций при загрузке по геостатической оси.

программного комплекса): коэффициент Пуассона $\nu = 0,3$; модуль деформации $E_{\text{деф}} = 32,0$ МПа; модуль разгрузки $E_{\text{ур}} = 100,0$ МПа ($E_{\text{ур}} \approx 3E_{\text{деф}}$); угол дилатансии $\psi = 6^\circ$ ($\varphi - 30^\circ$).

Сетка конечных элементов

Сетка конечных элементов сформирована с длиной ребра 3 м (значение выбрано для ускорения проводимых расчетов). В ходе всего исследования использованы как более мелкие элементы, так и более крупные. Результаты расчетов схожи между собой (выходные значения напряжений и деформаций, а также в целом распределение значений по расчетной схеме). В схеме с более мелкой сеткой расчет производился значительно дольше, но распределение значений по поперечному сечению было более детализированным.

Область действия сеймики
в псевдостатической постановке,
размер расчетной схемы,
граничные условия

При псевдостатическом расчёте (задание дополнительных инерционных сил) определяется область действия сейсмической нагрузки – область, в которой предполагается наличие КрПС. В расчёте выделяется поперечное сечение насыпи. Это определено тем, что при расчетах аналитическим методом КрПС проходили в пределах поперечного сечения насыпи выше поверхности основания.

Размер расчетной схемы не влияет на результаты расчёта степени устойчивости насыпи, т.к. программный комплекс хоть и снижает характеристики материалов всей расчетной области, но итоговые изменения отражаются только в области действия сеймики. Рассматриваются два варианта размера массива основания шириной и глубиной 100×1 и 100×30 .

Последовательность расчёта

Сначала определяется геостатическое напряженное состояние, так называемый анализ упругости (параметры природного напряженного состояния грунта, т.е. задаётся соотношение вертикальных и горизонтальных сил).

Далее в несколько этапов проводится нелинейный анализ НДС – нагружение постепенно увеличивается в отдельных расчетных шагах. Анализ завершается успешно при условии конвергенции (сходимости) всех расчётных шагов и достижения 100 % заданной нагрузки. В течение анализа программа пытается прийти к такому решению, которое удовлетворяет данной нагрузке и граничным условиям глобального равновесия. Результат – получение изоповерхностей напряжений и деформаций в поперечном сечении насыпи от действующей нагрузки и собственного веса грунта.

Модуль расчёта устойчивости в ГЕО5 МКЭ уменьшает заданные значения угла внутреннего трения и удельного сцепления грунта и прослеживает тот момент, когда произойдёт пластификация (переход из упругой стадии работы в пластическую) конструкции и потеря её устойчивости. В результате расчёта вычисляется параметр степени устойчивости, который соответствует классическим методам расчётов на устойчивость в аналитической постановке.

Параметр пластической эквивалентной девиаторной деформации $E_{d,pl}$, %, определяет положение области вероятного развития критических поверхностей обрушения.

Рассчитанная в этом модуле программы деформация конструкции соответствует состоянию расчёта приведённых (уменьшенных) параметров грунтов и не имеет ничего общего с истинной деформацией: она даёт только картину поведения откоса (склона) или конструкции в момент разрушения, т.е., иными словами, форму поверхности скольжения.

Динамические характеристики ($E_{\text{дин}}$, ξ) не влияют на величину коэффициента устойчивости, следовательно, псевдостатический расчёт землетрясения не позволяет в принципе оценить влияние динамических характеристик на устойчивость конструкции.

Исходная конструкция без демпфирующего слоя без учета сейсмики

Распределение по поперечному сечению одной из рассчитанных величин – пластической эквивалентной девиаторной деформации $E_{d,pl}$ – представлено на рис. 3. Показатель степени устойчивости, рассчитанный по МКЭ, в обычных условиях (без ДС и без учета сейсмики) равен 1,32 и достаточно близок к значениям, полученным аналитическим методом. Форма КрПС, получаемой в МКЭ, близка к поверхностям, получаемым аналитическим методом (см. рис. 2).

Исходная конструкция без демпфирующего слоя с учетом сейсмики

В таблице 4 представлены результаты расчетов степени устойчивости исходной конструкции земляного полотна при различных направлениях компонент сейсмического воздействия.

Направление компонент практически не влияет на результат расчёта до интенсивности в 10 баллов, где во всех случаях расчёт завершается некорректно. Это подтверждает необходимость исключения вертикальной компоненты из расчёта.

В таблице 5 представлены результаты расчетов степени устойчивости исходной конструкции для сравнения с аналитическим методом. Методы Бишоп-а, Спенсера, Джанбу, Morgenstern и Прайса наиболее близки по результатам к МКЭ. Методы Шахунянца, Феллениуса и Петерсона занижают устойчивость рассматриваемой конструкции.

Таблица 4

Значения коэффициента устойчивости, полученные в программном комплексе ГЕО5 МКЭ, в зависимости от наличия и направления вертикальной компоненты сейсмического воздействия

Направление вертикальной компоненты $k_v = \pm 0,5k_h$	Расчетный коэффициент устойчивости				
	при интенсивности	7	8	9	10
	k_h	0,025	0,05	0,1	0,25
	k_v	0,0125	0,025	0,05	0,125
Отсутствует		1,32	1,27	1,17	0,73
Вниз		1,35	1,27	1,18	0,90
Вверх		1,35	1,27	1,17	0,53

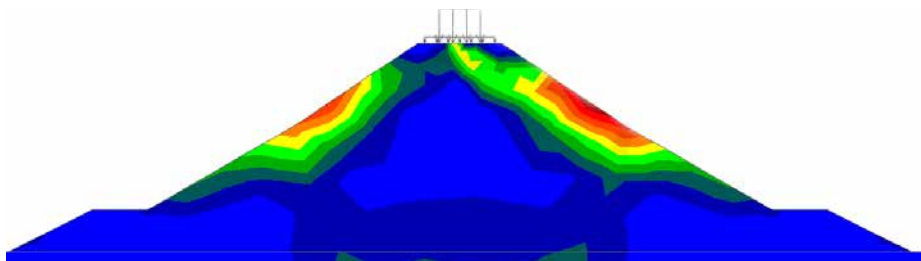


Рис. 2. Исоповерхности пластической эквивалентной девиаторной деформации $E_{d,pl}$ полученные в режиме расчёта устойчивости программы ГЕО5 МКЭ

Таблица 5

Показатели степени устойчивости по МКЭ (в зависимости интенсивности землетрясения для стандартной конструкции без ДС)

		Интенсивность землетрясения, балл		
		7	8	9
Значение коэффициента горизонтальной компоненты k_h		0,025	0,05	0,10
Степень устойчивости по МКЭ		1,32	1,27	1,17
Коэффициенты устойчивости, полученные аналитическими методами	Бишоп	1,29	1,23	1,12
	Феллениус и Петерсон	1,19	1,14	1,04
	Спенсер	1,29	1,23	1,12
	Джанбу	1,29	1,23	1,12
	Моргенштерн и Прайса	1,29	1,23	1,12
	Шахунянц	1,21	1,15	1,04

Изменение свойств грунта земляного полотна при различных значениях интенсивности землетрясения

Результаты расчетов псевдостатическим методом при различных параметрах материала насыпи приведены в таблице 6. При анализе таблиц 2 и 6 видно, что в МКЭ характер зависимости коэффициента устойчивости от основных физико-механических характеристик такой же, как и при аналитических расчетах.

Важно отметить особенности распределения деформаций.

Без нагрузки на ОПЗП существенно захватывается область основания.

С нагрузкой на ОПЗП такая ситуация прослеживается в случае изменения сцепления. И чем сильнее воздействие землетрясения, тем меньше увеличение сцепления влияет на устойчивость.

Конструкция с демпфирующим слоем с учетом сейсмике

Коэффициенты устойчивости насыпи, полученные по МКЭ, вне зависимости от мощности и положения демпфирующего слоя в конструкции (варианты усиления по таблице 3) равны 1,32 для землетрясения 7 баллов, 1,27 – для 8 баллов и 1,17 – для 9 баллов.

Таблица 6

Коэффициент устойчивости в зависимости от характеристик грунта насыпи (без нагрузки/с нагрузкой)

Характеристика грунта насыпи, значение		Расчетный K_y , при интенсивности землетрясения, балл		
		7	8	9
Удельный вес грунта, $\Delta\gamma$ [кН/м ³] при $\varphi = 36^\circ$ и $c = 3$ кПа	16	1,52/1,32	1,41/1,27	1,32/1,17
	18	1,50/1,32	1,41/1,27	1,28/1,17
	20	1,48/1,33	1,39/1,27	1,27/1,17
Угол внутреннего трения, $\Delta\varphi$ [град] при $\gamma = 18$ кН/м ³ и $c = 3$ кПа	30	1,23/1,08	1,17/1,03	1,07/0,90
	36	1,50/1,32	1,41/1,27	1,28/1,17
	40	1,69/1,52	1,58/1,44	1,44/1,33
Удельное сцепление грунта, Δc [кПа] при $\gamma = 18$ кН/м ³ и $\varphi = 36^\circ$	3	1,50/1,32	1,41/1,27	1,28/1,17
	10	2,12/1,81	1,98/1,71	1,78/1,58
	20	2,17/1,91	2,01/1,78	1,78/1,62

Поверхности скольжения во всех случаях схожи и расположены выше уровня бермы.

Выводы по расчётам методом конечных элементов

Преимущество МКЭ заключается в том, что в одной расчетной схеме одновременно вычисляются и характеристики НДС, и степень устойчивости. Показатель степени устойчивости, рассчитанный по МКЭ, достаточно близок к значениям, полученным аналитическим методом. Мощность и положение демпфирующего слоя, динамические характеристики ($E_{\text{дин}}$, ξ) не влияют на величину степени устойчивости, следовательно, псевдостатический расчёт не позволяет корректно оценить эффективность изменения параметров.

Общие выводы

Учёт действия землетрясения в аналитической постановке возможен только псевдостатическим методом. Оценка производится по первому предельному

состоянию через определение коэффициента устойчивости и последующее сравнение с нормативным критерием. При этом динамические характеристики грунта никак не учитываются в расчёте.

Результаты псевдостатического расчёта в МКЭ позволяют оценить надёжность конструкции земляного полотна как по первому, так и по второму предельному состоянию в одной расчетной схеме. Коэффициенты устойчивости, получаемые в МКЭ, коррелируют с аналитическими значениями. Форму критической поверхности скольжения получают по изоповерхностям пластической эквивалентной девиаторной деформации. При псевдостатическом расчёте не учитываются динамические, а, следовательно, и демпфирующие свойства грунта. Колебательный процесс не моделируется, тем самым принципиальное свойство землетрясения исключается допущением расчёта. Моделирование колебательного процесса возможно в динамическом расчёте МКЭ, что является перспективным направлением исследования. ■

Литература

1. ГОСТ 34530-2019. Транспорт железнодорожный. Основные понятия. URL: <https://docs.cntd.ru/document/1200167867> (дата обращения: 07.08.2023).
2. Тюпин В. Н., Непомнящих Е. В. Воздействие землетрясения на железнодорожный путь // Путь и путевое хозяйство. – 2008. – №9. – С. 24–26. ISSN 0131-5765.
3. Алпысова В. А., Меркурьев Ю. С. Влияние демпфирующего слоя на сейсмоустойчивость железнодорожного пути // Путь и путевое хозяйство. – 2015. – № 6. – С. 19–20. ISSN 0131-5765.
4. СП 238.1326000.2015. Железнодорожный путь. URL: <https://docs.cntd.ru/document/1200124323> (дата обращения: 07.08.2023).
5. Меркурьев Ю. С. Определение оптимальных параметров демпфирования земляного полотна железных дорог в сейсмически активных районах // Транспорт Урала. – 2022. – № 4 (81). – С. 80–83. ISSN 1815-9400.
6. Вознесенский Е. А., Кушнарева Е. С., Фуникова В. В. Природа и закономерности поглощения волн напряжений в грунтах // Вестник Московского университета. – Сер. : «Геология». – 2011. – № 4. – С. 39–47. ISSN 0579-9406.
7. Гусев Е. Л. Конструктивные методы синтеза слоисто-неоднородных структур при воздействии упругих волн // Акустический журнал. – 2008. – Т. 54. – № 5. С. 807–815. ISSN 0320-7919.
8. Ишихара К. Поведение грунтов при землетрясениях / Пер. с англ. – СПб : НПО «Гео-реконструкция-фундамент-проект». – 2006. С. 16–21. ISBN 5-9900771-1-4.
9. Сывороткин В. Л. Землетрясения // Пространство и время. – 2011. – № 2 (4). – С. 124–137. ISSN2226-7271.
10. ГОСТ Р 56353-2022 Грунты. Методы лабораторного определения динамических свойств дисперсных грунтов. URL: <https://docs.cntd.ru/document/1200183923> (дата обращения: 07.08.2023).

11. Пиоро Е. В. Динамический модуль упругости и модуль общей деформации модельных и природных глинистых грунтов // Материалы XV Сергеевских чтений, молодежной конференции «Устойчивое развитие: задачи геоэкологии (инженерногеологические, гидрогеологические и геокриологические аспекты)». М. : РУДН. 2013. С. 75–79.
12. Brinkgreve R. B.J., Engin E., Engin H. K. Validation of empirical formulas to derive model parameters for sands // Conference 7th Numerical methods in geotechnical engineering. At Trondheim, Norway. 2010. P. 137–142.
13. СП 472.1325800.2019. Армогрунтовые системы мостов и подпорных стен на автомобильных дорогах. URL: <https://docs.cntd.ru/document/564543318> (дата обращения: 07.08.2023).
14. ОДМ 218.2.053-2015. Рекомендации по оценке сейсмического воздействия при определении устойчивости оползневых участков автомобильных дорог. URL: <https://docs.cntd.ru/document/1200125032> (дата обращения: 07.08.2023).
15. Eurocode 8: Design of structures for earthquake resistance. URL: <https://eurocodes.jrc.ec.europa.eu/EN-Eurocodes/eurocode-8-design-structures-earthquake-resistance?id=138> (дата обращения: 07.08.2023).
16. СП 14.13330.2018. Строительство в сейсмических районах. URL: <https://docs.cntd.ru/document/550565571> (дата обращения: 07.08.2023).
17. СП 358.1325800.2017. Сооружения гидротехнические. Правила проектирования и строительства в сейсмических районах. URL: <https://docs.cntd.ru/document/550566082> (дата обращения: 07.08.2023).
18. СП 269.1325800.2016. Транспортные сооружения в сейсмических районах. Правила уточнения исходной сейсмичности и сейсмического микрорайонирования. URL: <https://docs.cntd.ru/document/456044281> (дата обращения: 07.08.2023).

References

1. GOST 34530-2019. Rail transport. Basic concepts [GOST 34530-2019. Transport zheleznodorozhnyj. Osnovnye ponyatiya.] URL: <https://docs.cntd.ru/document/1200167867> (accessed: 07.08.2023).
2. Tyupin V. N., Nepomnyashchikh E. V. Impact of an earthquake on a railway track // Track and track management [Vozdejstvie zemletryaseniya na zheleznodorozhnyj put' // Put' i putevoe hozyajstvo.] 2008. № 9. Pp. 24–26. ISSN 0131-5765.
3. Alpysova V. A., Merkurjev Yu. S. The influence of a damping layer on the seismic resistance of a railway track // Track and track management [Vliyanie dempfiruyushchego sloya na sejsmoustojchivost' zheleznodorozhnogo puti] // Put' i putevoe hozyajstvo]. 2015. № 6. Pp. 19–20. ISSN 0131-5765.
4. SP 238.1326000.2015. Railway track. [SP 238.1326000.2015. Zheleznodorozhnyj put']. URL: <https://docs.cntd.ru/document/1200124323> (accessed: 07.08.2023).
5. Merkurjev Yu.S. Determination of optimal damping parameters for railway subgrades in seismically active areas // Transport of the Urals [Opredelenie optimal'nyh parametrov dempfirovaniya zemlyanogo polotna zheleznyh dorog v sejsmicheski aktivnyh rajonah // Transport Urala]. 2022. № 4 (81). Pp. 80–83. ISSN 1815-9400.
6. Voznesensky E. A., Kushnareva E. S., Funikova V. V. Nature and patterns of absorption of stress waves in soils // Bulletin of Moscow University. – Ser. : «Geology» [Priroda i zakonomernosti pogloshcheniya voln napryazhenij v gruntah // Vestnik Moskovskogo universiteta. – Ser. : «Geologiya»]. 2011. № 4. Pp. 39–47. ISSN 0579-9406.
7. Gusev E. L. Constructive methods for the synthesis of layered inhomogeneous structures under the influence of elastic waves // Acoustic Journal [Konstruktivnye metody sinteza sloisto-neodnorodnyh struktur pri vozdeystvii uprugih voln // Akusticheskij zhurnal]. 2008. Vol. 54. № 5. Pp. 807–815. ISSN 0320-7919.
8. Ishihara K. Behavior of soils during earthquakes / Transl. from English – St. Petersburg: NPO «Georeconstruction-foundation-project» [Povedenie gruntov pri zemletryasenyah / Per. s angl. – SPb : NPO «Georekonstrukciya-fundament-proekt»]. 2006. Pp. 16–21. ISBN 5-9900771-1-4.
9. Syvorotkin V. L. Earthquakes // Space and time [Zemletryaseniya // Prostranstvo i vremya]. 2011. № 2 (4). Pp. 124–137. ISSN 2226-7271.
10. GOST R56353-2022 Soils. Methods for laboratory determination of the dynamic properties of dispersed soils [GOST R56353-2022 Grunty. Metody laboratornogo opredeleniya

- dinamicheskikh svoystv dispersnykh gruntov]. URL: <https://docs.cntd.ru/document/1200183923> (accessed: 07.08.2023).
11. Pioro E. V. Dynamic modulus of elasticity and modulus of general deformation in model and natural clay soils // Materials of the XV Sergeev' youth readings, conference «Sustainable development: problems of geoecology (geological engineering, hydrogeological and geocryological aspects)» [Dinamicheskij modul' uprugosti i modul' obshchej deformacii model'nyh i prirodnyh glinistyh gruntov // Materialy XV Sergeevskikh chtenij, molodezhnoj konferencii «Ustoichivoe razvitie: zadachi geoekologii (inzhenernogeologicheskie, gidrogeologicheskie i geokriologicheskie aspekty)»]. M. : RUDN. 2013. C. 75–79.
 12. Brinkgreve R. B.J., Engin E., Engin H. K. Validation of empirical formulas to derive model parameters for sands // Conference 7th Numerical methods in geotechnical engineering. At Trondheim, Norway. 2010. P. 137–142.
 13. SP 472.1325800.2019. Reinforced soil systems of bridges and retaining walls on highways [SP 472.1325800.2019. Armogruntovye sistemy mostov i podpornyh sten na avtomobil'nyh dorogah]. URL: <https://docs.cntd.ru/document/564543318> (Accessed: 07.08.2023).
 14. ODM 218.2.053-2015. Recommendations for assessing seismic impact when determining the stability of landslide sections for highways [ODM 218.2.053-2015. Rekomendacii po ocenke seismicheskogo vozdejstviya pri opredelenii ustojchivosti opolznevyh uchastkov avtomobil'nyh dorog]. URL: <https://docs.cntd.ru/document/1200125032> (accessed: 07.08.2023).
 15. Eurocode 8: Design of structures for earthquake resistance. URL: <https://eurocodes.jrc.ec.europa.eu/EN-Eurocodes/eurocode-8-design-structures-earthquake-resistance?id=138> (accessed: 07.08.2023).
 16. SP 14.13330.2018. Construction in seismic areas [SP 14.13330.2018. Stroitel'stvo v seismicheskikh rajonah]. URL: <https://docs.cntd.ru/document/550565571> (accessed: 07.08.2023).
 17. SP 358.1325800.2017. Hydraulic structures. Rules for design and construction in seismic areas [SP 358.1325800.2017. Sooruzheniya gidrotekhnicheskie. Pravila proektirovaniya i stroitel'stva v seismicheskikh rajonah]. URL: <https://docs.cntd.ru/document/550566082> (accessed: 07.08.2023).
 18. SP 269.1325800.2016. Transport structures in seismic areas. Rules for clarifying the initial seismicity and seismic microzoning [SP 269.1325800.2016. Transportnye sooruzheniya v seismicheskikh rajonah. Pravila utochneniya iskhodnoj seismichnosti i seismicheskogo mikrorajonirovaniya]. URL: <https://docs.cntd.ru/document/456044281> (accessed: 07.08.2023).

Статья сдана в редакцию 8 августа 2023 года

Уважаемые коллеги!

Информирую вас о требованиях, предъявляемых к оформлению статей.

При наборе используйте Word-2003 или Word-2007; шрифт (по всему тексту, в том числе в рисунках и таблицах) – тип Times, размер шрифта – 14, межстрочное расстояние – 1,5, абзацный отступ – 1,25 (1,27) см, поля – 2 см; расстановка переносов по всему тексту – автоматическая.

Набор формул: простые формулы и сочетания символов ($x^2 < y^2$; $E = mc^2$; $a^2 + b^2 = c^2$; Q_{i-1} ; ψ_j) – только в текстовом режиме, сложные

$$(s^2 = \frac{1}{n-1} \left[\sum_{j=1}^e x_j^2 n_j - \frac{1}{n} \left(\sum_{j=1}^e x_j n_j \right)^2 \right]; \left(\frac{\sigma_a}{[n]} \right)$$

или S_i^m) – только в редакторе формул

Equation или в MathType.

Написание букв: русские (а, б, в, А, Б, В), греческие (Θ, Σ, Ω, Ψ, α, β, δ, ε, λ, π), а также цифры и аббревиатуры (1, 2, 3; I, II, III; max, lg, sin и т. п.) пишутся только прямо; латинские (a, b, n, A, B, N и т. д.) – только курсивом. Исключение – курсив во вспомогательном тексте (слова «Таблица» и «Рис.», примечания в рисунках и ссылки в тексте на эти примечания).

Оформление текста: левый верхний край – инициалы, фамилия; заголовков – все буквы ПРОПИСНЫЕ, жирные, расположение – по центру набора; таблиц и рисунков: в таблицах размер шрифта – на полтора-два размера меньше, чем в основном тексте (11,5–12), расположение текста в «шапке» таблицы – по центру, в столбцах – по ширине; межстрочное расстояние – 1; слово «Таблица» – курсивное начертание, в правый край таблицы; название таблицы – начертание нормальное (прямое), расположение – по центру таблицы. В рисунках (графиках, диаграммах): размер подрисуночной

подписи – 14, расположение – по центру набора, слово «Рис.» – курсив, название рисунка – нормальное начертание, описание рисунка (экспликация) – нормальное начертание, условные обозначения – курсивное начертание, их расшифровка – нормальное. Расположение таблиц и рисунков – строго после ссылки на них.

Кроме того, рисунки обязательно прилагаются к материалу (один рисунок – один файл; формат – *.jpg).

Ссылки на литературу в тексте пишутся в квадратных скобках ([1], [1, 2] или [3–5]); нумерация сквозная. Список литературы/источников оформляется по ГОСТ 7.0.5–2008.

В конце статьи обязательно ставится дата отсыла материала в редакцию.

Объем статьи – не более 14-ти страниц.

Название файла: Фамилия. Первое слово заголовка. Подчеркивание. Последнее слово заголовка (Сидоров. Синтез_электроприводом).

К материалу (статье) обязательно прилагаются (отдельным файлом): УДК, сведения об авторе, аннотация, ключевые слова (название файла: УДК 000. Сидоров. Синтез_электроприводом).

Материалы для очередного номера журнала «Вестник УрГУПС» принимаются до 30 числа первого месяца квартала (до 30-го января, 30-го апреля, до 30-го июля, до 30-го октября). Материалы, поступившие в редакцию после 30-го числа, будут опубликованы только в следующем номере.

Успешной работы!

*Л. Барышникова,
литературный и выпускающий
редактор журнала «Вестник УрГУПС»*

Уважаемые читатели и авторы журнала «Вестник УрГУПС»!

Если вам нравится наш журнал, вы можете оказать содействие в его развитии, перечислив денежные средства по реквизитам:

Ассоциация выпускников УЭМИИТ-УрГУПС

ИНН-КПП 6670317893/667001001

ОГРН 1156600001470

620075, Свердловская обл., г. Екатеринбург, ул. Шевченко, д. 20, помещение 1

Р/с 40703810863010000192

в ПАО КБ «УБРИР» филиал ССБ

к/с 30101810900000000795

БИК 046577795

Назначение платежа: «Пожертвование для поддержки научных журналов УрГУПС».

Ваша финансовая поддержка позволит нам увеличить число публикаций, повысить индексы цитирования журнала и наших авторов.

Уважаемые руководители инновационных компаний и предприятий!

Предлагаем вам услуги по продвижению вашей продукции через сеть Ассоциации выпускников УЭМИИТ-УрГУПС.

Ассоциация выпускников УЭМИИТ-УрГУПС – это кооперация большого числа неравнодушных людей различных сфер деятельности, окончивших наш университет.

Кроме того, предлагаем услуги по подбору молодых специалистов, по организации поиска решений прикладных и научных задач в рамках диссертационных работ, выполняемых в УрГУПС.

Всю необходимую информацию вы можете получить по тел. (343) 221-25-60

или на сайте <http://www.usurt.ru/vypusknikam/assotsiatsiya-vypusknikov-urgups>

Извещение	<p>Получатель: <u>Ассоциация выпускников УЭМИИТ-УрГУПС</u></p> <p>КПП: <u>667001001</u> ИНН: <u>6670317893</u></p> <p>ОКТМО: <u>65701000</u> Р/сч.: <u>40703810863010000192</u></p> <p>в: <u>ПАО КБ «УБРИР» филиал ССБ</u></p> <p>БИК: <u>046577795</u> К/сч.: <u>30101810900000000795</u></p> <p>Код бюджетной классификации (КБК): _____</p> <p>Платеж: <u>Пожертвование для поддержки научных журналов УрГУПС</u></p> <p>Платательщик: _____</p> <p>Адрес платателя: _____</p> <p>ИНН платателя: _____ № л/сч. платателя: _____</p> <p>Сумма: _____ руб. ____ коп.</p> <p>Подпись: _____ Дата: «____» _____ 2024 г.</p>
Квитанция	<p>Получатель: <u>Ассоциация выпускников УЭМИИТ-УрГУПС</u></p> <p>КПП: <u>667001001</u> ИНН: <u>6670317893</u></p> <p>ОКТМО: <u>65701000</u> Р/сч.: <u>40703810863010000192</u></p> <p>в: <u>ПАО КБ «УБРИР» филиал ССБ</u></p> <p>БИК: <u>046577795</u> К/сч.: <u>30101810900000000795</u></p> <p>Код бюджетной классификации (КБК): _____</p> <p>Платеж: <u>Пожертвование для поддержки научных журналов УрГУПС</u></p> <p>Платательщик: _____</p> <p>Адрес платателя: _____</p> <p>ИНН платателя: _____ № л/сч. платателя: _____</p> <p>Сумма: _____ руб. ____ коп.</p> <p>Подпись: _____ Дата: «____» _____ 2024 г.</p>

ф. СП-1



АБОНЕМЕНТ

на

газету

журнал

70070

(индекс издания)

Вестник УргУПС

(наименование издания)	Количество комплектов:	
------------------------	------------------------	--

на 2024 год по месяцам:

1	2	3	4	5	6	7	8	9	10	11	12
X	X	X	X	X	X						

Куда

(почтовый индекс)

(адрес)

Кому

(фамилия, инициалы)

ДОСТАВОЧНАЯ КАРТОЧКА

ПВ	место	литер

на

газету

журнал

70070

(индекс издания)

Вестник УргУПС

(наименование издания)

Стои- мость	подписки	руб. коп.	Количество комплектов:	
	переадресовки	руб. коп.		

на 2024 год по месяцам:

1	2	3	4	5	6	7	8	9	10	11	12
X	X	X	X	X	X						

Куда

(почтовый индекс)

(адрес)

Кому

(фамилия, инициалы)